



*Sito impiantistico
Galliera (BO)*

Denuncia di Deposito Sismico
L.R. 30 ottobre 2008, n. 19 e ss.mm.ii.

PROGETTO ESECUTIVO

Ottimizzazione di utilizzo del sito impiantistico esistente
attraverso il ridimensionamento dell'area dedicata al
servizio di deposito finale dei rifiuti

ELABORATO 05.01
Tabulati di calcolo strutture

Approvato	E. Zamagni		
Controllato	L. Savigni F. Crociati		
Redatto	P. Parla		
Rev.	00	Data	30/04/2025
Cod. Doc.	DS 03 BO SM 00 E1 RS 05.01	Pagine	1 di 152



Tabulati di calcolo delle verifiche SLU di tipo GEO

Fondazioni Dirette
Verifica in tensioni totali

$$q_{lim} = c_u \cdot N_c \cdot s_c \cdot d_c \cdot i_c \cdot b_c \cdot g_c + q \cdot N_q$$

D = Profondità del piano di appoggio

e_B = Eccentricità in direzione B ($e_B = Mb/N$)

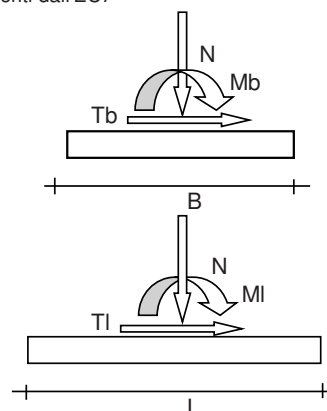
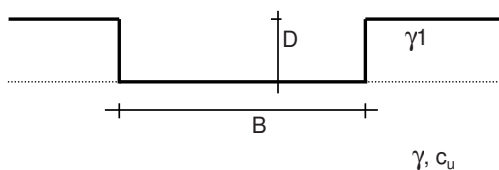
e_L = Eccentricità in direzione L ($e_L = Ml/N$) (per fondazione nastriforme $e_L = 0$; $L^* = L$)

B^* = Larghezza fittizia della fondazione ($B^* = B - 2 \cdot e_B$)

L^* = Lunghezza fittizia della fondazione ($L^* = L - 2 \cdot e_L$)

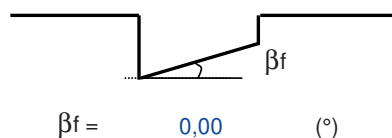
Metodo di calcolo		coefficienti parziali		proprietà del terreno
		azioni permanenti	azioni temporanee variabili	c_u
Stato limite ultimo	○	1,00	1,30	1,40
Tensioni ammissibili	○	1,00	1,00	1,00
definiti dall'utente	●	1,30	1,50	1,00

valori suggeriti dall'EC7

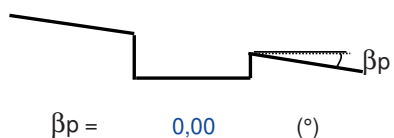


(Per fondazioni nastriformi $L=100$ m)

B = 9,00 (m)
L = 38,20 (m)
D = 0,70 (m)



$\beta_f = 0,00$ (°)



$\beta_p = 0,00$ (°)

AZIONI			
	valori di input		Valori di calcolo
	permanenti	temporanee	
N [kN]	7002,50	7056,00	19687,25
Mb [kNm]	0,00	0,00	0,00
MI [kNm]	0,00	0,00	0,00
Tb [kN]	0,00	0,00	0,00
TI [kN]	0,00	0,00	0,00
H [kN]	0,00	0,00	0,00

Peso unità di volume del terreno

$$\gamma_1 = 1,90 \quad (\text{kN/mc})$$

$$\gamma = 1,90 \quad (\text{kN/mc})$$

Valore caratteristico di resistenza del terreno

$$c_u = 50,00 \quad (\text{kN/mq})$$

Valore di progetto

$$c_u = 50,00 \quad (\text{kN/mq})$$

$$e_B = 0,00 \quad (\text{m})$$

$$e_L = 0,00 \quad (\text{m})$$

$$B^* = 9,00 \quad (\text{m})$$

$$L^* = 38,20 \quad (\text{m})$$

q : sovraccarico alla profondità D

$$q = 1,33 \quad (\text{kN/mq})$$

γ : peso di volume del terreno di fondazione

$$\gamma = 1,90 \quad (\text{kN/mc})$$

Nc : coefficiente di capacità portante

$$N_c = 2 + \pi$$

$$N_c = 5,14$$

s_c : fattori di forma

$$s_c = 1 + 0,2 B^* / L^*$$

$$s_c = 1,05$$

i_c : fattore di inclinazione del carico

$$m_b = (2 + B^* / L^*) / (1 + B^* / L^*) = 1,81$$

$$m_l = (2 + L^* / B^*) / (1 + L^* / B^*) = 1,19$$

$$\theta = \arctg(T_b/T_l) = 90,00 \quad (^{\circ})$$

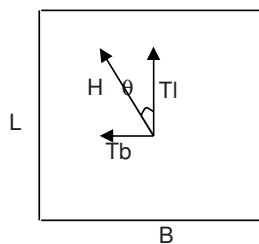
$$m = 1,81$$

(m=2 nel caso di fondazione nastriforme e

m=(m_bsin²θ+m_lcos²θ) in tutti gli altri casi)

$$i_c = (1 - m H / (B^* L^* c_u N_c))$$

$$i_c = 1,00$$



d_c : fattore di profondità del piano di appoggio

per $D/B^* \leq 1$; $d_c = 1 + 0,4 D / B^*$

per $D/B^* > 1$; $d_c = 1 + 0,4 \arctan (D / B^*)$

$$d_c = 1,03$$

b_c : fattore di inclinazione base della fondazione

$$b_c = (1 - 2 \beta_f / (\pi + 2))$$

$$\beta_f + \beta_p = 0,00$$

$$\beta_f + \beta_p < 45^\circ$$

$$b_c = 1,00$$

g_c : fattore di inclinazione piano di campagna

$$g_c = (1 - 2 \beta_f / (\pi + 2))$$

$$\beta_f + \beta_p = 0,00$$

$$\beta_f + \beta_p < 45^\circ$$

$$g_c = 1,00$$

Carico limite unitario

$$q_{lim} = 278,81 \quad (\text{kN/m}^2)$$

Pressione massima agente

$$q = N / B^* L^*$$

$$q = 57,26 \quad (\text{kN/m}^2)$$

Coefficiente di sicurezza

$$F_s = q_{lim} / q = 4,87$$

VERIFICA A SCORRIMENTO

$$H_d = 0,00 \quad (\text{kN})$$

$$S_d = c_u B^* L^*$$

$$S_d = 17190,00 \quad (\text{kN})$$

Coefficiente di sicurezza allo scorrimento

$$F_{scorr} = --$$

Fondazioni Dirette
Verifica in tensioni totali

$$q_{lim} = c_u \cdot N_c \cdot s_c \cdot d_c \cdot i_c \cdot b_c \cdot g_c + q \cdot N_q$$

D = Profondità del piano di appoggio

e_B = Eccentricità in direzione B ($e_B = Mb/N$)

e_L = Eccentricità in direzione L ($e_L = Ml/N$) (per fondazione nastriforme $e_L = 0$; $L^* = L$)

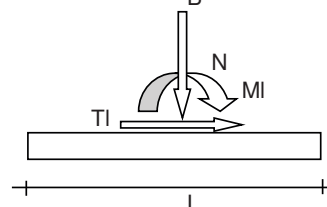
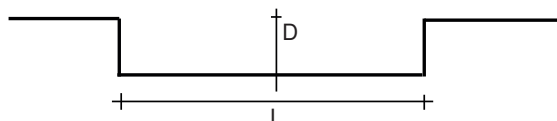
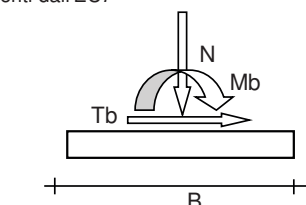
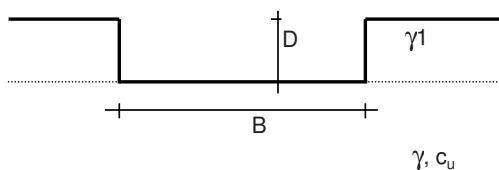
B^* = Larghezza fittizia della fondazione ($B^* = B - 2 \cdot e_B$)

L^* = Lunghezza fittizia della fondazione ($L^* = L - 2 \cdot e_L$)

coefficienti parziali

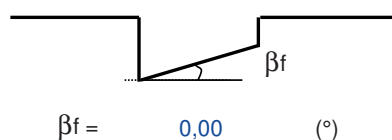
Metodo di calcolo			azioni		proprietà del terreno
			permanenti	temporanee variabili	c_u
Stato limite ultimo			1,00	1,30	1,40
Tensioni ammissibili			1,00	1,00	1,00
definiti dall'utente			1,00	1,20	1,00

valori suggeriti dall'EC7

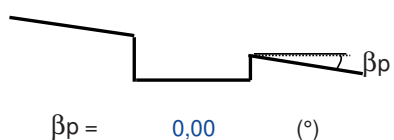


(Per fondazioni nastriformi $L=100$ m)

B = 9,00 (m)
L = 38,20 (m)
D = 0,70 (m)



$\beta_f = 0,00$ (°)



$\beta_p = 0,00$ (°)

AZIONI			
	valori di input		Valori di calcolo
	permanenti	temporanee	
N [kN]	8224,44	8287,27	18169,16
Mb [kNm]	1004,61	14461,29	18358,16
MI [kNm]	0,00	0,00	0,00
Tb [kN]	2870,33	2892,26	6341,04
TI [kN]	0,00	0,00	0,00
H [kN]	2870,33	2892,26	6341,04

Peso unità di volume del terreno

$$\gamma_1 = 1,90 \quad (\text{kN/mc})$$

$$\gamma = 1,90 \quad (\text{kN/mc})$$

Valore caratteristico di resistenza del terreno

$$c_u = 50,00 \quad (\text{kN/mq})$$

Valore di progetto

$$c_u = 50,00 \quad (\text{kN/mq})$$

$$e_B = 1,01 \quad (\text{m})$$

$$e_L = 0,00 \quad (\text{m})$$

$$B^* = 6,98 \quad (\text{m})$$

$$L^* = 38,20 \quad (\text{m})$$

q : sovraccarico alla profondità D

$$q = 1,33 \quad (\text{kN/mq})$$

γ : peso di volume del terreno di fondazione

$$\gamma = 1,90 \quad (\text{kN/mc})$$

Nc : coefficiente di capacità portante

$$N_c = 2 + \pi$$

$$N_c = 5,14$$

s_c : fattori di forma

$$s_c = 1 + 0,2 B^* / L^*$$

$$s_c = 1,04$$

i_c : fattore di inclinazione del carico

$$m_b = (2 + B^* / L^*) / (1 + B^* / L^*) = 1,85$$

$$m_l = (2 + L^* / B^*) / (1 + L^* / B^*) = 1,15$$

$$\theta = \arctg(T_b/TI) = 90,00 \quad (^{\circ})$$

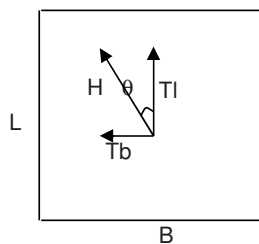
$$m = 1,85$$

(m=2 nel caso di fondazione nastriforme e

m=(m_bsin²θ+m_lcos²θ) in tutti gli altri casi)

$$i_c = (1 - m H / (B^* L^* c_u N_c))$$

$$i_c = 0,83$$



d_c : fattore di profondità del piano di appoggio

per $D/B^* \leq 1$; $d_c = 1 + 0,4 D / B^*$

per $D/B^* > 1$; $d_c = 1 + 0,4 \arctan (D / B^*)$

$$d_c = 1,04$$

b_c : fattore di inclinazione base della fondazione

$$b_c = (1 - 2 \beta_f / (\pi + 2))$$

$$\beta_f + \beta_p = 0,00$$

$$\beta_f + \beta_p < 45^\circ$$

$$b_c = 1,00$$

g_c : fattore di inclinazione piano di campagna

$$g_c = (1 - 2 \beta_f / (\pi + 2))$$

$$\beta_f + \beta_p = 0,00$$

$$\beta_f + \beta_p < 45^\circ$$

$$g_c = 1,00$$

Carico limite unitario

$$q_{lim} = 231,08 \quad (\text{kN/m}^2)$$

Pressione massima agente

$$q = N / B^* L^*$$

$$q = 68,15 \quad (\text{kN/m}^2)$$

Coefficiente di sicurezza

$$F_s = q_{lim} / q = 3,39$$

VERIFICA A SCORRIMENTO

$$H_d = 6341,04 \quad (\text{kN})$$

$$S_d = c_u B^* L^*$$

$$S_d = 13330,26 \quad (\text{kN})$$

Coefficiente di sicurezza allo scorrimento

$$F_{scorr} = 2,10$$

Fondazioni Dirette
Verifica in tensioni totali

$$q_{lim} = c_u \cdot N_c \cdot s_c \cdot d_c \cdot i_c \cdot b_c \cdot g_c + q \cdot N_q$$

D = Profondità del piano di appoggio

e_B = Eccentricità in direzione B ($e_B = Mb/N$)

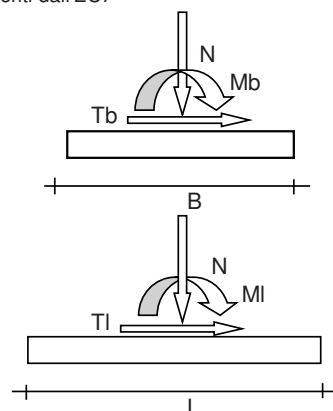
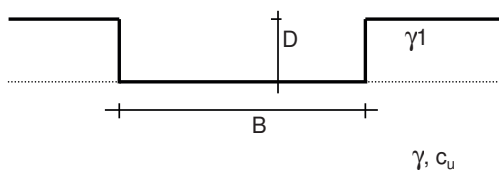
e_L = Eccentricità in direzione L ($e_L = MI/N$) (per fondazione nastriforme $e_L = 0$; $L^* = L$)

B^* = Larghezza fittizia della fondazione ($B^* = B - 2 \cdot e_B$)

L^* = Lunghezza fittizia della fondazione ($L^* = L - 2 \cdot e_L$)

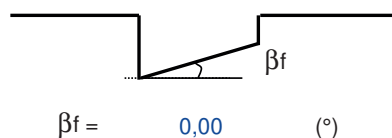
			coefficienti parziali		
			azioni		proprietà del terreno
Metodo di calcolo			permanenti	temporanee variabili	c _u
Stato limite ultimo	<input type="radio"/>		1,00	1,30	1,40
Tensioni ammissibili	<input type="radio"/>		1,00	1,00	1,00
definiti dall'utente	<input checked="" type="radio"/>		1,00	1,20	1,00

valori suggeriti dall'EC7

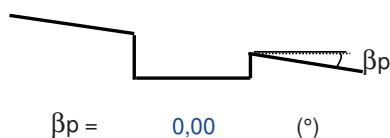


(Per fondazioni nastriformi $L=100$ m)

B = 9,00 (m)
L = 38,20 (m)
D = 0,70 (m)



$\beta_f = 0,00$ (°)



$\beta_p = 0,00$ (°)

AZIONI			
	valori di input		Valori di calcolo
	permanenti	temporanee	
N [kN]	8224,44	8287,27	18169,16
Mb [kNm]	0,00	0,00	0,00
MI [kNm]	1004,62	14461,30	18358,18
Tb [kN]	0,00	0,00	0,00
TI [kN]	2870,33	2892,26	6341,04
H [kN]	2870,33	2892,26	6341,04

Peso unità di volume del terreno

$$\gamma_1 = 1,90 \quad (\text{kN/mc})$$

$$\gamma = 1,90 \quad (\text{kN/mc})$$

Valore caratteristico di resistenza del terreno

$$c_u = 50,00 \quad (\text{kN/mq})$$

Valore di progetto

$$c_u = 50,00 \quad (\text{kN/mq})$$

$$e_B = 0,00 \quad (\text{m})$$

$$e_L = 1,01 \quad (\text{m})$$

$$B^* = 9,00 \quad (\text{m})$$

$$L^* = 36,18 \quad (\text{m})$$

q : sovraccarico alla profondità D

$$q = 1,33 \quad (\text{kN/mq})$$

γ : peso di volume del terreno di fondazione

$$\gamma = 1,90 \quad (\text{kN/mc})$$

Nc : coefficiente di capacità portante

$$N_c = 2 + \pi$$

$$N_c = 5,14$$

s_c : fattori di forma

$$s_c = 1 + 0,2 B^* / L^*$$

$$s_c = 1,05$$

i_c : fattore di inclinazione del carico

$$m_b = (2 + B^* / L^*) / (1 + B^* / L^*) = 1,80$$

$$m_l = (2 + L^* / B^*) / (1 + L^* / B^*) = 1,20$$

$$\theta = \arctg(T_b/TI) = 0,00 \quad (^{\circ})$$

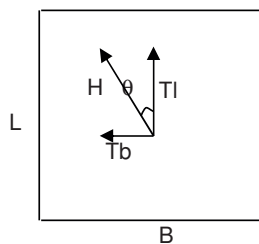
$$m = 1,20$$

(m=2 nel caso di fondazione nastriforme e

m=(m_bsin²θ+m_lcos²θ) in tutti gli altri casi)

$$i_c = (1 - m H / (B^* L^* c_u N_c))$$

$$i_c = 0,91$$



d_c : fattore di profondità del piano di appoggio

per $D/B^* \leq 1$; $d_c = 1 + 0,4 D / B^*$

per $D/B^* > 1$; $d_c = 1 + 0,4 \arctan (D / B^*)$

$$d_c = 1,03$$

b_c : fattore di inclinazione base della fondazione

$$b_c = (1 - 2 \beta_f / (\pi + 2))$$

$$\beta_f + \beta_p = 0,00$$

$$\beta_f + \beta_p < 45^\circ$$

$$b_c = 1,00$$

g_c : fattore di inclinazione piano di campagna

$$g_c = (1 - 2 \beta_f / (\pi + 2))$$

$$\beta_f + \beta_p = 0,00$$

$$\beta_f + \beta_p < 45^\circ$$

$$g_c = 1,00$$

Carico limite unitario

$$q_{lim} = 254,23 \quad (\text{kN/m}^2)$$

Pressione massima agente

$$q = N / B^* L^*$$

$$q = 55,80 \quad (\text{kN/m}^2)$$

Coefficiente di sicurezza

$$F_s = q_{lim} / q = 4,56$$

VERIFICA A SCORRIMENTO

$$H_d = 6341,04 \quad (\text{kN})$$

$$S_d = c_u B^* L^*$$

$$S_d = 16280,64 \quad (\text{kN})$$

Coefficiente di sicurezza allo scorrimento

$$F_{scorr} = 2,57$$

Tabulati di calcolo delle azioni sulle pareti

Combinazione sismica

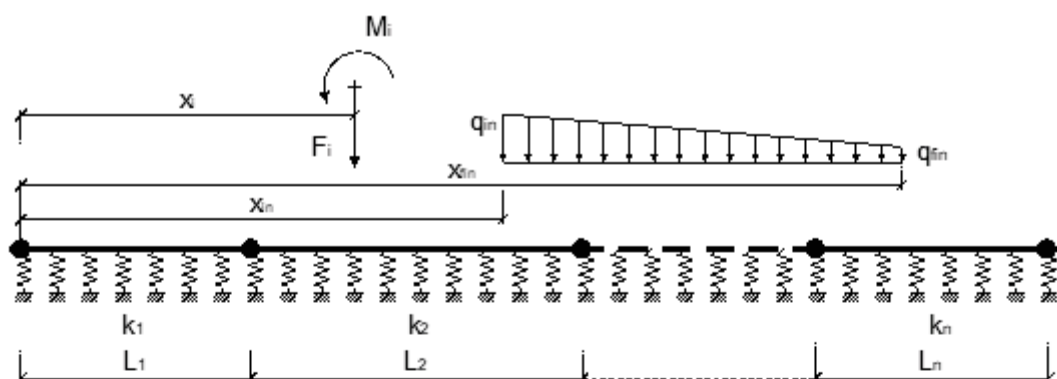
DATI DI INPUT			O U T P U T									
			AZIONI CARATTERISTICHE					AZIONI DI PROGETTO				
Ipotesi: vasca piena; schema statico: mensola			Δh da testa muro	N (kN/m)	N _E (kN/m)	S _w (kN/m)	S' _w (kN/m)	S _V (kN/m)	S _E (kN/m)	N (kN/m)	T (kN/m)	M (kNm/m)
			0	0,00	0,00	0,00	0,00	0,00	0,00	0,00	0,00	0,00
q (azione variabile, cat. E)	0 kN/m ²	0,1	1,00	-0,17	0,00	0,00	0,00	0,52	0,83	0,52	0,03	
H (altezza parete bacini)	1,7 m	0,2	2,00	-0,35	0,00	0,00	0,00	1,05	1,65	1,05	0,10	
sp (spessore parete)	0,4 m	0,3	3,00	-0,52	0,00	0,00	0,00	1,57	2,48	1,57	0,24	
			0,4	4,00	-0,70	0,00	0,00	2,09	3,30	2,09	0,42	
γ (acqua)	0 kN/m ³	0,5	5,00	-0,87	0,00	0,00	0,00	2,62	4,13	2,62	0,65	
γ (calcestruzzo)	25 kN/m ³	0,6	6,00	-1,05	0,00	0,00	0,00	3,14	4,95	3,14	0,94	
			0,7	7,00	-1,22	0,00	0,00	3,66	5,78	3,66	1,28	
a _{max} /g (coefficiente sismico)	0,349 1/g	0,8	8,00	-1,40	0,00	0,00	0,00	4,19	6,60	4,19	1,68	
			0,9	9,00	-1,57	0,00	0,00	4,71	7,43	4,71	2,12	
			1	10,00	-1,75	0,00	0,00	5,24	8,26	5,24	2,62	
			1,1	11,00	-1,92	0,00	0,00	5,76	9,08	5,76	3,17	
			1,2	12,00	-2,09	0,00	0,00	6,28	9,91	6,28	3,77	
			1,3	13,00	-2,27	0,00	0,00	6,81	10,73	6,81	4,42	
			1,4	14,00	-2,44	0,00	0,00	7,33	11,56	7,33	5,13	
γ _G	1 A1 fav	1,5	15,00	-2,62	0,00	0,00	0,00	7,85	12,38	7,85	5,89	
	1 A1 sfav	1,6	16,00	-2,79	0,00	0,00	0,00	8,38	13,21	8,38	6,70	
γ _Q	0 A1 fav	1,7	17,00	-2,97	0,00	0,00	0,00	8,90	14,03	8,90	7,56	
	1 A1 sfav											
γ _{AE}	1 sisma											

Combinazione eccezionale

DATI DI INPUT			O U T P U T						AZIONI DI PROGETTO		
			AZIONI CARATTERISTICHE								
Ipotesi: vasca piena; schema statico: mensola			Δh da testa muro	N (kN/m)	N _E (kN/m)	S _w (kN/m)	S _V (kN/m)	S _E (kN/m)	N (kN/m)	T (kN/m)	M (kNm/m)
			0	0,00	0,00	0,00	0,00	0,00	0,00	0,00	0,00
q (azione variabile, cat. E)	0 kN/m ²	0,1	1,00	0,00	0,05	0,00	0,00	1,00	0,08	0,00	
H (altezza parete bacini)	1,7 m	0,2	2,00	0,00	0,20	0,00	0,00	2,00	0,30	0,02	
sp (spessore parete)	0,4 m	0,3	3,00	0,00	0,45	0,00	0,00	3,00	0,68	0,07	
			0,4	4,00	0,00	0,80	0,00	4,00	1,20	0,16	
γ (acqua)	10 kN/m ³	0,5	5,00	0,00	1,25	0,00	0,00	5,00	1,88	0,31	
γ (calcestruzzo)	25 kN/m ³	0,6	6,00	0,00	1,80	0,00	0,00	6,00	2,70	0,54	
			0,7	7,00	0,00	2,45	0,00	7,00	3,68	0,86	
a_{max}/g (coefficiente sismico)	0 1/g	0,8	8,00	0,00	3,20	0,00	0,00	8,00	4,80	1,28	
			0,9	9,00	0,00	4,05	0,00	9,00	6,08	1,82	
			1	10,00	0,00	5,00	0,00	10,00	7,50	2,50	
			1,1	11,00	0,00	6,05	0,00	11,00	9,08	3,33	
			1,2	12,00	0,00	7,20	0,00	12,00	10,80	4,32	
			1,3	13,00	0,00	8,45	0,00	13,00	12,68	5,49	
			1,4	14,00	0,00	9,80	0,00	14,00	14,70	6,86	
γ_G	1 A1 fav	1,5	15,00	0,00	11,25	0,00	0,00	15,00	16,88	8,44	
			1 A1 sfav	1,6	16,00	0,00	12,80	0,00	16,00	19,20	10,24
γ_Q	0 A1 fav	1,7	17,00	0,00	14,45	0,00	0,00	17,00	21,68	12,28	
			1,5 A1 sfav								

Tabulati di calcolo delle sollecitazioni nella platea

File di input – SLU cond. PVVVVVVV



tratto	L (m)	E (kN/m ²)	sezione	B (m)	H (m)	h ala (m)	b anima (m)	I (m ⁴)	$k_s \cdot B_s$ (kN/m ²)	reag. a traz.
1	38,20	3,0E+07	rettangolare	1,19	0,70	5,66	0,70		4000	na
2			T a L							na
3			T a L							na
4			T a L							ri
5			T a L							na
6			T a L							ri

L trave (m)
38,20

dim elementi (m)
0,2

max iterazioni
20

vincoli sinistra ☐ traslazione
☐ rotazione

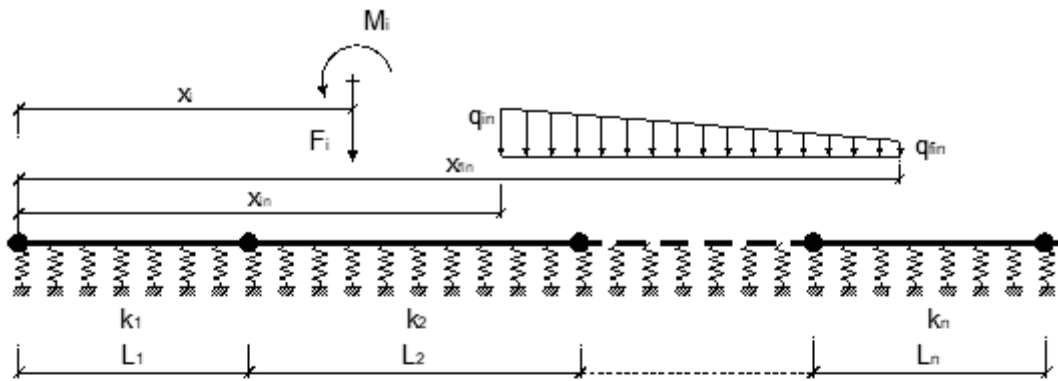
destra ☐ traslazione
☐ rotazione

forze e momenti concentrati			
	x (m)	F (kN)	M (kNm)
<input checked="" type="checkbox"/> 1	3,40	661,60	0,00
<input checked="" type="checkbox"/> 2	7,65	61,60	0,00
<input checked="" type="checkbox"/> 3	11,90	61,60	0,00
<input checked="" type="checkbox"/> 4	16,14	61,60	0,00
<input checked="" type="checkbox"/> 5	22,06	61,60	0,00
<input checked="" type="checkbox"/> 6	26,30	61,60	0,00
<input checked="" type="checkbox"/> 7	30,55	61,60	0,00
<input checked="" type="checkbox"/> 8	34,80	61,60	0,00
<input type="checkbox"/> 9	0,00	0,00	0,00
<input type="checkbox"/> 10	0,00	0,00	0,00

carichi distribuiti				
	x_s (m)	q_s (kN/m)	x_{fi} (m)	q_{fi} (kN/m)
<input checked="" type="checkbox"/> 1	0,70	65,50	1,10	65,50
<input checked="" type="checkbox"/> 2	18,90	65,50	19,30	65,50
<input checked="" type="checkbox"/> 3	37,10	65,50	37,50	65,50
<input type="checkbox"/> 4	0,00	0,00	0,00	0,00
<input type="checkbox"/> 5	0,00	0,00	0,00	0,00

Calcolo
(ctrl+r)

File di input – SLU cond. PPVVVVVV



tratto	L (m)	E (kN/m ²)	sezione	B (m)	H (m)	h ala (m)	b anima (m)	I (m ⁴)	k _s ·B _u (kN/m ²)	reag. a traz.
1	38,20	3,0E+07	rettangolare ▼	1,19	0,70	0,66	0,70		4000	na ▼
2			T a L ▼							na ▼
3			T a L ▼							na ▼
4			T a L ▼							zi ▼
5			T a L ▼							na ▼
6			T a L ▼							zi ▼

max iterazioni
20

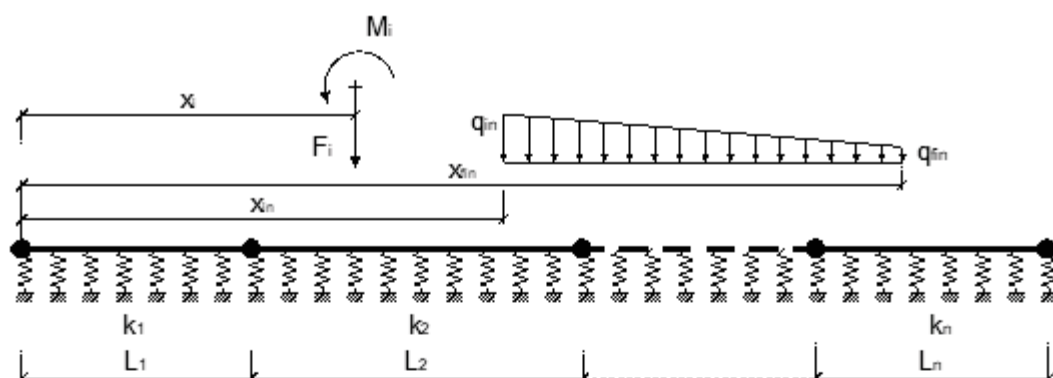
vincoli sinistra ☐ traslazione destra ☐ traslazione
☐ rotazione ☐ rotazione

forze e momenti concentrati			
	x (m)	F (kN)	M (kNm)
<input checked="" type="checkbox"/> 1	3,40	661,60	0,00
<input checked="" type="checkbox"/> 2	7,65	661,60	0,00
<input checked="" type="checkbox"/> 3	11,90	61,60	0,00
<input checked="" type="checkbox"/> 4	16,14	61,60	0,00
<input checked="" type="checkbox"/> 5	22,06	61,60	0,00
<input checked="" type="checkbox"/> 6	26,30	61,60	0,00
<input checked="" type="checkbox"/> 7	30,55	61,60	0,00
<input checked="" type="checkbox"/> 8	34,80	61,60	0,00
<input type="checkbox"/> 9	0,00	0,00	0,00
<input type="checkbox"/> 10	0,00	0,00	0,00

carichi distribuiti				
	$N_{i,s}$ (m)	$Q_{i,s}$ (kN/m)	$N_{i,s}$ (m)	$Q_{i,s}$ (kN/m)
<input checked="" type="checkbox"/> 1	0,70	65,50	1,10	65,50
<input checked="" type="checkbox"/> 2	18,90	65,50	19,30	65,50
<input checked="" type="checkbox"/> 3	37,10	65,50	37,50	65,50
<input type="checkbox"/> 4	0,00	0,00	0,00	0,00
<input type="checkbox"/> 5	0,00	0,00	0,00	0,00

Calcolo
(ctrl+r)

File di input – SLU cond. PPPVVVVV



tratto	L (m)	E (kN/m ²)	sezione	B (m)	H (m)	h ala (m)	b anima (m)	I (m ⁴)	k _s *B _s (kN/m ²)	reag. a traz.
1	38,20	3,0E+07	rettangolare	1,19	0,70	5,60	0,70		4000	na
2			T a L							na
3			T a L							na
4			T a L							zi
5			T a L							na
6			T a L							zi

L trave (m)
38,20

dim elementi (m)
0,2

max iterazioni
20

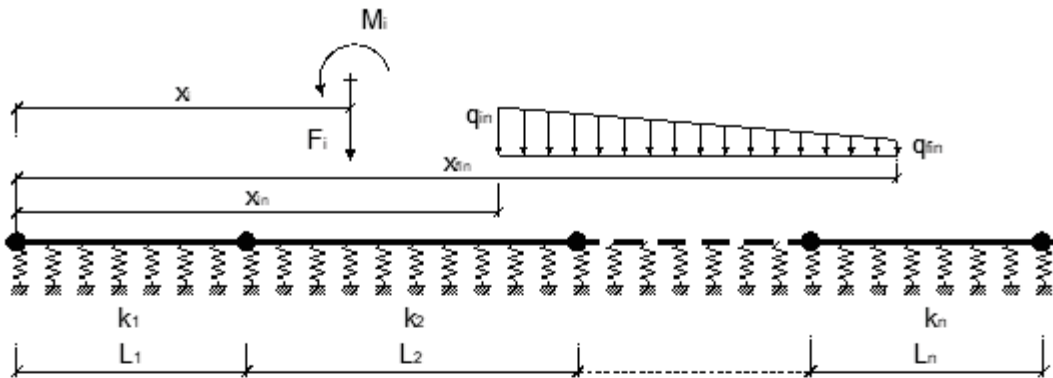
vincoli sinistra ☐ traslazione destra ☐ traslazione
☐ rotazione ☐ rotazione

forze e momenti concentrati			
	x (m)	F (kN)	M (kNm)
<input checked="" type="checkbox"/> 1	3,40	661,60	0,00
<input checked="" type="checkbox"/> 2	7,65	661,60	0,00
<input checked="" type="checkbox"/> 3	11,90	661,60	0,00
<input checked="" type="checkbox"/> 4	16,14	61,60	0,00
<input checked="" type="checkbox"/> 5	22,06	61,60	0,00
<input checked="" type="checkbox"/> 6	26,30	61,60	0,00
<input checked="" type="checkbox"/> 7	30,55	61,60	0,00
<input checked="" type="checkbox"/> 8	34,80	61,60	0,00
<input type="checkbox"/> 9	0,00	0,00	0,00
<input type="checkbox"/> 10	0,00	0,00	0,00

carichi distribuiti				
	x ₁ (m)	q ₁ (kN/m)	x ₂ (m)	q ₂ (kN/m)
<input checked="" type="checkbox"/> 1	0,70	65,50	1,10	65,50
<input checked="" type="checkbox"/> 2	18,90	65,50	19,30	65,50
<input checked="" type="checkbox"/> 3	37,10	65,50	37,50	65,50
<input type="checkbox"/> 4	0,00	0,00	0,00	0,00
<input type="checkbox"/> 5	0,00	0,00	0,00	0,00

Calcolo
(ctrl+r)

File di input – SLU cond. PPPPVVVV



tratto	L (m)	E (kN/m ²)	sezione	B (m)	H (m)	h ala (m)	b anima (m)	I (m ⁴)	k _x ·B _x (kN/m ²)	reag. a traz.
1	38,20	3,0E+07	rettangolare ▼	1,19	0,70	0,55	0,35		4000	na ▼
2			T a L ▼							na ▼
3			T a L ▼							na ▼
4			T a L ▼							zi ▼
5			T a L ▼							na ▼
6			T a L ▼							zi ▼

# max iterazioni	20
------------------	----

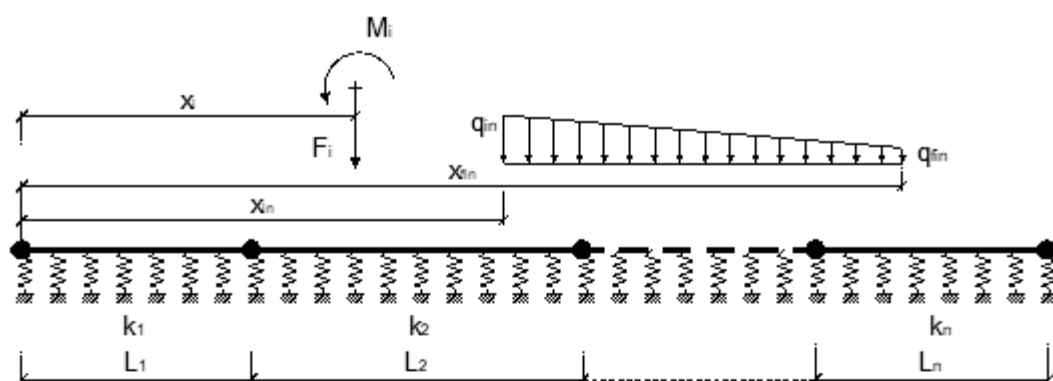
vincoli sinistra ☐ traslazione ☐ rotazione destra ☐ traslazione ☐ rotazione

forze e momenti concentrati			
	x (m)	F (kN)	M (kNm)
<input checked="" type="checkbox"/> 1	3,40	661,60	0,00
<input checked="" type="checkbox"/> 2	7,65	661,60	0,00
<input checked="" type="checkbox"/> 3	11,90	661,60	0,00
<input checked="" type="checkbox"/> 4	16,14	661,60	0,00
<input checked="" type="checkbox"/> 5	22,06	661,60	0,00
<input checked="" type="checkbox"/> 6	26,30	61,60	0,00
<input checked="" type="checkbox"/> 7	30,55	61,60	0,00
<input checked="" type="checkbox"/> 8	34,80	61,60	0,00
<input type="checkbox"/> 9	0,00	0,00	0,00
<input type="checkbox"/> 10	0,00	0,00	0,00

carichi distribuiti				
	$N_{i,k}$ (m)	$q_{i,k}$ (kN/m)	$N_{i,k}$ (m)	$q_{i,k}$ (kN/m)
<input checked="" type="checkbox"/> 1	0,70	65,50	1,10	65,50
<input checked="" type="checkbox"/> 2	18,90	65,50	19,30	65,50
<input checked="" type="checkbox"/> 3	37,10	65,50	37,50	65,50
<input type="checkbox"/> 4	0,00	0,00	0,00	0,00
<input type="checkbox"/> 5	0,00	0,00	0,00	0,00

Calcolo
(ctrl+r)

File di input – SLU cond. PPPPPVVV



tratto	L (m)	E (kN/m ²)	sezione	B (m)	H (m)	h ala (m)	b anima (m)	I (m ⁴)	$k_s \cdot B_s$ (kN/m ²)	reag. a traz.
1	38,20	3,0E+07	rettangolare	1,19	0,70	5,69	0,70		4000	no
2			T a L							no
3			T a L							no
4			T a L							ri
5			T a L							no
6			T a L							ri

L trave (m)
38,20

dim elementi (m)
0,2

max iterazioni
20

vincoli

sinistra

☐ traslazione

destra

☐ traslazione

☐ rotazione

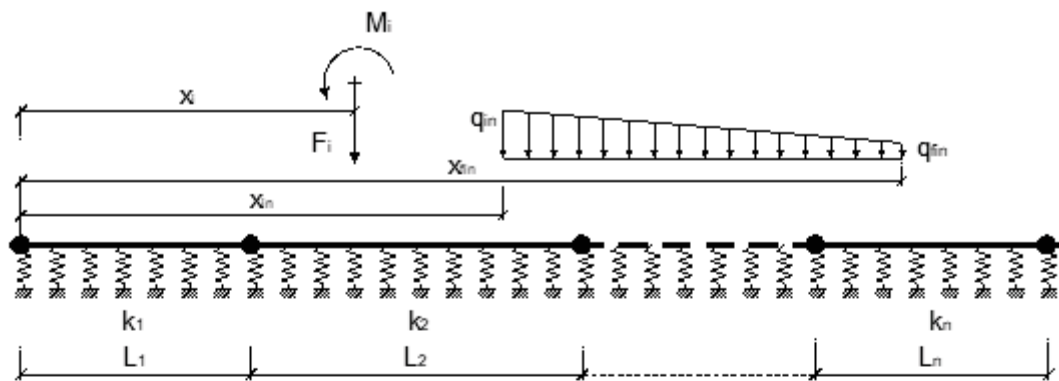
☐ rotazione

forze e momenti concentrati			
	x (m)	F (kN)	M (kNm)
<input checked="" type="checkbox"/> 1	3,40	661,60	0,00
<input checked="" type="checkbox"/> 2	7,65	661,60	0,00
<input checked="" type="checkbox"/> 3	11,90	661,60	0,00
<input checked="" type="checkbox"/> 4	16,14	661,60	0,00
<input checked="" type="checkbox"/> 5	22,06	661,60	0,00
<input checked="" type="checkbox"/> 6	26,30	61,60	0,00
<input checked="" type="checkbox"/> 7	30,55	61,60	0,00
<input checked="" type="checkbox"/> 8	34,80	61,60	0,00
<input type="checkbox"/> 9	0,00	0,00	0,00
<input type="checkbox"/> 10	0,00	0,00	0,00

carichi distribuiti				
	$x_{i,s}$ (m)	$q_{i,s}$ (kN/m)	$x_{i,f}$ (m)	$q_{i,f}$ (kN/m)
<input checked="" type="checkbox"/> 1	0,70	65,50	1,10	65,50
<input checked="" type="checkbox"/> 2	18,90	65,50	19,30	65,50
<input checked="" type="checkbox"/> 3	37,10	65,50	37,50	65,50
<input type="checkbox"/> 4	0,00	0,00	0,00	0,00
<input type="checkbox"/> 5	0,00	0,00	0,00	0,00

Calcolo
(ctrl+r)

File di input – SLU cond. PPPPPPVV



tratto	L (m)	E (kN/m ²)	sezione	B (m)	H (m)	h ala (m)	b anima (m)	I (m ⁴)	$k_s \cdot B_s$ (kN/m ²)	reag. a traz.
1	38,20	3,0E+07	rettangolare	1,19	0,70	0,65	0,70		4000	na
2			T a L							na
3			T a L							na
4			T a L							zi
5			T a L							na
6			T a L							zi

L trave (m)
38,20

dim elementi (m)
0,2

max iterazioni
20

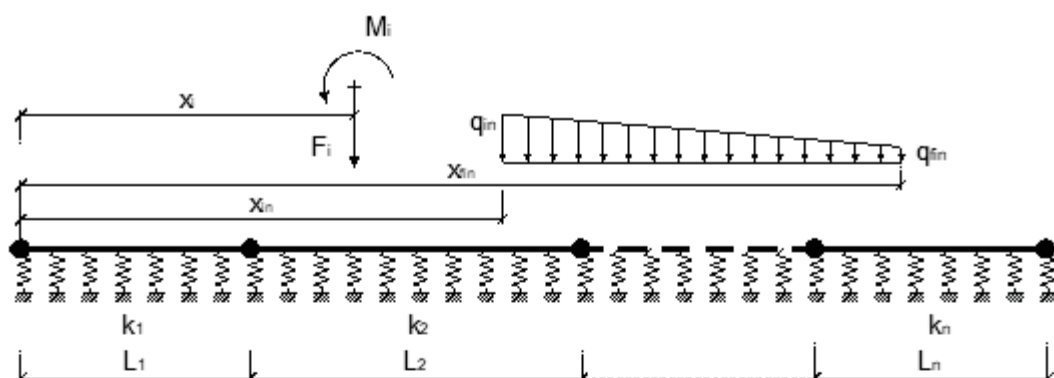
vincoli sinistra ☐ traslazione destra ☐ traslazione
☐ rotazione ☐ rotazione

forze e momenti concentrati			
	x (m)	F (kN)	M (kNm)
<input checked="" type="checkbox"/> 1	3,40	661,60	0,00
<input checked="" type="checkbox"/> 2	7,65	661,60	0,00
<input checked="" type="checkbox"/> 3	11,90	661,60	0,00
<input checked="" type="checkbox"/> 4	16,14	661,60	0,00
<input checked="" type="checkbox"/> 5	22,06	661,60	0,00
<input checked="" type="checkbox"/> 6	26,30	661,60	0,00
<input checked="" type="checkbox"/> 7	30,55	61,60	0,00
<input checked="" type="checkbox"/> 8	34,80	61,60	0,00
<input type="checkbox"/> 9	0,00	0,00	0,00
<input type="checkbox"/> 10	0,00	0,00	0,00

carichi distribuiti				
	x_{in} (m)	q_{in} (kN/m)	x_{fin} (m)	q_{fin} (kN/m)
<input checked="" type="checkbox"/> 1	0,70	65,50	1,10	65,50
<input checked="" type="checkbox"/> 2	18,90	65,50	19,30	65,50
<input checked="" type="checkbox"/> 3	37,10	65,50	37,50	65,50
<input type="checkbox"/> 4	0,00	0,00	0,00	0,00
<input type="checkbox"/> 5	0,00	0,00	0,00	0,00

Calcolo
(ctrl+r)

File di input – SLU cond. PPPPPPV



tratto	L (m)	E (kN/m ²)	sezione	B (m)	H (m)	h ala (m)	b anima (m)	I (m ⁴)	$k_s \cdot B_s$ (kN/m ²)	reag. a traz.
1	38,20	3,0E+07	rettangolare	1,19	0,70	0,65	0,70		4000	na
2			T a L							na
3			T a L							na
4			T a L							ri
5			T a L							na
6			T a L							ri

L trave
(m)
38,20

dim
elementi
(m)
0,2

max
iterazioni
20

vincoli sinistra ☐ traslazione
☐ rotazione

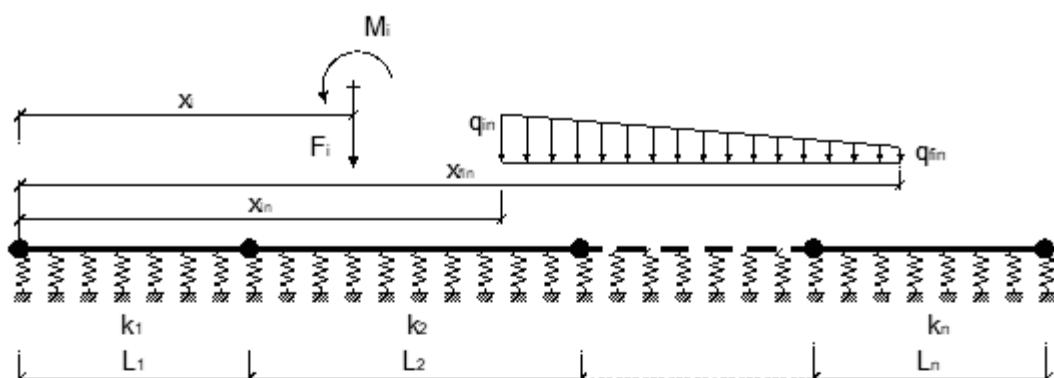
destra ☐ traslazione
☐ rotazione

forze e momenti concentrati			
	s (m)	F (kN)	M (kNm)
<input checked="" type="checkbox"/> 1	3,40	661,60	0,00
<input checked="" type="checkbox"/> 2	7,65	661,60	0,00
<input checked="" type="checkbox"/> 3	11,90	661,60	0,00
<input checked="" type="checkbox"/> 4	16,14	661,60	0,00
<input checked="" type="checkbox"/> 5	22,06	661,60	0,00
<input checked="" type="checkbox"/> 6	26,30	661,60	0,00
<input checked="" type="checkbox"/> 7	30,55	661,60	0,00
<input checked="" type="checkbox"/> 8	34,80	61,60	0,00
<input type="checkbox"/> 9	0,00	0,00	0,00
<input type="checkbox"/> 10	0,00	0,00	0,00

carichi distribuiti				
	x_{in} (m)	q_{in} (kN/m)	x_{fin} (m)	q_{fin} (kN/m)
<input checked="" type="checkbox"/> 1	0,70	65,50	1,10	65,50
<input checked="" type="checkbox"/> 2	18,90	65,50	19,30	65,50
<input checked="" type="checkbox"/> 3	37,10	65,50	37,50	65,50
<input type="checkbox"/> 4	0,00	0,00	0,00	0,00
<input type="checkbox"/> 5	0,00	0,00	0,00	0,00

Calcolo
(ctrl+r)

File di input – SLU cond. P P P P P P P P



tratto	L (m)	E (kN/m ²)	sezione	B (m)	H (m)	h ala (m)	b anima (m)	I (m ⁴)	k _s *B _s (kN/m ²)	reag. a traz.
1	38,20	3,0E+07	rettangolare	1,19	0,70	0,68	0,70		4000	na
2			T a L							na
3			T a L							na
4			T a L							zi
5			T a L							na
6			T a L							zi

L trave
(m)
38,20

dim
elementi
(m)
0,2

max
iterazioni
20

vincoli sinistra ☐ traslazione
☐ rotazione

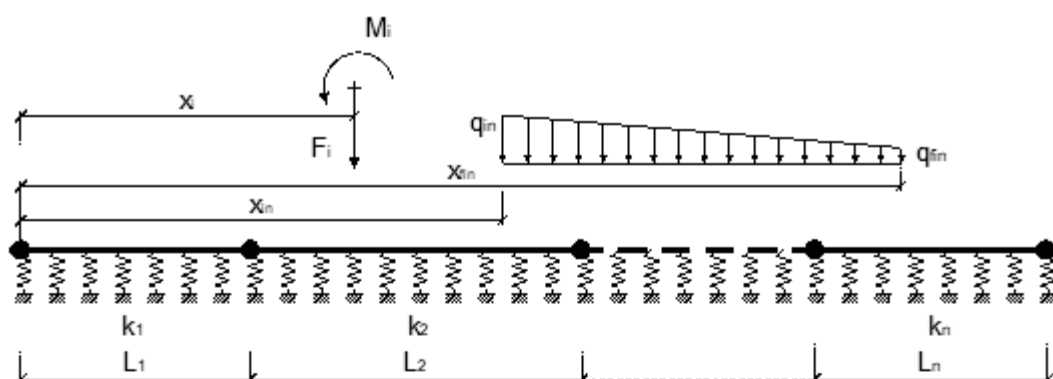
destra ☐ traslazione
☐ rotazione

forze e momenti concentrati			
	x (m)	F (kN)	M (kNm)
<input checked="" type="checkbox"/> 1	3,40	661,60	0,00
<input checked="" type="checkbox"/> 2	7,65	661,60	0,00
<input checked="" type="checkbox"/> 3	11,90	661,60	0,00
<input checked="" type="checkbox"/> 4	16,14	661,60	0,00
<input checked="" type="checkbox"/> 5	22,06	661,60	0,00
<input checked="" type="checkbox"/> 6	26,30	661,60	0,00
<input checked="" type="checkbox"/> 7	30,55	661,60	0,00
<input checked="" type="checkbox"/> 8	34,80	661,60	0,00
<input type="checkbox"/> 9	0,00	0,00	0,00
<input type="checkbox"/> 10	0,00	0,00	0,00

carichi distribuiti				
	x _{in} (m)	q _{in} (kN/m)	x _{fin} (m)	q _{fin} (kN/m)
<input checked="" type="checkbox"/> 1	0,70	65,50	1,10	65,50
<input checked="" type="checkbox"/> 2	18,90	65,50	19,30	65,50
<input checked="" type="checkbox"/> 3	37,10	65,50	37,50	65,50
<input type="checkbox"/> 4	0,00	0,00	0,00	0,00
<input type="checkbox"/> 5	0,00	0,00	0,00	0,00

Calcolo
(ctrl+r)

File di input – SLV cond. PVVVVVVV



tratto	L (m)	E (kN/m ²)	sezione	B (m)	H (m)	h ala (m)	b anima (m)	I (m ⁴)	$k_s \cdot B_s$ (kN/m ²)	reag. a traz.
1	38,20	3,0E+07	rettangolare	1,19	0,70	0,69	0,70		4000	na
2			T a L							na
3			T a L							na
4			T a L							zi
5			T a L							na
6			T a L							zi

L trave (m)
38,20

dim elementi (m)
0,2

max iterazioni
20

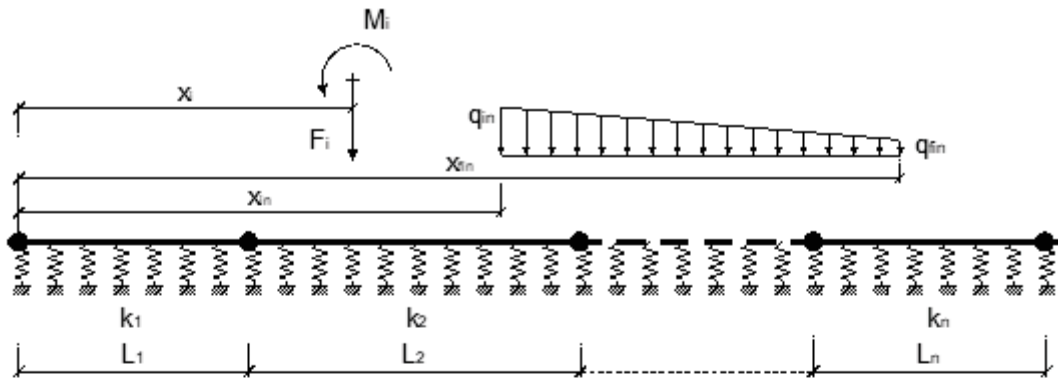
vincoli sinistra ☐ traslazione destra ☐ traslazione
☐ rotazione ☐ rotazione

forze e momenti concentrati			
	x (m)	F (kN)	M (kNm)
<input checked="" type="checkbox"/> 1	3,40	424,00	0,00
<input checked="" type="checkbox"/> 2	7,65	48,20	0,00
<input checked="" type="checkbox"/> 3	11,90	48,20	0,00
<input checked="" type="checkbox"/> 4	16,14	48,20	0,00
<input checked="" type="checkbox"/> 5	22,06	48,20	0,00
<input checked="" type="checkbox"/> 6	26,30	48,20	0,00
<input checked="" type="checkbox"/> 7	30,55	48,20	0,00
<input checked="" type="checkbox"/> 8	34,80	48,20	0,00
<input type="checkbox"/> 9	0,00	0,00	0,00
<input type="checkbox"/> 10	0,00	0,00	0,00

carichi distribuiti				
	x_s (m)	q_{is} (kN/m)	x_{fi} (m)	q_{fi} (kN/m)
<input checked="" type="checkbox"/> 1	0,70	59,20	1,10	59,20
<input checked="" type="checkbox"/> 2	18,90	59,20	19,30	59,20
<input checked="" type="checkbox"/> 3	37,10	59,20	37,50	59,20
<input type="checkbox"/> 4	0,00	0,00	0,00	0,00
<input type="checkbox"/> 5	0,00	0,00	0,00	0,00

Calcolo
(ctrl+r)

File di input – SLV cond. PPVVVVVV



tratto	L (m)	E (kN/m ²)	sezione	B (m)	H (m)	h ala (m)	b anima (m)	I (m ⁴)	k _x ·B _x (kN/m ²)	reag. a traz.
1	38,20	3,0E+07	rettangolare ▼	1,19	0,70	0,66	0,70		4000	na ▼
2			T a L ▼							na ▼
3			T a L ▼							na ▼
4			T a L ▼							zi ▼
5			T a L ▼							na ▼
6			T a L ▼							zi ▼

max iterazioni
20

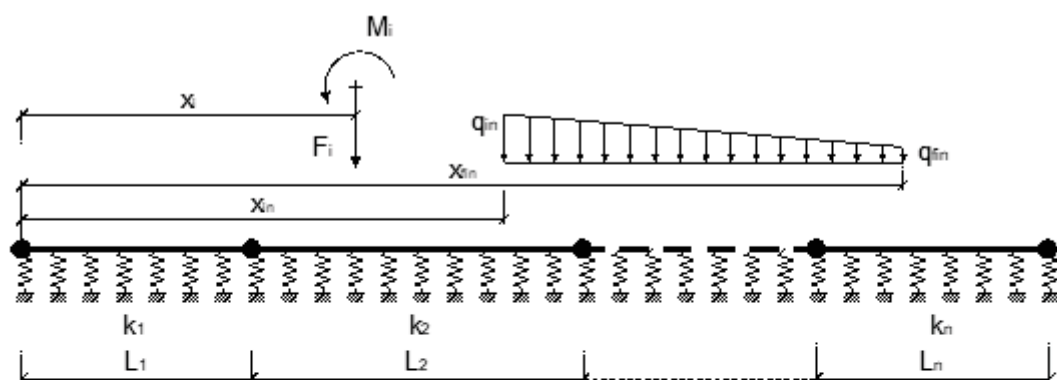
vincoli sinistra ☐ traslazione ☐ rotazione destra ☐ traslazione ☐ rotazione

forze e momenti concentrati			
	x (m)	F (kN)	M (kNm)
<input checked="" type="checkbox"/> 1	3,40	424,00	0,00
<input checked="" type="checkbox"/> 2	7,65	424,00	0,00
<input checked="" type="checkbox"/> 3	11,90	48,20	0,00
<input checked="" type="checkbox"/> 4	16,14	48,20	0,00
<input checked="" type="checkbox"/> 5	22,06	48,20	0,00
<input checked="" type="checkbox"/> 6	26,30	48,20	0,00
<input checked="" type="checkbox"/> 7	30,55	48,20	0,00
<input checked="" type="checkbox"/> 8	34,80	48,20	0,00
<input type="checkbox"/> 9	0,00	0,00	0,00
<input type="checkbox"/> 10	0,00	0,00	0,00

carichi distribuiti				
	s_{k1} (m)	q_{k1} (kN/m)	s_{k2} (m)	q_{k2} (kN/m)
<input checked="" type="checkbox"/> 1	0,70	59,20	1,10	59,20
<input checked="" type="checkbox"/> 2	18,90	59,20	19,30	59,20
<input checked="" type="checkbox"/> 3	37,10	59,20	37,50	59,20
<input type="checkbox"/> 4	0,00	0,00	0,00	0,00
<input type="checkbox"/> 5	0,00	0,00	0,00	0,00

Calcolo
(ctrl+r)

File di input – SLV cond. PPPVVVVV



tratto	L (m)	E (kN/m ²)	sezione	B (m)	H (m)	h ala (m)	b anima (m)	I (m ⁴)	$k_s \cdot B_s$ (kN/m ²)	reag. a traz.
1	38,20	3,0E+07	rettangolare	1,19	0,70	5,69	0,70		4000	na
2			T a L							na
3			T a L							na
4			T a L							zi
5			T a L							na
6			T a L							zi

L trave (m)
38,20

dim elementi (m)
0,2

max iterazioni
20

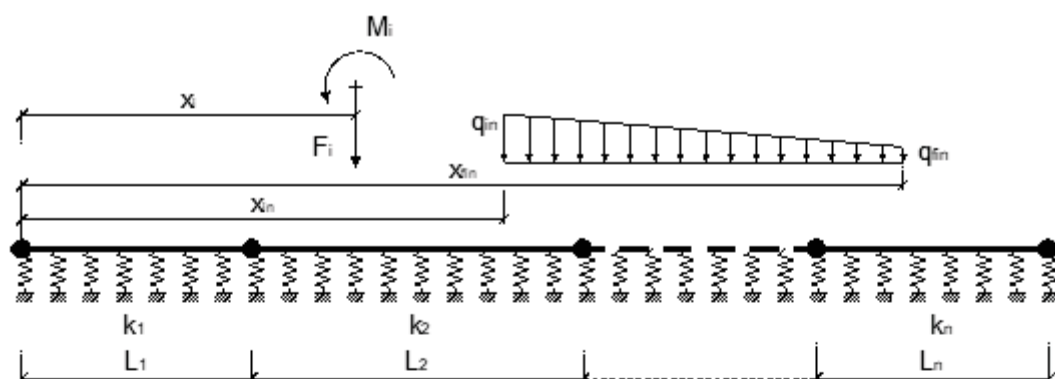
vincoli sinistra ☐ traslazione destra ☐ traslazione
☐ rotazione ☐ rotazione

forze e momenti concentrati			
	x (m)	F (kN)	M (kNm)
<input checked="" type="checkbox"/> 1	3,40	424,00	0,00
<input checked="" type="checkbox"/> 2	7,65	424,00	0,00
<input checked="" type="checkbox"/> 3	11,90	424,00	0,00
<input checked="" type="checkbox"/> 4	16,14	48,20	0,00
<input checked="" type="checkbox"/> 5	22,06	48,20	0,00
<input checked="" type="checkbox"/> 6	26,30	48,20	0,00
<input checked="" type="checkbox"/> 7	30,55	48,20	0,00
<input checked="" type="checkbox"/> 8	34,80	48,20	0,00
<input type="checkbox"/> 9	0,00	0,00	0,00
<input type="checkbox"/> 10	0,00	0,00	0,00

carichi distribuiti				
	x_{in} (m)	q_{in} (kN/m)	x_{fin} (m)	q_{fin} (kN/m)
<input checked="" type="checkbox"/> 1	0,70	59,20	1,10	59,20
<input checked="" type="checkbox"/> 2	18,90	59,20	19,30	59,20
<input checked="" type="checkbox"/> 3	37,10	59,20	37,50	59,20
<input type="checkbox"/> 4	0,00	0,00	0,00	0,00
<input type="checkbox"/> 5	0,00	0,00	0,00	0,00

Calcolo
(ctrl+r)

File di input – SLV cond. PPPPVVVV



tratto	L (m)	E (kN/m ²)	sezione	B (m)	H (m)	h ala (m)	b anima (m)	I (m ⁴)	$k_s \cdot B_s$ (kN/m ²)	reag. a traz.
1	38,20	3,0E+07	rettangolare	1,19	0,70	0,60	0,70		4000	na
2			T a L							na
3			T a L							na
4			T a L							ri
5			T a L							na
6			T a L							ri

L trave (m)
38,20

dim elementi (m)
0,2

max iterazioni
20

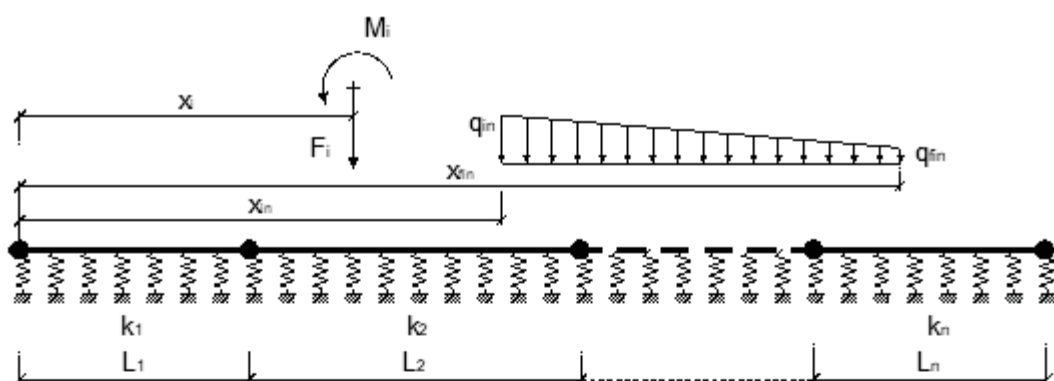
vincoli sinistra ☐ traslazione destra ☐ traslazione
☐ rotazione ☐ rotazione

forze e momenti concentrati			
	x (m)	F (kN)	M (kNm)
<input checked="" type="checkbox"/> 1	3,40	424,00	0,00
<input checked="" type="checkbox"/> 2	7,65	424,00	0,00
<input checked="" type="checkbox"/> 3	11,90	424,00	0,00
<input checked="" type="checkbox"/> 4	16,14	424,00	0,00
<input checked="" type="checkbox"/> 5	22,06	48,20	0,00
<input checked="" type="checkbox"/> 6	26,30	48,20	0,00
<input checked="" type="checkbox"/> 7	30,55	48,20	0,00
<input checked="" type="checkbox"/> 8	34,80	48,20	0,00
<input type="checkbox"/> 9	0,00	0,00	0,00
<input type="checkbox"/> 10	0,00	0,00	0,00

carichi distribuiti				
	x_s (m)	q_{is} (kN/m)	x_{is} (m)	q_{eis} (kN/m)
<input checked="" type="checkbox"/> 1	0,70	59,20	1,10	59,20
<input checked="" type="checkbox"/> 2	18,90	59,20	19,30	59,20
<input checked="" type="checkbox"/> 3	37,10	59,20	37,50	59,20
<input type="checkbox"/> 4	0,00	0,00	0,00	0,00
<input type="checkbox"/> 5	0,00	0,00	0,00	0,00

Calcolo
(ctrl+r)

File di input – SLV cond. PPPPPVVV



tratto	L (m)	E (kN/m²)	sezione	B (m)	H (m)	h ala (m)	b anima (m)	I (m⁴)	k _s *B _s (kN/m²)	reag. a traz.
1	38,20	3,0E+07	rettangolare	1,19	0,70	5,89	6,76		4000	na
2			T a L							na
3			T a L							na
4			T a L							zi
5			T a L							na
6			T a L							zi

L trave
(m)
38,20

dim
elementi
(m)
0,2

max
iterazioni
20

vincoli

sinistra

☐ traslazione

destra

☐ traslazione

☐ rotazione

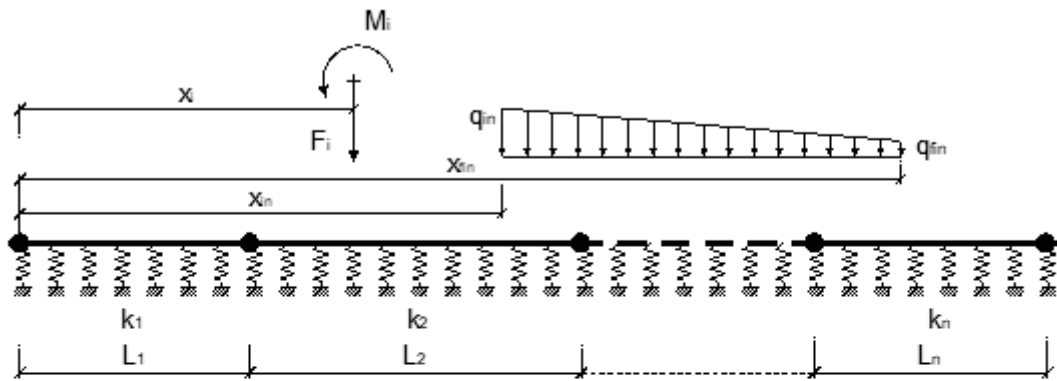
☐ rotazione

forze e momenti concentrati			
	x (m)	F (kN)	M (kNm)
<input checked="" type="checkbox"/> 1	3,40	424,00	0,00
<input checked="" type="checkbox"/> 2	7,65	424,00	0,00
<input checked="" type="checkbox"/> 3	11,90	424,00	0,00
<input checked="" type="checkbox"/> 4	16,14	424,00	0,00
<input checked="" type="checkbox"/> 5	22,06	424,00	0,00
<input checked="" type="checkbox"/> 6	26,30	48,20	0,00
<input checked="" type="checkbox"/> 7	30,55	48,20	0,00
<input checked="" type="checkbox"/> 8	34,80	48,20	0,00
<input type="checkbox"/> 9	0,00	0,00	0,00
<input type="checkbox"/> 10	0,00	0,00	0,00

carichi distribuiti				
	x ₁ (m)	q ₁ (kN/m)	x ₂ (m)	q ₂ (kN/m)
<input checked="" type="checkbox"/> 1	0,70	59,20	1,10	59,20
<input checked="" type="checkbox"/> 2	18,90	59,20	19,30	59,20
<input checked="" type="checkbox"/> 3	37,10	59,20	37,50	59,20
<input type="checkbox"/> 4	0,00	0,00	0,00	0,00
<input type="checkbox"/> 5	0,00	0,00	0,00	0,00

Calcolo
(ctrl+r)

File di input – SLV cond. PPPPPPVV



tratto	L (m)	E (kN/m ²)	sezione	B (m)	H (m)	h ala (m)	b anima (m)	I (m ⁴)	k _x ·B _x (kN/m ²)	reag. a traz.
1	38,20	3,0E+07	rettangolare ▼	1,19	0,70	0,66	0,70		4000	na ▼
2			T a L ▼							na ▼
3			T a L ▼							na ▼
4			T a L ▼							zi ▼
5			T a L ▼							na ▼
6			T a L ▼							zi ▼

# max iterazioni	20
------------------	----

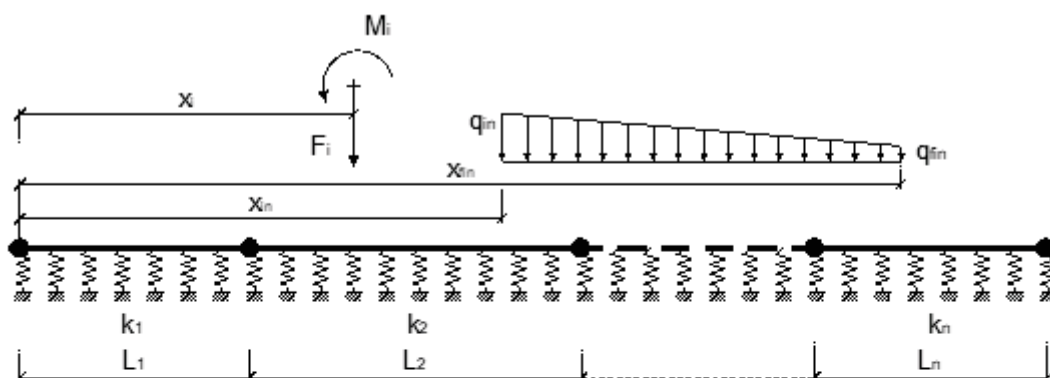
vincoli sinistra ☐ traslazione ☐ rotazione destra ☐ traslazione ☐ rotazione

forze e momenti concentrati			
	x (m)	F (kN)	M (kNm)
<input checked="" type="checkbox"/> 1	3,40	424,00	0,00
<input checked="" type="checkbox"/> 2	7,65	424,00	0,00
<input checked="" type="checkbox"/> 3	11,90	424,00	0,00
<input checked="" type="checkbox"/> 4	16,14	424,00	0,00
<input checked="" type="checkbox"/> 5	22,06	424,00	0,00
<input checked="" type="checkbox"/> 6	26,30	424,00	0,00
<input checked="" type="checkbox"/> 7	30,55	48,20	0,00
<input checked="" type="checkbox"/> 8	34,80	48,20	0,00
<input type="checkbox"/> 9	0,00	0,00	0,00
<input type="checkbox"/> 10	0,00	0,00	0,00

carichi distribuiti				
	s_{k1} (m)	q_{k1} (kN/m)	s_{k2} (m)	q_{k2} (kN/m)
<input checked="" type="checkbox"/> 1	0,70	59,20	1,10	59,20
<input checked="" type="checkbox"/> 2	18,90	59,20	19,30	59,20
<input checked="" type="checkbox"/> 3	37,10	59,20	37,50	59,20
<input type="checkbox"/> 4	0,00	0,00	0,00	0,00
<input type="checkbox"/> 5	0,00	0,00	0,00	0,00

Calcolo
(ctrl+r)

File di input – SLV cond. PPPPPPPV



tratto	L (m)	E (kN/m²)	sezione	B (m)	H (m)	h ala (m)	b anima (m)	I (m⁴)	ka*B _u (kN/m²)	reag. a traz.
1	38,20	3,0E+07	rettangolare	1,19	0,70	5,69	0,30		4000	na
2			T a L							na
3			T a L							na
4			T a L							zi
5			T a L							na
6			T a L							zi

L trave (m)
38,20

dim elementi (m)
0,2

max iterazioni
20

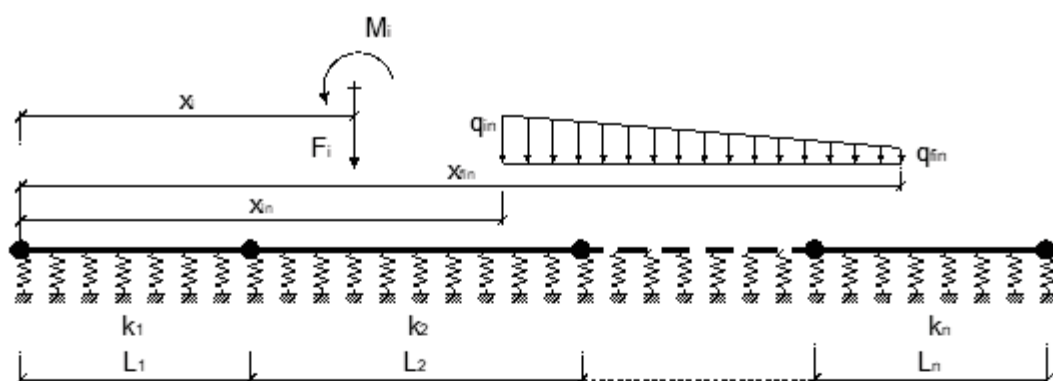
vincoli sinistra ☐ traslazione destra ☐ traslazione
☐ rotazione ☐ rotazione

forze e momenti concentrati			
	x (m)	F (kN)	M (kNm)
<input checked="" type="checkbox"/> 1	3,40	424,00	0,00
<input checked="" type="checkbox"/> 2	7,65	424,00	0,00
<input checked="" type="checkbox"/> 3	11,90	424,00	0,00
<input checked="" type="checkbox"/> 4	16,14	424,00	0,00
<input checked="" type="checkbox"/> 5	22,06	424,00	0,00
<input checked="" type="checkbox"/> 6	26,30	424,00	0,00
<input checked="" type="checkbox"/> 7	30,55	424,00	0,00
<input checked="" type="checkbox"/> 8	34,80	48,20	0,00
<input type="checkbox"/> 9	0,00	0,00	0,00
<input type="checkbox"/> 10	0,00	0,00	0,00

carichi distribuiti				
	xi (m)	qi (kN/m)	xiu (m)	qiu (kN/m)
<input checked="" type="checkbox"/> 1	0,70	59,20	1,10	59,20
<input checked="" type="checkbox"/> 2	18,90	59,20	19,30	59,20
<input checked="" type="checkbox"/> 3	37,10	59,20	37,50	59,20
<input type="checkbox"/> 4	0,00	0,00	0,00	0,00
<input type="checkbox"/> 5	0,00	0,00	0,00	0,00

Calcolo
(ctrl+r)

File di input – SLV cond. PPPPPPPP



tratto	L (m)	E (kN/m ²)	sezione	B (m)	H (m)	h ala (m)	b anima (m)	I (m ⁴)	$k_s \cdot B_s$ (kN/m ²)	reag. a traz.
1	38,20	3,0E+07	rettangolare	1,19	0,70	9,69	6,76		4000	na
2			T a L							na
3			T a L							na
4			T a L							ri
5			T a L							na
6			T a L							ri

L trave (m)
38,20

dim elementi (m)
0,2

max iterazioni
20

vincoli

sinistra

☐ traslazione

☐ rotazione

destra

☐ traslazione

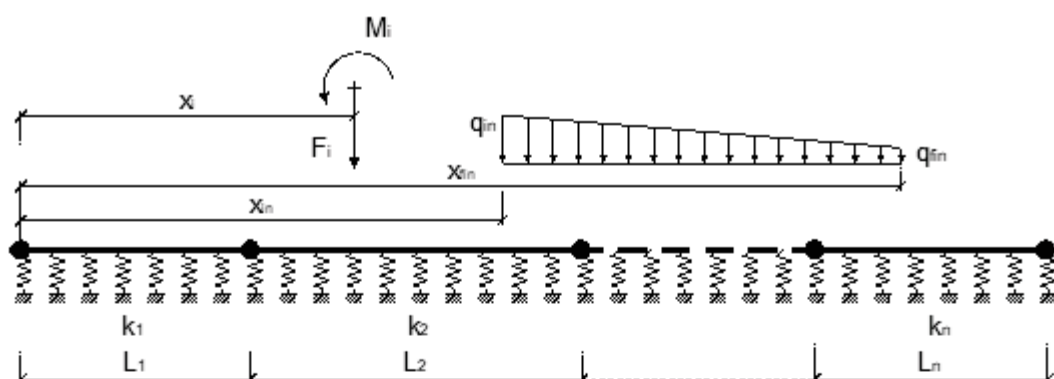
☐ rotazione

forze e momenti concentrati			
	x (m)	F (kN)	M (kNm)
<input checked="" type="checkbox"/> 1	3,40	424,00	0,00
<input checked="" type="checkbox"/> 2	7,65	424,00	0,00
<input checked="" type="checkbox"/> 3	11,90	424,00	0,00
<input checked="" type="checkbox"/> 4	16,14	424,00	0,00
<input checked="" type="checkbox"/> 5	22,06	424,00	0,00
<input checked="" type="checkbox"/> 6	26,30	424,00	0,00
<input checked="" type="checkbox"/> 7	30,55	424,00	0,00
<input checked="" type="checkbox"/> 8	34,80	424,00	0,00
<input type="checkbox"/> 9	0,00	0,00	0,00
<input type="checkbox"/> 10	0,00	0,00	0,00

carichi distribuiti				
	$x_{i,s}$ (m)	$q_{i,s}$ (kN/m)	$x_{i,f}$ (m)	$q_{i,f}$ (kN/m)
<input checked="" type="checkbox"/> 1	0,70	59,20	1,10	59,20
<input checked="" type="checkbox"/> 2	18,90	59,20	19,30	59,20
<input checked="" type="checkbox"/> 3	37,10	59,20	37,50	59,20
<input type="checkbox"/> 4	0,00	0,00	0,00	0,00
<input type="checkbox"/> 5	0,00	0,00	0,00	0,00

Calcolo
(ctrl+r)

File di input – SLE caratteristica cond. PVVVVVVV



tratto	L (m)	E (kN/m ²)	sezione	B (m)	H (m)	h ala (m)	b anima (m)	I (m ⁴)	k _s *B _s (kN/m ²)	reag. a traz.
1	38,20	3,0E+07	rettangolare	1,19	0,70	0,69	0,70		4000	na
2			T a L							na
3			T a L							na
4			T a L							zi
5			T a L							na
6			T a L							zi

L trave
(m)
38,20

dim
elementi
(m)
0,2

max
iterazioni
20

vincoli sinistra ☐ traslazione
☐ rotazione

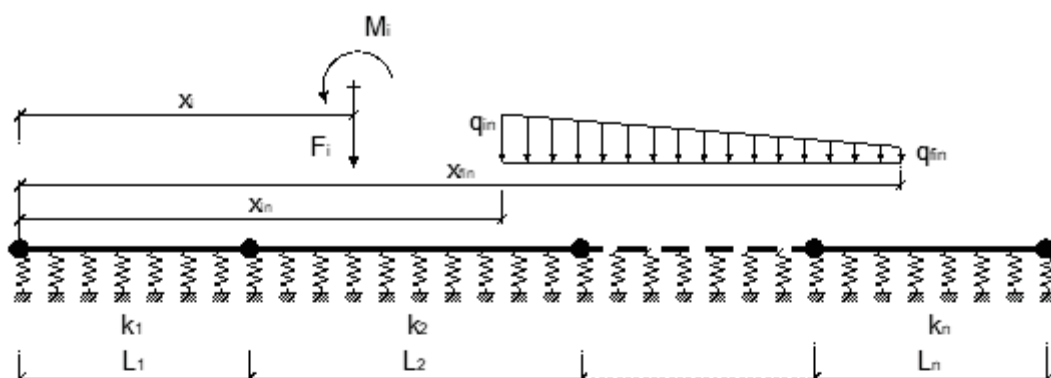
destra ☐ traslazione
☐ rotazione

forze e momenti concentrati			
	x (m)	F (kN)	M (kNm)
<input checked="" type="checkbox"/> 1	3,40	441,00	0,00
<input checked="" type="checkbox"/> 2	7,65	41,00	0,00
<input checked="" type="checkbox"/> 3	11,90	41,00	0,00
<input checked="" type="checkbox"/> 4	16,14	41,00	0,00
<input checked="" type="checkbox"/> 5	22,06	41,00	0,00
<input checked="" type="checkbox"/> 6	26,30	41,00	0,00
<input checked="" type="checkbox"/> 7	30,55	41,00	0,00
<input checked="" type="checkbox"/> 8	34,80	41,00	0,00
<input type="checkbox"/> 9	0,00	0,00	0,00
<input type="checkbox"/> 10	0,00	0,00	0,00

carichi distribuiti				
	x _{in} (m)	q _{in} (kN/m)	x _{fin} (m)	q _{fin} (kN/m)
<input checked="" type="checkbox"/> 1	0,70	50,40	1,10	50,40
<input checked="" type="checkbox"/> 2	18,90	50,40	19,30	50,40
<input checked="" type="checkbox"/> 3	37,10	50,40	37,50	50,40
<input type="checkbox"/> 4	0,00	0,00	0,00	0,00
<input type="checkbox"/> 5	0,00	0,00	0,00	0,00

Calcolo
(ctrl+r)

File di input – SLE caratteristica cond. PPVVVVVV



tratto	L (m)	E (kN/m ²)	sezione	B (m)	H (m)	h ala (m)	b anima (m)	I (m ⁴)	k _s *B _s (kN/m ²)	reag. a traz.
1	38,20	3,0E+07	rettangolare	1,19	0,70	0,65	0,70		4000	na
2			T a L							na
3			T a L							na
4			T a L							zi
5			T a L							na
6			T a L							zi

L trave
(m)
38,20

dim
elementi
(m)
0,2

max
iterazioni
20

vincoli sinistra ☐ traslazione
☐ rotazione

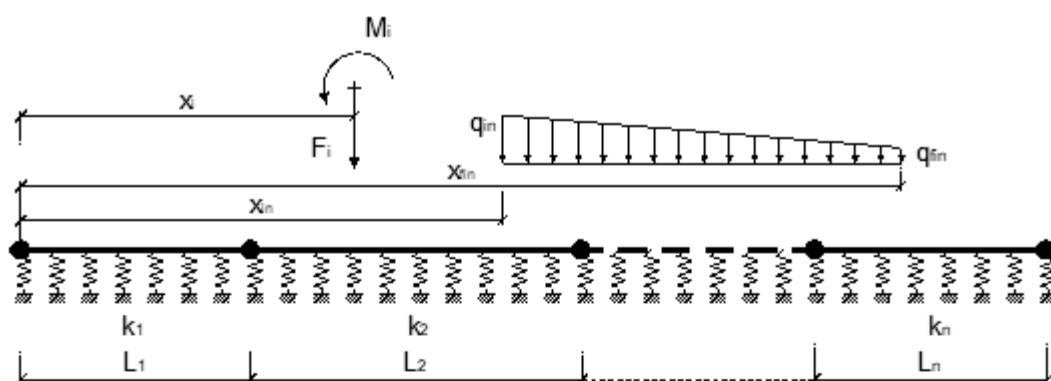
destra ☐ traslazione
☐ rotazione

forze e momenti concentrati			
	x (m)	F (kN)	M (kNm)
<input checked="" type="checkbox"/> 1	3,40	441,00	0,00
<input checked="" type="checkbox"/> 2	7,65	441,00	0,00
<input checked="" type="checkbox"/> 3	11,90	41,00	0,00
<input checked="" type="checkbox"/> 4	16,14	41,00	0,00
<input checked="" type="checkbox"/> 5	22,06	41,00	0,00
<input checked="" type="checkbox"/> 6	26,30	41,00	0,00
<input checked="" type="checkbox"/> 7	30,55	41,00	0,00
<input checked="" type="checkbox"/> 8	34,80	41,00	0,00
<input type="checkbox"/> 9	0,00	0,00	0,00
<input type="checkbox"/> 10	0,00	0,00	0,00

carichi distribuiti				
	x ₁ (m)	q ₁ (kN/m)	x ₂ (m)	q ₂ (kN/m)
<input checked="" type="checkbox"/> 1	0,70	50,40	1,10	50,40
<input checked="" type="checkbox"/> 2	18,90	50,40	19,30	50,40
<input checked="" type="checkbox"/> 3	37,10	50,40	37,50	50,40
<input type="checkbox"/> 4	0,00	0,00	0,00	0,00
<input type="checkbox"/> 5	0,00	0,00	0,00	0,00

Calcolo
(ctrl+r)

File di input – SLE caratteristica cond. PPPVVVVV



tratto	L (m)	E (kN/m ²)	sezione	B (m)	H (m)	h ala (m)	b anima (m)	I (m ⁴)	k _s *B _s (kN/m ²)	reag. a traz.
1	38,20	3,0E+07	rettangolare	1,19	0,70	5,69	0,70		4000	na
2			T a L							na
3			T a L							na
4			T a L							ri
5			T a L							na
6			T a L							ri

L trave (m)
38,20

dim elementi (m)
0,2

max iterazioni
20

vincoli

sinistra

☐ traslazione

☐ rotazione

destra

☐ traslazione

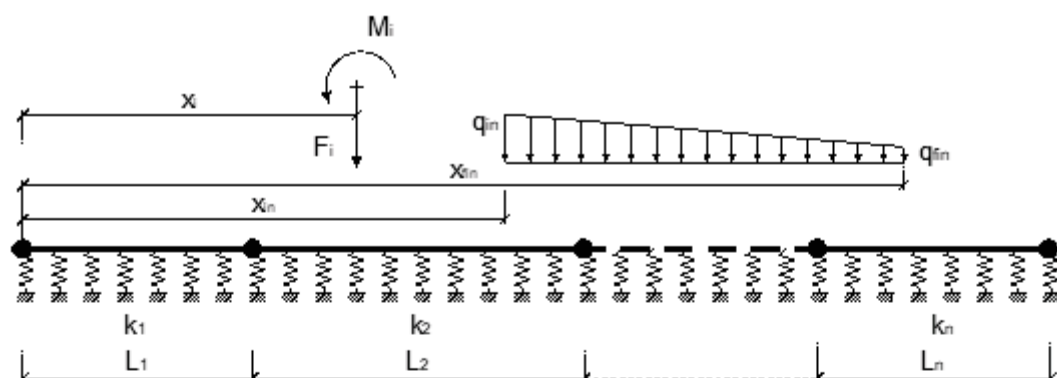
☐ rotazione

forze e momenti concentrati			
	x (m)	F (kN)	M (kNm)
<input checked="" type="checkbox"/> 1	3,40	441,00	0,00
<input checked="" type="checkbox"/> 2	7,65	441,00	0,00
<input checked="" type="checkbox"/> 3	11,90	441,00	0,00
<input checked="" type="checkbox"/> 4	16,14	41,00	0,00
<input checked="" type="checkbox"/> 5	22,06	41,00	0,00
<input checked="" type="checkbox"/> 6	26,30	41,00	0,00
<input checked="" type="checkbox"/> 7	30,55	41,00	0,00
<input checked="" type="checkbox"/> 8	34,80	41,00	0,00
<input type="checkbox"/> 9	0,00	0,00	0,00
<input type="checkbox"/> 10	0,00	0,00	0,00

carichi distribuiti				
	x _{in} (m)	q _{in} (kN/m)	x _{fin} (m)	q _{fin} (kN/m)
<input checked="" type="checkbox"/> 1	0,70	50,40	1,10	50,40
<input checked="" type="checkbox"/> 2	18,90	50,40	19,30	50,40
<input checked="" type="checkbox"/> 3	37,10	50,40	37,50	50,40
<input type="checkbox"/> 4	0,00	0,00	0,00	0,00
<input type="checkbox"/> 5	0,00	0,00	0,00	0,00

Calcolo
(ctrl+r)

File di input – SLE caratteristica cond. PPPPPVVV



tratto	L (m)	E (kN/m ²)	sezione	B (m)	H (m)	h ala (m)	b anima (m)	I (m ⁴)	$k_s \cdot B_s$ (kN/m ²)	reag. a traz.
1	38,20	3,0E+07	rettangolare	1,19	0,70	5,65	0,70		4000	na
2			T a L							na
3			T a L							na
4			T a L							zi
5			T a L							na
6			T a L							zi

L trave (m)
38,20

dim elementi (m)
0,2

max iterazioni
20

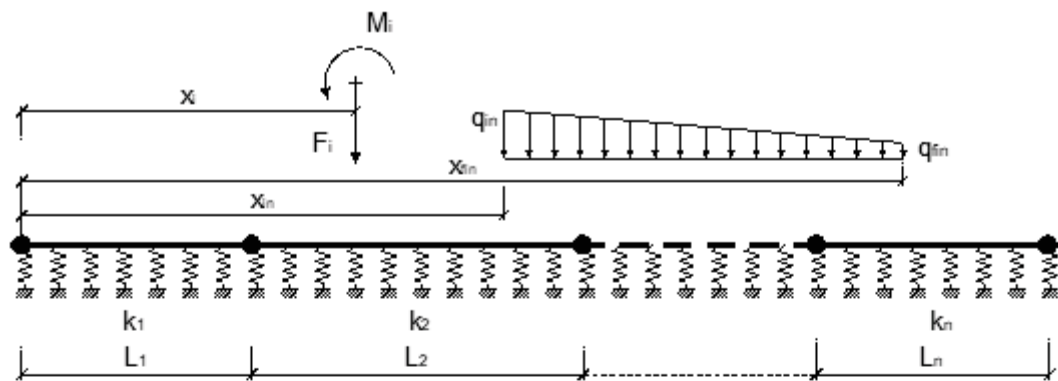
vincoli sinistra ☐ traslazione destra ☐ traslazione
☐ rotazione ☐ rotazione

forze e momenti concentrati			
	x (m)	F (kN)	M (kNm)
<input checked="" type="checkbox"/> 1	3,40	441,00	0,00
<input checked="" type="checkbox"/> 2	7,65	441,00	0,00
<input checked="" type="checkbox"/> 3	11,90	441,00	0,00
<input checked="" type="checkbox"/> 4	16,14	441,00	0,00
<input checked="" type="checkbox"/> 5	22,06	441,00	0,00
<input checked="" type="checkbox"/> 6	26,30	41,00	0,00
<input checked="" type="checkbox"/> 7	30,55	41,00	0,00
<input checked="" type="checkbox"/> 8	34,80	41,00	0,00
<input type="checkbox"/> 9	0,00	0,00	0,00
<input type="checkbox"/> 10	0,00	0,00	0,00

carichi distribuiti				
	x_{in} (m)	q_{in} (kN/m)	x_{fin} (m)	q_{fin} (kN/m)
<input checked="" type="checkbox"/> 1	0,70	50,40	1,10	50,40
<input checked="" type="checkbox"/> 2	18,90	50,40	19,30	50,40
<input checked="" type="checkbox"/> 3	37,10	50,40	37,50	50,40
<input type="checkbox"/> 4	0,00	0,00	0,00	0,00
<input type="checkbox"/> 5	0,00	0,00	0,00	0,00

Calcolo
(ctrl+r)

File di input – SLE caratteristica cond. PPPPPVVV



tratto	L (m)	E (kN/m ²)	sezione	B (m)	H (m)	h ala (m)	b anima (m)	I (m ⁴)	k _x ·B _x (kN/m ²)	reag. a traz.
1	38,20	3,0E+07	rettangolare ▼	1,19	0,70	0,60	0,30		4000	na ▼
2			T a L ▼							na ▼
3			T a L ▼							na ▼
4			T a L ▼							zi ▼
5			T a L ▼							na ▼
6			T a L ▼							zi ▼

# max iterazioni	20
------------------	----

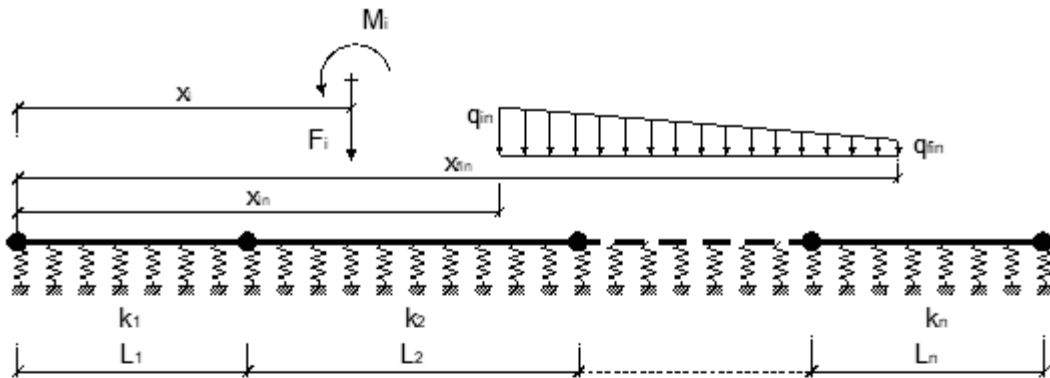
vincoli sinistra ☐ traslazione ☐ rotazione destra ☐ traslazione ☐ rotazione

forze e momenti concentrati			
	x (m)	F (kN)	M (kNm)
<input checked="" type="checkbox"/> 1	3,40	441,00	0,00
<input checked="" type="checkbox"/> 2	7,65	441,00	0,00
<input checked="" type="checkbox"/> 3	11,90	441,00	0,00
<input checked="" type="checkbox"/> 4	16,14	441,00	0,00
<input checked="" type="checkbox"/> 5	22,06	441,00	0,00
<input checked="" type="checkbox"/> 6	26,30	441,00	0,00
<input checked="" type="checkbox"/> 7	30,55	41,00	0,00
<input checked="" type="checkbox"/> 8	34,80	41,00	0,00
<input type="checkbox"/> 9	0,00	0,00	0,00
<input type="checkbox"/> 10	0,00	0,00	0,00

carichi distribuiti				
	$s_{i,s}$ (m)	$q_{i,s}$ (kN/m)	$s_{i,e}$ (m)	$q_{i,e}$ (kN/m)
<input checked="" type="checkbox"/> 1	0,70	50,40	1,10	50,40
<input checked="" type="checkbox"/> 2	18,90	50,40	19,30	50,40
<input checked="" type="checkbox"/> 3	37,10	50,40	37,50	50,40
<input type="checkbox"/> 4	0,00	0,00	0,00	0,00
<input type="checkbox"/> 5	0,00	0,00	0,00	0,00

Calcolo
(ctrl+r)

File di input – SLE caratteristica cond. PPPPPPV



tratto	L (m)	E (kN/m ²)	sezione	B (m)	H (m)	h ala (m)	b anima (m)	I (m ⁴)	k _x B _x (kN/m ²)	reag. a traz.
1	38,20	3,0E+07	rettangolare ▼	1,19	0,70	0,60	0,70		4000	na ▼
2			T a L ▼							na ▼
3			T a L ▼							na ▼
4			T a L ▼							zi ▼
5			T a L ▼							na ▼
6			T a L ▼							zi ▼

# max iterazioni	20
------------------	----

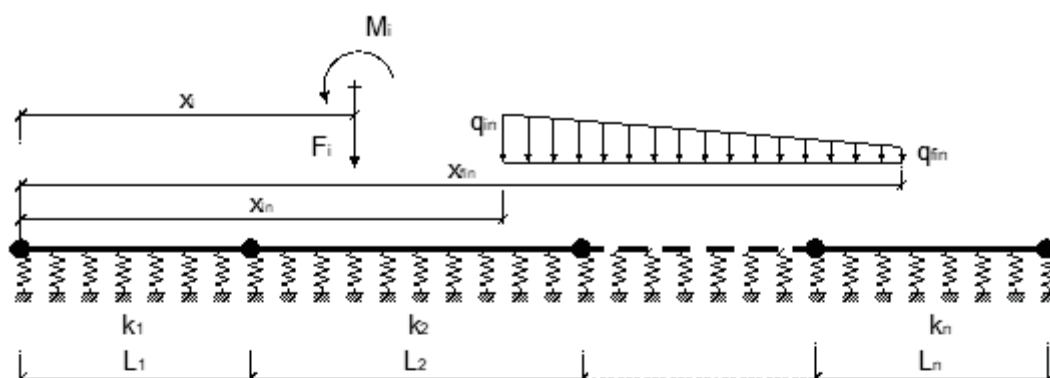
vincoli sinistra ☐ traslazione ☐ rotazione destra ☐ traslazione ☐ rotazione

forze e momenti concentrati			
	x (m)	F (kN)	M (kNm)
<input checked="" type="checkbox"/> 1	3,40	441,00	0,00
<input checked="" type="checkbox"/> 2	7,65	441,00	0,00
<input checked="" type="checkbox"/> 3	11,90	441,00	0,00
<input checked="" type="checkbox"/> 4	16,14	441,00	0,00
<input checked="" type="checkbox"/> 5	22,06	441,00	0,00
<input checked="" type="checkbox"/> 6	26,30	441,00	0,00
<input checked="" type="checkbox"/> 7	30,55	441,00	0,00
<input checked="" type="checkbox"/> 8	34,80	41,00	0,00
<input type="checkbox"/> 9	0,00	0,00	0,00
<input type="checkbox"/> 10	0,00	0,00	0,00

carichi distribuiti				
	$x_{i,n}$ (m)	$q_{i,n}$ (kN/m)	$x_{i,n}$ (m)	$q_{i,n}$ (kN/m)
<input checked="" type="checkbox"/> 1	0,70	50,40	1,10	50,40
<input checked="" type="checkbox"/> 2	18,90	50,40	19,30	50,40
<input checked="" type="checkbox"/> 3	37,10	50,40	37,50	50,40
<input type="checkbox"/> 4	0,00	0,00	0,00	0,00
<input type="checkbox"/> 5	0,00	0,00	0,00	0,00

Calcolo
(ctrl+r)

File di input – SLE caratteristica cond. P P P P P P P P



tratto	L (m)	E (kN/m ²)	sezione	B (m)	H (m)	h ala (m)	b anima (m)	I (m ⁴)	$k_s \cdot B_s$ (kN/m ²)	reag. a traz.
1	38,20	3,0E+07	rettangolare	1,19	0,70	5,65	0,70		4000	na
2			T a L							na
3			T a L							na
4			T a L							zi
5			T a L							na
6			T a L							zi

L trave (m)
38,20

dim elementi (m)
0,2

max iterazioni
20

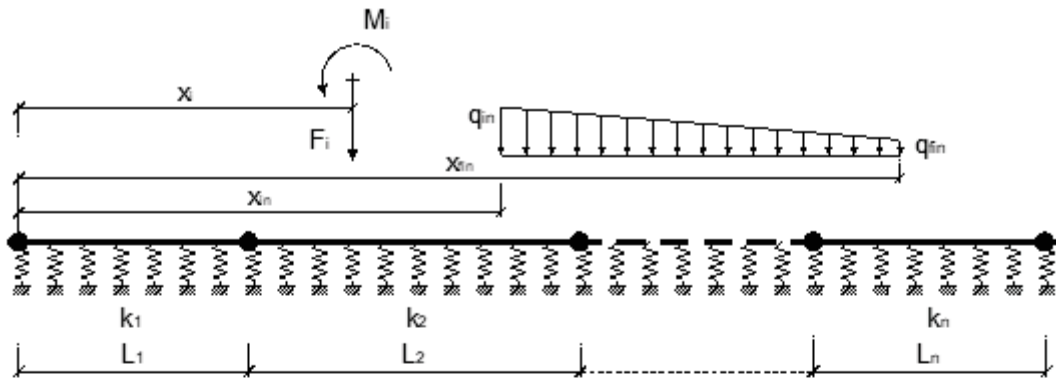
vincoli sinistra ☐ traslazione destra ☐ traslazione
☐ rotazione ☐ rotazione

forze e momenti concentrati			
	x (m)	F (kN)	M (kNm)
<input checked="" type="checkbox"/> 1	3,40	441,00	0,00
<input checked="" type="checkbox"/> 2	7,65	441,00	0,00
<input checked="" type="checkbox"/> 3	11,90	441,00	0,00
<input checked="" type="checkbox"/> 4	16,14	441,00	0,00
<input checked="" type="checkbox"/> 5	22,06	441,00	0,00
<input checked="" type="checkbox"/> 6	26,30	441,00	0,00
<input checked="" type="checkbox"/> 7	30,55	441,00	0,00
<input checked="" type="checkbox"/> 8	34,80	441,00	0,00
<input type="checkbox"/> 9	0,00	0,00	0,00
<input type="checkbox"/> 10	0,00	0,00	0,00

carichi distribuiti				
	x_{in} (m)	q_{in} (kN/m)	x_{in} (m)	q_{in} (kN/m)
<input checked="" type="checkbox"/> 1	0,70	50,40	1,10	50,40
<input checked="" type="checkbox"/> 2	18,90	50,40	19,30	50,40
<input checked="" type="checkbox"/> 3	37,10	50,40	37,50	50,40
<input type="checkbox"/> 4	0,00	0,00	0,00	0,00
<input type="checkbox"/> 5	0,00	0,00	0,00	0,00

Calcolo
(ctrl+r)

File di input – SLE frequente cond. P V V V V V V V



tratto	L (m)	E (kN/m ²)	sezione	B (m)	H (m)	h ala (m)	b anima (m)	I (m ⁴)	k _x ·B _x (kN/m ²)	reag. a traz.
1	38,20	3,0E+07	rettangolare ▼	1,19	0,70	0,69	0,70		4000	na ▼
2			T a L ▼							na ▼
3			T a L ▼							na ▼
4			T a L ▼							zi ▼
5			T a L ▼							na ▼
6			T a L ▼							zi ▼

# max iterazioni	20
------------------	----

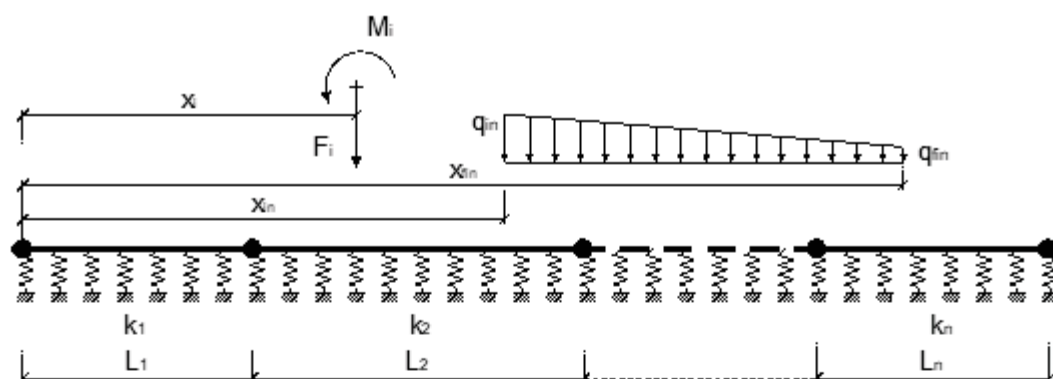
vincoli sinistra ☐ traslazione ☐ rotazione destra ☐ traslazione ☐ rotazione

forze e momenti concentrati			
	x (m)	F (kN)	M (kNm)
<input checked="" type="checkbox"/> 1	3,40	401,00	0,00
<input checked="" type="checkbox"/> 2	7,65	41,00	0,00
<input checked="" type="checkbox"/> 3	11,90	41,00	0,00
<input checked="" type="checkbox"/> 4	16,14	41,00	0,00
<input checked="" type="checkbox"/> 5	22,06	41,00	0,00
<input checked="" type="checkbox"/> 6	26,30	41,00	0,00
<input checked="" type="checkbox"/> 7	30,55	41,00	0,00
<input checked="" type="checkbox"/> 8	34,80	41,00	0,00
<input type="checkbox"/> 9	0,00	0,00	0,00
<input type="checkbox"/> 10	0,00	0,00	0,00

carichi distribuiti				
	$l_{i,0}$ (m)	$q_{i,0}$ (kN/m)	$l_{i,1}$ (m)	$q_{i,1}$ (kN/m)
<input checked="" type="checkbox"/> 1	0,70	50,40	1,10	50,40
<input checked="" type="checkbox"/> 2	18,90	50,40	19,30	50,40
<input checked="" type="checkbox"/> 3	37,10	50,40	37,50	50,40
<input type="checkbox"/> 4	0,00	0,00	0,00	0,00
<input type="checkbox"/> 5	0,00	0,00	0,00	0,00

Calcolo
(ctrl+r)

File di input – SLE frequente cond. PPVVVVVV



tratto	L (m)	E (kN/m²)	sezione	B (m)	H (m)	h ala (m)	b anima (m)	I (m⁴)	k _s *B _s (kN/m²)	reag. a traz.
1	38,20	3,0E+07	rettangolare	1,19	0,70	0,60	0,30		4000	na
2			T a L							na
3			T a L							na
4			T a L							zi
5			T a L							na
6			T a L							zi

L trave (m)
38,20

dim elementi (m)
0,2

max iterazioni
20

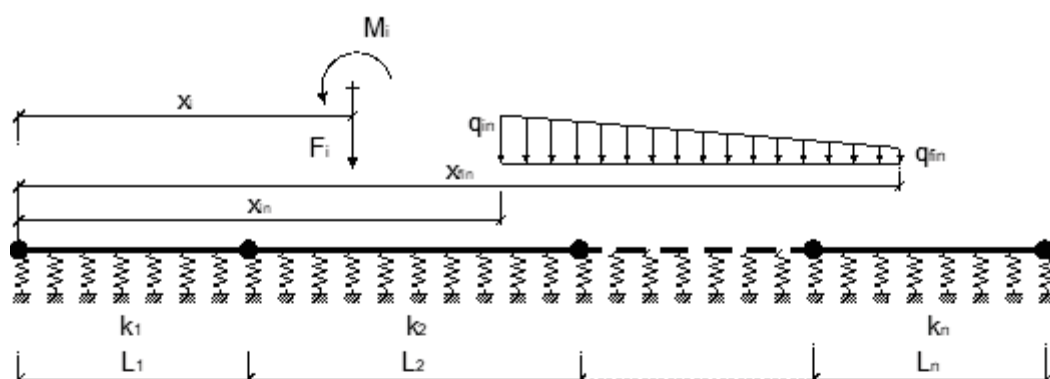
vincoli sinistra ☐ traslazione destra ☐ traslazione
☐ rotazione ☐ rotazione

forze e momenti concentrati			
	x (m)	F (kN)	M (kNm)
<input checked="" type="checkbox"/> 1	3,40	401,00	0,00
<input checked="" type="checkbox"/> 2	7,65	401,00	0,00
<input checked="" type="checkbox"/> 3	11,90	41,00	0,00
<input checked="" type="checkbox"/> 4	16,14	41,00	0,00
<input checked="" type="checkbox"/> 5	22,06	41,00	0,00
<input checked="" type="checkbox"/> 6	26,30	41,00	0,00
<input checked="" type="checkbox"/> 7	30,55	41,00	0,00
<input checked="" type="checkbox"/> 8	34,80	41,00	0,00
<input type="checkbox"/> 9	0,00	0,00	0,00
<input type="checkbox"/> 10	0,00	0,00	0,00

carichi distribuiti				
	x _{in} (m)	q _{in} (kN/m)	x _{fin} (m)	q _{fin} (kN/m)
<input checked="" type="checkbox"/> 1	0,70	50,40	1,10	50,40
<input checked="" type="checkbox"/> 2	18,90	50,40	19,30	50,40
<input checked="" type="checkbox"/> 3	37,10	50,40	37,50	50,40
<input type="checkbox"/> 4	0,00	0,00	0,00	0,00
<input type="checkbox"/> 5	0,00	0,00	0,00	0,00

Calcolo
(ctrl+r)

File di input – SLE frequente cond. PPPVVVVV



tratto	L (m)	E (kN/m ²)	sezione	B (m)	H (m)	h ala (m)	b anima (m)	I (m ⁴)	$k_s \cdot B_s$ (kN/m ²)	reag. a traz.
1	38,20	3,0E+07	rettangolare	1,19	0,70	9,69	6,76		4000	na
2			T a L							na
3			T a L							na
4			T a L							zi
5			T a L							na
6			T a L							zi

L trave (m)
38,20

dim elementi (m)
0,2

max iterazioni
20

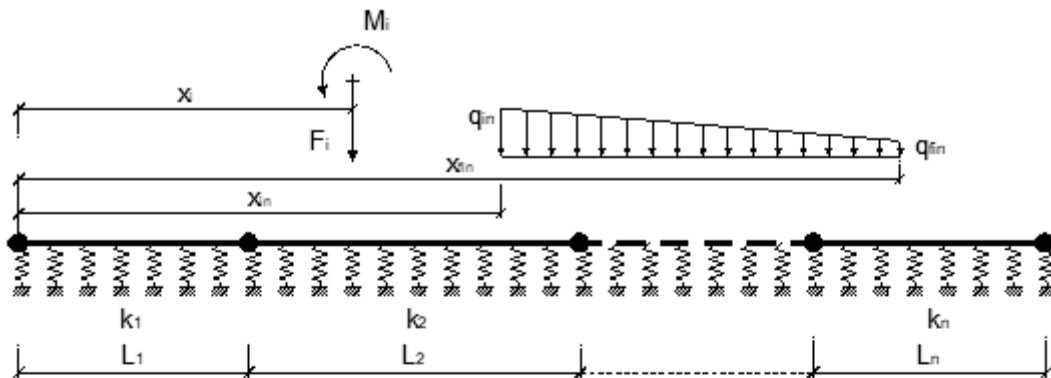
vincoli sinistra ☐ traslazione destra ☐ traslazione
☐ rotazione ☐ rotazione

forze e momenti concentrati			
	x (m)	F (kN)	M (kNm)
<input checked="" type="checkbox"/> 1	3,40	401,00	0,00
<input checked="" type="checkbox"/> 2	7,65	401,00	0,00
<input checked="" type="checkbox"/> 3	11,90	401,00	0,00
<input checked="" type="checkbox"/> 4	16,14	41,00	0,00
<input checked="" type="checkbox"/> 5	22,06	41,00	0,00
<input checked="" type="checkbox"/> 6	26,30	41,00	0,00
<input checked="" type="checkbox"/> 7	30,55	41,00	0,00
<input checked="" type="checkbox"/> 8	34,80	41,00	0,00
<input type="checkbox"/> 9	0,00	0,00	0,00
<input type="checkbox"/> 10	0,00	0,00	0,00

carichi distribuiti				
	x_{in} (m)	q_{in} (kN/m)	x_{in} (m)	q_{in} (kN/m)
<input checked="" type="checkbox"/> 1	0,70	50,40	1,10	50,40
<input checked="" type="checkbox"/> 2	18,90	50,40	19,30	50,40
<input checked="" type="checkbox"/> 3	37,10	50,40	37,50	50,40
<input type="checkbox"/> 4	0,00	0,00	0,00	0,00
<input type="checkbox"/> 5	0,00	0,00	0,00	0,00

Calcolo
(ctrl+r)

File di input – SLE frequente cond. PPPPVVVV



tratto	L (m)	E (kN/m ²)	sezione	B (m)	H (m)	h ala (m)	b anima (m)	I (m ⁴)	k ₁ ·B _u (kN/m ²)	reag. a traz.
1	38,20	3,0E+07	rettangolare	1,19	0,70	0,65	0,70		4000	na
2			T a L							na
3			T a L							na
4			T a L							zi
5			T a L							na
6			T a L							zi

L trave (m)
38,20

dim elementi (m)
0,2

# max iterazioni	20
------------------	----

vincoli sinistra ☐ traslazione
☐ rotazione

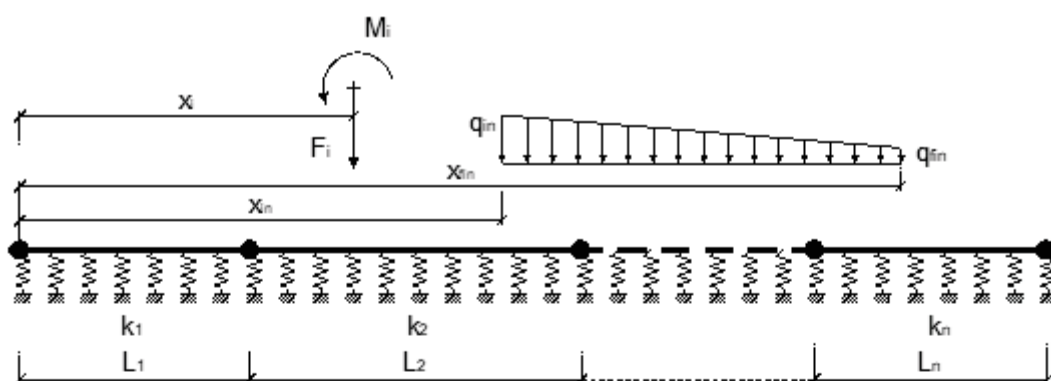
destra ☐ traslazione
☐ rotazione

forze e momenti concentrati			
	x (m)	F (kN)	M (kNm)
<input checked="" type="checkbox"/> 1	3,40	401,00	0,00
<input checked="" type="checkbox"/> 2	7,65	401,00	0,00
<input checked="" type="checkbox"/> 3	11,90	401,00	0,00
<input checked="" type="checkbox"/> 4	16,14	401,00	0,00
<input checked="" type="checkbox"/> 5	22,06	41,00	0,00
<input checked="" type="checkbox"/> 6	26,30	41,00	0,00
<input checked="" type="checkbox"/> 7	30,55	41,00	0,00
<input checked="" type="checkbox"/> 8	34,80	41,00	0,00
<input type="checkbox"/> 9	0,00	0,00	0,00
<input type="checkbox"/> 10	0,00	0,00	0,00

carichi distribuiti				
	q ₁ (m)	q ₂ (kN/m)	q ₃ (m)	q ₄ (kN/m)
<input checked="" type="checkbox"/> 1	0,70	50,40	1,10	50,40
<input checked="" type="checkbox"/> 2	18,90	50,40	19,30	50,40
<input checked="" type="checkbox"/> 3	37,10	50,40	37,50	50,40
<input type="checkbox"/> 4	0,00	0,00	0,00	0,00
<input type="checkbox"/> 5	0,00	0,00	0,00	0,00

Calcolo
(ctrl+r)

File di input – SLE frequente cond. PPPPPVVV



tratto	L (m)	E (kN/m ²)	sezione	B (m)	H (m)	h ala (m)	b anima (m)	I (m ⁴)	k _s *B _s (kN/m ²)	reag. a traz.
1	38,20	3,0E+07	rettangolare	1,19	0,70	5,69	0,70		4000	na
2			T a L							na
3			T a L							na
4			T a L							ri
5			T a L							na
6			T a L							ri

L trave
(m)
38,20

dim
elementi
(m)
0,2

max
iterazioni
20

vincoli sinistra ☐ traslazione
☐ rotazione

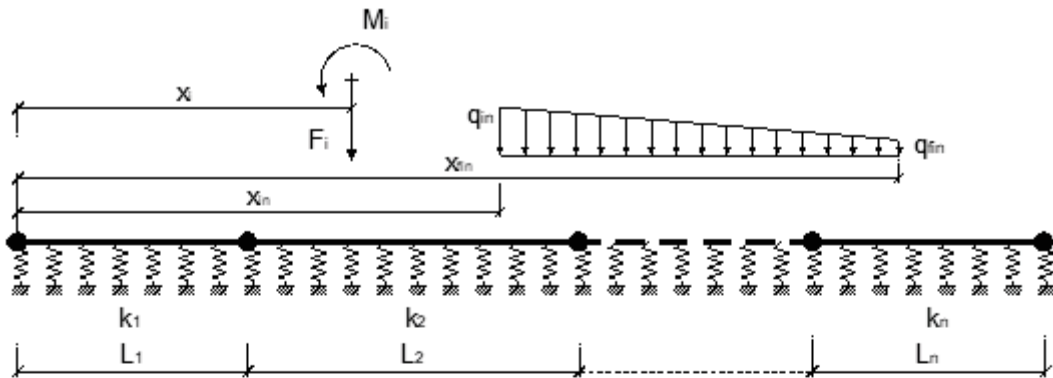
destra ☐ traslazione
☐ rotazione

forze e momenti concentrati			
	x (m)	F (kN)	M (kNm)
<input checked="" type="checkbox"/> 1	3,40	401,00	0,00
<input checked="" type="checkbox"/> 2	7,65	401,00	0,00
<input checked="" type="checkbox"/> 3	11,90	401,00	0,00
<input checked="" type="checkbox"/> 4	16,14	401,00	0,00
<input checked="" type="checkbox"/> 5	22,06	401,00	0,00
<input checked="" type="checkbox"/> 6	26,30	41,00	0,00
<input checked="" type="checkbox"/> 7	30,55	41,00	0,00
<input checked="" type="checkbox"/> 8	34,80	41,00	0,00
<input type="checkbox"/> 9	0,00	0,00	0,00
<input type="checkbox"/> 10	0,00	0,00	0,00

carichi distribuiti				
	x _{in} (m)	q _{in} (kN/m)	x _{fin} (m)	q _{fin} (kN/m)
<input checked="" type="checkbox"/> 1	0,70	50,40	1,10	50,40
<input checked="" type="checkbox"/> 2	18,90	50,40	19,30	50,40
<input checked="" type="checkbox"/> 3	37,10	50,40	37,50	50,40
<input type="checkbox"/> 4	0,00	0,00	0,00	0,00
<input type="checkbox"/> 5	0,00	0,00	0,00	0,00

Calcolo
(ctrl+r)

File di input – SLE frequente cond. PPPPPPVV



tratto	L (m)	E (kN/m ²)	sezione	B (m)	H (m)	h ala (m)	b anima (m)	I (m ⁴)	k _u B _u (kN/m ²)	reag. a traz.
1	38,20	3,0E+07	rettangolare ▼	1,19	0,70	0,69	0,70		4000	na ▼
2			T a L ▼							na ▼
3			T a L ▼							na ▼
4			T a L ▼							zi ▼
5			T a L ▼							na ▼
6			T a L ▼							zi ▼

# max iterazioni	20
------------------	----

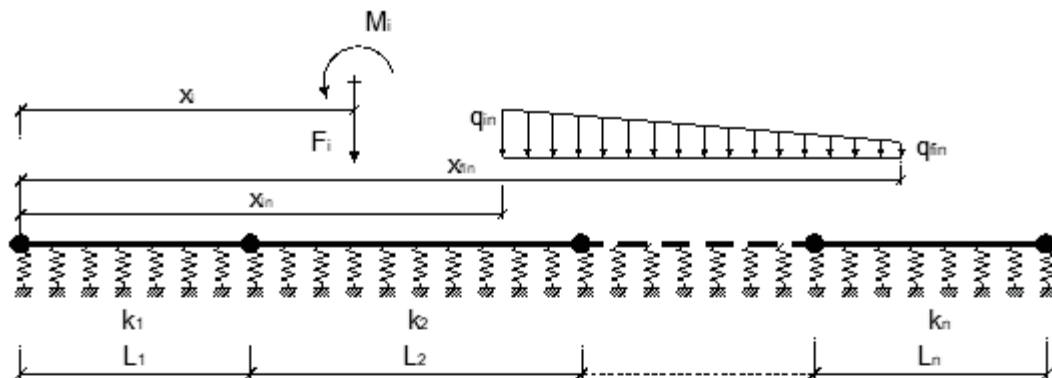
vincoli sinistra ☐ traslazione ☐ rotazione destra ☐ traslazione ☐ rotazione

forze e momenti concentrati			
	x (m)	F (kN)	M (kNm)
<input checked="" type="checkbox"/> 1	3,40	401,00	0,00
<input checked="" type="checkbox"/> 2	7,65	401,00	0,00
<input checked="" type="checkbox"/> 3	11,90	401,00	0,00
<input checked="" type="checkbox"/> 4	16,14	401,00	0,00
<input checked="" type="checkbox"/> 5	22,06	401,00	0,00
<input checked="" type="checkbox"/> 6	26,30	401,00	0,00
<input checked="" type="checkbox"/> 7	30,55	41,00	0,00
<input checked="" type="checkbox"/> 8	34,80	41,00	0,00
<input type="checkbox"/> 9	0,00	0,00	0,00
<input type="checkbox"/> 10	0,00	0,00	0,00

carichi distribuiti				
	$s_{i,s}$ (m)	$q_{i,s}$ (kN/m)	$s_{i,e}$ (m)	$q_{i,e}$ (kN/m)
<input checked="" type="checkbox"/> 1	0,70	50,40	1,10	50,40
<input checked="" type="checkbox"/> 2	18,90	50,40	19,30	50,40
<input checked="" type="checkbox"/> 3	37,10	50,40	37,50	50,40
<input type="checkbox"/> 4	0,00	0,00	0,00	0,00
<input type="checkbox"/> 5	0,00	0,00	0,00	0,00

Calcolo
(ctrl+r)

File di input – SLE frequente cond. PPPPPPV



tratto	L (m)	E (kN/m ²)	sezione	B (m)	H (m)	h ala (m)	b anima (m)	I (m ⁴)	k _x *B _x (kN/m ²)	reag. a traz.
1	38,20	3,0E+07	rettangolare ▼	1,19	0,70	0,85	0,70		4000	no ▼
2			T a L ▼							no ▼
3			T a L ▼							no ▼
4			T a L ▼							zi ▼
5			T a L ▼							no ▼
6			T a L ▼							zi ▼

# max iterazioni	20
------------------	----

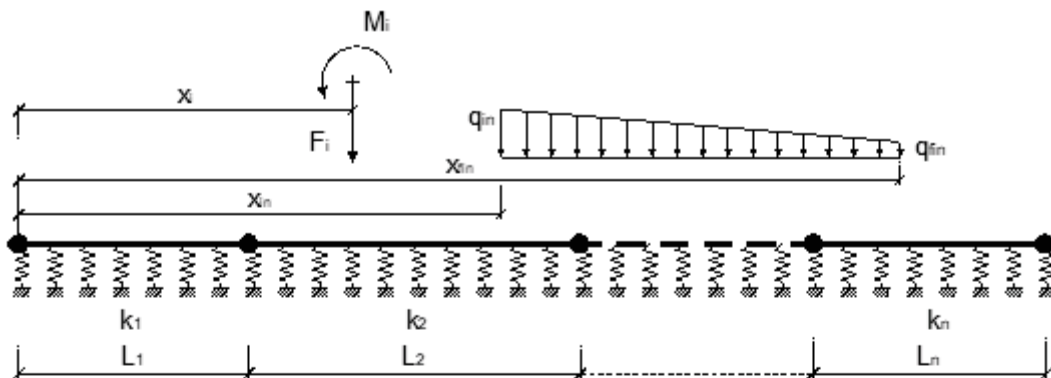
vincoli sinistra ☐ traslazione ☐ rotazione destra ☐ traslazione ☐ rotazione

forze e momenti concentrati			
	x (m)	F (kN)	M (kNm)
<input checked="" type="checkbox"/> 1	3,40	401,00	0,00
<input checked="" type="checkbox"/> 2	7,65	401,00	0,00
<input checked="" type="checkbox"/> 3	11,90	401,00	0,00
<input checked="" type="checkbox"/> 4	16,14	401,00	0,00
<input checked="" type="checkbox"/> 5	22,06	401,00	0,00
<input checked="" type="checkbox"/> 6	26,30	401,00	0,00
<input checked="" type="checkbox"/> 7	30,55	401,00	0,00
<input checked="" type="checkbox"/> 8	34,80	41,00	0,00
<input type="checkbox"/> 9	0,00	0,00	0,00
<input type="checkbox"/> 10	0,00	0,00	0,00

carichi distribuiti				
	$x_{i,c}$ (m)	$q_{i,c}$ (kN/m)	$x_{i,e}$ (m)	$q_{i,e}$ (kN/m)
<input checked="" type="checkbox"/> 1	0,70	50,40	1,10	50,40
<input checked="" type="checkbox"/> 2	18,30	50,40	19,30	50,40
<input checked="" type="checkbox"/> 3	37,10	50,40	37,50	50,40
<input type="checkbox"/> 4	0,00	0,00	0,00	0,00
<input type="checkbox"/> 5	0,00	0,00	0,00	0,00

Calcolo
(ctrl+r)

File di input – SLE frequente cond. PPPPPPPP



tratto	L (m)	E (kN/m ²)	sezione	B (m)	H (m)	h ala (m)	b anima (m)	I (m ⁴)	k _x B _x (kN/m ²)	reag. a traz.
1	38,20	3,0E+07	rettangolare ▼	1,19	0,70	0,85	0,70		4000	no ▼
2			T a L ▼							no ▼
3			T a L ▼							no ▼
4			T a L ▼							zi ▼
5			T a L ▼							no ▼
6			T a L ▼							zi ▼

max iterazioni
20

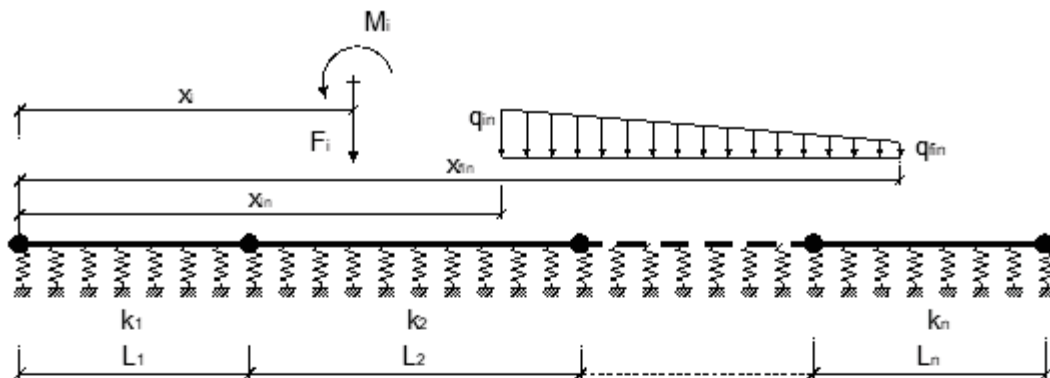
vincoli sinistra ☐ traslazione ☐ rotazione destra ☐ traslazione ☐ rotazione

forze e momenti concentrati			
	x (m)	F (kN)	M (kNm)
<input checked="" type="checkbox"/> 1	3,40	401,00	0,00
<input checked="" type="checkbox"/> 2	7,65	401,00	0,00
<input checked="" type="checkbox"/> 3	11,90	401,00	0,00
<input checked="" type="checkbox"/> 4	16,14	401,00	0,00
<input checked="" type="checkbox"/> 5	22,06	401,00	0,00
<input checked="" type="checkbox"/> 6	26,30	401,00	0,00
<input checked="" type="checkbox"/> 7	30,55	401,00	0,00
<input checked="" type="checkbox"/> 8	34,80	401,00	0,00
<input type="checkbox"/> 9	0,00	0,00	0,00
<input type="checkbox"/> 10	0,00	0,00	0,00

carichi distribuiti				
	$x_{i,c}$ (m)	$q_{i,c}$ (kN/m)	$x_{i,e}$ (m)	$q_{i,e}$ (kN/m)
<input checked="" type="checkbox"/> 1	0,70	50,40	1,10	50,40
<input checked="" type="checkbox"/> 2	18,90	50,40	19,30	50,40
<input checked="" type="checkbox"/> 3	37,10	50,40	37,50	50,40
<input type="checkbox"/> 4	0,00	0,00	0,00	0,00
<input type="checkbox"/> 5	0,00	0,00	0,00	0,00

Calcolo
(ctrl+r)

File di input – SLE quasi permanente cond. PVVVVVVV



tratto	L (m)	E (kN/m ²)	sezione	B (m)	H (m)	h ala (m)	b anima (m)	I (m ⁴)	k ₁ ·B _u (kN/m ²)	reag. a traz.
1	38,20	3,0E+07	rettangolare ▼	1,19	0,70	0,65	0,70		4000	na ▼
2			T a L ▼							na ▼
3			T a L ▼							na ▼
4			T a L ▼							zi ▼
5			T a L ▼							na ▼
6			T a L ▼							zi ▼

# max iterazioni	20
------------------	----

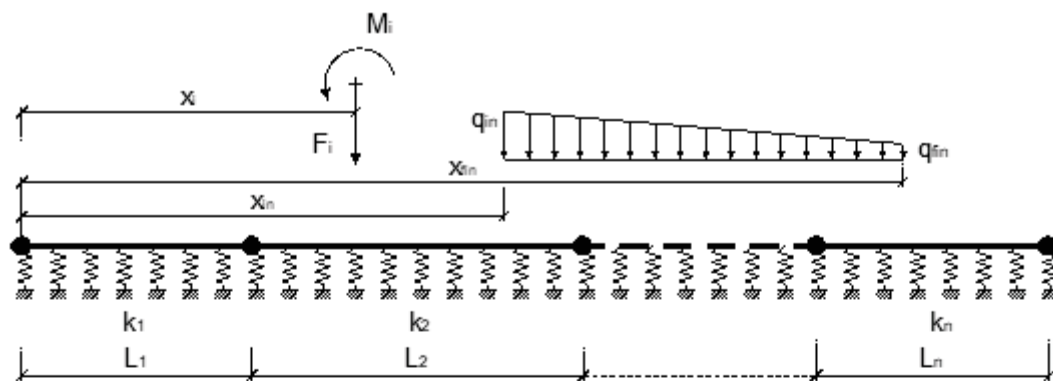
vincoli sinistra ☐ traslazione ☐ rotazione destra ☐ traslazione ☐ rotazione

forze e momenti concentrati			
	x (m)	F (kN)	M (kNm)
<input checked="" type="checkbox"/> 1	3,40	361,00	0,00
<input checked="" type="checkbox"/> 2	7,65	41,00	0,00
<input checked="" type="checkbox"/> 3	11,90	41,00	0,00
<input checked="" type="checkbox"/> 4	16,14	41,00	0,00
<input checked="" type="checkbox"/> 5	22,06	41,00	0,00
<input checked="" type="checkbox"/> 6	26,30	41,00	0,00
<input checked="" type="checkbox"/> 7	30,55	41,00	0,00
<input checked="" type="checkbox"/> 8	34,80	41,00	0,00
<input type="checkbox"/> 9	0,00	0,00	0,00
<input type="checkbox"/> 10	0,00	0,00	0,00

carichi distribuiti				
	$x_{i,c}$ (m)	$q_{i,c}$ (kN/m)	$x_{i,e}$ (m)	$q_{i,e}$ (kN/m)
<input checked="" type="checkbox"/> 1	0,70	50,40	1,10	50,40
<input checked="" type="checkbox"/> 2	18,90	50,40	19,30	50,40
<input checked="" type="checkbox"/> 3	37,10	50,40	37,50	50,40
<input type="checkbox"/> 4	0,00	0,00	0,00	0,00
<input type="checkbox"/> 5	0,00	0,00	0,00	0,00

Calcolo
(ctrl+r)

File di input – SLE quasi permanente cond. PPVVVVVV



tratto	L (m)	E (kN/m²)	sezione	B (m)	H (m)	h ala (m)	b anima (m)	I (m⁴)	$k_s \cdot B_s$ (kN/m²)	reag. a traz.
1	38,20	3,0E+07	rettangolare	1,19	0,70	5,89	6,76		4000	na
2			T a L							na
3			T a L							na
4			T a L							zi
5			T a L							na
6			T a L							zi

L trave (m)
38,20

dim elementi (m)
0,2

max iterazioni
20

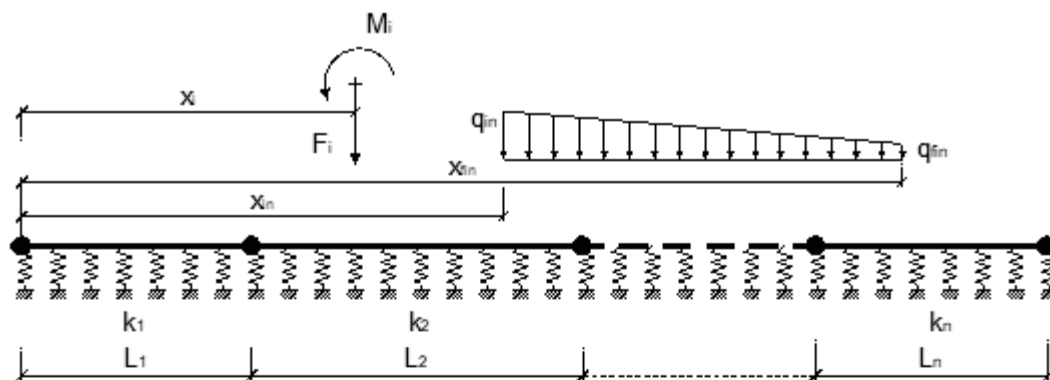
vincoli sinistra ☐ traslazione ☐ rotazione destra ☐ traslazione ☐ rotazione

forze e momenti concentrati			
	x (m)	F (kN)	M (kNm)
<input checked="" type="checkbox"/> 1	3,40	361,00	0,00
<input checked="" type="checkbox"/> 2	7,65	361,00	0,00
<input checked="" type="checkbox"/> 3	11,90	41,00	0,00
<input checked="" type="checkbox"/> 4	16,14	41,00	0,00
<input checked="" type="checkbox"/> 5	22,06	41,00	0,00
<input checked="" type="checkbox"/> 6	26,30	41,00	0,00
<input checked="" type="checkbox"/> 7	30,55	41,00	0,00
<input checked="" type="checkbox"/> 8	34,80	41,00	0,00
<input type="checkbox"/> 9	0,00	0,00	0,00
<input type="checkbox"/> 10	0,00	0,00	0,00

carichi distribuiti				
	$x_{i,s}$ (m)	$q_{i,s}$ (kN/m)	$x_{i,f}$ (m)	$q_{i,f}$ (kN/m)
<input checked="" type="checkbox"/> 1	0,70	50,40	1,10	50,40
<input checked="" type="checkbox"/> 2	18,90	50,40	19,30	50,40
<input checked="" type="checkbox"/> 3	37,10	50,40	37,50	50,40
<input type="checkbox"/> 4	0,00	0,00	0,00	0,00
<input type="checkbox"/> 5	0,00	0,00	0,00	0,00

Calcolo
(ctrl+r)

File di input – SLE quasi permanente cond. PPPVVVVV



tratto	L (m)	E (kN/m ²)	sezione	B (m)	H (m)	h ala (m)	b anima (m)	I (m ⁴)	$k_s \cdot B_s$ (kN/m ²)	reag. a traz.
1	38,20	3,0E+07	rettangolare	1,19	0,70	0,60	0,70		4000	na
2			T a L							na
3			T a L							na
4			T a L							ri
5			T a L							na
6			T a L							ri

L trave (m)
38,20

dim elementi (m)
0,2

max iterazioni
20

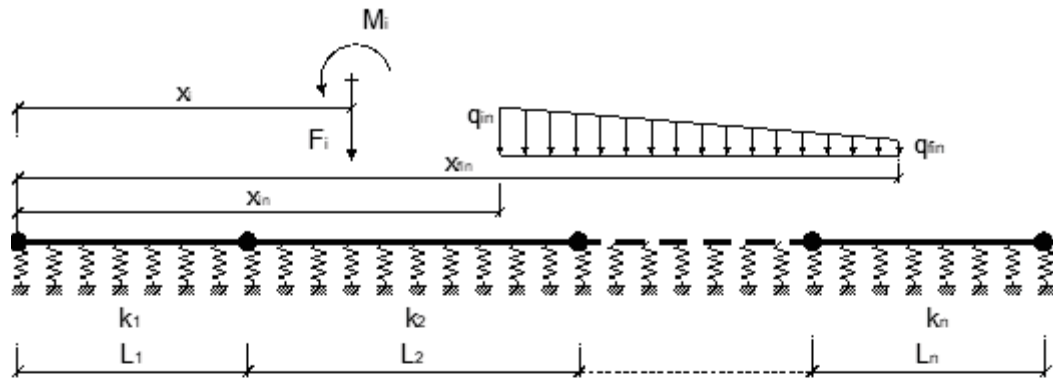
vincoli sinistra ☐ traslazione destra ☐ traslazione
☐ rotazione ☐ rotazione

forze e momenti concentrati			
	x (m)	F (kN)	M (kNm)
<input checked="" type="checkbox"/> 1	3,40	361,00	0,00
<input checked="" type="checkbox"/> 2	7,65	361,00	0,00
<input checked="" type="checkbox"/> 3	11,90	361,00	0,00
<input checked="" type="checkbox"/> 4	16,14	41,00	0,00
<input checked="" type="checkbox"/> 5	22,06	41,00	0,00
<input checked="" type="checkbox"/> 6	26,30	41,00	0,00
<input checked="" type="checkbox"/> 7	30,55	41,00	0,00
<input checked="" type="checkbox"/> 8	34,80	41,00	0,00
<input type="checkbox"/> 9	0,00	0,00	0,00
<input type="checkbox"/> 10	0,00	0,00	0,00

carichi distribuiti				
	x_{in} (m)	q_{in} (kN/m)	x_{fin} (m)	q_{fin} (kN/m)
<input checked="" type="checkbox"/> 1	0,70	50,40	1,10	50,40
<input checked="" type="checkbox"/> 2	18,90	50,40	19,30	50,40
<input checked="" type="checkbox"/> 3	37,10	50,40	37,50	50,40
<input type="checkbox"/> 4	0,00	0,00	0,00	0,00
<input type="checkbox"/> 5	0,00	0,00	0,00	0,00

Calcolo
(ctrl+r)

File di input – SLE quasi permanente cond. PPPVVVVV



tratto	L (m)	E (kN/m ²)	sezione	B (m)	H (m)	h ala (m)	b anima (m)	I (m ⁴)	k _{eff} (kN/m ²)	reag. a traz.
1	38,20	3,0E+07	rettangolare ▼	1,19	0,70	0,60	0,30		4000	na ▼
2			T a L ▼							na ▼
3			T a L ▼							na ▼
4			T a L ▼							zi ▼
5			T a L ▼							na ▼
6			T a L ▼							zi ▼

# max iterazioni	20
------------------	----

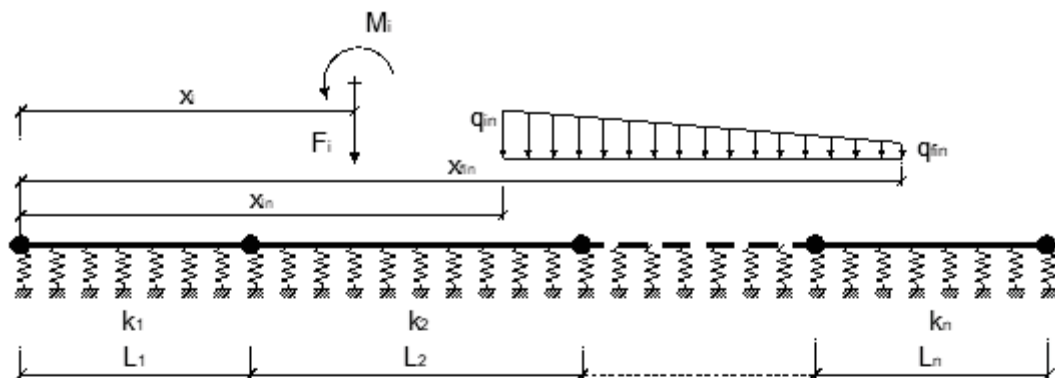
destra ☐ traslazione
☐ rotazione

forze e momenti concentrati			
	x (m)	F (kN)	M (kNm)
<input checked="" type="checkbox"/> 1	3,40	361,00	0,00
<input checked="" type="checkbox"/> 2	7,65	361,00	0,00
<input checked="" type="checkbox"/> 3	11,90	361,00	0,00
<input checked="" type="checkbox"/> 4	16,14	361,00	0,00
<input checked="" type="checkbox"/> 5	22,06	41,00	0,00
<input checked="" type="checkbox"/> 6	26,30	41,00	0,00
<input checked="" type="checkbox"/> 7	30,55	41,00	0,00
<input checked="" type="checkbox"/> 8	34,80	41,00	0,00
<input type="checkbox"/> 9	0,00	0,00	0,00
<input type="checkbox"/> 10	0,00	0,00	0,00

carichi distribuiti				
	$x_{i,s}$ (m)	$q_{i,s}$ (kN/m)	$x_{i,e}$ (m)	$q_{i,e}$ (kN/m)
<input checked="" type="checkbox"/> 1	0,70	50,40	1,10	50,40
<input checked="" type="checkbox"/> 2	18,90	50,40	19,30	50,40
<input checked="" type="checkbox"/> 3	37,10	50,40	37,50	50,40
<input type="checkbox"/> 4	0,00	0,00	0,00	0,00
<input type="checkbox"/> 5	0,00	0,00	0,00	0,00

Calcolo
(ctrl+r)

File di input – SLE quasi permanente cond. PPPPPVVV



tratto	L (m)	E (kN/m ²)	sezione	B (m)	H (m)	h ala (m)	b anima (m)	I (m ⁴)	k _s *B _s (kN/m ²)	reag. a traz.
1	38,20	3,0E+07	rettangolare	1,19	0,70	5,55	6,75		4000	na
2			T a L							na
3			T a L							na
4			T a L							zi
5			T a L							na
6			T a L							zi

L trave (m)
38,20

dim elementi (m)
0,2

max iterazioni
20

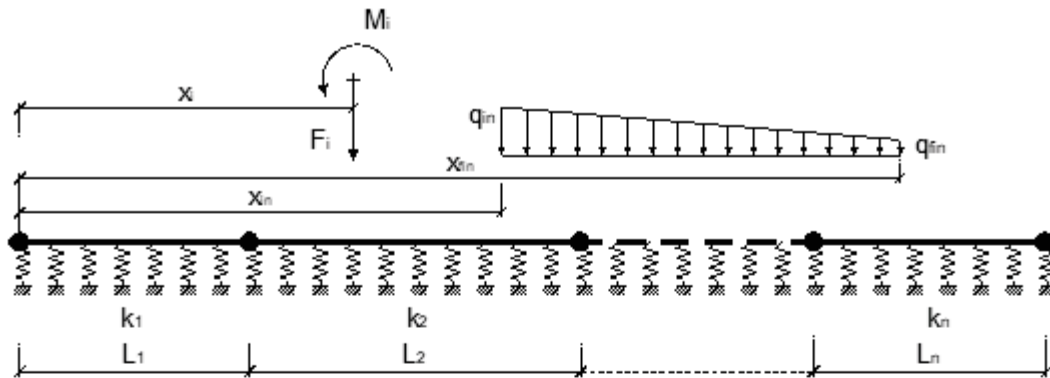
vincoli sinistra ☐ traslazione destra ☐ traslazione
☐ rotazione ☐ rotazione

forze e momenti concentrati			
	x (m)	F (kN)	M (kNm)
<input checked="" type="checkbox"/> 1	3,40	361,00	0,00
<input checked="" type="checkbox"/> 2	7,65	361,00	0,00
<input checked="" type="checkbox"/> 3	11,90	361,00	0,00
<input checked="" type="checkbox"/> 4	16,14	361,00	0,00
<input checked="" type="checkbox"/> 5	22,06	361,00	0,00
<input checked="" type="checkbox"/> 6	26,30	41,00	0,00
<input checked="" type="checkbox"/> 7	30,55	41,00	0,00
<input checked="" type="checkbox"/> 8	34,80	41,00	0,00
<input type="checkbox"/> 9	0,00	0,00	0,00
<input type="checkbox"/> 10	0,00	0,00	0,00

carichi distribuiti				
	x ₀ (m)	q ₀ (kN/m)	x ₁ (m)	q ₁ (kN/m)
<input checked="" type="checkbox"/> 1	0,70	50,40	1,10	50,40
<input checked="" type="checkbox"/> 2	18,90	50,40	19,30	50,40
<input checked="" type="checkbox"/> 3	37,10	50,40	37,50	50,40
<input type="checkbox"/> 4	0,00	0,00	0,00	0,00
<input type="checkbox"/> 5	0,00	0,00	0,00	0,00

Calcolo
(ctrl+r)

File di input – SLE quasi permanente cond. PPPPPPVV



tratto	L (m)	E (kN/m ²)	sezione	B (m)	H (m)	h _{ala} (m)	b _{anima} (m)	I (m ⁴)	k _s ·B _s (kN/m ²)	reag. a traz.
1	38,20	3,0E+07	rettangolare ▼	1,19	0,70	0,65	0,70		4000	na ▼
2			T o L ▼							na ▼
3			T o L ▼							na ▼
4			T o L ▼							zi ▼
5			T o L ▼							na ▼
6			T o L ▼							zi ▼

# max iterazioni	20
------------------	----

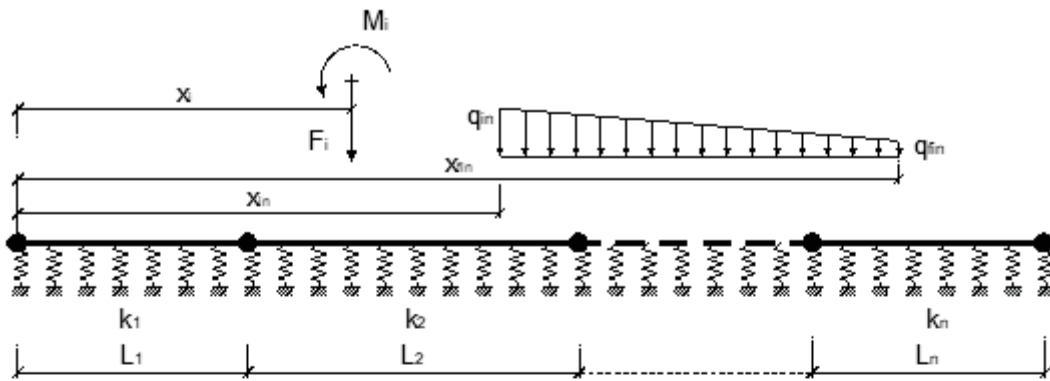
destra ☐ traslazione
☐ rotazione

forze e momenti concentrati			
	x (m)	F (kN)	M (kNm)
<input checked="" type="checkbox"/> 1	3,40	361,00	0,00
<input checked="" type="checkbox"/> 2	7,65	361,00	0,00
<input checked="" type="checkbox"/> 3	11,90	361,00	0,00
<input checked="" type="checkbox"/> 4	16,14	361,00	0,00
<input checked="" type="checkbox"/> 5	22,06	361,00	0,00
<input checked="" type="checkbox"/> 6	26,30	361,00	0,00
<input checked="" type="checkbox"/> 7	30,55	41,00	0,00
<input checked="" type="checkbox"/> 8	34,80	41,00	0,00
<input type="checkbox"/> 9	0,00	0,00	0,00
<input type="checkbox"/> 10	0,00	0,00	0,00

carichi distribuiti				
	$x_{i,n}$ (m)	$q_{i,n}$ (kN/m)	$x_{i,n}$ (m)	$q_{i,n}$ (kN/m)
<input checked="" type="checkbox"/> 1	0,70	50,40	1,10	50,40
<input checked="" type="checkbox"/> 2	18,90	50,40	19,30	50,40
<input checked="" type="checkbox"/> 3	37,10	50,40	37,50	50,40
<input type="checkbox"/> 4	0,00	0,00	0,00	0,00
<input type="checkbox"/> 5	0,00	0,00	0,00	0,00

Calcolo
(ctrl+r)

File di input – SLE quasi permanente cond. PPPPPPV



tratto	L (m)	E (kN/m ²)	sezione	B (m)	H (m)	h ala (m)	b anima (m)	I (m ⁴)	k _x *B _x (kN/m ²)	reag. a traz.
1	38,20	3,0E+07	rettangolare ▼	1,19	0,70	0,60	0,70		4000	no ▼
2			T a L ▼							no ▼
3			T a L ▼							no ▼
4			T a L ▼							zi ▼
5			T a L ▼							no ▼
6			T a L ▼							zi ▼

L trave (m)
38,20

dim elementi (m)
0,2

max iterazioni
20

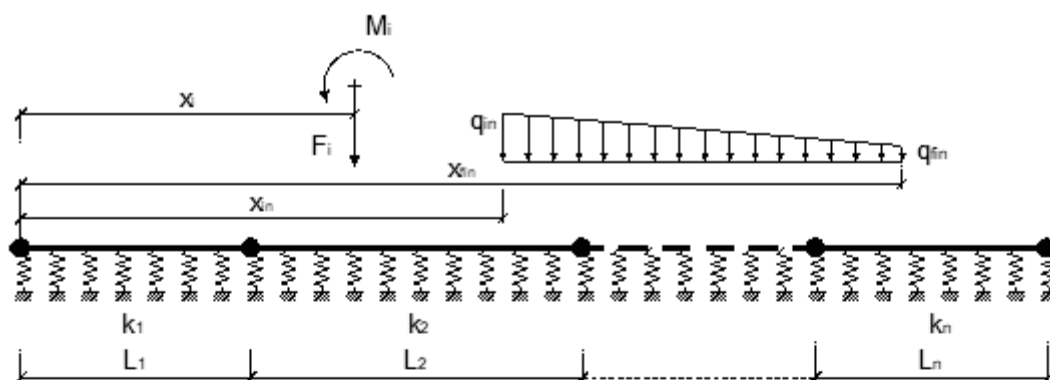
vincoli sinistra ☐ traslazione ☐ rotazione destra ☐ traslazione ☐ rotazione

forze e momenti concentrati			
	x (m)	F (kN)	M (kNm)
<input checked="" type="checkbox"/> 1	3,40	361,00	0,00
<input checked="" type="checkbox"/> 2	7,65	361,00	0,00
<input checked="" type="checkbox"/> 3	11,90	361,00	0,00
<input checked="" type="checkbox"/> 4	16,14	361,00	0,00
<input checked="" type="checkbox"/> 5	22,06	361,00	0,00
<input checked="" type="checkbox"/> 6	26,30	361,00	0,00
<input checked="" type="checkbox"/> 7	30,55	361,00	0,00
<input checked="" type="checkbox"/> 8	34,80	41,00	0,00
<input type="checkbox"/> 9	0,00	0,00	0,00
<input type="checkbox"/> 10	0,00	0,00	0,00

carichi distribuiti				
	h_{ia} (m)	q_{ia} (kN/m)	h_{ie} (m)	q_{ie} (kN/m)
<input checked="" type="checkbox"/> 1	0,70	50,40	1,10	50,40
<input checked="" type="checkbox"/> 2	18,90	50,40	19,30	50,40
<input checked="" type="checkbox"/> 3	37,10	50,40	37,50	50,40
<input type="checkbox"/> 4	0,00	0,00	0,00	0,00
<input type="checkbox"/> 5	0,00	0,00	0,00	0,00

Calcolo
(ctrl+r)

File di input – SLE quasi permanente cond. PPPPPPPP



tratto	L (m)	E (kN/m²)	sezione	B (m)	H (m)	h ala (m)	b anima (m)	I (m⁴)	k _s *B _s (kN/m²)	reag. a traz.
1	38,20	3,0E+07	rettangolare	1,19	0,70	0,65	0,70		4000	na
2			T a L							na
3			T a L							na
4			T a L							zi
5			T a L							na
6			T a L							zi

L trave (m)
38,20

dim elementi (m)
0,2

max iterazioni
20

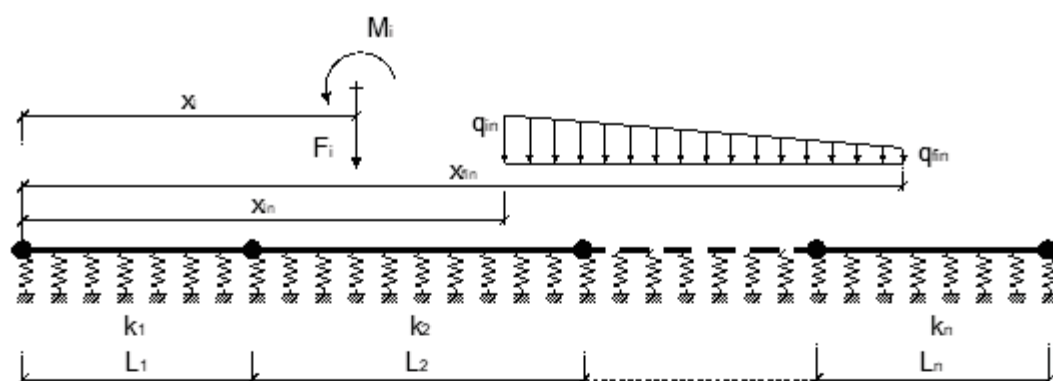
vincoli sinistra ☐ traslazione destra ☐ traslazione
☐ rotazione ☐ rotazione

forze e momenti concentrati			
	s (m)	F (kN)	M (kNm)
<input checked="" type="checkbox"/> 1	3,40	361,00	0,00
<input checked="" type="checkbox"/> 2	7,65	361,00	0,00
<input checked="" type="checkbox"/> 3	11,90	361,00	0,00
<input checked="" type="checkbox"/> 4	16,14	361,00	0,00
<input checked="" type="checkbox"/> 5	22,06	361,00	0,00
<input checked="" type="checkbox"/> 6	26,30	361,00	0,00
<input checked="" type="checkbox"/> 7	30,55	361,00	0,00
<input checked="" type="checkbox"/> 8	34,80	361,00	0,00
<input type="checkbox"/> 9	0,00	0,00	0,00
<input type="checkbox"/> 10	0,00	0,00	0,00

carichi distribuiti				
	s _{in} (m)	q _{in} (kN/m)	s _{fin} (m)	q _{fin} (kN/m)
<input checked="" type="checkbox"/> 1	0,70	50,40	1,10	50,40
<input checked="" type="checkbox"/> 2	18,90	50,40	19,30	50,40
<input checked="" type="checkbox"/> 3	37,10	50,40	37,50	50,40
<input type="checkbox"/> 4	0,00	0,00	0,00	0,00
<input type="checkbox"/> 5	0,00	0,00	0,00	0,00

Calcolo
(ctrl+r)

File di input – SLU dir. B cond. P



tratto	L (m)	E (kN/m ²)	sezione	B (m)	H (m)	h ala (m)	b anima (m)	I (m ⁴)	$k_s \cdot B_s$ (kN/m ²)	reag. a traz.
1	9,00	3,0E+07	rettangolare	1,19	0,70	5,69	6,76		4000	no
2			T a L							no
3			T a L							no
4			T a L							ri
5			T a L							no
6			T a L							ri

L trave
(m)
9,00

dim
elementi
(m)
0,2

max
iterazioni
20

vincoli

sinistra

☐ traslazione

destra

☐ traslazione

☐ rotazione

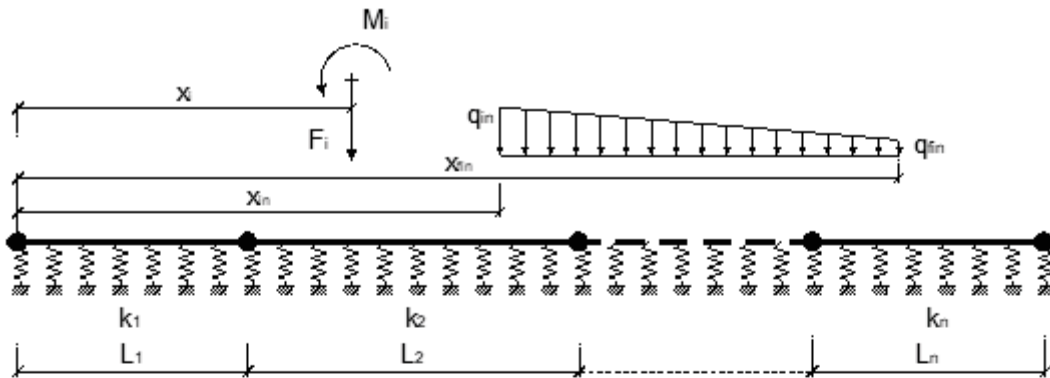
☐ rotazione

forze e momenti concentrati			
	x (m)	F (kN)	M (kNm)
<input checked="" type="checkbox"/> 1	3,96	330,80	0,00
<input checked="" type="checkbox"/> 2	6,32	330,80	0,00
<input type="checkbox"/> 3	0,00	61,60	0,00
<input type="checkbox"/> 4	0,00	61,60	0,00
<input type="checkbox"/> 5	0,00	61,60	0,00
<input type="checkbox"/> 6	0,00	61,60	0,00
<input type="checkbox"/> 7	0,00	61,60	0,00
<input type="checkbox"/> 8	0,00	61,60	0,00
<input type="checkbox"/> 9	0,00	0,00	0,00
<input type="checkbox"/> 10	0,00	0,00	0,00

carichi distribuiti				
	$x_{i,s}$ (m)	$q_{i,s}$ (kN/m)	$x_{i,f}$ (m)	$q_{i,f}$ (kN/m)
<input checked="" type="checkbox"/> 1	0,70	65,50	1,10	65,50
<input checked="" type="checkbox"/> 2	7,90	65,50	8,30	65,50
<input type="checkbox"/> 3	37,10	65,50	37,50	65,50
<input type="checkbox"/> 4	0,00	0,00	0,00	0,00
<input type="checkbox"/> 5	0,00	0,00	0,00	0,00

Calcolo
(ctrl+r)

File di input – SLV dir. B cond. P



tratto	L (m)	E (kN/m ²)	sezione	B (m)	H (m)	h ala (m)	b anima (m)	I (m ⁴)	k _x *B _x (kN/m ²)	reag. a traz.
1	9,00	3,0E+07	rettangolare ▼	1,19	0,70	0,60	0,70		4000	no ▼
2			T a L ▼							no ▼
3			T a L ▼							no ▼
4			T a L ▼							zi ▼
5			T a L ▼							no ▼
6			T a L ▼							zi ▼

# max iterazioni	20
------------------	----

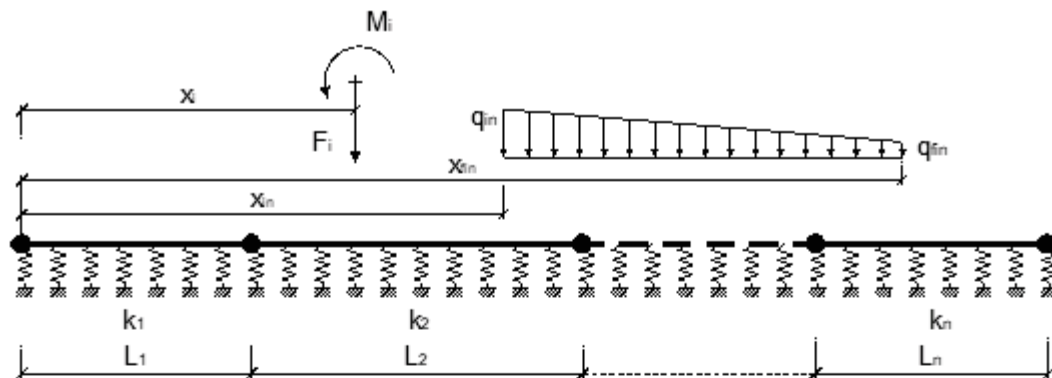
vincoli sinistra ☐ traslazione ☐ rotazione destra ☐ traslazione ☐ rotazione

forze e momenti concentrati			
	x (m)	F (kN)	M (kNm)
<input checked="" type="checkbox"/> 1	3,96	212,00	0,00
<input checked="" type="checkbox"/> 2	6,32	212,00	0,00
<input type="checkbox"/> 3	0,00	24,10	0,00
<input type="checkbox"/> 4	0,00	61,60	0,00
<input type="checkbox"/> 5	0,00	61,60	0,00
<input type="checkbox"/> 6	0,00	61,60	0,00
<input type="checkbox"/> 7	0,00	61,60	0,00
<input type="checkbox"/> 8	0,00	61,60	0,00
<input type="checkbox"/> 9	0,00	0,00	0,00
<input type="checkbox"/> 10	0,00	0,00	0,00

carichi distribuiti				
	h_{ia} (m)	q_{ia} (kN/m)	h_{ie} (m)	q_{ie} (kN/m)
<input checked="" type="checkbox"/> 1	0,70	59,20	1,10	59,20
<input checked="" type="checkbox"/> 2	7,90	59,20	8,30	59,20
<input type="checkbox"/> 3	37,10	65,50	37,50	65,50
<input type="checkbox"/> 4	0,00	0,00	0,00	0,00
<input type="checkbox"/> 5	0,00	0,00	0,00	0,00

Calcolo
(ctrl+r)

File di input – SLE caratteristica dir. B cond. P



tratto	L (m)	E (kN/m²)	sezione	B (m)	H (m)	h ala (m)	b anima (m)	I (m⁴)	ka*Bn (kN/m²)	reag. a traz.
1	9,00	3,0E+07	rettangolare	1,19	0,70	1,66	0,70		4000	na
2			T a L							na
3			T a L							na
4			T a L							ri
5			T a L							na
6			T a L							ri

L trave (m)
9,00

dim elementi (m)
0,2

max iterazioni
20

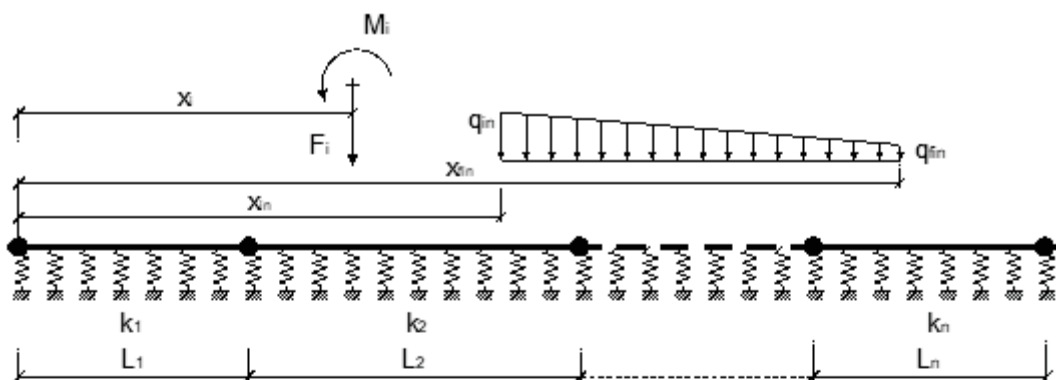
vincoli sinistra ☐ traslazione destra ☐ traslazione
☐ rotazione ☐ rotazione

forze e momenti concentrati			
	% (m)	F (kN)	M (kNm)
<input checked="" type="checkbox"/> 1	3,96	220,50	0,00
<input checked="" type="checkbox"/> 2	6,32	220,50	0,00
<input type="checkbox"/> 3	0,00	24,10	0,00
<input type="checkbox"/> 4	0,00	61,60	0,00
<input type="checkbox"/> 5	0,00	61,60	0,00
<input type="checkbox"/> 6	0,00	61,60	0,00
<input type="checkbox"/> 7	0,00	61,60	0,00
<input type="checkbox"/> 8	0,00	61,60	0,00
<input type="checkbox"/> 9	0,00	0,00	0,00
<input type="checkbox"/> 10	0,00	0,00	0,00

carichi distribuiti				
	%n (m)	Qin (kN/m)	%in (m)	Qein (kN/m)
<input checked="" type="checkbox"/> 1	0,70	50,40	1,10	50,40
<input checked="" type="checkbox"/> 2	7,90	50,40	8,30	50,40
<input type="checkbox"/> 3	37,10	65,50	37,50	65,50
<input type="checkbox"/> 4	0,00	0,00	0,00	0,00
<input type="checkbox"/> 5	0,00	0,00	0,00	0,00

Calcolo
(ctrl+r)

File di input – SLE frequente dir. B cond. P



tratto	L (m)	E (kN/m ²)	sezione	B (m)	H (m)	h ala (m)	b anima (m)	I (m ⁴)	k _s ·B _s (kN/m ²)	reag. a traz.
1	9,00	3,0E+07	rettangolare ▼	1,19	0,70	5,69	0,70		4000	na ▼
2			T a L ▼							na ▼
3			T a L ▼							na ▼
4			T a L ▼							zi ▼
5			T a L ▼							na ▼
6			T a L ▼							zi ▼

# max iterazioni	20
------------------	----

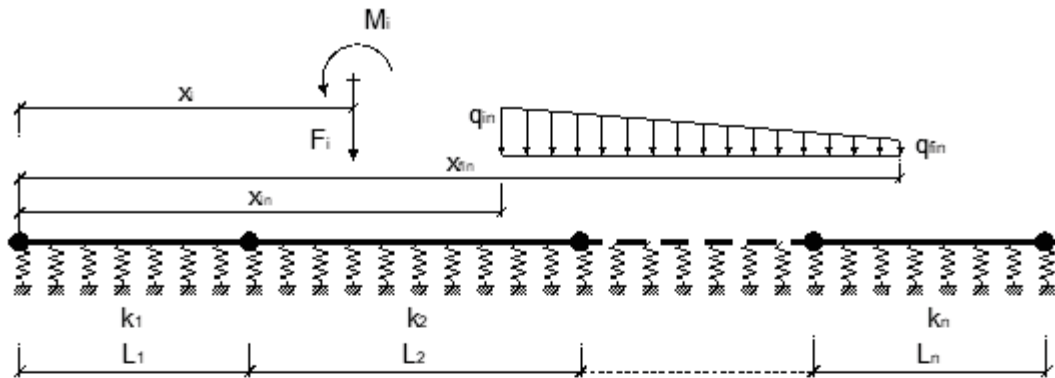
destra ☐ traslazione
☐ rotazione

forze e momenti concentrati			
	x (m)	F (kN)	M (kNm)
<input checked="" type="checkbox"/> 1	3,96	200,50	0,00
<input checked="" type="checkbox"/> 2	6,32	200,50	0,00
<input type="checkbox"/> 3	0,00	24,10	0,00
<input type="checkbox"/> 4	0,00	61,60	0,00
<input type="checkbox"/> 5	0,00	61,60	0,00
<input type="checkbox"/> 6	0,00	61,60	0,00
<input type="checkbox"/> 7	0,00	61,60	0,00
<input type="checkbox"/> 8	0,00	61,60	0,00
<input type="checkbox"/> 9	0,00	0,00	0,00
<input type="checkbox"/> 10	0,00	0,00	0,00

carichi distribuiti				
	$x_{i,1}$ (m)	$q_{i,1}$ (kN/m)	$x_{i,2}$ (m)	$q_{i,2}$ (kN/m)
<input checked="" type="checkbox"/> 1	0,70	50,40	1,10	50,40
<input checked="" type="checkbox"/> 2	7,90	50,40	8,30	50,40
<input type="checkbox"/> 3	37,10	0,00	37,50	0,00
<input type="checkbox"/> 4	0,00	0,00	0,00	0,00
<input type="checkbox"/> 5	0,00	0,00	0,00	0,00

Calcolo
(ctrl+r)

File di input – SLE quasi permanente dir. B cond. P



tratto	L (m)	E (kN/m ²)	sezione	B (m)	H (m)	h ala (m)	b anima (m)	I (m ⁴)	k _{eff} B _{eff} (kN/m ²)	reag. a traz.
1	9,00	3,0E+07	rettangolare ▼	1,19	0,70	0,50	0,30		4000	na ▼
2			T a L ▼							na ▼
3			T a L ▼							na ▼
4			T a L ▼							zi ▼
5			T a L ▼							na ▼
6			T a L ▼							zi ▼

# max iterazioni	20
------------------	----

vincoli sinistra ☐ traslazione ☐ rotazione destra ☐ traslazione ☐ rotazione

forze e momenti concentrati			
	x (m)	F (kN)	M (kNm)
<input checked="" type="checkbox"/> 1	3,96	180,50	0,00
<input checked="" type="checkbox"/> 2	6,32	180,50	0,00
<input type="checkbox"/> 3	0,00	24,10	0,00
<input type="checkbox"/> 4	0,00	61,60	0,00
<input type="checkbox"/> 5	0,00	61,60	0,00
<input type="checkbox"/> 6	0,00	61,60	0,00
<input type="checkbox"/> 7	0,00	61,60	0,00
<input type="checkbox"/> 8	0,00	61,60	0,00
<input type="checkbox"/> 9	0,00	0,00	0,00
<input type="checkbox"/> 10	0,00	0,00	0,00

carichi distribuiti				
	$s_{i,s}$ (m)	$q_{i,s}$ (kN/m)	$s_{i,e}$ (m)	$q_{i,e}$ (kN/m)
<input checked="" type="checkbox"/> 1	0,70	50,40	1,10	50,40
<input checked="" type="checkbox"/> 2	7,90	50,40	8,30	50,40
<input type="checkbox"/> 3	37,10	0,00	37,50	0,00
<input type="checkbox"/> 4	0,00	0,00	0,00	0,00
<input type="checkbox"/> 5	0,00	0,00	0,00	0,00

Calcolo
(ctrl+r)

DATI DI OUTPUT

Dir. L SLU Momento (kNx1,185m)

PVVVVVVV	PPVVVVVV	PPPVVVVV	PPPPVVVV	PPPPPVVV	PPPPPPVV	PPPPPPPV	PPPPPPPP	x
0,0	0,0	0,0	0,0	0,0	0,0	0,0	0,0	0,0
-3,1	-3,4	-3,1	-2,8	-2,7	-2,7	-2,7	-2,7	0,2
-3,1	-3,4	-3,1	-2,8	-2,7	-2,7	-2,7	-2,7	0,2
-12,4	-13,8	-12,4	-11,2	-10,8	-10,8	-10,9	-10,9	0,5
-12,4	-13,8	-12,4	-11,2	-10,8	-10,8	-10,9	-10,9	0,5
-27,8	-31,0	-28,1	-25,4	-24,6	-24,6	-24,7	-24,8	0,7
-27,8	-31,0	-28,1	-25,4	-24,6	-24,6	-24,7	-24,8	0,7
-43,4	-49,0	-44,3	-39,9	-38,7	-38,6	-38,8	-39,0	0,9
-43,4	-49,0	-44,3	-39,9	-38,7	-38,6	-38,8	-39,0	0,9
-60,8	-69,4	-62,8	-56,3	-54,4	-54,3	-54,6	-54,9	1,1
-60,8	-69,4	-62,8	-56,3	-54,4	-54,3	-54,6	-54,9	1,1
-81,2	-94,0	-84,9	-75,9	-73,3	-73,0	-73,5	-73,9	1,3
-81,2	-94,0	-84,9	-75,9	-73,3	-73,0	-73,5	-73,9	1,3
-106,4	-124,1	-112,5	-100,5	-97,0	-96,7	-97,3	-97,8	1,5
-106,4	-124,1	-112,5	-100,5	-97,0	-96,7	-97,3	-97,8	1,5
-136,1	-159,9	-145,5	-130,3	-125,7	-125,3	-126,0	-126,7	1,7
-136,1	-159,9	-145,5	-130,3	-125,7	-125,3	-126,0	-126,7	1,7
-170,4	-201,3	-184,0	-165,3	-159,6	-159,0	-159,9	-160,7	1,9
-170,4	-201,3	-184,0	-165,3	-159,6	-159,0	-159,9	-160,7	1,9
-209,2	-248,3	-228,2	-205,6	-198,6	-197,8	-198,8	-199,8	2,1
-209,2	-248,3	-228,2	-205,6	-198,6	-197,8	-198,8	-199,8	2,1
-252,5	-301,0	-278,0	-251,3	-242,8	-241,8	-243,1	-244,2	2,4
-252,5	-301,0	-278,0	-251,3	-242,8	-241,8	-243,1	-244,2	2,4
-300,2	-359,4	-333,5	-302,6	-292,5	-291,2	-292,6	-294,0	2,6
-300,2	-359,4	-333,5	-302,6	-292,5	-291,2	-292,6	-294,0	2,6
-352,2	-423,4	-394,9	-359,4	-347,6	-346,0	-347,6	-349,2	2,8
-352,2	-423,4	-394,9	-359,4	-347,6	-346,0	-347,6	-349,2	2,8
-408,4	-493,1	-462,1	-421,8	-408,2	-406,3	-408,0	-409,9	3,0
-408,4	-493,1	-462,1	-421,8	-408,2	-406,3	-408,0	-409,9	3,0
-468,9	-568,5	-535,2	-490,1	-474,5	-472,1	-474,1	-476,1	3,2
-468,9	-568,5	-535,2	-490,1	-474,5	-472,1	-474,1	-476,1	3,2
-533,4	-649,6	-614,2	-564,2	-546,5	-543,6	-545,7	-548,1	3,4
-533,4	-649,6	-614,2	-564,2	-546,5	-543,6	-545,7	-548,1	3,4
-465,9	-599,5	-562,6	-507,6	-487,8	-484,4	-486,7	-489,3	3,6
-465,9	-599,5	-562,6	-507,6	-487,8	-484,4	-486,7	-489,3	3,6
-402,1	-554,7	-516,7	-456,6	-434,5	-430,6	-433,0	-435,9	3,8
-402,1	-554,7	-516,7	-456,6	-434,5	-430,6	-433,0	-435,9	3,8
-342,0	-515,2	-476,4	-411,3	-386,9	-382,3	-384,8	-388,0	4,0
-342,0	-515,2	-476,4	-411,3	-386,9	-382,3	-384,8	-388,0	4,0
-285,5	-480,9	-442,0	-371,8	-344,8	-339,6	-342,2	-345,6	4,2
-285,5	-480,9	-442,0	-371,8	-344,8	-339,6	-342,2	-345,6	4,2
-232,4	-451,9	-413,3	-338,0	-308,4	-302,4	-305,2	-308,9	4,4
-232,4	-451,9	-413,3	-338,0	-308,4	-302,4	-305,2	-308,9	4,4

Dir. L SLU Momento (kNx1,185m)

-182,8	-428,0	-390,4	-310,1	-277,7	-271,0	-273,7	-277,8	4,6
-182,8	-428,0	-390,4	-310,1	-277,7	-271,0	-273,7	-277,8	4,6
-136,5	-409,4	-373,4	-288,0	-252,8	-245,2	-248,0	-252,4	4,8
-136,5	-409,4	-373,4	-288,0	-252,8	-245,2	-248,0	-252,4	4,8
-93,5	-395,8	-362,2	-271,9	-233,8	-225,2	-228,0	-232,7	5,0
-93,5	-395,8	-362,2	-271,9	-233,8	-225,2	-228,0	-232,7	5,0
-53,7	-387,4	-356,9	-261,8	-220,6	-211,0	-213,8	-218,8	5,2
-53,7	-387,4	-356,9	-261,8	-220,6	-211,0	-213,8	-218,8	5,2
-17,0	-384,0	-357,5	-257,8	-213,3	-202,6	-205,5	-210,7	5,4
-17,0	-384,0	-357,5	-257,8	-213,3	-202,6	-205,5	-210,7	5,4
16,7	-385,7	-364,0	-259,8	-212,0	-200,1	-202,9	-208,5	5,6
16,7	-385,7	-364,0	-259,8	-212,0	-200,1	-202,9	-208,5	5,6
47,5	-392,4	-376,5	-267,9	-216,8	-203,6	-206,3	-212,3	5,8
47,5	-392,4	-376,5	-267,9	-216,8	-203,6	-206,3	-212,3	5,8
75,4	-404,0	-394,9	-282,2	-227,6	-213,1	-215,7	-221,9	6,0
75,4	-404,0	-394,9	-282,2	-227,6	-213,1	-215,7	-221,9	6,0
100,6	-420,4	-419,2	-302,7	-244,5	-228,6	-231,0	-237,6	6,2
100,6	-420,4	-419,2	-302,7	-244,5	-228,6	-231,0	-237,6	6,2
123,0	-441,8	-449,5	-329,5	-267,6	-250,1	-252,4	-259,3	6,4
123,0	-441,8	-449,5	-329,5	-267,6	-250,1	-252,4	-259,3	6,4
142,9	-467,9	-485,7	-362,5	-296,8	-277,8	-279,8	-287,0	6,6
142,9	-467,9	-485,7	-362,5	-296,8	-277,8	-279,8	-287,0	6,6
160,3	-498,7	-528,0	-401,8	-332,3	-311,6	-313,3	-320,9	6,8
160,3	-498,7	-528,0	-401,8	-332,3	-311,6	-313,3	-320,9	6,8
175,2	-534,2	-576,1	-447,5	-374,1	-351,5	-352,9	-360,8	7,0
175,2	-534,2	-576,1	-447,5	-374,1	-351,5	-352,9	-360,8	7,0
187,8	-574,3	-630,2	-499,6	-422,1	-397,7	-398,7	-406,9	7,2
187,8	-574,3	-630,2	-499,6	-422,1	-397,7	-398,7	-406,9	7,2
198,1	-619,0	-690,3	-558,0	-476,5	-450,1	-450,7	-459,2	7,4
198,1	-619,0	-690,3	-558,0	-476,5	-450,1	-450,7	-459,2	7,4
206,2	-668,1	-756,3	-622,9	-537,3	-508,8	-508,8	-517,7	7,7
206,2	-668,1	-756,3	-622,9	-537,3	-508,8	-508,8	-517,7	7,7
224,6	-587,8	-694,2	-560,3	-470,5	-439,8	-439,3	-448,5	7,9
224,6	-587,8	-694,2	-560,3	-470,5	-439,8	-439,3	-448,5	7,9
241,0	-511,7	-638,1	-504,1	-410,2	-377,2	-376,1	-385,5	8,1
241,0	-511,7	-638,1	-504,1	-410,2	-377,2	-376,1	-385,5	8,1
255,4	-439,9	-587,8	-454,5	-356,2	-320,9	-319,1	-328,8	8,3
255,4	-439,9	-587,8	-454,5	-356,2	-320,9	-319,1	-328,8	8,3
267,9	-372,3	-543,4	-411,3	-308,8	-270,9	-268,4	-278,4	8,5
267,9	-372,3	-543,4	-411,3	-308,8	-270,9	-268,4	-278,4	8,5
278,5	-308,7	-504,7	-374,5	-267,7	-227,3	-224,0	-234,2	8,7
278,5	-308,7	-504,7	-374,5	-267,7	-227,3	-224,0	-234,2	8,7
287,4	-249,1	-471,8	-344,3	-233,2	-190,0	-185,9	-196,3	8,9
287,4	-249,1	-471,8	-344,3	-233,2	-190,0	-185,9	-196,3	8,9
294,6	-193,4	-444,5	-320,5	-205,1	-159,2	-154,1	-164,7	9,1
294,6	-193,4	-444,5	-320,5	-205,1	-159,2	-154,1	-164,7	9,1

Dir. L SLU Momento (kNx1,185m)								
300,2	-141,5	-422,9	-303,2	-183,5	-134,7	-128,6	-139,4	9,3
300,2	-141,5	-422,9	-303,2	-183,5	-134,7	-128,6	-139,4	9,3
304,2	-93,2	-407,0	-292,3	-168,4	-116,6	-109,4	-120,4	9,5
304,2	-93,2	-407,0	-292,3	-168,4	-116,6	-109,4	-120,4	9,5
306,6	-48,6	-396,5	-287,9	-159,8	-104,9	-96,6	-107,7	9,7
306,6	-48,6	-396,5	-287,9	-159,8	-104,9	-96,6	-107,7	9,7
307,6	-7,4	-391,6	-290,0	-157,7	-99,6	-90,0	-101,3	9,9
307,6	-7,4	-391,6	-290,0	-157,7	-99,6	-90,0	-101,3	9,9
307,2	30,4	-392,1	-298,5	-162,1	-100,7	-89,8	-101,2	10,1
307,2	30,4	-392,1	-298,5	-162,1	-100,7	-89,8	-101,2	10,1
305,5	64,8	-398,0	-313,4	-173,0	-108,3	-96,0	-107,4	10,3
305,5	64,8	-398,0	-313,4	-173,0	-108,3	-96,0	-107,4	10,3
302,4	96,1	-409,2	-334,8	-190,5	-122,2	-108,4	-119,9	10,5
302,4	96,1	-409,2	-334,8	-190,5	-122,2	-108,4	-119,9	10,5
298,2	124,2	-425,6	-362,5	-214,4	-142,6	-127,2	-138,7	10,7
298,2	124,2	-425,6	-362,5	-214,4	-142,6	-127,2	-138,7	10,7
292,7	149,4	-447,2	-396,6	-244,9	-169,5	-152,4	-163,9	10,9
292,7	149,4	-447,2	-396,6	-244,9	-169,5	-152,4	-163,9	10,9
286,0	171,6	-474,0	-437,1	-281,9	-202,7	-183,9	-195,3	11,1
286,0	171,6	-474,0	-437,1	-281,9	-202,7	-183,9	-195,3	11,1
278,3	191,0	-505,8	-483,8	-325,3	-242,4	-221,7	-233,0	11,3
278,3	191,0	-505,8	-483,8	-325,3	-242,4	-221,7	-233,0	11,3
269,5	207,7	-542,5	-536,9	-375,3	-288,5	-265,9	-277,0	11,5
269,5	207,7	-542,5	-536,9	-375,3	-288,5	-265,9	-277,0	11,5
259,7	221,7	-584,1	-596,3	-431,8	-341,1	-316,3	-327,2	11,7
259,7	221,7	-584,1	-596,3	-431,8	-341,1	-316,3	-327,2	11,7
248,9	233,2	-630,5	-661,9	-494,8	-400,0	-373,2	-383,8	11,9
248,9	233,2	-630,5	-661,9	-494,8	-400,0	-373,2	-383,8	11,9
249,6	254,7	-547,9	-599,9	-430,5	-331,7	-302,6	-312,9	12,1
249,6	254,7	-547,9	-599,9	-430,5	-331,7	-302,6	-312,9	12,1
249,4	273,8	-469,9	-544,1	-372,6	-269,7	-238,2	-248,2	12,3
249,4	273,8	-469,9	-544,1	-372,6	-269,7	-238,2	-248,2	12,3
248,3	290,7	-396,4	-494,3	-321,1	-214,1	-180,2	-189,7	12,5
248,3	290,7	-396,4	-494,3	-321,1	-214,1	-180,2	-189,7	12,5
246,4	305,3	-327,3	-450,6	-276,0	-164,8	-128,4	-137,4	12,7
246,4	305,3	-327,3	-450,6	-276,0	-164,8	-128,4	-137,4	12,7
243,7	317,9	-262,5	-412,8	-237,2	-121,9	-82,8	-91,3	12,9
243,7	317,9	-262,5	-412,8	-237,2	-121,9	-82,8	-91,3	12,9
240,2	328,4	-201,9	-381,0	-204,8	-85,3	-43,5	-51,4	13,1
240,2	328,4	-201,9	-381,0	-204,8	-85,3	-43,5	-51,4	13,1
235,9	337,0	-145,4	-355,1	-178,7	-55,0	-10,3	-17,6	13,3
235,9	337,0	-145,4	-355,1	-178,7	-55,0	-10,3	-17,6	13,3
230,9	343,8	-92,8	-334,9	-158,9	-31,0	16,6	10,1	13,5
230,9	343,8	-92,8	-334,9	-158,9	-31,0	16,6	10,1	13,5
225,2	348,7	-44,2	-320,5	-145,3	-13,3	37,4	31,7	13,7
225,2	348,7	-44,2	-320,5	-145,3	-13,3	37,4	31,7	13,7

Dir. L SLU Momento (kNx1,185m)								
218,8	351,9	0,7	-311,8	-137,9	-1,9	52,0	47,3	13,9
218,8	351,9	0,7	-311,8	-137,9	-1,9	52,0	47,3	13,9
211,8	353,5	41,9	-308,6	-136,8	3,3	60,4	56,7	14,1
211,8	353,5	41,9	-308,6	-136,8	3,3	60,4	56,7	14,1
204,1	353,4	79,6	-311,1	-141,7	2,3	62,8	60,1	14,3
204,1	353,4	79,6	-311,1	-141,7	2,3	62,8	60,1	14,3
195,8	351,9	113,8	-319,0	-152,8	-4,9	59,0	57,5	14,5
195,8	351,9	113,8	-319,0	-152,8	-4,9	59,0	57,5	14,5
186,9	348,9	144,7	-332,2	-170,0	-18,3	49,1	48,9	14,7
186,9	348,9	144,7	-332,2	-170,0	-18,3	49,1	48,9	14,7
177,4	344,5	172,3	-350,8	-193,3	-37,8	33,2	34,3	14,9
177,4	344,5	172,3	-350,8	-193,3	-37,8	33,2	34,3	14,9
167,3	338,7	196,8	-374,7	-222,5	-63,6	11,1	13,8	15,1
167,3	338,7	196,8	-374,7	-222,5	-63,6	11,1	13,8	15,1
156,6	331,6	218,2	-403,7	-257,8	-95,4	-17,0	-12,8	15,3
156,6	331,6	218,2	-403,7	-257,8	-95,4	-17,0	-12,8	15,3
145,4	323,4	236,8	-437,8	-299,0	-133,4	-51,1	-45,2	15,5
145,4	323,4	236,8	-437,8	-299,0	-133,4	-51,1	-45,2	15,5
133,7	313,9	252,5	-476,8	-346,0	-177,5	-91,2	-83,6	15,7
133,7	313,9	252,5	-476,8	-346,0	-177,5	-91,2	-83,6	15,7
121,4	303,3	265,5	-520,8	-399,0	-227,7	-137,4	-127,9	15,9
121,4	303,3	265,5	-520,8	-399,0	-227,7	-137,4	-127,9	15,9
108,6	291,6	275,9	-569,6	-457,7	-283,9	-189,6	-178,0	16,1
108,6	291,6	275,9	-569,6	-457,7	-283,9	-189,6	-178,0	16,1
107,7	291,3	295,7	-491,4	-390,2	-214,2	-115,9	-102,2	16,3
107,7	291,3	295,7	-491,4	-390,2	-214,2	-115,9	-102,2	16,3
106,4	290,1	313,2	-417,6	-328,2	-150,2	-47,8	-32,0	16,5
106,4	290,1	313,2	-417,6	-328,2	-150,2	-47,8	-32,0	16,5
104,5	287,9	328,5	-348,1	-271,5	-91,9	14,5	32,7	16,7
104,5	287,9	328,5	-348,1	-271,5	-91,9	14,5	32,7	16,7
102,3	284,9	341,6	-282,8	-220,2	-39,3	71,2	91,9	16,9
102,3	284,9	341,6	-282,8	-220,2	-39,3	71,2	91,9	16,9
99,5	281,0	352,7	-221,6	-174,2	7,6	122,3	145,5	17,1
99,5	281,0	352,7	-221,6	-174,2	7,6	122,3	145,5	17,1
96,3	276,4	361,7	-164,5	-133,4	48,9	167,8	193,7	17,3
96,3	276,4	361,7	-164,5	-133,4	48,9	167,8	193,7	17,3
92,6	270,9	368,9	-111,2	-97,8	84,6	207,6	236,4	17,5
92,6	270,9	368,9	-111,2	-97,8	84,6	207,6	236,4	17,5
88,5	264,7	374,2	-61,8	-67,3	114,7	241,8	273,6	17,7
88,5	264,7	374,2	-61,8	-67,3	114,7	241,8	273,6	17,7
83,9	257,7	377,8	-16,1	-42,0	139,3	270,5	305,4	17,9
83,9	257,7	377,8	-16,1	-42,0	139,3	270,5	305,4	17,9
78,9	250,1	379,6	26,0	-21,6	158,3	293,6	331,7	18,1
78,9	250,1	379,6	26,0	-21,6	158,3	293,6	331,7	18,1
73,4	241,8	379,9	64,6	-6,2	171,8	311,2	352,6	18,3
73,4	241,8	379,9	64,6	-6,2	171,8	311,2	352,6	18,3

Dir. L SLU Momento (kNx1,185m)

67,5	232,8	378,6	99,8	4,3	179,8	323,2	368,1	18,5
67,5	232,8	378,6	99,8	4,3	179,8	323,2	368,1	18,5
61,2	223,2	375,8	131,7	10,0	182,4	329,6	378,3	18,7
61,2	223,2	375,8	131,7	10,0	182,4	329,6	378,3	18,7
54,4	213,0	371,6	160,5	10,9	179,5	330,5	383,0	18,9
54,4	213,0	371,6	160,5	10,9	179,5	330,5	383,0	18,9
49,2	204,2	368,1	188,6	9,1	173,2	328,0	384,4	19,1
49,2	204,2	368,1	188,6	9,1	173,2	328,0	384,4	19,1
46,2	197,5	365,8	216,3	5,2	163,9	322,3	383,0	19,3
46,2	197,5	365,8	216,3	5,2	163,9	322,3	383,0	19,3
44,9	192,5	364,5	242,8	-1,2	151,5	313,4	378,2	19,5
44,9	192,5	364,5	242,8	-1,2	151,5	313,4	378,2	19,5
43,2	186,9	362,0	266,6	-12,2	133,7	298,8	368,1	19,7
43,2	186,9	362,0	266,6	-12,2	133,7	298,8	368,1	19,7
41,1	180,8	358,4	287,6	-27,6	110,5	278,8	352,5	19,9
41,1	180,8	358,4	287,6	-27,6	110,5	278,8	352,5	19,9
38,5	174,2	353,7	306,1	-47,5	82,0	253,2	331,6	20,1
38,5	174,2	353,7	306,1	-47,5	82,0	253,2	331,6	20,1
35,4	167,0	347,9	322,0	-71,8	48,1	222,0	305,2	20,3
35,4	167,0	347,9	322,0	-71,8	48,1	222,0	305,2	20,3
31,9	159,5	341,1	335,6	-100,4	8,9	185,3	273,5	20,5
31,9	159,5	341,1	335,6	-100,4	8,9	185,3	273,5	20,5
28,0	151,4	333,4	346,8	-133,3	-35,5	142,9	236,2	20,7
28,0	151,4	333,4	346,8	-133,3	-35,5	142,9	236,2	20,7
23,6	142,9	324,7	355,8	-170,4	-85,3	95,0	193,5	20,9
23,6	142,9	324,7	355,8	-170,4	-85,3	95,0	193,5	20,9
18,7	133,9	315,2	362,6	-211,6	-140,4	41,5	145,4	21,1
18,7	133,9	315,2	362,6	-211,6	-140,4	41,5	145,4	21,1
13,4	124,4	304,8	367,4	-257,0	-200,7	-17,6	91,7	21,3
13,4	124,4	304,8	367,4	-257,0	-200,7	-17,6	91,7	21,3
7,6	114,6	293,7	370,2	-306,3	-266,3	-82,4	32,5	21,5
7,6	114,6	293,7	370,2	-306,3	-266,3	-82,4	32,5	21,5
1,4	104,3	281,8	371,2	-359,6	-337,2	-152,8	-32,2	21,7
1,4	104,3	281,8	371,2	-359,6	-337,2	-152,8	-32,2	21,7
-5,3	93,5	269,1	370,3	-416,9	-413,2	-228,8	-102,5	21,9
-5,3	93,5	269,1	370,3	-416,9	-413,2	-228,8	-102,5	21,9
-12,4	82,4	255,7	367,6	-477,9	-494,5	-310,6	-178,3	22,1
-12,4	82,4	255,7	367,6	-477,9	-494,5	-310,6	-178,3	22,1
-7,8	82,9	253,8	375,6	-410,7	-449,5	-266,6	-128,2	22,3
-7,8	82,9	253,8	375,6	-410,7	-449,5	-266,6	-128,2	22,3
-3,7	83,1	251,1	381,9	-347,4	-409,9	-228,6	-83,9	22,5
-3,7	83,1	251,1	381,9	-347,4	-409,9	-228,6	-83,9	22,5
-0,1	82,8	247,8	386,6	-287,9	-375,7	-196,6	-45,6	22,7
-0,1	82,8	247,8	386,6	-287,9	-375,7	-196,6	-45,6	22,7
3,1	82,1	243,9	389,8	-232,1	-346,9	-170,5	-13,2	22,9
3,1	82,1	243,9	389,8	-232,1	-346,9	-170,5	-13,2	22,9

Dir. L SLU Momento (kNx1,185m)								
5,7	80,9	239,4	391,5	-180,0	-323,3	-150,5	13,3	23,1
5,7	80,9	239,4	391,5	-180,0	-323,3	-150,5	13,3	23,1
7,8	79,3	234,3	391,8	-131,3	-305,1	-136,4	33,9	23,3
7,8	79,3	234,3	391,8	-131,3	-305,1	-136,4	33,9	23,3
9,4	77,3	228,6	390,8	-86,1	-292,1	-128,3	48,4	23,5
9,4	77,3	228,6	390,8	-86,1	-292,1	-128,3	48,4	23,5
10,5	74,9	222,4	388,5	-44,3	-284,3	-126,3	57,0	23,7
10,5	74,9	222,4	388,5	-44,3	-284,3	-126,3	57,0	23,7
11,1	72,1	215,6	385,0	-5,7	-281,6	-130,2	59,6	23,9
11,1	72,1	215,6	385,0	-5,7	-281,6	-130,2	59,6	23,9
11,2	68,8	208,4	380,3	29,7	-284,1	-140,2	56,1	24,1
11,2	68,8	208,4	380,3	29,7	-284,1	-140,2	56,1	24,1
10,8	65,1	200,7	374,5	62,0	-291,6	-156,1	46,6	24,3
10,8	65,1	200,7	374,5	62,0	-291,6	-156,1	46,6	24,3
9,8	61,0	192,4	367,7	91,3	-304,1	-178,1	31,1	24,5
9,8	61,0	192,4	367,7	91,3	-304,1	-178,1	31,1	24,5
8,3	56,4	183,8	359,8	117,7	-321,6	-206,0	9,5	24,7
8,3	56,4	183,8	359,8	117,7	-321,6	-206,0	9,5	24,7
6,3	51,5	174,6	351,0	141,3	-344,1	-240,0	-18,3	24,9
6,3	51,5	174,6	351,0	141,3	-344,1	-240,0	-18,3	24,9
3,7	46,0	165,1	341,3	162,2	-371,3	-279,9	-52,1	25,1
3,7	46,0	165,1	341,3	162,2	-371,3	-279,9	-52,1	25,1
0,7	40,2	155,1	330,7	180,3	-403,4	-325,8	-92,1	25,3
0,7	40,2	155,1	330,7	180,3	-403,4	-325,8	-92,1	25,3
-3,0	33,9	144,6	319,3	196,0	-440,2	-377,7	-138,3	25,5
-3,0	33,9	144,6	319,3	196,0	-440,2	-377,7	-138,3	25,5
-7,1	27,2	133,8	307,0	209,1	-481,8	-435,6	-190,6	25,7
-7,1	27,2	133,8	307,0	209,1	-481,8	-435,6	-190,6	25,7
-11,8	20,1	122,5	294,0	219,9	-527,9	-499,4	-249,1	25,9
-11,8	20,1	122,5	294,0	219,9	-527,9	-499,4	-249,1	25,9
-17,1	12,5	110,8	280,3	228,3	-578,6	-569,2	-313,8	26,1
-17,1	12,5	110,8	280,3	228,3	-578,6	-569,2	-313,8	26,1
-22,9	4,4	98,8	265,9	234,5	-633,7	-644,9	-384,8	26,3
-22,9	4,4	98,8	265,9	234,5	-633,7	-644,9	-384,8	26,3
-16,8	8,3	98,7	263,2	251,0	-559,6	-592,8	-328,3	26,5
-16,8	8,3	98,7	263,2	251,0	-559,6	-592,8	-328,3	26,5
-11,2	11,8	98,3	259,9	265,4	-489,7	-546,6	-278,1	26,7
-11,2	11,8	98,3	259,9	265,4	-489,7	-546,6	-278,1	26,7
-6,2	14,8	97,4	255,9	277,8	-424,2	-506,2	-234,1	26,9
-6,2	14,8	97,4	255,9	277,8	-424,2	-506,2	-234,1	26,9
-1,8	17,4	96,2	251,4	288,3	-362,8	-471,7	-196,4	27,1
-1,8	17,4	96,2	251,4	288,3	-362,8	-471,7	-196,4	27,1
2,0	19,4	94,5	246,3	296,9	-305,5	-443,0	-165,1	27,3
2,0	19,4	94,5	246,3	296,9	-305,5	-443,0	-165,1	27,3
5,3	21,0	92,5	240,6	303,7	-252,2	-420,1	-140,0	27,5
5,3	21,0	92,5	240,6	303,7	-252,2	-420,1	-140,0	27,5

Dir. L SLU Momento (kNx1,185m)

8,0	22,2	90,1	234,4	308,8	-202,8	-402,8	-121,3	27,7
8,0	22,2	90,1	234,4	308,8	-202,8	-402,8	-121,3	27,7
10,2	22,8	87,3	227,6	312,2	-157,2	-391,3	-108,8	27,9
10,2	22,8	87,3	227,6	312,2	-157,2	-391,3	-108,8	27,9
11,8	22,9	84,0	220,4	314,0	-115,3	-385,3	-102,6	28,1
11,8	22,9	84,0	220,4	314,0	-115,3	-385,3	-102,6	28,1
12,7	22,6	80,4	212,7	314,3	-77,0	-384,9	-102,8	28,3
12,7	22,6	80,4	212,7	314,3	-77,0	-384,9	-102,8	28,3
13,1	21,7	76,4	204,5	313,1	-42,3	-390,1	-109,3	28,5
13,1	21,7	76,4	204,5	313,1	-42,3	-390,1	-109,3	28,5
13,0	20,4	71,9	195,9	310,5	-11,0	-400,6	-122,0	28,7
13,0	20,4	71,9	195,9	310,5	-11,0	-400,6	-122,0	28,7
12,2	18,5	67,1	186,8	306,5	17,1	-416,6	-141,1	28,9
12,2	18,5	67,1	186,8	306,5	17,1	-416,6	-141,1	28,9
10,8	16,1	61,8	177,2	301,3	41,9	-437,9	-166,4	29,1
10,8	16,1	61,8	177,2	301,3	41,9	-437,9	-166,4	29,1
8,9	13,2	56,1	167,2	294,7	63,5	-464,5	-198,1	29,3
8,9	13,2	56,1	167,2	294,7	63,5	-464,5	-198,1	29,3
6,3	9,8	50,0	156,8	287,0	82,2	-496,3	-236,0	29,5
6,3	9,8	50,0	156,8	287,0	82,2	-496,3	-236,0	29,5
3,2	5,8	43,5	146,0	278,1	97,9	-533,2	-280,2	29,7
3,2	5,8	43,5	146,0	278,1	97,9	-533,2	-280,2	29,7
-0,6	1,3	36,5	134,7	268,1	110,9	-575,1	-330,7	29,9
-0,6	1,3	36,5	134,7	268,1	110,9	-575,1	-330,7	29,9
-5,0	-3,7	29,1	123,1	257,0	121,0	-622,1	-387,4	30,1
-5,0	-3,7	29,1	123,1	257,0	121,0	-622,1	-387,4	30,1
-9,9	-9,3	21,2	111,0	245,0	128,6	-673,9	-450,4	30,3
-9,9	-9,3	21,2	111,0	245,0	128,6	-673,9	-450,4	30,3
-15,5	-15,5	12,9	98,5	231,9	133,6	-730,6	-519,7	30,6
-15,5	-15,5	12,9	98,5	231,9	133,6	-730,6	-519,7	30,6
-9,3	-9,7	16,6	98,1	230,3	148,7	-658,0	-461,2	30,8
-9,3	-9,7	16,6	98,1	230,3	148,7	-658,0	-461,2	30,8
-3,6	-4,5	19,8	97,2	227,9	161,4	-590,1	-409,0	31,0
-3,6	-4,5	19,8	97,2	227,9	161,4	-590,1	-409,0	31,0
1,4	0,1	22,6	96,0	224,6	171,8	-526,8	-362,9	31,2
1,4	0,1	22,6	96,0	224,6	171,8	-526,8	-362,9	31,2
5,8	4,2	24,8	94,3	220,4	180,1	-467,8	-323,0	31,4
5,8	4,2	24,8	94,3	220,4	180,1	-467,8	-323,0	31,4
9,5	7,6	26,6	92,2	215,5	186,3	-413,2	-289,2	31,6
9,5	7,6	26,6	92,2	215,5	186,3	-413,2	-289,2	31,6
12,6	10,5	27,9	89,7	209,8	190,6	-362,8	-261,5	31,8
12,6	10,5	27,9	89,7	209,8	190,6	-362,8	-261,5	31,8
15,1	12,8	28,6	86,8	203,3	192,9	-316,5	-239,8	32,0
15,1	12,8	28,6	86,8	203,3	192,9	-316,5	-239,8	32,0
17,0	14,5	28,9	83,5	196,2	193,5	-274,1	-224,2	32,2
17,0	14,5	28,9	83,5	196,2	193,5	-274,1	-224,2	32,2

Dir. L SLU Momento (kNx1,185m)

18,2	15,6	28,6	79,8	188,3	192,3	-235,6	-214,5	32,4
18,2	15,6	28,6	79,8	188,3	192,3	-235,6	-214,5	32,4
18,8	16,0	27,9	75,6	179,8	189,5	-200,9	-210,8	32,6
18,8	16,0	27,9	75,6	179,8	189,5	-200,9	-210,8	32,6
18,7	15,9	26,5	71,0	170,7	185,1	-169,8	-213,0	32,8
18,7	15,9	26,5	71,0	170,7	185,1	-169,8	-213,0	32,8
17,9	15,1	24,7	65,9	161,0	179,3	-142,2	-221,1	33,0
17,9	15,1	24,7	65,9	161,0	179,3	-142,2	-221,1	33,0
16,5	13,7	22,2	60,4	150,7	172,1	-118,0	-234,9	33,2
16,5	13,7	22,2	60,4	150,7	172,1	-118,0	-234,9	33,2
14,5	11,7	19,3	54,5	139,8	163,6	-97,1	-254,6	33,4
14,5	11,7	19,3	54,5	139,8	163,6	-97,1	-254,6	33,4
11,7	9,0	15,7	48,1	128,4	153,8	-79,3	-280,0	33,6
11,7	9,0	15,7	48,1	128,4	153,8	-79,3	-280,0	33,6
8,3	5,7	11,6	41,2	116,5	142,9	-64,5	-311,1	33,8
8,3	5,7	11,6	41,2	116,5	142,9	-64,5	-311,1	33,8
4,3	1,7	6,9	33,8	104,0	131,0	-52,5	-347,8	34,0
4,3	1,7	6,9	33,8	104,0	131,0	-52,5	-347,8	34,0
-0,5	-3,0	1,5	26,0	91,1	118,0	-43,4	-390,1	34,2
-0,5	-3,0	1,5	26,0	91,1	118,0	-43,4	-390,1	34,2
-5,9	-8,3	-4,4	17,7	77,7	104,1	-36,9	-438,0	34,4
-5,9	-8,3	-4,4	17,7	77,7	104,1	-36,9	-438,0	34,4
-12,0	-14,3	-10,9	8,9	63,9	89,4	-32,8	-491,3	34,6
-12,0	-14,3	-10,9	8,9	63,9	89,4	-32,8	-491,3	34,6
-18,8	-20,9	-18,1	-0,4	49,7	73,8	-31,2	-550,0	34,8
-18,8	-20,9	-18,1	-0,4	49,7	73,8	-31,2	-550,0	34,8
-14,1	-16,1	-13,6	2,1	47,6	70,3	-19,9	-483,8	35,0
-14,1	-16,1	-13,6	2,1	47,6	70,3	-19,9	-483,8	35,0
-10,0	-11,8	-9,8	4,1	45,1	66,2	-10,5	-422,3	35,2
-10,0	-11,8	-9,8	4,1	45,1	66,2	-10,5	-422,3	35,2
-6,6	-8,2	-6,5	5,7	42,4	61,5	-3,0	-365,5	35,4
-6,6	-8,2	-6,5	5,7	42,4	61,5	-3,0	-365,5	35,4
-3,8	-5,2	-3,8	6,8	39,2	56,4	2,9	-313,4	35,6
-3,8	-5,2	-3,8	6,8	39,2	56,4	2,9	-313,4	35,6
-1,6	-2,9	-1,7	7,4	35,8	51,0	7,2	-265,8	35,8
-1,6	-2,9	-1,7	7,4	35,8	51,0	7,2	-265,8	35,8
0,0	-1,2	-0,3	7,5	32,1	45,2	10,0	-222,7	36,0
0,0	-1,2	-0,3	7,5	32,1	45,2	10,0	-222,7	36,0
0,9	-0,1	0,6	7,1	28,0	39,1	11,4	-184,1	36,1
0,9	-0,1	0,6	7,1	28,0	39,1	11,4	-184,1	36,1
1,1	0,3	0,8	6,2	23,7	32,8	11,6	-149,8	36,3
1,1	0,3	0,8	6,2	23,7	32,8	11,6	-149,8	36,3
0,8	0,0	0,5	4,8	19,1	26,4	10,6	-119,8	36,5
0,8	0,0	0,5	4,8	19,1	26,4	10,6	-119,8	36,5
-0,3	-0,9	-0,6	2,8	14,2	19,9	8,5	-94,1	36,7
-0,3	-0,9	-0,6	2,8	14,2	19,9	8,5	-94,1	36,7

[illegible]

Dir. L SLU Taglio (kNx1,185)

PVVVVVVV	PPVVVVVV	PPPVVVVV	PPPPVVVV	PPPPPVVV	PPPPPPVV	PPPPPPV	PPPPPPPP	x
-13,4	-14,7	-13,2	-11,8	-11,5	-11,5	-11,5	-11,6	0,0
-13,4	-14,7	-13,2	-11,8	-11,5	-11,5	-11,5	-11,6	0,2
-39,8	-44,3	-40,0	-36,0	-35,0	-34,9	-35,1	-35,3	0,2
-39,8	-44,3	-40,0	-36,0	-35,0	-34,9	-35,1	-35,3	0,5
-65,8	-73,9	-67,2	-60,8	-59,0	-58,9	-59,3	-59,5	0,5
-65,8	-73,9	-67,2	-60,8	-59,0	-58,9	-59,3	-59,5	0,7
-78,1	-89,9	-81,3	-72,7	-70,3	-70,1	-70,5	-70,9	0,7
-78,1	-89,9	-81,3	-72,7	-70,3	-70,1	-70,5	-70,9	0,9
-86,9	-102,3	-92,2	-81,8	-78,7	-78,5	-79,0	-79,4	0,9
-86,9	-102,3	-92,2	-81,8	-78,7	-78,5	-79,0	-79,4	1,1
-97,9	-117,4	-106,0	-93,8	-90,1	-89,7	-90,3	-90,9	1,1
-97,9	-117,4	-106,0	-93,8	-90,1	-89,7	-90,3	-90,9	1,3
-120,2	-144,2	-131,8	-117,9	-113,5	-113,0	-113,7	-114,3	1,3
-120,2	-144,2	-131,8	-117,9	-113,5	-113,0	-113,7	-114,3	1,5
-142,3	-171,1	-157,9	-142,4	-137,4	-136,8	-137,5	-138,2	1,5
-142,3	-171,1	-157,9	-142,4	-137,4	-136,8	-137,5	-138,2	1,7
-164,1	-198,0	-184,3	-167,4	-161,8	-161,0	-161,8	-162,5	1,7
-164,1	-198,0	-184,3	-167,4	-161,8	-161,0	-161,8	-162,5	1,9
-185,7	-225,0	-211,1	-192,8	-186,6	-185,6	-186,4	-187,3	1,9
-185,7	-225,0	-211,1	-192,8	-186,6	-185,6	-186,4	-187,3	2,1
-206,9	-252,1	-238,2	-218,7	-211,8	-210,7	-211,5	-212,4	2,1
-206,9	-252,1	-238,2	-218,7	-211,8	-210,7	-211,5	-212,4	2,4
-227,9	-279,1	-265,6	-245,0	-237,4	-236,1	-237,0	-238,0	2,4
-227,9	-279,1	-265,6	-245,0	-237,4	-236,1	-237,0	-238,0	2,6
-248,6	-306,2	-293,3	-271,7	-263,5	-262,0	-262,9	-263,9	2,6
-248,6	-306,2	-293,3	-271,7	-263,5	-262,0	-262,9	-263,9	2,8
-269,0	-333,4	-321,4	-298,8	-290,0	-288,3	-289,1	-290,2	2,8
-269,0	-333,4	-321,4	-298,8	-290,0	-288,3	-289,1	-290,2	3,0
-289,1	-360,5	-349,6	-326,4	-317,0	-315,0	-315,8	-317,0	3,0
-289,1	-360,5	-349,6	-326,4	-317,0	-315,0	-315,8	-317,0	3,2
-308,9	-387,6	-378,2	-354,3	-344,2	-342,0	-342,8	-344,0	3,2
-308,9	-387,6	-378,2	-354,3	-344,2	-342,0	-342,8	-344,0	3,4
333,6	247,4	255,1	279,5	290,1	292,6	291,9	290,6	3,4
333,6	247,4	255,1	279,5	290,1	292,6	291,9	290,6	3,6
315,2	221,3	227,0	251,8	263,0	265,8	265,1	263,8	3,6
315,2	221,3	227,0	251,8	263,0	265,8	265,1	263,8	3,8
297,1	195,3	198,8	223,8	235,6	238,6	238,0	236,7	3,8
297,1	195,3	198,8	223,8	235,6	238,6	238,0	236,7	4,0
279,4	169,3	170,3	195,5	207,9	211,2	210,7	209,3	4,0
279,4	169,3	170,3	195,5	207,9	211,2	210,7	209,3	4,2
262,1	143,5	141,8	166,9	179,9	183,5	183,1	181,6	4,2
262,1	143,5	141,8	166,9	179,9	183,5	183,1	181,6	4,4
245,1	117,8	113,0	138,0	151,6	155,6	155,2	153,7	4,4
245,1	117,8	113,0	138,0	151,6	155,6	155,2	153,7	4,6
228,6	92,2	84,2	108,9	123,0	127,4	127,1	125,6	4,6
228,6	92,2	84,2	108,9	123,0	127,4	127,1	125,6	4,8
212,5	66,9	55,2	79,6	94,2	98,9	98,8	97,2	4,8
212,5	66,9	55,2	79,6	94,2	98,9	98,8	97,2	5,0

Dir. L SLU Taglio (kNx1,185)

196,7	41,6	26,2	49,9	65,2	70,2	70,2	68,6	5,0
196,7	41,6	26,2	49,9	65,2	70,2	70,2	68,6	5,2
181,4	16,6	-3,0	20,1	35,9	41,3	41,4	39,8	5,2
181,4	16,6	-3,0	20,1	35,9	41,3	41,4	39,8	5,4
166,5	-8,2	-32,2	-9,9	6,3	12,2	12,4	10,8	5,4
166,5	-8,2	-32,2	-9,9	6,3	12,2	12,4	10,8	5,6
152,1	-32,9	-61,5	-40,2	-23,4	-17,2	-16,8	-18,4	5,6
152,1	-32,9	-61,5	-40,2	-23,4	-17,2	-16,8	-18,4	5,8
138,0	-57,3	-90,9	-70,7	-53,4	-46,8	-46,2	-47,8	5,8
138,0	-57,3	-90,9	-70,7	-53,4	-46,8	-46,2	-47,8	6,0
124,3	-81,4	-120,3	-101,3	-83,6	-76,5	-75,7	-77,4	6,0
124,3	-81,4	-120,3	-101,3	-83,6	-76,5	-75,7	-77,4	6,2
111,1	-105,4	-149,7	-132,2	-114,0	-106,5	-105,5	-107,1	6,2
111,1	-105,4	-149,7	-132,2	-114,0	-106,5	-105,5	-107,1	6,4
98,2	-129,0	-179,1	-163,2	-144,6	-136,6	-135,4	-137,1	6,4
98,2	-129,0	-179,1	-163,2	-144,6	-136,6	-135,4	-137,1	6,6
85,8	-152,4	-208,6	-194,4	-175,4	-167,0	-165,6	-167,2	6,6
85,8	-152,4	-208,6	-194,4	-175,4	-167,0	-165,6	-167,2	6,8
73,8	-175,5	-238,0	-225,7	-206,3	-197,5	-195,8	-197,4	6,8
73,8	-175,5	-238,0	-225,7	-206,3	-197,5	-195,8	-197,4	7,0
62,1	-198,2	-267,4	-257,2	-237,5	-228,1	-226,2	-227,8	7,0
62,1	-198,2	-267,4	-257,2	-237,5	-228,1	-226,2	-227,8	7,2
50,9	-220,7	-296,7	-288,8	-268,7	-258,9	-256,8	-258,3	7,2
50,9	-220,7	-296,7	-288,8	-268,7	-258,9	-256,8	-258,3	7,4
40,0	-242,8	-326,0	-320,5	-300,2	-289,9	-287,5	-289,0	7,4
40,0	-242,8	-326,0	-320,5	-300,2	-289,9	-287,5	-289,0	7,7
91,1	397,1	306,4	309,3	329,9	340,7	343,4	341,9	7,7
91,1	397,1	306,4	309,3	329,9	340,7	343,4	341,9	7,9
81,0	375,7	277,4	277,4	298,2	309,5	312,5	311,1	7,9
81,0	375,7	277,4	277,4	298,2	309,5	312,5	311,1	8,1
71,2	354,8	248,4	245,5	266,5	278,3	281,5	280,2	8,1
71,2	354,8	248,4	245,5	266,5	278,3	281,5	280,2	8,3
61,8	334,2	219,7	213,5	234,6	246,9	250,5	249,2	8,3
61,8	334,2	219,7	213,5	234,6	246,9	250,5	249,2	8,5
52,7	314,2	191,1	181,5	202,7	215,5	219,5	218,2	8,5
52,7	314,2	191,1	181,5	202,7	215,5	219,5	218,2	8,7
43,9	294,5	162,7	149,5	170,8	184,1	188,3	187,2	8,7
43,9	294,5	162,7	149,5	170,8	184,1	188,3	187,2	8,9
35,5	275,3	134,6	117,5	138,8	152,6	157,2	156,1	8,9
35,5	275,3	134,6	117,5	138,8	152,6	157,2	156,1	9,1
27,4	256,6	106,6	85,5	106,7	121,0	126,0	125,0	9,1
27,4	256,6	106,6	85,5	106,7	121,0	126,0	125,0	9,3
19,6	238,4	79,0	53,6	74,6	89,4	94,8	93,9	9,3
19,6	238,4	79,0	53,6	74,6	89,4	94,8	93,9	9,5
12,2	220,6	51,5	21,7	42,5	57,8	63,5	62,8	9,5
12,2	220,6	51,5	21,7	42,5	57,8	63,5	62,8	9,7
5,0	203,4	24,4	-10,2	10,4	26,1	32,3	31,6	9,7
5,0	203,4	24,4	-10,2	10,4	26,1	32,3	31,6	9,9
-2,0	186,6	-2,5	-42,0	-21,8	-5,6	1,0	0,5	9,9

Dir. L SLU Taglio (kNx1,185)

-2,0	186,6	-2,5	-42,0	-21,8	-5,6	1,0	0,5	10,1
-8,6	170,3	-29,1	-73,8	-54,0	-37,3	-30,3	-30,6	10,1
-8,6	170,3	-29,1	-73,8	-54,0	-37,3	-30,3	-30,6	10,3
-15,0	154,4	-55,3	-105,4	-86,2	-69,0	-61,6	-61,8	10,3
-15,0	154,4	-55,3	-105,4	-86,2	-69,0	-61,6	-61,8	10,5
-21,2	139,1	-81,3	-137,0	-118,4	-100,8	-92,9	-92,9	10,5
-21,2	139,1	-81,3	-137,0	-118,4	-100,8	-92,9	-92,9	10,7
-27,1	124,2	-106,9	-168,5	-150,5	-132,5	-124,3	-124,1	10,7
-27,1	124,2	-106,9	-168,5	-150,5	-132,5	-124,3	-124,1	10,9
-32,8	109,8	-132,1	-199,9	-182,7	-164,3	-155,6	-155,2	10,9
-32,8	109,8	-132,1	-199,9	-182,7	-164,3	-155,6	-155,2	11,1
-38,2	95,9	-157,0	-231,2	-214,9	-196,1	-186,9	-186,3	11,1
-38,2	95,9	-157,0	-231,2	-214,9	-196,1	-186,9	-186,3	11,3
-43,5	82,4	-181,5	-262,3	-247,0	-227,9	-218,2	-217,4	11,3
-43,5	82,4	-181,5	-262,3	-247,0	-227,9	-218,2	-217,4	11,5
-48,5	69,4	-205,6	-293,3	-279,1	-259,6	-249,5	-248,4	11,5
-48,5	69,4	-205,6	-293,3	-279,1	-259,6	-249,5	-248,4	11,7
-53,4	56,8	-229,3	-324,1	-311,1	-291,4	-280,7	-279,5	11,7
-53,4	56,8	-229,3	-324,1	-311,1	-291,4	-280,7	-279,5	11,9
3,5	106,3	409,1	306,9	318,6	338,6	349,7	351,2	11,9
3,5	106,3	409,1	306,9	318,6	338,6	349,7	351,2	12,1
-1,0	94,7	386,3	276,6	286,7	307,0	318,6	320,4	12,1
-1,0	94,7	386,3	276,6	286,7	307,0	318,6	320,4	12,3
-5,3	83,5	364,1	246,4	255,0	275,4	287,5	289,6	12,3
-5,3	83,5	364,1	246,4	255,0	275,4	287,5	289,6	12,5
-9,5	72,6	342,3	216,6	223,4	244,0	256,6	259,0	12,5
-9,5	72,6	342,3	216,6	223,4	244,0	256,6	259,0	12,7
-13,5	62,2	321,0	186,9	191,9	212,6	225,7	228,4	12,7
-13,5	62,2	321,0	186,9	191,9	212,6	225,7	228,4	12,9
-17,4	52,2	300,2	157,6	160,5	181,2	194,8	197,9	12,9
-17,4	52,2	300,2	157,6	160,5	181,2	194,8	197,9	13,1
-21,1	42,6	279,9	128,6	129,3	150,0	164,1	167,5	13,1
-21,1	42,6	279,9	128,6	129,3	150,0	164,1	167,5	13,3
-24,7	33,3	260,2	99,8	98,2	118,8	133,4	137,2	13,3
-24,7	33,3	260,2	99,8	98,2	118,8	133,4	137,2	13,5
-28,2	24,4	241,0	71,4	67,3	87,7	102,8	107,0	13,5
-28,2	24,4	241,0	71,4	67,3	87,7	102,8	107,0	13,7
-31,6	15,9	222,3	43,2	36,4	56,7	72,3	76,9	13,7
-31,6	15,9	222,3	43,2	36,4	56,7	72,3	76,9	13,9
-34,9	7,7	204,1	15,5	5,8	25,8	41,9	46,8	13,9
-34,9	7,7	204,1	15,5	5,8	25,8	41,9	46,8	14,1
-38,1	-0,1	186,5	-12,0	-24,7	-5,0	11,6	16,9	14,1
-38,1	-0,1	186,5	-12,0	-24,7	-5,0	11,6	16,9	14,3
-41,2	-7,7	169,4	-39,1	-55,0	-35,7	-18,7	-12,9	14,3
-41,2	-7,7	169,4	-39,1	-55,0	-35,7	-18,7	-12,9	14,5
-44,2	-14,9	152,9	-65,8	-85,2	-66,4	-48,9	-42,6	14,5
-44,2	-14,9	152,9	-65,8	-85,2	-66,4	-48,9	-42,6	14,7
-47,1	-21,9	136,8	-92,1	-115,1	-96,9	-79,0	-72,3	14,7
-47,1	-21,9	136,8	-92,1	-115,1	-96,9	-79,0	-72,3	14,9

Dir. L SLU Taglio (kNx1,185)

-50,0	-28,5	121,3	-118,1	-144,9	-127,4	-109,1	-101,9	14,9
-50,0	-28,5	121,3	-118,1	-144,9	-127,4	-109,1	-101,9	15,1
-52,8	-34,9	106,3	-143,7	-174,5	-157,8	-139,1	-131,3	15,1
-52,8	-34,9	106,3	-143,7	-174,5	-157,8	-139,1	-131,3	15,3
-55,5	-41,0	91,9	-168,8	-204,0	-188,1	-169,0	-160,7	15,3
-55,5	-41,0	91,9	-168,8	-204,0	-188,1	-169,0	-160,7	15,5
-58,2	-46,9	77,9	-193,5	-233,2	-218,3	-198,9	-190,0	15,5
-58,2	-46,9	77,9	-193,5	-233,2	-218,3	-198,9	-190,0	15,7
-60,8	-52,5	64,4	-217,8	-262,2	-248,4	-228,7	-219,2	15,7
-60,8	-52,5	64,4	-217,8	-262,2	-248,4	-228,7	-219,2	15,9
-63,4	-57,9	51,4	-241,7	-291,0	-278,4	-258,4	-248,4	15,9
-63,4	-57,9	51,4	-241,7	-291,0	-278,4	-258,4	-248,4	16,1
-4,3	-1,4	100,6	396,8	342,4	353,6	373,9	384,5	16,1
-4,3	-1,4	100,6	396,8	342,4	353,6	373,9	384,5	16,3
-6,8	-6,3	88,8	374,5	314,8	324,6	345,1	356,3	16,3
-6,8	-6,3	88,8	374,5	314,8	324,6	345,1	356,3	16,5
-9,2	-10,9	77,5	352,6	287,4	295,6	316,3	328,1	16,5
-9,2	-10,9	77,5	352,6	287,4	295,6	316,3	328,1	16,7
-11,6	-15,4	66,6	331,2	260,3	266,8	287,6	300,1	16,7
-11,6	-15,4	66,6	331,2	260,3	266,8	287,6	300,1	16,9
-14,0	-19,7	56,1	310,3	233,4	238,1	259,0	272,1	16,9
-14,0	-19,7	56,1	310,3	233,4	238,1	259,0	272,1	17,1
-16,3	-23,8	46,0	289,9	206,8	209,5	230,5	244,2	17,1
-16,3	-23,8	46,0	289,9	206,8	209,5	230,5	244,2	17,3
-18,6	-27,7	36,3	270,0	180,5	181,0	202,1	216,5	17,3
-18,6	-27,7	36,3	270,0	180,5	181,0	202,1	216,5	17,5
-20,9	-31,6	27,0	250,7	154,5	152,7	173,7	188,8	17,5
-20,9	-31,6	27,0	250,7	154,5	152,7	173,7	188,8	17,7
-23,2	-35,2	18,0	231,9	128,8	124,5	145,4	161,2	17,7
-23,2	-35,2	18,0	231,9	128,8	124,5	145,4	161,2	17,9
-25,5	-38,8	9,5	213,6	103,3	96,5	117,2	133,6	17,9
-25,5	-38,8	9,5	213,6	103,3	96,5	117,2	133,6	18,1
-27,7	-42,2	1,3	195,8	78,2	68,5	89,0	106,1	18,1
-27,7	-42,2	1,3	195,8	78,2	68,5	89,0	106,1	18,3
-30,0	-45,5	-6,6	178,6	53,3	40,7	60,9	78,7	18,3
-30,0	-45,5	-6,6	178,6	53,3	40,7	60,9	78,7	18,5
-32,2	-48,6	-14,2	161,9	28,8	12,9	32,7	51,3	18,5
-32,2	-48,6	-14,2	161,9	28,8	12,9	32,7	51,3	18,7
-34,5	-51,7	-21,4	145,7	4,5	-14,7	4,7	24,0	18,7
-34,5	-51,7	-21,4	145,7	4,5	-14,7	4,7	24,0	18,9
-25,9	-43,8	-17,5	140,7	-8,8	-31,6	-12,8	7,3	18,9
-25,9	-43,8	-17,5	140,7	-8,8	-31,6	-12,8	7,3	19,1
-15,0	-33,7	-11,1	138,5	-19,8	-46,3	-28,1	-7,4	19,1
-15,0	-33,7	-11,1	138,5	-19,8	-46,3	-28,1	-7,4	19,3
-6,4	-25,6	-6,6	134,6	-32,5	-63,0	-45,6	-24,1	19,3
-6,4	-25,6	-6,6	134,6	-32,5	-63,0	-45,6	-24,1	19,5
-8,7	-28,3	-12,7	120,4	-55,6	-90,3	-73,7	-51,4	19,5
-8,7	-28,3	-12,7	120,4	-55,6	-90,3	-73,7	-51,4	19,7
-10,9	-31,0	-18,5	106,8	-78,4	-117,5	-101,8	-78,8	19,7

Dir. L SLU Taglio (kNx1,185)

-10,9	-31,0	-18,5	106,8	-78,4	-117,5	-101,8	-78,8	19,9
-13,2	-33,6	-24,0	93,6	-100,9	-144,7	-129,9	-106,2	19,9
-13,2	-33,6	-24,0	93,6	-100,9	-144,7	-129,9	-106,2	20,1
-15,5	-36,1	-29,3	80,9	-123,2	-171,7	-158,1	-133,7	20,1
-15,5	-36,1	-29,3	80,9	-123,2	-171,7	-158,1	-133,7	20,3
-17,7	-38,5	-34,4	68,7	-145,1	-198,7	-186,3	-161,3	20,3
-17,7	-38,5	-34,4	68,7	-145,1	-198,7	-186,3	-161,3	20,5
-20,0	-40,9	-39,2	57,0	-166,8	-225,7	-214,6	-188,9	20,5
-20,0	-40,9	-39,2	57,0	-166,8	-225,7	-214,6	-188,9	20,7
-22,3	-43,3	-43,9	45,6	-188,1	-252,5	-243,0	-216,6	20,7
-22,3	-43,3	-43,9	45,6	-188,1	-252,5	-243,0	-216,6	20,9
-24,6	-45,6	-48,3	34,8	-209,2	-279,3	-271,4	-244,3	20,9
-24,6	-45,6	-48,3	34,8	-209,2	-279,3	-271,4	-244,3	21,1
-26,9	-47,8	-52,5	24,3	-229,9	-306,1	-299,9	-272,2	21,1
-26,9	-47,8	-52,5	24,3	-229,9	-306,1	-299,9	-272,2	21,3
-29,3	-50,1	-56,6	14,3	-250,3	-332,7	-328,5	-300,2	21,3
-29,3	-50,1	-56,6	14,3	-250,3	-332,7	-328,5	-300,2	21,5
-31,6	-52,3	-60,5	4,6	-270,4	-359,3	-357,1	-328,2	21,5
-31,6	-52,3	-60,5	4,6	-270,4	-359,3	-357,1	-328,2	21,7
-33,9	-54,4	-64,3	-4,6	-290,2	-385,8	-385,8	-356,4	21,7
-33,9	-54,4	-64,3	-4,6	-290,2	-385,8	-385,8	-356,4	21,9
-36,3	-56,6	-67,8	-13,4	-309,7	-412,2	-414,6	-384,7	21,9
-36,3	-56,6	-67,8	-13,4	-309,7	-412,2	-414,6	-384,7	22,1
22,9	2,8	-9,7	39,6	332,6	222,8	217,8	248,3	22,1
22,9	2,8	-9,7	39,6	332,6	222,8	217,8	248,3	22,3
20,4	0,7	-13,1	31,3	313,5	196,0	188,3	219,1	22,3
20,4	0,7	-13,1	31,3	313,5	196,0	188,3	219,1	22,5
18,0	-1,5	-16,3	23,3	294,7	169,4	158,6	189,9	22,5
18,0	-1,5	-16,3	23,3	294,7	169,4	158,6	189,9	22,7
15,5	-3,6	-19,4	15,7	276,4	142,9	129,0	160,6	22,7
15,5	-3,6	-19,4	15,7	276,4	142,9	129,0	160,6	22,9
13,0	-5,7	-22,4	8,5	258,4	116,5	99,3	131,2	22,9
13,0	-5,7	-22,4	8,5	258,4	116,5	99,3	131,2	23,1
10,5	-7,8	-25,3	1,5	241,0	90,4	69,6	101,7	23,1
10,5	-7,8	-25,3	1,5	241,0	90,4	69,6	101,7	23,3
8,0	-9,9	-28,1	-5,1	223,9	64,4	39,9	72,1	23,3
8,0	-9,9	-28,1	-5,1	223,9	64,4	39,9	72,1	23,5
5,5	-12,0	-30,8	-11,4	207,3	38,7	10,2	42,5	23,5
5,5	-12,0	-30,8	-11,4	207,3	38,7	10,2	42,5	23,7
2,9	-14,1	-33,4	-17,4	191,1	13,2	-19,5	12,7	23,7
2,9	-14,1	-33,4	-17,4	191,1	13,2	-19,5	12,7	23,9
0,4	-16,2	-35,9	-23,2	175,3	-12,2	-49,3	-17,1	23,9
0,4	-16,2	-35,9	-23,2	175,3	-12,2	-49,3	-17,1	24,1
-2,2	-18,3	-38,3	-28,6	160,0	-37,2	-79,0	-47,0	24,1
-2,2	-18,3	-38,3	-28,6	160,0	-37,2	-79,0	-47,0	24,3
-4,8	-20,4	-40,7	-33,9	145,2	-62,1	-108,7	-77,0	24,3
-4,8	-20,4	-40,7	-33,9	145,2	-62,1	-108,7	-77,0	24,5
-7,4	-22,5	-43,0	-38,9	130,8	-86,7	-138,4	-107,1	24,5
-7,4	-22,5	-43,0	-38,9	130,8	-86,7	-138,4	-107,1	24,7

Dir. L SLU Taglio (kNx1,185)

-10,0	-24,6	-45,2	-43,6	116,8	-111,0	-168,1	-137,4	24,7
-10,0	-24,6	-45,2	-43,6	116,8	-111,0	-168,1	-137,4	24,9
-12,6	-26,8	-47,4	-48,2	103,2	-135,1	-197,8	-167,7	24,9
-12,6	-26,8	-47,4	-48,2	103,2	-135,1	-197,8	-167,7	25,1
-15,3	-28,9	-49,6	-52,5	90,1	-158,9	-227,5	-198,1	25,1
-15,3	-28,9	-49,6	-52,5	90,1	-158,9	-227,5	-198,1	25,3
-17,9	-31,1	-51,7	-56,6	77,4	-182,4	-257,1	-228,6	25,3
-17,9	-31,1	-51,7	-56,6	77,4	-182,4	-257,1	-228,6	25,5
-20,6	-33,3	-53,8	-60,6	65,1	-205,6	-286,6	-259,2	25,5
-20,6	-33,3	-53,8	-60,6	65,1	-205,6	-286,6	-259,2	25,7
-23,3	-35,5	-55,8	-64,4	53,2	-228,5	-316,1	-289,8	25,7
-23,3	-35,5	-55,8	-64,4	53,2	-228,5	-316,1	-289,8	25,9
-26,0	-37,7	-57,8	-68,0	41,8	-251,0	-345,5	-320,6	25,9
-26,0	-37,7	-57,8	-68,0	41,8	-251,0	-345,5	-320,6	26,1
-28,7	-39,9	-59,8	-71,5	30,7	-273,2	-374,9	-351,4	26,1
-28,7	-39,9	-59,8	-71,5	30,7	-273,2	-374,9	-351,4	26,3
30,1	19,5	-0,2	-13,2	81,6	366,5	257,5	279,2	26,3
30,1	19,5	-0,2	-13,2	81,6	366,5	257,5	279,2	26,5
27,4	17,2	-2,2	-16,4	71,3	345,0	228,3	248,2	26,5
27,4	17,2	-2,2	-16,4	71,3	345,0	228,3	248,2	26,7
24,6	14,9	-4,2	-19,5	61,3	324,0	199,3	217,2	26,7
24,6	14,9	-4,2	-19,5	61,3	324,0	199,3	217,2	26,9
21,8	12,6	-6,1	-22,4	51,7	303,3	170,5	186,1	26,9
21,8	12,6	-6,1	-22,4	51,7	303,3	170,5	186,1	27,1
19,0	10,2	-8,1	-25,3	42,5	283,1	141,8	155,0	27,1
19,0	10,2	-8,1	-25,3	42,5	283,1	141,8	155,0	27,3
16,2	7,9	-10,0	-28,0	33,6	263,4	113,4	123,8	27,3
16,2	7,9	-10,0	-28,0	33,6	263,4	113,4	123,8	27,5
13,4	5,5	-12,0	-30,7	25,1	244,1	85,2	92,7	27,5
13,4	5,5	-12,0	-30,7	25,1	244,1	85,2	92,7	27,7
10,6	3,1	-14,0	-33,2	16,9	225,3	57,2	61,6	27,7
10,6	3,1	-14,0	-33,2	16,9	225,3	57,2	61,6	27,9
7,7	0,7	-15,9	-35,7	9,0	206,9	29,4	30,4	27,9
7,7	0,7	-15,9	-35,7	9,0	206,9	29,4	30,4	28,1
4,9	-1,7	-17,9	-38,1	1,4	189,1	1,9	-0,7	28,1
4,9	-1,7	-17,9	-38,1	1,4	189,1	1,9	-0,7	28,3
2,0	-4,2	-19,9	-40,5	-5,9	171,7	-25,3	-31,9	28,3
2,0	-4,2	-19,9	-40,5	-5,9	171,7	-25,3	-31,9	28,5
-0,9	-6,7	-21,9	-42,7	-12,9	154,8	-52,3	-63,0	28,5
-0,9	-6,7	-21,9	-42,7	-12,9	154,8	-52,3	-63,0	28,7
-3,8	-9,2	-24,0	-45,0	-19,6	138,4	-78,9	-94,2	28,7
-3,8	-9,2	-24,0	-45,0	-19,6	138,4	-78,9	-94,2	28,9
-6,7	-11,8	-26,0	-47,2	-26,1	122,5	-105,3	-125,3	28,9
-6,7	-11,8	-26,0	-47,2	-26,1	122,5	-105,3	-125,3	29,1
-9,7	-14,3	-28,1	-49,3	-32,3	107,1	-131,3	-156,4	29,1
-9,7	-14,3	-28,1	-49,3	-32,3	107,1	-131,3	-156,4	29,3
-12,6	-16,9	-30,2	-51,4	-38,2	92,2	-157,0	-187,4	29,3
-12,6	-16,9	-30,2	-51,4	-38,2	92,2	-157,0	-187,4	29,5
-15,6	-19,6	-32,3	-53,5	-43,9	77,8	-182,4	-218,5	29,5

Dir. L SLU Taglio (kNx1,185)

-15,6	-19,6	-32,3	-53,5	-43,9	77,8	-182,4	-218,5	29,7
-18,6	-22,2	-34,5	-55,6	-49,4	63,8	-207,3	-249,5	29,7
-18,6	-22,2	-34,5	-55,6	-49,4	63,8	-207,3	-249,5	29,9
-21,6	-24,9	-36,6	-57,7	-54,7	50,3	-231,9	-280,4	29,9
-21,6	-24,9	-36,6	-57,7	-54,7	50,3	-231,9	-280,4	30,1
-24,6	-27,6	-38,9	-59,7	-59,7	37,3	-256,1	-311,3	30,1
-24,6	-27,6	-38,9	-59,7	-59,7	37,3	-256,1	-311,3	30,3
-27,6	-30,4	-41,1	-61,7	-64,6	24,8	-279,9	-342,1	30,3
-27,6	-30,4	-41,1	-61,7	-64,6	24,8	-279,9	-342,1	30,6
30,9	28,5	18,2	-2,1	-7,6	74,4	358,4	288,8	30,6
30,9	28,5	18,2	-2,1	-7,6	74,4	358,4	288,8	30,8
27,9	25,7	15,9	-4,2	-12,1	62,8	335,5	258,1	30,8
27,9	25,7	15,9	-4,2	-12,1	62,8	335,5	258,1	31,0
24,8	22,8	13,6	-6,2	-16,4	51,6	313,1	227,6	31,0
24,8	22,8	13,6	-6,2	-16,4	51,6	313,1	227,6	31,2
21,7	20,0	11,2	-8,2	-20,5	41,0	291,3	197,3	31,2
21,7	20,0	11,2	-8,2	-20,5	41,0	291,3	197,3	31,4
18,6	17,1	8,8	-10,3	-24,4	30,7	269,9	167,0	31,4
18,6	17,1	8,8	-10,3	-24,4	30,7	269,9	167,0	31,6
15,4	14,2	6,3	-12,3	-28,2	21,0	249,1	136,9	31,6
15,4	14,2	6,3	-12,3	-28,2	21,0	249,1	136,9	31,8
12,3	11,3	3,8	-14,4	-31,9	11,6	228,9	107,0	31,8
12,3	11,3	3,8	-14,4	-31,9	11,6	228,9	107,0	32,0
9,1	8,3	1,3	-16,4	-35,4	2,7	209,2	77,3	32,0
9,1	8,3	1,3	-16,4	-35,4	2,7	209,2	77,3	32,2
6,0	5,3	-1,3	-18,5	-38,7	-5,8	190,1	47,7	32,2
6,0	5,3	-1,3	-18,5	-38,7	-5,8	190,1	47,7	32,4
2,8	2,3	-3,9	-20,7	-42,0	-13,9	171,6	18,3	32,4
2,8	2,3	-3,9	-20,7	-42,0	-13,9	171,6	18,3	32,6
-0,4	-0,7	-6,5	-22,8	-45,1	-21,5	153,7	-10,8	32,6
-0,4	-0,7	-6,5	-22,8	-45,1	-21,5	153,7	-10,8	32,8
-3,7	-3,8	-9,2	-25,0	-48,1	-28,8	136,3	-39,8	32,8
-3,7	-3,8	-9,2	-25,0	-48,1	-28,8	136,3	-39,8	33,0
-6,9	-6,9	-12,0	-27,2	-50,9	-35,6	119,6	-68,6	33,0
-6,9	-6,9	-12,0	-27,2	-50,9	-35,6	119,6	-68,6	33,2
-10,2	-10,1	-14,7	-29,4	-53,7	-42,1	103,5	-97,1	33,2
-10,2	-10,1	-14,7	-29,4	-53,7	-42,1	103,5	-97,1	33,4
-13,5	-13,2	-17,5	-31,7	-56,4	-48,2	88,0	-125,5	33,4
-13,5	-13,2	-17,5	-31,7	-56,4	-48,2	88,0	-125,5	33,6
-16,8	-16,4	-20,4	-34,0	-58,9	-53,9	73,1	-153,6	33,6
-16,8	-16,4	-20,4	-34,0	-58,9	-53,9	73,1	-153,6	33,8
-20,1	-19,7	-23,3	-36,3	-61,4	-59,2	58,9	-181,4	33,8
-20,1	-19,7	-23,3	-36,3	-61,4	-59,2	58,9	-181,4	34,0
-23,5	-22,9	-26,3	-38,7	-63,8	-64,1	45,3	-209,0	34,0
-23,5	-22,9	-26,3	-38,7	-63,8	-64,1	45,3	-209,0	34,2
-26,8	-26,2	-29,3	-41,1	-66,1	-68,7	32,2	-236,4	34,2
-26,8	-26,2	-29,3	-41,1	-66,1	-68,7	32,2	-236,4	34,4
-30,2	-29,6	-32,3	-43,5	-68,3	-72,9	19,9	-263,5	34,4
-30,2	-29,6	-32,3	-43,5	-68,3	-72,9	19,9	-263,5	34,6

Dir. L SLU Taglio (kNx1,185)

-33,6	-32,9	-35,4	-46,0	-70,4	-76,7	8,1	-290,3	34,6
-33,6	-32,9	-35,4	-46,0	-70,4	-76,7	8,1	-290,3	34,8
24,6	25,4	23,1	13,1	-10,8	-18,5	58,9	345,6	34,8
24,6	25,4	23,1	13,1	-10,8	-18,5	58,9	345,6	35,0
21,3	22,1	20,1	10,7	-12,7	-21,5	48,9	320,8	35,0
21,3	22,1	20,1	10,7	-12,7	-21,5	48,9	320,8	35,2
18,0	18,9	17,1	8,2	-14,5	-24,2	39,5	296,3	35,2
18,0	18,9	17,1	8,2	-14,5	-24,2	39,5	296,3	35,4
14,7	15,6	14,0	5,7	-16,3	-26,5	30,6	272,1	35,4
14,7	15,6	14,0	5,7	-16,3	-26,5	30,6	272,1	35,6
11,4	12,2	10,9	3,1	-17,9	-28,5	22,3	248,3	35,6
11,4	12,2	10,9	3,1	-17,9	-28,5	22,3	248,3	35,8
8,1	8,9	7,7	0,5	-19,5	-30,3	14,6	224,8	35,8
8,1	8,9	7,7	0,5	-19,5	-30,3	14,6	224,8	36,0
4,7	5,5	4,5	-2,1	-21,1	-31,7	7,4	201,6	36,0
4,7	5,5	4,5	-2,1	-21,1	-31,7	7,4	201,6	36,1
1,3	2,1	1,3	-4,7	-22,6	-32,8	0,9	178,8	36,1
1,3	2,1	1,3	-4,7	-22,6	-32,8	0,9	178,8	36,3
-2,1	-1,3	-2,0	-7,4	-24,0	-33,5	-5,2	156,3	36,3
-2,1	-1,3	-2,0	-7,4	-24,0	-33,5	-5,2	156,3	36,5
-5,5	-4,8	-5,3	-10,2	-25,3	-34,0	-10,6	134,2	36,5
-5,5	-4,8	-5,3	-10,2	-25,3	-34,0	-10,6	134,2	36,7
-8,9	-8,2	-8,7	-13,0	-26,6	-34,2	-15,5	112,4	36,7
-8,9	-8,2	-8,7	-13,0	-26,6	-34,2	-15,5	112,4	36,9
-12,3	-11,7	-12,1	-15,8	-27,9	-34,2	-19,9	91,0	36,9
-12,3	-11,7	-12,1	-15,8	-27,9	-34,2	-19,9	91,0	37,1
-5,1	-4,6	-4,9	-8,0	-18,3	-23,5	-13,0	80,2	37,1
-5,1	-4,6	-4,9	-8,0	-18,3	-23,5	-13,0	80,2	37,3
4,3	4,8	4,6	2,1	-6,4	-10,4	-3,2	71,8	37,3
4,3	4,8	4,6	2,1	-6,4	-10,4	-3,2	71,8	37,5
11,3	11,6	11,5	9,6	3,0	0,0	4,6	62,3	37,5
11,3	11,6	11,5	9,6	3,0	0,0	4,6	62,3	37,7
8,1	8,3	8,3	6,9	2,0	0,0	2,7	44,1	37,7
8,1	8,3	8,3	6,9	2,0	0,0	2,7	44,1	37,9
4,9	5,0	5,0	4,2	1,2	0,0	1,2	26,2	37,9
4,9	5,0	5,0	4,2	1,2	0,0	1,2	26,2	38,0
1,6	1,7	1,7	1,4	0,4	0,0	0,3	8,6	38,0
1,6	1,7	1,7	1,4	0,4	0,0	0,3	8,6	38,2

Dir. L SLV Momento (kNx1,185m)

PVVVVVVV	PPVVVVVV	PPPVVVVV	PPPPVVVV	PPPPPVVV	PPPPPPVV	PPPPPPPV	PPPPPPPP	x
0,0	0,0	0,0	0,0	0,0	0,0	0,0	0,0	0,0
-2,1	-2,3	-2,0	-1,8	-1,8	-1,8	-1,8	-1,8	0,2
-2,1	-2,3	-2,0	-1,8	-1,8	-1,8	-1,8	-1,8	0,2
-8,2	-9,1	-8,2	-7,4	-7,2	-7,2	-7,3	-7,3	0,5
-8,2	-9,1	-8,2	-7,4	-7,2	-7,2	-7,3	-7,3	0,5
-18,4	-20,4	-18,6	-16,9	-16,4	-16,4	-16,5	-16,6	0,7
-18,4	-20,4	-18,6	-16,9	-16,4	-16,4	-16,5	-16,6	0,7
-28,2	-31,7	-28,8	-26,0	-25,2	-25,2	-25,3	-25,4	0,9
-28,2	-31,7	-28,8	-26,0	-25,2	-25,2	-25,3	-25,4	0,9
-38,5	-43,9	-39,8	-35,7	-34,5	-34,4	-34,6	-34,8	1,1
-38,5	-43,9	-39,8	-35,7	-34,5	-34,4	-34,6	-34,8	1,1
-50,2	-58,2	-52,6	-46,9	-45,2	-45,1	-45,4	-45,6	1,3
-50,2	-58,2	-52,6	-46,9	-45,2	-45,1	-45,4	-45,6	1,3
-65,1	-76,2	-68,9	-61,4	-59,2	-59,0	-59,4	-59,7	1,5
-65,1	-76,2	-68,9	-61,4	-59,2	-59,0	-59,4	-59,7	1,5
-83,0	-97,9	-88,8	-79,3	-76,5	-76,2	-76,7	-77,1	1,7
-83,0	-97,9	-88,8	-79,3	-76,5	-76,2	-76,7	-77,1	1,7
-103,9	-123,2	-112,4	-100,7	-97,1	-96,7	-97,3	-97,8	1,9
-103,9	-123,2	-112,4	-100,7	-97,1	-96,7	-97,3	-97,8	1,9
-127,8	-152,3	-139,6	-125,5	-121,1	-120,6	-121,3	-121,9	2,1
-127,8	-152,3	-139,6	-125,5	-121,1	-120,6	-121,3	-121,9	2,1
-154,6	-185,0	-170,6	-153,9	-148,6	-147,9	-148,7	-149,4	2,4
-154,6	-185,0	-170,6	-153,9	-148,6	-147,9	-148,7	-149,4	2,4
-184,3	-221,5	-205,2	-185,8	-179,5	-178,7	-179,6	-180,5	2,6
-184,3	-221,5	-205,2	-185,8	-179,5	-178,7	-179,6	-180,5	2,6
-217,0	-261,6	-243,7	-221,5	-214,1	-213,1	-214,1	-215,1	2,8
-217,0	-261,6	-243,7	-221,5	-214,1	-213,1	-214,1	-215,1	2,8
-252,4	-305,5	-286,0	-260,8	-252,3	-251,0	-252,1	-253,3	3,0
-252,4	-305,5	-286,0	-260,8	-252,3	-251,0	-252,1	-253,3	3,0
-290,6	-353,0	-332,1	-303,9	-294,1	-292,6	-293,8	-295,1	3,2
-290,6	-353,0	-332,1	-303,9	-294,1	-292,6	-293,8	-295,1	3,2
-331,5	-404,2	-382,1	-350,8	-339,7	-337,9	-339,2	-340,7	3,4
-331,5	-404,2	-382,1	-350,8	-339,7	-337,9	-339,2	-340,7	3,4
-287,9	-371,5	-348,5	-314,0	-301,6	-299,5	-300,9	-302,5	3,6
-287,9	-371,5	-348,5	-314,0	-301,6	-299,5	-300,9	-302,5	3,6
-246,7	-342,3	-318,5	-280,9	-267,0	-264,6	-266,1	-267,9	3,8
-246,7	-342,3	-318,5	-280,9	-267,0	-264,6	-266,1	-267,9	3,8
-208,0	-316,5	-292,2	-251,4	-236,1	-233,3	-234,8	-236,8	4,0
-208,0	-316,5	-292,2	-251,4	-236,1	-233,3	-234,8	-236,8	4,0
-171,6	-294,1	-269,7	-225,7	-208,8	-205,6	-207,2	-209,3	4,2
-171,6	-294,1	-269,7	-225,7	-208,8	-205,6	-207,2	-209,3	4,2
-137,6	-275,0	-250,9	-203,7	-185,2	-181,5	-183,2	-185,5	4,4
-137,6	-275,0	-250,9	-203,7	-185,2	-181,5	-183,2	-185,5	4,4
-105,8	-259,4	-235,9	-185,5	-165,3	-161,1	-162,8	-165,3	4,6
-105,8	-259,4	-235,9	-185,5	-165,3	-161,1	-162,8	-165,3	4,6

Dir. L SLV Momento (kNx1,185m)

-76,3	-247,2	-224,6	-171,2	-149,1	-144,4	-146,1	-148,8	4,8
-76,3	-247,2	-224,6	-171,2	-149,1	-144,4	-146,1	-148,8	4,8
-48,9	-238,2	-217,2	-160,6	-136,7	-131,4	-133,1	-136,1	5,0
-48,9	-238,2	-217,2	-160,6	-136,7	-131,4	-133,1	-136,1	5,0
-23,6	-232,6	-213,5	-154,0	-128,1	-122,2	-123,9	-127,0	5,2
-23,6	-232,6	-213,5	-154,0	-128,1	-122,2	-123,9	-127,0	5,2
-0,4	-230,3	-213,7	-151,2	-123,4	-116,7	-118,5	-121,8	5,4
-0,4	-230,3	-213,7	-151,2	-123,4	-116,7	-118,5	-121,8	5,4
20,8	-231,3	-217,7	-152,4	-122,5	-115,1	-116,8	-120,3	5,6
20,8	-231,3	-217,7	-152,4	-122,5	-115,1	-116,8	-120,3	5,6
40,0	-235,5	-225,5	-157,5	-125,5	-117,3	-118,9	-122,7	5,8
40,0	-235,5	-225,5	-157,5	-125,5	-117,3	-118,9	-122,7	5,8
57,4	-242,9	-237,2	-166,6	-132,4	-123,4	-124,9	-128,9	6,0
57,4	-242,9	-237,2	-166,6	-132,4	-123,4	-124,9	-128,9	6,0
72,9	-253,4	-252,7	-179,7	-143,2	-133,3	-134,8	-138,9	6,2
72,9	-253,4	-252,7	-179,7	-143,2	-133,3	-134,8	-138,9	6,2
86,6	-267,1	-272,0	-196,8	-158,1	-147,2	-148,5	-152,9	6,4
86,6	-267,1	-272,0	-196,8	-158,1	-147,2	-148,5	-152,9	6,4
98,6	-284,0	-295,2	-218,0	-176,9	-165,0	-166,2	-170,7	6,6
98,6	-284,0	-295,2	-218,0	-176,9	-165,0	-166,2	-170,7	6,6
108,9	-303,9	-322,2	-243,2	-199,7	-186,7	-187,7	-192,5	6,8
108,9	-303,9	-322,2	-243,2	-199,7	-186,7	-187,7	-192,5	6,8
117,5	-326,8	-353,0	-272,5	-226,5	-212,5	-213,2	-218,2	7,0
117,5	-326,8	-353,0	-272,5	-226,5	-212,5	-213,2	-218,2	7,0
124,6	-352,7	-387,7	-305,9	-257,4	-242,2	-242,7	-247,9	7,2
124,6	-352,7	-387,7	-305,9	-257,4	-242,2	-242,7	-247,9	7,2
130,2	-381,6	-426,3	-343,4	-292,4	-275,9	-276,2	-281,5	7,4
130,2	-381,6	-426,3	-343,4	-292,4	-275,9	-276,2	-281,5	7,4
134,2	-413,4	-468,6	-385,0	-331,4	-313,7	-313,6	-319,2	7,7
134,2	-413,4	-468,6	-385,0	-331,4	-313,7	-313,6	-319,2	7,7
146,6	-362,2	-428,9	-345,0	-288,8	-269,7	-269,3	-275,0	7,9
146,6	-362,2	-428,9	-345,0	-288,8	-269,7	-269,3	-275,0	7,9
157,6	-313,9	-393,0	-309,1	-250,3	-229,7	-228,9	-234,8	8,1
157,6	-313,9	-393,0	-309,1	-250,3	-229,7	-228,9	-234,8	8,1
167,2	-268,3	-360,9	-277,4	-215,9	-193,8	-192,6	-198,7	8,3
167,2	-268,3	-360,9	-277,4	-215,9	-193,8	-192,6	-198,7	8,3
175,6	-225,4	-332,5	-249,8	-185,6	-162,0	-160,3	-166,6	8,5
175,6	-225,4	-332,5	-249,8	-185,6	-162,0	-160,3	-166,6	8,5
182,7	-185,1	-307,9	-226,4	-159,5	-134,3	-132,1	-138,5	8,7
182,7	-185,1	-307,9	-226,4	-159,5	-134,3	-132,1	-138,5	8,7
188,6	-147,5	-286,9	-207,1	-137,5	-110,6	-107,9	-114,4	8,9
188,6	-147,5	-286,9	-207,1	-137,5	-110,6	-107,9	-114,4	8,9
193,3	-112,4	-269,7	-192,0	-119,7	-91,1	-87,7	-94,4	9,1
193,3	-112,4	-269,7	-192,0	-119,7	-91,1	-87,7	-94,4	9,1
196,9	-79,7	-256,0	-181,0	-106,0	-75,6	-71,7	-78,5	9,3
196,9	-79,7	-256,0	-181,0	-106,0	-75,6	-71,7	-78,5	9,3

Dir. L SLV Momento (kNx1,185m)

199,4	-49,5	-246,0	-174,2	-96,6	-64,3	-59,6	-66,5	9,5
199,4	-49,5	-246,0	-174,2	-96,6	-64,3	-59,6	-66,5	9,5
200,9	-21,6	-239,5	-171,5	-91,2	-57,0	-51,6	-58,6	9,7
200,9	-21,6	-239,5	-171,5	-91,2	-57,0	-51,6	-58,6	9,7
201,3	4,0	-236,6	-173,0	-90,1	-53,9	-47,7	-54,8	9,9
201,3	4,0	-236,6	-173,0	-90,1	-53,9	-47,7	-54,8	9,9
200,8	27,4	-237,2	-178,6	-93,1	-54,9	-47,9	-55,0	10,1
200,8	27,4	-237,2	-178,6	-93,1	-54,9	-47,9	-55,0	10,1
199,3	48,6	-241,3	-188,3	-100,4	-60,0	-52,1	-59,3	10,3
199,3	48,6	-241,3	-188,3	-100,4	-60,0	-52,1	-59,3	10,3
197,0	67,7	-248,7	-202,1	-111,8	-69,2	-60,4	-67,6	10,5
197,0	67,7	-248,7	-202,1	-111,8	-69,2	-60,4	-67,6	10,5
193,7	84,8	-259,6	-220,1	-127,3	-82,5	-72,7	-79,9	10,7
193,7	84,8	-259,6	-220,1	-127,3	-82,5	-72,7	-79,9	10,7
189,6	99,9	-273,8	-242,1	-147,1	-100,0	-89,1	-96,3	10,9
189,6	99,9	-273,8	-242,1	-147,1	-100,0	-89,1	-96,3	10,9
184,7	113,0	-291,3	-268,2	-171,0	-121,6	-109,6	-116,7	11,1
184,7	113,0	-291,3	-268,2	-171,0	-121,6	-109,6	-116,7	11,1
179,0	124,3	-312,1	-298,4	-199,1	-147,3	-134,2	-141,2	11,3
179,0	124,3	-312,1	-298,4	-199,1	-147,3	-134,2	-141,2	11,3
172,5	133,8	-336,0	-332,6	-231,3	-177,2	-162,8	-169,7	11,5
172,5	133,8	-336,0	-332,6	-231,3	-177,2	-162,8	-169,7	11,5
165,3	141,5	-363,2	-370,8	-267,8	-211,2	-195,5	-202,3	11,7
165,3	141,5	-363,2	-370,8	-267,8	-211,2	-195,5	-202,3	11,7
157,4	147,6	-393,4	-413,0	-308,4	-249,2	-232,2	-238,9	11,9
157,4	147,6	-393,4	-413,0	-308,4	-249,2	-232,2	-238,9	11,9
158,5	161,7	-340,9	-373,5	-267,4	-205,7	-187,3	-193,7	12,1
158,5	161,7	-340,9	-373,5	-267,4	-205,7	-187,3	-193,7	12,1
159,0	174,3	-291,5	-337,9	-230,5	-166,3	-146,4	-152,6	12,3
159,0	174,3	-291,5	-337,9	-230,5	-166,3	-146,4	-152,6	12,3
158,9	185,4	-245,0	-306,3	-197,8	-131,0	-109,5	-115,5	12,5
158,9	185,4	-245,0	-306,3	-197,8	-131,0	-109,5	-115,5	12,5
158,1	195,0	-201,3	-278,5	-169,1	-99,8	-76,7	-82,4	12,7
158,1	195,0	-201,3	-278,5	-169,1	-99,8	-76,7	-82,4	12,7
156,7	203,1	-160,4	-254,5	-144,5	-72,6	-47,8	-53,2	12,9
156,7	203,1	-160,4	-254,5	-144,5	-72,6	-47,8	-53,2	12,9
154,7	209,9	-122,2	-234,4	-124,0	-49,5	-23,0	-27,9	13,1
154,7	209,9	-122,2	-234,4	-124,0	-49,5	-23,0	-27,9	13,1
152,1	215,4	-86,7	-218,0	-107,6	-30,4	-2,1	-6,7	13,3
152,1	215,4	-86,7	-218,0	-107,6	-30,4	-2,1	-6,7	13,3
149,0	219,7	-53,8	-205,4	-95,1	-15,4	14,8	10,7	13,5
149,0	219,7	-53,8	-205,4	-95,1	-15,4	14,8	10,7	13,5
145,3	222,7	-23,4	-196,5	-86,7	-4,4	27,7	24,1	13,7
145,3	222,7	-23,4	-196,5	-86,7	-4,4	27,7	24,1	13,7
141,1	224,5	4,5	-191,2	-82,3	2,6	36,6	33,7	13,9
141,1	224,5	4,5	-191,2	-82,3	2,6	36,6	33,7	13,9

Dir. L SLV Momento (kNx1,185m)								
136,4	225,2	30,0	-189,5	-81,9	5,6	41,6	39,3	14,1
136,4	225,2	30,0	-189,5	-81,9	5,6	41,6	39,3	14,1
131,2	224,8	53,2	-191,4	-85,4	4,6	42,7	41,1	14,3
131,2	224,8	53,2	-191,4	-85,4	4,6	42,7	41,1	14,3
125,5	223,3	74,2	-196,9	-92,8	-0,4	39,9	38,9	14,5
125,5	223,3	74,2	-196,9	-92,8	-0,4	39,9	38,9	14,5
119,4	220,8	92,9	-205,8	-104,2	-9,4	33,1	33,0	14,7
119,4	220,8	92,9	-205,8	-104,2	-9,4	33,1	33,0	14,7
112,7	217,4	109,5	-218,1	-119,4	-22,4	22,4	23,1	14,9
112,7	217,4	109,5	-218,1	-119,4	-22,4	22,4	23,1	14,9
105,6	213,0	124,1	-233,8	-138,5	-39,3	7,8	9,5	15,1
105,6	213,0	124,1	-233,8	-138,5	-39,3	7,8	9,5	15,1
98,0	207,7	136,6	-252,9	-161,5	-60,1	-10,7	-8,0	15,3
98,0	207,7	136,6	-252,9	-161,5	-60,1	-10,7	-8,0	15,3
90,0	201,5	147,3	-275,2	-188,3	-84,9	-33,0	-29,4	15,5
90,0	201,5	147,3	-275,2	-188,3	-84,9	-33,0	-29,4	15,5
81,6	194,5	156,0	-300,8	-218,9	-113,6	-59,3	-54,5	15,7
81,6	194,5	156,0	-300,8	-218,9	-113,6	-59,3	-54,5	15,7
72,7	186,6	162,9	-329,6	-253,2	-146,2	-89,4	-83,4	15,9
72,7	186,6	162,9	-329,6	-253,2	-146,2	-89,4	-83,4	15,9
63,3	178,0	168,1	-361,4	-291,3	-182,8	-123,4	-116,1	16,1
63,3	178,0	168,1	-361,4	-291,3	-182,8	-123,4	-116,1	16,1
63,3	178,3	181,1	-311,9	-248,5	-138,6	-76,7	-68,1	16,3
63,3	178,3	181,1	-311,9	-248,5	-138,6	-76,7	-68,1	16,3
62,9	178,0	192,5	-265,3	-209,3	-98,1	-33,7	-23,7	16,5
62,9	178,0	192,5	-265,3	-209,3	-98,1	-33,7	-23,7	16,5
62,1	177,0	202,4	-221,4	-173,5	-61,2	5,7	17,1	16,7
62,1	177,0	202,4	-221,4	-173,5	-61,2	5,7	17,1	16,7
60,9	175,3	210,8	-180,3	-141,1	-28,1	41,4	54,4	16,9
60,9	175,3	210,8	-180,3	-141,1	-28,1	41,4	54,4	16,9
59,3	173,0	217,8	-141,9	-112,2	1,4	73,5	88,1	17,1
59,3	173,0	217,8	-141,9	-112,2	1,4	73,5	88,1	17,1
57,3	170,0	223,5	-106,1	-86,6	27,3	102,0	118,3	17,3
57,3	170,0	223,5	-106,1	-86,6	27,3	102,0	118,3	17,3
54,9	166,5	227,9	-72,8	-64,4	49,6	126,9	144,9	17,5
54,9	166,5	227,9	-72,8	-64,4	49,6	126,9	144,9	17,5
52,1	162,4	231,1	-42,0	-45,5	68,3	148,2	168,0	17,7
52,1	162,4	231,1	-42,0	-45,5	68,3	148,2	168,0	17,7
49,0	157,8	233,0	-13,7	-29,9	83,4	165,8	187,6	17,9
49,0	157,8	233,0	-13,7	-29,9	83,4	165,8	187,6	17,9
45,4	152,6	233,8	12,3	-17,5	94,9	179,9	203,8	18,1
45,4	152,6	233,8	12,3	-17,5	94,9	179,9	203,8	18,1
41,5	146,9	233,4	36,0	-8,3	102,9	190,4	216,4	18,3
41,5	146,9	233,4	36,0	-8,3	102,9	190,4	216,4	18,3
37,2	140,7	232,0	57,4	-2,4	107,4	197,3	225,5	18,5
37,2	140,7	232,0	57,4	-2,4	107,4	197,3	225,5	18,5

Dir. L SLV Momento (kNx1,185m)

32,5	134,0	229,6	76,7	0,5	108,3	200,7	231,1	18,7
32,5	134,0	229,6	76,7	0,5	108,3	200,7	231,1	18,7
27,5	126,8	226,1	93,9	0,2	105,7	200,4	233,3	18,9
27,5	126,8	226,1	93,9	0,2	105,7	200,4	233,3	18,9
23,9	121,0	223,6	111,2	-1,2	101,4	198,5	233,9	19,1
23,9	121,0	223,6	111,2	-1,2	101,4	198,5	233,9	19,1
22,4	117,1	222,6	128,9	-3,3	96,0	195,3	233,3	19,3
22,4	117,1	222,6	128,9	-3,3	96,0	195,3	233,3	19,3
22,4	114,8	222,5	146,3	-6,6	89,0	190,5	231,1	19,5
22,4	114,8	222,5	146,3	-6,6	89,0	190,5	231,1	19,5
22,0	112,0	221,7	161,9	-12,7	78,6	182,1	225,4	19,7
22,0	112,0	221,7	161,9	-12,7	78,6	182,1	225,4	19,7
21,2	108,7	220,0	175,6	-21,8	64,7	170,1	216,3	19,9
21,2	108,7	220,0	175,6	-21,8	64,7	170,1	216,3	19,9
20,1	105,1	217,5	187,7	-33,8	47,3	154,6	203,7	20,1
20,1	105,1	217,5	187,7	-33,8	47,3	154,6	203,7	20,1
18,5	101,0	214,3	198,1	-48,6	26,6	135,4	187,5	20,3
18,5	101,0	214,3	198,1	-48,6	26,6	135,4	187,5	20,3
16,6	96,5	210,3	206,8	-66,3	2,3	112,7	167,9	20,5
16,6	96,5	210,3	206,8	-66,3	2,3	112,7	167,9	20,5
14,3	91,6	205,6	214,0	-86,7	-25,3	86,4	144,8	20,7
14,3	91,6	205,6	214,0	-86,7	-25,3	86,4	144,8	20,7
11,7	86,4	200,3	219,7	-109,8	-56,4	56,4	118,1	20,9
11,7	86,4	200,3	219,7	-109,8	-56,4	56,4	118,1	20,9
8,6	80,7	194,3	224,0	-135,7	-90,8	22,9	87,9	21,1
8,6	80,7	194,3	224,0	-135,7	-90,8	22,9	87,9	21,1
5,2	74,7	187,7	226,9	-164,2	-128,7	-14,3	54,2	21,3
5,2	74,7	187,7	226,9	-164,2	-128,7	-14,3	54,2	21,3
1,3	68,3	180,5	228,4	-195,3	-169,9	-55,0	16,9	21,5
1,3	68,3	180,5	228,4	-195,3	-169,9	-55,0	16,9	21,5
-2,9	61,5	172,7	228,7	-229,0	-214,6	-99,5	-24,0	21,7
-2,9	61,5	172,7	228,7	-229,0	-214,6	-99,5	-24,0	21,7
-7,5	54,4	164,3	227,7	-265,3	-262,6	-147,5	-68,4	21,9
-7,5	54,4	164,3	227,7	-265,3	-262,6	-147,5	-68,4	21,9
-12,5	46,9	155,4	225,5	-304,1	-313,9	-199,3	-116,4	22,1
-12,5	46,9	155,4	225,5	-304,1	-313,9	-199,3	-116,4	22,1
-8,3	48,5	155,5	231,8	-260,7	-284,4	-170,4	-83,7	22,3
-8,3	48,5	155,5	231,8	-260,7	-284,4	-170,4	-83,7	22,3
-4,6	49,8	155,0	237,0	-219,9	-258,3	-145,4	-54,8	22,5
-4,6	49,8	155,0	237,0	-219,9	-258,3	-145,4	-54,8	22,5
-1,2	50,7	154,1	241,0	-181,5	-235,8	-124,3	-29,7	22,7
-1,2	50,7	154,1	241,0	-181,5	-235,8	-124,3	-29,7	22,7
1,8	51,2	152,6	244,0	-145,6	-216,6	-107,0	-8,4	22,9
1,8	51,2	152,6	244,0	-145,6	-216,6	-107,0	-8,4	22,9
4,3	51,4	150,6	245,9	-112,0	-200,9	-93,5	9,1	23,1
4,3	51,4	150,6	245,9	-112,0	-200,9	-93,5	9,1	23,1

Dir. L SLV Momento (kNx1,185m)

6,4	51,2	148,2	246,9	-80,7	-188,6	-83,9	22,7	23,3
6,4	51,2	148,2	246,9	-80,7	-188,6	-83,9	22,7	23,3
8,1	50,6	145,4	246,9	-51,7	-179,7	-78,2	32,5	23,5
8,1	50,6	145,4	246,9	-51,7	-179,7	-78,2	32,5	23,5
9,4	49,7	142,0	246,1	-25,0	-174,1	-76,3	38,5	23,7
9,4	49,7	142,0	246,1	-25,0	-174,1	-76,3	38,5	23,7
10,2	48,4	138,3	244,4	-0,3	-171,9	-78,3	40,6	23,9
10,2	48,4	138,3	244,4	-0,3	-171,9	-78,3	40,6	23,9
10,6	46,7	134,2	241,8	22,2	-173,0	-84,2	38,8	24,1
10,6	46,7	134,2	241,8	22,2	-173,0	-84,2	38,8	24,1
10,6	44,7	129,6	238,5	42,8	-177,3	-93,9	33,1	24,3
10,6	44,7	129,6	238,5	42,8	-177,3	-93,9	33,1	24,3
10,2	42,3	124,6	234,4	61,3	-184,9	-107,4	23,6	24,5
10,2	42,3	124,6	234,4	61,3	-184,9	-107,4	23,6	24,5
9,4	39,5	119,3	229,5	77,9	-195,6	-124,9	10,1	24,7
9,4	39,5	119,3	229,5	77,9	-195,6	-124,9	10,1	24,7
8,1	36,4	113,5	224,0	92,7	-209,6	-146,1	-7,3	24,9
8,1	36,4	113,5	224,0	92,7	-209,6	-146,1	-7,3	24,9
6,4	32,9	107,4	217,8	105,6	-226,7	-171,3	-28,6	25,1
6,4	32,9	107,4	217,8	105,6	-226,7	-171,3	-28,6	25,1
4,2	29,0	100,9	210,9	116,8	-246,9	-200,3	-53,9	25,3
4,2	29,0	100,9	210,9	116,8	-246,9	-200,3	-53,9	25,3
1,6	24,7	94,1	203,5	126,2	-270,1	-233,1	-83,1	25,5
1,6	24,7	94,1	203,5	126,2	-270,1	-233,1	-83,1	25,5
-1,4	20,1	86,9	195,4	134,1	-296,4	-269,7	-116,3	25,7
-1,4	20,1	86,9	195,4	134,1	-296,4	-269,7	-116,3	25,7
-4,8	15,1	79,3	186,7	140,3	-325,7	-310,2	-153,5	25,9
-4,8	15,1	79,3	186,7	140,3	-325,7	-310,2	-153,5	25,9
-8,7	9,8	71,4	177,5	144,9	-357,9	-354,5	-194,6	26,1
-8,7	9,8	71,4	177,5	144,9	-357,9	-354,5	-194,6	26,1
-13,1	4,0	63,1	167,8	148,1	-393,0	-402,7	-239,8	26,3
-13,1	4,0	63,1	167,8	148,1	-393,0	-402,7	-239,8	26,3
-8,1	7,6	64,2	167,2	159,6	-345,3	-368,9	-203,2	26,5
-8,1	7,6	64,2	167,2	159,6	-345,3	-368,9	-203,2	26,5
-3,6	10,8	65,0	166,2	169,7	-300,4	-338,9	-170,7	26,7
-3,6	10,8	65,0	166,2	169,7	-300,4	-338,9	-170,7	26,7
0,5	13,7	65,4	164,7	178,4	-258,2	-312,7	-142,2	26,9
0,5	13,7	65,4	164,7	178,4	-258,2	-312,7	-142,2	26,9
4,1	16,1	65,5	162,7	185,8	-218,8	-290,2	-117,8	27,1
4,1	16,1	65,5	162,7	185,8	-218,8	-290,2	-117,8	27,1
7,3	18,2	65,2	160,2	191,9	-182,0	-271,5	-97,4	27,3
7,3	18,2	65,2	160,2	191,9	-182,0	-271,5	-97,4	27,3
10,0	19,8	64,6	157,3	196,8	-147,8	-256,5	-81,1	27,5
10,0	19,8	64,6	157,3	196,8	-147,8	-256,5	-81,1	27,5
12,2	21,1	63,6	154,0	200,6	-116,1	-245,1	-68,8	27,7
12,2	21,1	63,6	154,0	200,6	-116,1	-245,1	-68,8	27,7

Dir. L SLV Momento (kNx1,185m)

14,0	21,9	62,3	150,2	203,2	-86,9	-237,4	-60,5	27,9
14,0	21,9	62,3	150,2	203,2	-86,9	-237,4	-60,5	27,9
15,3	22,3	60,6	146,0	204,7	-60,2	-233,3	-56,3	28,1
15,3	22,3	60,6	146,0	204,7	-60,2	-233,3	-56,3	28,1
16,2	22,4	58,6	141,5	205,1	-35,8	-232,8	-56,1	28,3
16,2	22,4	58,6	141,5	205,1	-35,8	-232,8	-56,1	28,3
16,6	22,0	56,2	136,5	204,5	-13,7	-235,9	-60,0	28,5
16,6	22,0	56,2	136,5	204,5	-13,7	-235,9	-60,0	28,5
16,6	21,2	53,5	131,2	202,9	6,1	-242,5	-67,9	28,7
16,6	21,2	53,5	131,2	202,9	6,1	-242,5	-67,9	28,7
16,1	20,0	50,5	125,4	200,4	23,8	-252,5	-79,9	28,9
16,1	20,0	50,5	125,4	200,4	23,8	-252,5	-79,9	28,9
15,1	18,4	47,0	119,3	197,0	39,4	-266,0	-95,9	29,1
15,1	18,4	47,0	119,3	197,0	39,4	-266,0	-95,9	29,1
13,6	16,3	43,2	112,8	192,7	52,9	-282,9	-116,0	29,3
13,6	16,3	43,2	112,8	192,7	52,9	-282,9	-116,0	29,3
11,7	13,9	39,1	106,0	187,5	64,4	-303,1	-140,1	29,5
11,7	13,9	39,1	106,0	187,5	64,4	-303,1	-140,1	29,5
9,3	10,9	34,5	98,7	181,5	74,0	-326,6	-168,2	29,7
9,3	10,9	34,5	98,7	181,5	74,0	-326,6	-168,2	29,7
6,4	7,6	29,6	91,2	174,7	81,7	-353,5	-200,4	29,9
6,4	7,6	29,6	91,2	174,7	81,7	-353,5	-200,4	29,9
3,0	3,8	24,3	83,2	167,1	87,6	-383,5	-236,5	30,1
3,0	3,8	24,3	83,2	167,1	87,6	-383,5	-236,5	30,1
-0,8	-0,4	18,7	74,9	158,8	91,7	-416,7	-276,7	30,3
-0,8	-0,4	18,7	74,9	158,8	91,7	-416,7	-276,7	30,3
-5,2	-5,1	12,6	66,2	149,8	94,2	-453,0	-321,0	30,6
-5,2	-5,1	12,6	66,2	149,8	94,2	-453,0	-321,0	30,6
-0,3	-0,5	15,9	67,0	149,8	104,7	-406,6	-283,4	30,8
-0,3	-0,5	15,9	67,0	149,8	104,7	-406,6	-283,4	30,8
4,1	3,6	18,8	67,3	149,2	113,7	-363,2	-249,7	31,0
4,1	3,6	18,8	67,3	149,2	113,7	-363,2	-249,7	31,0
8,1	7,3	21,3	67,3	147,9	121,2	-322,7	-220,1	31,2
8,1	7,3	21,3	67,3	147,9	121,2	-322,7	-220,1	31,2
11,5	10,5	23,4	67,0	146,0	127,2	-285,1	-194,4	31,4
11,5	10,5	23,4	67,0	146,0	127,2	-285,1	-194,4	31,4
14,4	13,3	25,1	66,2	143,4	131,8	-250,3	-172,7	31,6
14,4	13,3	25,1	66,2	143,4	131,8	-250,3	-172,7	31,6
16,9	15,5	26,4	65,1	140,3	135,0	-218,3	-154,8	31,8
16,9	15,5	26,4	65,1	140,3	135,0	-218,3	-154,8	31,8
18,8	17,3	27,2	63,7	136,6	136,9	-188,9	-140,9	32,0
18,8	17,3	27,2	63,7	136,6	136,9	-188,9	-140,9	32,0
20,2	18,6	27,6	61,8	132,4	137,6	-162,2	-130,9	32,2
20,2	18,6	27,6	61,8	132,4	137,6	-162,2	-130,9	32,2
21,1	19,4	27,6	59,6	127,6	137,1	-137,9	-124,7	32,4
21,1	19,4	27,6	59,6	127,6	137,1	-137,9	-124,7	32,4

Dir. L SLV Momento (kNx1,185m)

21,4	19,7	27,1	57,0	122,3	135,4	-116,2	-122,4	32,6
21,4	19,7	27,1	57,0	122,3	135,4	-116,2	-122,4	32,6
21,3	19,5	26,2	54,0	116,5	132,6	-96,8	-123,8	32,8
21,3	19,5	26,2	54,0	116,5	132,6	-96,8	-123,8	32,8
20,6	18,8	24,8	50,7	110,2	128,8	-79,7	-129,1	33,0
20,6	18,8	24,8	50,7	110,2	128,8	-79,7	-129,1	33,0
19,4	17,6	23,0	46,9	103,4	124,0	-64,9	-138,1	33,2
19,4	17,6	23,0	46,9	103,4	124,0	-64,9	-138,1	33,2
17,7	15,9	20,7	42,7	96,2	118,2	-52,2	-150,9	33,4
17,7	15,9	20,7	42,7	96,2	118,2	-52,2	-150,9	33,4
15,4	13,7	17,9	38,2	88,5	111,5	-41,6	-167,3	33,6
15,4	13,7	17,9	38,2	88,5	111,5	-41,6	-167,3	33,6
12,6	10,9	14,6	33,2	80,3	104,0	-33,0	-187,5	33,8
12,6	10,9	14,6	33,2	80,3	104,0	-33,0	-187,5	33,8
9,2	7,6	10,9	27,8	71,7	95,6	-26,3	-211,3	34,0
9,2	7,6	10,9	27,8	71,7	95,6	-26,3	-211,3	34,0
5,3	3,8	6,6	21,9	62,7	86,4	-21,5	-238,7	34,2
5,3	3,8	6,6	21,9	62,7	86,4	-21,5	-238,7	34,2
0,9	-0,6	1,8	15,7	53,3	76,6	-18,5	-269,7	34,4
0,9	-0,6	1,8	15,7	53,3	76,6	-18,5	-269,7	34,4
-4,2	-5,5	-3,5	9,0	43,4	66,0	-17,2	-304,3	34,6
-4,2	-5,5	-3,5	9,0	43,4	66,0	-17,2	-304,3	34,6
-9,7	-11,0	-9,3	1,8	33,2	54,8	-17,5	-342,4	34,8
-9,7	-11,0	-9,3	1,8	33,2	54,8	-17,5	-342,4	34,8
-6,3	-7,5	-6,0	3,8	32,3	52,8	-9,9	-300,5	35,0
-6,3	-7,5	-6,0	3,8	32,3	52,8	-9,9	-300,5	35,0
-3,4	-4,5	-3,2	5,5	31,2	50,4	-3,7	-261,6	35,2
-3,4	-4,5	-3,2	5,5	31,2	50,4	-3,7	-261,6	35,2
-1,0	-2,0	-0,9	6,7	29,7	47,5	1,3	-225,8	35,4
-1,0	-2,0	-0,9	6,7	29,7	47,5	1,3	-225,8	35,4
0,9	0,0	0,8	7,5	27,8	44,1	5,0	-193,0	35,6
0,9	0,0	0,8	7,5	27,8	44,1	5,0	-193,0	35,6
2,2	1,4	2,1	7,9	25,6	40,4	7,7	-163,2	35,8
2,2	1,4	2,1	7,9	25,6	40,4	7,7	-163,2	35,8
3,1	2,4	2,9	7,8	23,2	36,3	9,3	-136,4	36,0
3,1	2,4	2,9	7,8	23,2	36,3	9,3	-136,4	36,0
3,4	2,7	3,2	7,3	20,4	31,8	10,0	-112,5	36,1
3,4	2,7	3,2	7,3	20,4	31,8	10,0	-112,5	36,1
3,1	2,6	2,9	6,3	17,3	27,1	9,7	-91,4	36,3
3,1	2,6	2,9	6,3	17,3	27,1	9,7	-91,4	36,3
2,4	1,9	2,2	4,9	13,9	22,1	8,5	-73,2	36,5
2,4	1,9	2,2	4,9	13,9	22,1	8,5	-73,2	36,5
1,0	0,7	0,9	3,0	10,1	16,8	6,6	-57,7	36,7
1,0	0,7	0,9	3,0	10,1	16,8	6,6	-57,7	36,7
-0,8	-1,1	-1,0	0,6	6,2	11,4	3,9	-45,0	36,9
-0,8	-1,1	-1,0	0,6	6,2	11,4	3,9	-45,0	36,9

[illegible]

Dir. L SLV Taglio (kNx1,185)

PVVVVVVV	PPVVVVVV	PPPVVVVV	PPPPVVVV	PPPPPVVV	PPPPPPVV	PPPPPPV	PPPPPPPP	x
-8,8	-9,7	-8,7	-7,9	-7,7	-7,7	-7,7	-7,7	0,0
-8,8	-9,7	-8,7	-7,9	-7,7	-7,7	-7,7	-7,7	0,2
-26,3	-29,2	-26,5	-24,0	-23,3	-23,3	-23,4	-23,5	0,2
-26,3	-29,2	-26,5	-24,0	-23,3	-23,3	-23,4	-23,5	0,5
-43,6	-48,7	-44,5	-40,5	-39,4	-39,3	-39,5	-39,7	0,5
-43,6	-48,7	-44,5	-40,5	-39,4	-39,3	-39,5	-39,7	0,7
-48,9	-56,3	-50,9	-45,6	-44,0	-43,9	-44,2	-44,4	0,7
-48,9	-56,3	-50,9	-45,6	-44,0	-43,9	-44,2	-44,4	0,9
-51,6	-61,2	-54,9	-48,4	-46,5	-46,3	-46,6	-46,9	0,9
-51,6	-61,2	-54,9	-48,4	-46,5	-46,3	-46,6	-46,9	1,1
-56,2	-68,4	-61,2	-53,6	-51,3	-51,1	-51,4	-51,8	1,1
-56,2	-68,4	-61,2	-53,6	-51,3	-51,1	-51,4	-51,8	1,3
-71,0	-86,0	-78,2	-69,5	-66,8	-66,5	-66,9	-67,3	1,3
-71,0	-86,0	-78,2	-69,5	-66,8	-66,5	-66,9	-67,3	1,5
-85,6	-103,6	-95,3	-85,6	-82,5	-82,1	-82,6	-83,0	1,5
-85,6	-103,6	-95,3	-85,6	-82,5	-82,1	-82,6	-83,0	1,7
-100,0	-121,2	-112,7	-102,1	-98,5	-98,1	-98,5	-99,0	1,7
-100,0	-121,2	-112,7	-102,1	-98,5	-98,1	-98,5	-99,0	1,9
-114,3	-138,9	-130,2	-118,7	-114,8	-114,3	-114,7	-115,3	1,9
-114,3	-138,9	-130,2	-118,7	-114,8	-114,3	-114,7	-115,3	2,1
-128,4	-156,6	-147,9	-135,7	-131,4	-130,7	-131,2	-131,8	2,1
-128,4	-156,6	-147,9	-135,7	-131,4	-130,7	-131,2	-131,8	2,4
-142,2	-174,3	-165,9	-152,9	-148,2	-147,4	-147,9	-148,5	2,4
-142,2	-174,3	-165,9	-152,9	-148,2	-147,4	-147,9	-148,5	2,6
-155,9	-192,0	-183,9	-170,4	-165,3	-164,3	-164,9	-165,5	2,6
-155,9	-192,0	-183,9	-170,4	-165,3	-164,3	-164,9	-165,5	2,8
-169,4	-209,7	-202,2	-188,1	-182,6	-181,5	-182,0	-182,7	2,8
-169,4	-209,7	-202,2	-188,1	-182,6	-181,5	-182,0	-182,7	3,0
-182,7	-227,4	-220,6	-206,0	-200,2	-198,9	-199,4	-200,2	3,0
-182,7	-227,4	-220,6	-206,0	-200,2	-198,9	-199,4	-200,2	3,2
-195,8	-245,1	-239,2	-224,2	-217,9	-216,6	-217,0	-217,8	3,2
-195,8	-245,1	-239,2	-224,2	-217,9	-216,6	-217,0	-217,8	3,4
215,6	161,6	166,4	181,7	188,3	189,9	189,4	188,6	3,4
215,6	161,6	166,4	181,7	188,3	189,9	189,4	188,6	3,6
203,4	144,6	148,1	163,7	170,7	172,4	172,0	171,2	3,6
203,4	144,6	148,1	163,7	170,7	172,4	172,0	171,2	3,8
191,4	127,6	129,8	145,5	152,9	154,8	154,4	153,5	3,8
191,4	127,6	129,8	145,5	152,9	154,8	154,4	153,5	4,0
179,7	110,7	111,4	127,1	134,9	137,0	136,6	135,7	4,0
179,7	110,7	111,4	127,1	134,9	137,0	136,6	135,7	4,2
168,2	93,9	92,8	108,6	116,7	119,0	118,7	117,8	4,2
168,2	93,9	92,8	108,6	116,7	119,0	118,7	117,8	4,4
157,0	77,2	74,2	89,9	98,4	100,8	100,6	99,7	4,4
157,0	77,2	74,2	89,9	98,4	100,8	100,6	99,7	4,6
146,0	60,6	55,5	71,0	79,9	82,6	82,4	81,5	4,6

Dir. L SLV Taglio (kNx1,185)

146,0	60,6	55,5	71,0	79,9	82,6	82,4	81,5	4,8
135,3	44,1	36,8	52,0	61,2	64,1	64,1	63,1	4,8
135,3	44,1	36,8	52,0	61,2	64,1	64,1	63,1	5,0
124,8	27,7	18,0	32,9	42,4	45,6	45,6	44,6	5,0
124,8	27,7	18,0	32,9	42,4	45,6	45,6	44,6	5,2
114,7	11,4	-0,8	13,6	23,5	26,9	27,0	26,0	5,2
114,7	11,4	-0,8	13,6	23,5	26,9	27,0	26,0	5,4
104,8	-4,7	-19,7	-5,8	4,4	8,0	8,2	7,2	5,4
104,8	-4,7	-19,7	-5,8	4,4	8,0	8,2	7,2	5,6
95,1	-20,7	-38,6	-25,3	-14,8	-10,9	-10,6	-11,6	5,6
95,1	-20,7	-38,6	-25,3	-14,8	-10,9	-10,6	-11,6	5,8
85,7	-36,6	-57,6	-44,9	-34,1	-30,0	-29,6	-30,6	5,8
85,7	-36,6	-57,6	-44,9	-34,1	-30,0	-29,6	-30,6	6,0
76,6	-52,2	-76,6	-64,7	-53,6	-49,2	-48,7	-49,7	6,0
76,6	-52,2	-76,6	-64,7	-53,6	-49,2	-48,7	-49,7	6,2
67,8	-67,8	-95,5	-84,6	-73,2	-68,5	-67,9	-68,9	6,2
67,8	-67,8	-95,5	-84,6	-73,2	-68,5	-67,9	-68,9	6,4
59,2	-83,1	-114,5	-104,5	-92,9	-87,9	-87,2	-88,2	6,4
59,2	-83,1	-114,5	-104,5	-92,9	-87,9	-87,2	-88,2	6,6
50,9	-98,3	-133,5	-124,6	-112,7	-107,5	-106,6	-107,6	6,6
50,9	-98,3	-133,5	-124,6	-112,7	-107,5	-106,6	-107,6	6,8
42,8	-113,3	-152,5	-144,8	-132,6	-127,1	-126,1	-127,1	6,8
42,8	-113,3	-152,5	-144,8	-132,6	-127,1	-126,1	-127,1	7,0
35,0	-128,1	-171,4	-165,0	-152,7	-146,8	-145,6	-146,6	7,0
35,0	-128,1	-171,4	-165,0	-152,7	-146,8	-145,6	-146,6	7,2
27,4	-142,7	-190,3	-185,4	-172,8	-166,7	-165,3	-166,3	7,2
27,4	-142,7	-190,3	-185,4	-172,8	-166,7	-165,3	-166,3	7,4
20,1	-157,1	-209,2	-205,7	-193,0	-186,6	-185,0	-186,0	7,4
20,1	-157,1	-209,2	-205,7	-193,0	-186,6	-185,0	-186,0	7,7
61,2	252,8	196,0	197,8	210,7	217,5	219,2	218,3	7,7
61,2	252,8	196,0	197,8	210,7	217,5	219,2	218,3	7,9
54,3	238,9	177,3	177,3	190,4	197,4	199,3	198,4	7,9
54,3	238,9	177,3	177,3	190,4	197,4	199,3	198,4	8,1
47,7	225,3	158,7	156,8	170,0	177,3	179,4	178,6	8,1
47,7	225,3	158,7	156,8	170,0	177,3	179,4	178,6	8,3
41,3	211,9	140,2	136,3	149,5	157,2	159,5	158,7	8,3
41,3	211,9	140,2	136,3	149,5	157,2	159,5	158,7	8,5
35,1	198,9	121,8	115,8	129,1	137,0	139,5	138,8	8,5
35,1	198,9	121,8	115,8	129,1	137,0	139,5	138,8	8,7
29,1	186,1	103,5	95,2	108,5	116,8	119,5	118,8	8,7
29,1	186,1	103,5	95,2	108,5	116,8	119,5	118,8	8,9
23,3	173,6	85,4	74,7	88,0	96,6	99,5	98,9	8,9
23,3	173,6	85,4	74,7	88,0	96,6	99,5	98,9	9,1
17,8	161,3	67,4	54,2	67,4	76,4	79,5	78,9	9,1
17,8	161,3	67,4	54,2	67,4	76,4	79,5	78,9	9,3
12,4	149,4	49,6	33,7	46,8	56,1	59,5	58,9	9,3

Dir. L SLV Taglio (kNx1,185)

12,4	149,4	49,6	33,7	46,8	56,1	59,5	58,9	9,5
7,2	137,8	31,9	13,2	26,2	35,8	39,4	38,9	9,5
7,2	137,8	31,9	13,2	26,2	35,8	39,4	38,9	9,7
2,2	126,5	14,4	-7,2	5,6	15,5	19,3	19,0	9,7
2,2	126,5	14,4	-7,2	5,6	15,5	19,3	19,0	9,9
-2,6	115,5	-2,9	-27,7	-15,0	-4,9	-0,7	-1,0	9,9
-2,6	115,5	-2,9	-27,7	-15,0	-4,9	-0,7	-1,0	10,1
-7,2	104,8	-20,0	-48,0	-35,6	-25,2	-20,8	-21,0	10,1
-7,2	104,8	-20,0	-48,0	-35,6	-25,2	-20,8	-21,0	10,3
-11,7	94,4	-37,0	-68,3	-56,3	-45,6	-40,9	-41,0	10,3
-11,7	94,4	-37,0	-68,3	-56,3	-45,6	-40,9	-41,0	10,5
-16,1	84,3	-53,7	-88,6	-76,9	-66,0	-61,0	-61,0	10,5
-16,1	84,3	-53,7	-88,6	-76,9	-66,0	-61,0	-61,0	10,7
-20,2	74,5	-70,2	-108,8	-97,6	-86,3	-81,1	-81,0	10,7
-20,2	74,5	-70,2	-108,8	-97,6	-86,3	-81,1	-81,0	10,9
-24,3	65,0	-86,5	-129,0	-118,2	-106,7	-101,2	-101,0	10,9
-24,3	65,0	-86,5	-129,0	-118,2	-106,7	-101,2	-101,0	11,1
-28,2	55,8	-102,6	-149,0	-138,8	-127,1	-121,3	-120,9	11,1
-28,2	55,8	-102,6	-149,0	-138,8	-127,1	-121,3	-120,9	11,3
-32,0	46,9	-118,4	-169,0	-159,4	-147,5	-141,4	-140,9	11,3
-32,0	46,9	-118,4	-169,0	-159,4	-147,5	-141,4	-140,9	11,5
-35,6	38,3	-134,0	-188,9	-180,0	-167,9	-161,5	-160,8	11,5
-35,6	38,3	-134,0	-188,9	-180,0	-167,9	-161,5	-160,8	11,7
-39,1	29,9	-149,3	-208,7	-200,5	-188,2	-181,5	-180,7	11,7
-39,1	29,9	-149,3	-208,7	-200,5	-188,2	-181,5	-180,7	11,9
5,7	70,1	259,7	195,7	203,0	215,5	222,5	223,4	11,9
5,7	70,1	259,7	195,7	203,0	215,5	222,5	223,4	12,1
2,4	62,3	244,9	176,2	182,6	195,2	202,5	203,6	12,1
2,4	62,3	244,9	176,2	182,6	195,2	202,5	203,6	12,3
-0,8	54,7	230,5	156,8	162,2	175,0	182,6	183,9	12,3
-0,8	54,7	230,5	156,8	162,2	175,0	182,6	183,9	12,5
-3,9	47,5	216,4	137,6	141,9	154,8	162,7	164,2	12,5
-3,9	47,5	216,4	137,6	141,9	154,8	162,7	164,2	12,7
-6,9	40,5	202,5	118,6	121,7	134,6	142,9	144,5	12,7
-6,9	40,5	202,5	118,6	121,7	134,6	142,9	144,5	12,9
-9,9	33,7	189,0	99,7	101,6	114,5	123,1	125,0	12,9
-9,9	33,7	189,0	99,7	101,6	114,5	123,1	125,0	13,1
-12,7	27,2	175,9	81,1	81,5	94,4	103,3	105,4	13,1
-12,7	27,2	175,9	81,1	81,5	94,4	103,3	105,4	13,3
-15,4	20,9	163,0	62,6	61,6	74,4	83,6	86,0	13,3
-15,4	20,9	163,0	62,6	61,6	74,4	83,6	86,0	13,5
-18,1	14,9	150,5	44,3	41,7	54,5	64,0	66,6	13,5
-18,1	14,9	150,5	44,3	41,7	54,5	64,0	66,6	13,7
-20,7	9,0	138,3	26,2	21,9	34,6	44,4	47,2	13,7
-20,7	9,0	138,3	26,2	21,9	34,6	44,4	47,2	13,9
-23,3	3,4	126,4	8,3	2,2	14,7	24,8	27,9	13,9

Dir. L SLV Taglio (kNx1,185)

-23,3	3,4	126,4	8,3	2,2	14,7	24,8	27,9	14,1
-25,8	-2,0	114,9	-9,4	-17,4	-5,1	5,3	8,7	14,1
-25,8	-2,0	114,9	-9,4	-17,4	-5,1	5,3	8,7	14,3
-28,2	-7,2	103,7	-26,9	-36,9	-24,8	-14,1	-10,5	14,3
-28,2	-7,2	103,7	-26,9	-36,9	-24,8	-14,1	-10,5	14,5
-30,6	-12,3	92,8	-44,1	-56,3	-44,5	-33,6	-29,6	14,5
-30,6	-12,3	92,8	-44,1	-56,3	-44,5	-33,6	-29,6	14,7
-32,9	-17,1	82,3	-61,1	-75,5	-64,1	-52,9	-48,7	14,7
-32,9	-17,1	82,3	-61,1	-75,5	-64,1	-52,9	-48,7	14,9
-35,2	-21,8	72,1	-77,9	-94,7	-83,7	-72,3	-67,7	14,9
-35,2	-21,8	72,1	-77,9	-94,7	-83,7	-72,3	-67,7	15,1
-37,5	-26,3	62,2	-94,4	-113,8	-103,3	-91,6	-86,7	15,1
-37,5	-26,3	62,2	-94,4	-113,8	-103,3	-91,6	-86,7	15,3
-39,7	-30,6	52,6	-110,7	-132,7	-122,8	-110,8	-105,6	15,3
-39,7	-30,6	52,6	-110,7	-132,7	-122,8	-110,8	-105,6	15,5
-41,9	-34,8	43,3	-126,7	-151,5	-142,2	-130,0	-124,5	15,5
-41,9	-34,8	43,3	-126,7	-151,5	-142,2	-130,0	-124,5	15,7
-44,1	-38,8	34,4	-142,4	-170,2	-161,5	-149,2	-143,3	15,7
-44,1	-38,8	34,4	-142,4	-170,2	-161,5	-149,2	-143,3	15,9
-46,2	-42,7	25,7	-157,8	-188,7	-180,8	-168,3	-162,0	15,9
-46,2	-42,7	25,7	-157,8	-188,7	-180,8	-168,3	-162,0	16,1
-0,1	1,8	65,6	251,2	217,1	224,1	236,8	243,5	16,1
-0,1	1,8	65,6	251,2	217,1	224,1	236,8	243,5	16,3
-2,1	-1,8	57,8	236,7	199,3	205,4	218,3	225,3	16,3
-2,1	-1,8	57,8	236,7	199,3	205,4	218,3	225,3	16,5
-4,2	-5,2	50,1	222,4	181,6	186,8	199,7	207,1	16,5
-4,2	-5,2	50,1	222,4	181,6	186,8	199,7	207,1	16,7
-6,2	-8,5	42,8	208,5	164,1	168,2	181,3	189,1	16,7
-6,2	-8,5	42,8	208,5	164,1	168,2	181,3	189,1	16,9
-8,1	-11,7	35,7	194,9	146,8	149,7	162,8	171,0	16,9
-8,1	-11,7	35,7	194,9	146,8	149,7	162,8	171,0	17,1
-10,1	-14,8	28,9	181,7	129,6	131,3	144,5	153,1	17,1
-10,1	-14,8	28,9	181,7	129,6	131,3	144,5	153,1	17,3
-12,1	-17,8	22,3	168,7	112,6	113,0	126,1	135,2	17,3
-12,1	-17,8	22,3	168,7	112,6	113,0	126,1	135,2	17,5
-14,0	-20,7	15,9	156,1	95,8	94,8	107,9	117,3	17,5
-14,0	-20,7	15,9	156,1	95,8	94,8	107,9	117,3	17,7
-16,0	-23,5	9,8	143,8	79,2	76,6	89,6	99,5	17,7
-16,0	-23,5	9,8	143,8	79,2	76,6	89,6	99,5	17,9
-17,9	-26,3	4,0	131,8	62,7	58,5	71,4	81,7	17,9
-17,9	-26,3	4,0	131,8	62,7	58,5	71,4	81,7	18,1
-19,9	-28,9	-1,7	120,1	46,5	40,5	53,2	64,0	18,1
-19,9	-28,9	-1,7	120,1	46,5	40,5	53,2	64,0	18,3
-21,8	-31,5	-7,2	108,8	30,4	22,5	35,1	46,3	18,3
-21,8	-31,5	-7,2	108,8	30,4	22,5	35,1	46,3	18,5
-23,7	-34,0	-12,4	97,8	14,5	4,7	17,0	28,6	18,5

Dir. L SLV Taglio (kNx1,185)

-23,7	-34,0	-12,4	97,8	14,5	4,7	17,0	28,6	18,7
-25,6	-36,4	-17,4	87,2	-1,2	-13,2	-1,1	11,0	18,7
-25,6	-36,4	-17,4	87,2	-1,2	-13,2	-1,1	11,0	18,9
-17,8	-29,0	-12,5	86,6	-7,1	-21,2	-9,6	3,0	18,9
-17,8	-29,0	-12,5	86,6	-7,1	-21,2	-9,6	3,0	19,1
-7,9	-19,5	-5,4	88,3	-10,8	-27,4	-16,1	-3,1	19,1
-7,9	-19,5	-5,4	88,3	-10,8	-27,4	-16,1	-3,1	19,3
0,0	-12,0	-0,1	88,3	-16,3	-35,3	-24,5	-11,0	19,3
0,0	-12,0	-0,1	88,3	-16,3	-35,3	-24,5	-11,0	19,5
-1,9	-14,2	-4,4	78,9	-31,3	-52,9	-42,6	-28,7	19,5
-1,9	-14,2	-4,4	78,9	-31,3	-52,9	-42,6	-28,7	19,7
-3,9	-16,4	-8,6	69,9	-46,1	-70,5	-60,8	-46,4	19,7
-3,9	-16,4	-8,6	69,9	-46,1	-70,5	-60,8	-46,4	19,9
-5,8	-18,5	-12,6	61,1	-60,8	-88,0	-78,9	-64,1	19,9
-5,8	-18,5	-12,6	61,1	-60,8	-88,0	-78,9	-64,1	20,1
-7,7	-20,6	-16,4	52,6	-75,2	-105,4	-97,1	-81,8	20,1
-7,7	-20,6	-16,4	52,6	-75,2	-105,4	-97,1	-81,8	20,3
-9,7	-22,7	-20,1	44,5	-89,5	-122,8	-115,3	-99,6	20,3
-9,7	-22,7	-20,1	44,5	-89,5	-122,8	-115,3	-99,6	20,5
-11,6	-24,7	-23,6	36,6	-103,5	-140,2	-133,5	-117,4	20,5
-11,6	-24,7	-23,6	36,6	-103,5	-140,2	-133,5	-117,4	20,7
-13,6	-26,7	-27,1	29,0	-117,4	-157,5	-151,8	-135,2	20,7
-13,6	-26,7	-27,1	29,0	-117,4	-157,5	-151,8	-135,2	20,9
-15,5	-28,7	-30,4	21,7	-131,1	-174,8	-170,1	-153,2	20,9
-15,5	-28,7	-30,4	21,7	-131,1	-174,8	-170,1	-153,2	21,1
-17,5	-30,6	-33,5	14,6	-144,6	-192,1	-188,5	-171,1	21,1
-17,5	-30,6	-33,5	14,6	-144,6	-192,1	-188,5	-171,1	21,3
-19,5	-32,5	-36,6	7,8	-157,9	-209,3	-206,9	-189,1	21,3
-19,5	-32,5	-36,6	7,8	-157,9	-209,3	-206,9	-189,1	21,5
-21,4	-34,4	-39,6	1,3	-171,0	-226,4	-225,3	-207,2	21,5
-21,4	-34,4	-39,6	1,3	-171,0	-226,4	-225,3	-207,2	21,7
-23,4	-36,3	-42,4	-5,0	-183,9	-243,5	-243,8	-225,4	21,7
-23,4	-36,3	-42,4	-5,0	-183,9	-243,5	-243,8	-225,4	21,9
-25,4	-38,1	-45,2	-11,1	-196,6	-260,5	-262,3	-243,6	21,9
-25,4	-38,1	-45,2	-11,1	-196,6	-260,5	-262,3	-243,6	22,1
20,8	8,2	0,4	31,2	214,8	146,3	142,9	161,9	22,1
20,8	8,2	0,4	31,2	214,8	146,3	142,9	161,9	22,3
18,7	6,4	-2,3	25,5	202,3	129,0	123,8	143,2	22,3
18,7	6,4	-2,3	25,5	202,3	129,0	123,8	143,2	22,5
16,7	4,5	-4,8	20,0	190,0	111,8	104,8	124,4	22,5
16,7	4,5	-4,8	20,0	190,0	111,8	104,8	124,4	22,7
14,6	2,7	-7,3	14,7	178,0	94,8	85,7	105,5	22,7
14,6	2,7	-7,3	14,7	178,0	94,8	85,7	105,5	22,9
12,5	0,8	-9,7	9,7	166,3	77,8	66,6	86,6	22,9
12,5	0,8	-9,7	9,7	166,3	77,8	66,6	86,6	23,1
10,5	-1,0	-12,0	4,8	154,8	60,9	47,5	67,6	23,1

Dir. L SLV Taglio (kNx1,185)

10,5	-1,0	-12,0	4,8	154,8	60,9	47,5	67,6	23,3
8,4	-2,8	-14,2	0,2	143,6	44,2	28,4	48,6	23,3
8,4	-2,8	-14,2	0,2	143,6	44,2	28,4	48,6	23,5
6,3	-4,6	-16,4	-4,3	132,7	27,6	9,3	29,5	23,5
6,3	-4,6	-16,4	-4,3	132,7	27,6	9,3	29,5	23,7
4,2	-6,5	-18,5	-8,5	122,1	11,1	-9,9	10,4	23,7
4,2	-6,5	-18,5	-8,5	122,1	11,1	-9,9	10,4	23,9
2,1	-8,3	-20,6	-12,6	111,7	-5,3	-29,0	-8,8	23,9
2,1	-8,3	-20,6	-12,6	111,7	-5,3	-29,0	-8,8	24,1
0,0	-10,1	-22,6	-16,6	101,6	-21,4	-48,1	-28,1	24,1
0,0	-10,1	-22,6	-16,6	101,6	-21,4	-48,1	-28,1	24,3
-2,1	-11,9	-24,6	-20,3	91,8	-37,5	-67,2	-47,4	24,3
-2,1	-11,9	-24,6	-20,3	91,8	-37,5	-67,2	-47,4	24,5
-4,2	-13,7	-26,5	-23,9	82,3	-53,4	-86,3	-66,7	24,5
-4,2	-13,7	-26,5	-23,9	82,3	-53,4	-86,3	-66,7	24,7
-6,3	-15,5	-28,4	-27,4	73,0	-69,1	-105,4	-86,1	24,7
-6,3	-15,5	-28,4	-27,4	73,0	-69,1	-105,4	-86,1	24,9
-8,5	-17,4	-30,3	-30,7	64,1	-84,6	-124,5	-105,6	24,9
-8,5	-17,4	-30,3	-30,7	64,1	-84,6	-124,5	-105,6	25,1
-10,6	-19,2	-32,1	-34,0	55,4	-100,0	-143,5	-125,1	25,1
-10,6	-19,2	-32,1	-34,0	55,4	-100,0	-143,5	-125,1	25,3
-12,8	-21,0	-33,9	-37,0	46,9	-115,2	-162,6	-144,7	25,3
-12,8	-21,0	-33,9	-37,0	46,9	-115,2	-162,6	-144,7	25,5
-14,9	-22,9	-35,7	-40,0	38,7	-130,2	-181,6	-164,4	25,5
-14,9	-22,9	-35,7	-40,0	38,7	-130,2	-181,6	-164,4	25,7
-17,1	-24,7	-37,5	-42,9	30,8	-145,0	-200,5	-184,1	25,7
-17,1	-24,7	-37,5	-42,9	30,8	-145,0	-200,5	-184,1	25,9
-19,3	-26,6	-39,2	-45,6	23,1	-159,6	-219,4	-203,8	25,9
-19,3	-26,6	-39,2	-45,6	23,1	-159,6	-219,4	-203,8	26,1
-21,5	-28,5	-41,0	-48,3	15,7	-173,9	-238,3	-223,6	26,1
-21,5	-28,5	-41,0	-48,3	15,7	-173,9	-238,3	-223,6	26,3
24,5	17,8	5,5	-2,7	56,7	235,9	166,9	180,5	26,3
24,5	17,8	5,5	-2,7	56,7	235,9	166,9	180,5	26,5
22,3	15,9	3,8	-5,1	49,8	222,0	148,2	160,6	26,5
22,3	15,9	3,8	-5,1	49,8	222,0	148,2	160,6	26,7
20,1	14,0	2,0	-7,5	43,1	208,3	129,5	140,7	26,7
20,1	14,0	2,0	-7,5	43,1	208,3	129,5	140,7	26,9
17,9	12,1	0,3	-9,9	36,6	194,9	111,0	120,7	26,9
17,9	12,1	0,3	-9,9	36,6	194,9	111,0	120,7	27,1
15,6	10,1	-1,4	-12,1	30,3	181,8	92,5	100,8	27,1
15,6	10,1	-1,4	-12,1	30,3	181,8	92,5	100,8	27,3
13,4	8,2	-3,1	-14,3	24,3	169,0	74,2	80,8	27,3
13,4	8,2	-3,1	-14,3	24,3	169,0	74,2	80,8	27,5
11,1	6,2	-4,8	-16,5	18,4	156,4	56,1	60,8	27,5
11,1	6,2	-4,8	-16,5	18,4	156,4	56,1	60,8	27,7
8,9	4,2	-6,5	-18,6	12,8	144,1	38,1	40,8	27,7

Dir. L SLV Taglio (kNx1,185)

8,9	4,2	-6,5	-18,6	12,8	144,1	38,1	40,8	27,9
6,6	2,2	-8,2	-20,6	7,4	132,2	20,2	20,8	27,9
6,6	2,2	-8,2	-20,6	7,4	132,2	20,2	20,8	28,1
4,3	0,2	-9,9	-22,6	2,2	120,5	2,5	0,8	28,1
4,3	0,2	-9,9	-22,6	2,2	120,5	2,5	0,8	28,3
2,0	-1,8	-11,7	-24,5	-2,9	109,2	-15,1	-19,2	28,3
2,0	-1,8	-11,7	-24,5	-2,9	109,2	-15,1	-19,2	28,5
-0,3	-3,9	-13,4	-26,5	-7,8	98,1	-32,4	-39,2	28,5
-0,3	-3,9	-13,4	-26,5	-7,8	98,1	-32,4	-39,2	28,7
-2,6	-6,0	-15,2	-28,4	-12,5	87,3	-49,6	-59,2	28,7
-2,6	-6,0	-15,2	-28,4	-12,5	87,3	-49,6	-59,2	28,9
-4,9	-8,0	-17,0	-30,2	-17,0	76,9	-66,6	-79,1	28,9
-4,9	-8,0	-17,0	-30,2	-17,0	76,9	-66,6	-79,1	29,1
-7,2	-10,1	-18,7	-32,1	-21,4	66,7	-83,4	-99,1	29,1
-7,2	-10,1	-18,7	-32,1	-21,4	66,7	-83,4	-99,1	29,3
-9,6	-12,3	-20,6	-33,9	-25,6	56,9	-100,0	-119,0	29,3
-9,6	-12,3	-20,6	-33,9	-25,6	56,9	-100,0	-119,0	29,5
-11,9	-14,4	-22,4	-35,7	-29,7	47,3	-116,4	-139,0	29,5
-11,9	-14,4	-22,4	-35,7	-29,7	47,3	-116,4	-139,0	29,7
-14,3	-16,6	-24,2	-37,5	-33,6	38,1	-132,5	-158,9	29,7
-14,3	-16,6	-24,2	-37,5	-33,6	38,1	-132,5	-158,9	29,9
-16,7	-18,8	-26,1	-39,3	-37,4	29,1	-148,4	-178,8	29,9
-16,7	-18,8	-26,1	-39,3	-37,4	29,1	-148,4	-178,8	30,1
-19,1	-21,0	-28,0	-41,0	-41,1	20,5	-164,1	-198,6	30,1
-19,1	-21,0	-28,0	-41,0	-41,1	20,5	-164,1	-198,6	30,3
-21,5	-23,2	-29,9	-42,8	-44,6	12,1	-179,5	-218,4	30,3
-21,5	-23,2	-29,9	-42,8	-44,6	12,1	-179,5	-218,4	30,6
24,3	22,8	16,3	3,6	0,2	52,2	229,4	185,8	30,6
24,3	22,8	16,3	3,6	0,2	52,2	229,4	185,8	30,8
21,9	20,5	14,4	1,8	-3,2	44,4	214,5	166,1	30,8
21,9	20,5	14,4	1,8	-3,2	44,4	214,5	166,1	31,0
19,4	18,2	12,4	0,0	-6,4	36,9	200,0	146,5	31,0
19,4	18,2	12,4	0,0	-6,4	36,9	200,0	146,5	31,2
16,9	15,9	10,4	-1,8	-9,5	29,6	185,8	126,9	31,2
16,9	15,9	10,4	-1,8	-9,5	29,6	185,8	126,9	31,4
14,5	13,6	8,3	-3,6	-12,5	22,7	171,9	107,4	31,4
14,5	13,6	8,3	-3,6	-12,5	22,7	171,9	107,4	31,6
12,0	11,2	6,2	-5,4	-15,4	16,0	158,3	88,1	31,6
12,0	11,2	6,2	-5,4	-15,4	16,0	158,3	88,1	31,8
9,5	8,8	4,1	-7,2	-18,2	9,5	145,1	68,8	31,8
9,5	8,8	4,1	-7,2	-18,2	9,5	145,1	68,8	32,0
6,9	6,4	2,0	-9,1	-20,9	3,3	132,2	49,6	32,0
6,9	6,4	2,0	-9,1	-20,9	3,3	132,2	49,6	32,2
4,4	4,0	-0,1	-10,9	-23,6	-2,6	119,7	30,6	32,2
4,4	4,0	-0,1	-10,9	-23,6	-2,6	119,7	30,6	32,4
1,8	1,5	-2,3	-12,8	-26,2	-8,3	107,6	11,6	32,4

Dir. L SLV Taglio (kNx1,185)

1,8	1,5	-2,3	-12,8	-26,2	-8,3	107,6	11,6	32,6
-0,7	-0,9	-4,6	-14,7	-28,7	-13,7	95,8	-7,2	32,6
-0,7	-0,9	-4,6	-14,7	-28,7	-13,7	95,8	-7,2	32,8
-3,3	-3,4	-6,8	-16,7	-31,1	-18,9	84,4	-26,0	32,8
-3,3	-3,4	-6,8	-16,7	-31,1	-18,9	84,4	-26,0	33,0
-5,9	-5,9	-9,1	-18,6	-33,5	-23,9	73,3	-44,6	33,0
-5,9	-5,9	-9,1	-18,6	-33,5	-23,9	73,3	-44,6	33,2
-8,6	-8,5	-11,4	-20,6	-35,8	-28,6	62,6	-63,0	33,2
-8,6	-8,5	-11,4	-20,6	-35,8	-28,6	62,6	-63,0	33,4
-11,2	-11,1	-13,8	-22,6	-38,1	-33,1	52,3	-81,4	33,4
-11,2	-11,1	-13,8	-22,6	-38,1	-33,1	52,3	-81,4	33,6
-13,9	-13,7	-16,2	-24,7	-40,3	-37,3	42,4	-99,6	33,6
-13,9	-13,7	-16,2	-24,7	-40,3	-37,3	42,4	-99,6	33,8
-16,6	-16,3	-18,6	-26,7	-42,5	-41,4	32,9	-117,6	33,8
-16,6	-16,3	-18,6	-26,7	-42,5	-41,4	32,9	-117,6	34,0
-19,3	-19,0	-21,1	-28,8	-44,6	-45,2	23,7	-135,5	34,0
-19,3	-19,0	-21,1	-28,8	-44,6	-45,2	23,7	-135,5	34,2
-22,0	-21,7	-23,6	-31,0	-46,6	-48,8	15,0	-153,3	34,2
-22,0	-21,7	-23,6	-31,0	-46,6	-48,8	15,0	-153,3	34,4
-24,8	-24,4	-26,1	-33,1	-48,7	-52,2	6,6	-170,9	34,4
-24,8	-24,4	-26,1	-33,1	-48,7	-52,2	6,6	-170,9	34,6
-27,6	-27,1	-28,7	-35,3	-50,6	-55,4	-1,4	-188,3	34,6
-27,6	-27,1	-28,7	-35,3	-50,6	-55,4	-1,4	-188,3	34,8
17,9	18,4	17,0	10,7	-4,3	-10,1	39,3	218,9	34,8
17,9	18,4	17,0	10,7	-4,3	-10,1	39,3	218,9	35,0
15,2	15,7	14,5	8,5	-6,1	-12,7	32,5	202,8	35,0
15,2	15,7	14,5	8,5	-6,1	-12,7	32,5	202,8	35,2
12,5	13,0	11,9	6,3	-7,9	-15,2	25,9	186,8	35,2
12,5	13,0	11,9	6,3	-7,9	-15,2	25,9	186,8	35,4
9,8	10,3	9,3	4,1	-9,6	-17,5	19,8	171,0	35,4
9,8	10,3	9,3	4,1	-9,6	-17,5	19,8	171,0	35,6
7,1	7,6	6,7	1,9	-11,3	-19,6	13,9	155,4	35,6
7,1	7,6	6,7	1,9	-11,3	-19,6	13,9	155,4	35,8
4,3	4,8	4,1	-0,4	-13,0	-21,5	8,4	140,0	35,8
4,3	4,8	4,1	-0,4	-13,0	-21,5	8,4	140,0	36,0
1,6	2,1	1,4	-2,7	-14,6	-23,2	3,3	124,9	36,0
1,6	2,1	1,4	-2,7	-14,6	-23,2	3,3	124,9	36,1
-1,2	-0,7	-1,3	-5,0	-16,2	-24,8	-1,5	109,9	36,1
-1,2	-0,7	-1,3	-5,0	-16,2	-24,8	-1,5	109,9	36,3
-4,0	-3,6	-4,0	-7,4	-17,8	-26,1	-6,0	95,1	36,3
-4,0	-3,6	-4,0	-7,4	-17,8	-26,1	-6,0	95,1	36,5
-6,9	-6,4	-6,8	-9,8	-19,3	-27,3	-10,1	80,6	36,5
-6,9	-6,4	-6,8	-9,8	-19,3	-27,3	-10,1	80,6	36,7
-9,7	-9,3	-9,6	-12,3	-20,8	-28,4	-13,9	66,2	36,7
-9,7	-9,3	-9,6	-12,3	-20,8	-28,4	-13,9	66,2	36,9
-12,6	-12,2	-12,4	-14,7	-22,3	-29,2	-17,3	52,1	36,9

Dir. L SLV Taglio (kNx1,185)

-12,6	-12,2	-12,4	-14,7	-22,3	-29,2	-17,3	52,1	37,1
-5,8	-5,5	-5,7	-7,6	-14,1	-20,2	-10,8	47,6	37,1
-5,8	-5,5	-5,7	-7,6	-14,1	-20,2	-10,8	47,6	37,3
3,0	3,2	3,1	1,6	-3,7	-8,9	-1,8	45,2	37,3
3,0	3,2	3,1	1,6	-3,7	-8,9	-1,8	45,2	37,5
9,5	9,7	9,6	8,4	4,3	0,1	5,3	41,5	37,5
9,5	9,7	9,6	8,4	4,3	0,1	5,3	41,5	37,7
6,8	7,0	6,9	6,1	3,0	0,0	3,4	29,4	37,7
6,8	7,0	6,9	6,1	3,0	0,0	3,4	29,4	37,9
4,1	4,2	4,2	3,7	1,8	0,0	1,8	17,5	37,9
4,1	4,2	4,2	3,7	1,8	0,0	1,8	17,5	38,0
1,4	1,4	1,4	1,2	0,6	0,0	0,5	5,8	38,0
1,4	1,4	1,4	1,2	0,6	0,0	0,5	5,8	38,2

Dir. L SLE Caratteristica Momento (kNx1,185m)

PVVVVVVV	PPVVVVVV	PPPVVVVV	PPPPVVVV	PPPPPVVV	PPPPPPVV	PPPPPPPV	PPPPPPPP	x
0,0	0,0	0,0	0,0	0,0	0,0	0,0	0,0	0,0
-2,1	-2,3	-2,1	-1,9	-1,8	-1,8	-1,8	-1,8	0,2
-2,1	-2,3	-2,1	-1,9	-1,8	-1,8	-1,8	-1,8	0,2
-8,4	-9,3	-8,4	-7,6	-7,3	-7,3	-7,4	-7,4	0,5
-8,4	-9,3	-8,4	-7,6	-7,3	-7,3	-7,4	-7,4	0,5
-18,8	-20,9	-19,0	-17,2	-16,7	-16,6	-16,7	-16,8	0,7
-18,8	-20,9	-19,0	-17,2	-16,7	-16,6	-16,7	-16,8	0,7
-29,1	-32,8	-29,7	-26,8	-25,9	-25,9	-26,0	-26,2	0,9
-29,1	-32,8	-29,7	-26,8	-25,9	-25,9	-26,0	-26,2	0,9
-40,4	-46,1	-41,7	-37,4	-36,1	-36,0	-36,3	-36,4	1,1
-40,4	-46,1	-41,7	-37,4	-36,1	-36,0	-36,3	-36,4	1,1
-53,5	-62,0	-56,0	-49,9	-48,2	-48,0	-48,3	-48,6	1,3
-53,5	-62,0	-56,0	-49,9	-48,2	-48,0	-48,3	-48,6	1,3
-69,7	-81,6	-73,8	-65,9	-63,5	-63,3	-63,7	-64,0	1,5
-69,7	-81,6	-73,8	-65,9	-63,5	-63,3	-63,7	-64,0	1,5
-89,1	-105,0	-95,4	-85,2	-82,2	-81,9	-82,4	-82,8	1,7
-89,1	-105,0	-95,4	-85,2	-82,2	-81,9	-82,4	-82,8	1,7
-111,6	-132,1	-120,6	-108,2	-104,3	-103,9	-104,5	-105,1	1,9
-111,6	-132,1	-120,6	-108,2	-104,3	-103,9	-104,5	-105,1	1,9
-137,1	-163,1	-149,7	-134,6	-129,9	-129,4	-130,1	-130,8	2,1
-137,1	-163,1	-149,7	-134,6	-129,9	-129,4	-130,1	-130,8	2,1
-165,5	-197,9	-182,5	-164,8	-159,1	-158,4	-159,2	-160,0	2,4
-165,5	-197,9	-182,5	-164,8	-159,1	-158,4	-159,2	-160,0	2,4
-197,0	-236,5	-219,2	-198,6	-191,9	-191,0	-191,9	-192,9	2,6
-197,0	-236,5	-219,2	-198,6	-191,9	-191,0	-191,9	-192,9	2,6
-231,3	-278,9	-259,8	-236,1	-228,3	-227,2	-228,3	-229,3	2,8
-231,3	-278,9	-259,8	-236,1	-228,3	-227,2	-228,3	-229,3	2,8
-268,6	-325,1	-304,3	-277,5	-268,5	-267,1	-268,3	-269,5	3,0
-268,6	-325,1	-304,3	-277,5	-268,5	-267,1	-268,3	-269,5	3,0
-308,6	-375,0	-352,8	-322,8	-312,4	-310,8	-312,1	-313,5	3,2
-308,6	-375,0	-352,8	-322,8	-312,4	-310,8	-312,1	-313,5	3,2
-351,4	-428,8	-405,3	-371,9	-360,1	-358,2	-359,6	-361,2	3,4
-351,4	-428,8	-405,3	-371,9	-360,1	-358,2	-359,6	-361,2	3,4
-306,2	-395,3	-370,7	-334,0	-320,8	-318,6	-320,1	-321,8	3,6
-306,2	-395,3	-370,7	-334,0	-320,8	-318,6	-320,1	-321,8	3,6
-263,6	-365,3	-339,9	-299,9	-285,2	-282,6	-284,1	-286,1	3,8
-263,6	-365,3	-339,9	-299,9	-285,2	-282,6	-284,1	-286,1	3,8
-223,3	-338,8	-313,0	-269,6	-253,2	-250,2	-251,9	-254,0	4,0
-223,3	-338,8	-313,0	-269,6	-253,2	-250,2	-251,9	-254,0	4,0
-185,5	-315,8	-289,8	-243,1	-225,1	-221,6	-223,3	-225,6	4,2
-185,5	-315,8	-289,8	-243,1	-225,1	-221,6	-223,3	-225,6	4,2
-150,0	-296,3	-270,6	-220,4	-200,7	-196,7	-198,5	-201,0	4,4
-150,0	-296,3	-270,6	-220,4	-200,7	-196,7	-198,5	-201,0	4,4
-116,9	-280,3	-255,3	-201,7	-180,2	-175,6	-177,5	-180,2	4,6
-116,9	-280,3	-255,3	-201,7	-180,2	-175,6	-177,5	-180,2	4,6

Dir. L SLE Caratteristica Momento (kNx1,185m)

-86,0	-267,8	-243,8	-186,9	-163,5	-158,4	-160,3	-163,2	4,8
-86,0	-267,8	-243,8	-186,9	-163,5	-158,4	-160,3	-163,2	4,8
-57,2	-258,7	-236,3	-176,2	-150,7	-145,0	-146,9	-150,0	5,0
-57,2	-258,7	-236,3	-176,2	-150,7	-145,0	-146,9	-150,0	5,0
-30,6	-253,1	-232,7	-169,4	-141,9	-135,5	-137,4	-140,7	5,2
-30,6	-253,1	-232,7	-169,4	-141,9	-135,5	-137,4	-140,7	5,2
-6,1	-250,8	-233,1	-166,6	-137,0	-129,9	-131,7	-135,3	5,4
-6,1	-250,8	-233,1	-166,6	-137,0	-129,9	-131,7	-135,3	5,4
16,4	-251,9	-237,4	-167,9	-136,1	-128,2	-130,1	-133,8	5,6
16,4	-251,9	-237,4	-167,9	-136,1	-128,2	-130,1	-133,8	5,6
36,9	-256,3	-245,7	-173,3	-139,3	-130,5	-132,3	-136,3	5,8
36,9	-256,3	-245,7	-173,3	-139,3	-130,5	-132,3	-136,3	5,8
55,5	-264,0	-258,0	-182,9	-146,5	-136,8	-138,5	-142,7	6,0
55,5	-264,0	-258,0	-182,9	-146,5	-136,8	-138,5	-142,7	6,0
72,3	-275,0	-274,2	-196,6	-157,8	-147,2	-148,8	-153,2	6,2
72,3	-275,0	-274,2	-196,6	-157,8	-147,2	-148,8	-153,2	6,2
87,3	-289,3	-294,4	-214,4	-173,2	-161,5	-163,0	-167,6	6,4
87,3	-289,3	-294,4	-214,4	-173,2	-161,5	-163,0	-167,6	6,4
100,5	-306,7	-318,6	-236,4	-192,7	-180,0	-181,3	-186,1	6,6
100,5	-306,7	-318,6	-236,4	-192,7	-180,0	-181,3	-186,1	6,6
112,0	-327,3	-346,8	-262,7	-216,4	-202,6	-203,7	-208,7	6,8
112,0	-327,3	-346,8	-262,7	-216,4	-202,6	-203,7	-208,7	6,8
121,9	-351,0	-378,9	-293,2	-244,3	-229,2	-230,1	-235,4	7,0
121,9	-351,0	-378,9	-293,2	-244,3	-229,2	-230,1	-235,4	7,0
130,3	-377,8	-415,1	-327,9	-276,3	-260,1	-260,7	-266,2	7,2
130,3	-377,8	-415,1	-327,9	-276,3	-260,1	-260,7	-266,2	7,2
137,1	-407,6	-455,1	-367,0	-312,6	-295,1	-295,4	-301,1	7,4
137,1	-407,6	-455,1	-367,0	-312,6	-295,1	-295,4	-301,1	7,4
142,4	-440,4	-499,2	-410,3	-353,2	-334,2	-334,2	-340,1	7,7
142,4	-440,4	-499,2	-410,3	-353,2	-334,2	-334,2	-340,1	7,7
154,6	-386,9	-457,9	-368,6	-308,8	-288,3	-288,0	-294,1	7,9
154,6	-386,9	-457,9	-368,6	-308,8	-288,3	-288,0	-294,1	7,9
165,5	-336,3	-420,6	-331,3	-268,6	-246,7	-245,9	-252,2	8,1
165,5	-336,3	-420,6	-331,3	-268,6	-246,7	-245,9	-252,2	8,1
175,0	-288,5	-387,1	-298,2	-232,7	-209,2	-208,0	-214,5	8,3
175,0	-288,5	-387,1	-298,2	-232,7	-209,2	-208,0	-214,5	8,3
183,3	-243,5	-357,6	-269,5	-201,2	-176,0	-174,3	-180,9	8,5
183,3	-243,5	-357,6	-269,5	-201,2	-176,0	-174,3	-180,9	8,5
190,3	-201,2	-331,9	-245,1	-173,9	-147,0	-144,8	-151,6	8,7
190,3	-201,2	-331,9	-245,1	-173,9	-147,0	-144,8	-151,6	8,7
196,1	-161,6	-310,0	-225,0	-151,0	-122,3	-119,5	-126,4	8,9
196,1	-161,6	-310,0	-225,0	-151,0	-122,3	-119,5	-126,4	8,9
200,8	-124,5	-292,0	-209,3	-132,3	-101,8	-98,3	-105,4	9,1
200,8	-124,5	-292,0	-209,3	-132,3	-101,8	-98,3	-105,4	9,1
204,4	-90,0	-277,7	-197,8	-118,0	-85,5	-81,4	-88,7	9,3
204,4	-90,0	-277,7	-197,8	-118,0	-85,5	-81,4	-88,7	9,3

Dir. L SLE Caratteristica Momento (kNx1,185m)

207,0	-58,0	-267,1	-190,7	-108,1	-73,6	-68,8	-76,1	9,5
207,0	-58,0	-267,1	-190,7	-108,1	-73,6	-68,8	-76,1	9,5
208,5	-28,3	-260,3	-187,9	-102,4	-65,9	-60,3	-67,7	9,7
208,5	-28,3	-260,3	-187,9	-102,4	-65,9	-60,3	-67,7	9,7
209,1	-1,0	-257,1	-189,4	-101,2	-62,5	-56,0	-63,6	9,9
209,1	-1,0	-257,1	-189,4	-101,2	-62,5	-56,0	-63,6	9,9
208,7	24,1	-257,5	-195,1	-104,2	-63,3	-56,0	-63,6	10,1
208,7	24,1	-257,5	-195,1	-104,2	-63,3	-56,0	-63,6	10,1
207,4	47,0	-261,6	-205,2	-111,6	-68,5	-60,2	-67,9	10,3
207,4	47,0	-261,6	-205,2	-111,6	-68,5	-60,2	-67,9	10,3
205,3	67,7	-269,1	-219,5	-123,3	-77,9	-68,6	-76,3	10,5
205,3	67,7	-269,1	-219,5	-123,3	-77,9	-68,6	-76,3	10,5
202,3	86,3	-280,2	-238,1	-139,4	-91,6	-81,3	-89,0	10,7
202,3	86,3	-280,2	-238,1	-139,4	-91,6	-81,3	-89,0	10,7
198,5	103,0	-294,7	-261,0	-159,8	-109,6	-98,2	-105,8	10,9
198,5	103,0	-294,7	-261,0	-159,8	-109,6	-98,2	-105,8	10,9
194,0	117,7	-312,7	-288,1	-184,6	-131,9	-119,3	-126,9	11,1
194,0	117,7	-312,7	-288,1	-184,6	-131,9	-119,3	-126,9	11,1
188,7	130,5	-334,0	-319,4	-213,7	-158,5	-144,6	-152,1	11,3
188,7	130,5	-334,0	-319,4	-213,7	-158,5	-144,6	-152,1	11,3
182,7	141,5	-358,6	-354,9	-247,2	-189,4	-174,2	-181,6	11,5
182,7	141,5	-358,6	-354,9	-247,2	-189,4	-174,2	-181,6	11,5
176,1	150,8	-386,5	-394,6	-284,9	-224,5	-208,0	-215,2	11,7
176,1	150,8	-386,5	-394,6	-284,9	-224,5	-208,0	-215,2	11,7
168,7	158,3	-417,5	-438,4	-327,0	-263,9	-245,9	-253,0	11,9
168,7	158,3	-417,5	-438,4	-327,0	-263,9	-245,9	-253,0	11,9
169,1	172,5	-362,6	-397,3	-284,3	-218,5	-199,0	-205,9	12,1
169,1	172,5	-362,6	-397,3	-284,3	-218,5	-199,0	-205,9	12,1
168,8	185,1	-310,7	-360,2	-245,8	-177,3	-156,3	-162,9	12,3
168,8	185,1	-310,7	-360,2	-245,8	-177,3	-156,3	-162,9	12,3
167,9	196,2	-261,9	-327,1	-211,6	-140,4	-117,7	-124,1	12,5
167,9	196,2	-261,9	-327,1	-211,6	-140,4	-117,7	-124,1	12,5
166,5	205,8	-215,9	-298,1	-181,7	-107,7	-83,3	-89,4	12,7
166,5	205,8	-215,9	-298,1	-181,7	-107,7	-83,3	-89,4	12,7
164,6	214,0	-172,9	-273,1	-156,0	-79,3	-53,1	-58,8	12,9
164,6	214,0	-172,9	-273,1	-156,0	-79,3	-53,1	-58,8	12,9
162,1	220,9	-132,6	-252,1	-134,6	-55,0	-27,0	-32,3	13,1
162,1	220,9	-132,6	-252,1	-134,6	-55,0	-27,0	-32,3	13,1
159,1	226,5	-95,1	-234,9	-117,3	-35,0	-5,1	-9,9	13,3
159,1	226,5	-95,1	-234,9	-117,3	-35,0	-5,1	-9,9	13,3
155,6	230,8	-60,2	-221,6	-104,3	-19,2	12,7	8,4	13,5
155,6	230,8	-60,2	-221,6	-104,3	-19,2	12,7	8,4	13,5
151,6	233,9	-28,0	-212,2	-95,4	-7,5	26,4	22,6	13,7
151,6	233,9	-28,0	-212,2	-95,4	-7,5	26,4	22,6	13,7
147,2	235,9	1,8	-206,5	-90,6	0,0	36,0	32,8	13,9
147,2	235,9	1,8	-206,5	-90,6	0,0	36,0	32,8	13,9

Dir. L SLE Caratteristica Momento (kNx1,185m)

142,4	236,8	29,1	-204,6	-90,0	3,3	41,4	39,0	14,1
142,4	236,8	29,1	-204,6	-90,0	3,3	41,4	39,0	14,1
137,1	236,6	54,0	-206,4	-93,5	2,4	42,8	41,1	14,3
137,1	236,6	54,0	-206,4	-93,5	2,4	42,8	41,1	14,3
131,3	235,4	76,7	-211,8	-101,1	-2,6	40,1	39,2	14,5
131,3	235,4	76,7	-211,8	-101,1	-2,6	40,1	39,2	14,5
125,2	233,2	97,1	-220,9	-112,7	-11,7	33,4	33,2	14,7
125,2	233,2	97,1	-220,9	-112,7	-11,7	33,4	33,2	14,7
118,7	230,1	115,3	-233,4	-128,4	-24,9	22,5	23,3	14,9
118,7	230,1	115,3	-233,4	-128,4	-24,9	22,5	23,3	14,9
111,8	226,0	131,4	-249,5	-148,1	-42,2	7,7	9,4	15,1
111,8	226,0	131,4	-249,5	-148,1	-42,2	7,7	9,4	15,1
104,5	221,2	145,6	-269,1	-171,8	-63,7	-11,3	-8,5	15,3
104,5	221,2	145,6	-269,1	-171,8	-63,7	-11,3	-8,5	15,3
96,8	215,4	157,7	-292,0	-199,5	-89,2	-34,2	-30,3	15,5
96,8	215,4	157,7	-292,0	-199,5	-89,2	-34,2	-30,3	15,5
88,7	208,9	168,0	-318,3	-231,1	-118,8	-61,2	-56,1	15,7
88,7	208,9	168,0	-318,3	-231,1	-118,8	-61,2	-56,1	15,7
80,3	201,6	176,4	-347,8	-266,6	-152,4	-92,2	-85,8	15,9
80,3	201,6	176,4	-347,8	-266,6	-152,4	-92,2	-85,8	15,9
71,6	193,6	183,1	-380,5	-305,9	-190,1	-127,2	-119,5	16,1
71,6	193,6	183,1	-380,5	-305,9	-190,1	-127,2	-119,5	16,1
70,8	193,2	196,1	-328,6	-261,2	-143,9	-78,3	-69,2	16,3
70,8	193,2	196,1	-328,6	-261,2	-143,9	-78,3	-69,2	16,3
69,6	192,1	207,6	-279,7	-220,0	-101,5	-33,2	-22,6	16,5
69,6	192,1	207,6	-279,7	-220,0	-101,5	-33,2	-22,6	16,5
68,2	190,4	217,5	-233,6	-182,5	-62,9	8,2	20,3	16,7
68,2	190,4	217,5	-233,6	-182,5	-62,9	8,2	20,3	16,7
66,4	188,2	226,0	-190,3	-148,6	-28,1	45,7	59,5	16,9
66,4	188,2	226,0	-190,3	-148,6	-28,1	45,7	59,5	16,9
64,3	185,3	233,1	-149,8	-118,2	3,0	79,5	95,0	17,1
64,3	185,3	233,1	-149,8	-118,2	3,0	79,5	95,0	17,1
61,9	181,9	238,8	-111,9	-91,2	30,2	109,5	126,8	17,3
61,9	181,9	238,8	-111,9	-91,2	30,2	109,5	126,8	17,3
59,2	178,0	243,3	-76,7	-67,8	53,7	135,8	155,0	17,5
59,2	178,0	243,3	-76,7	-67,8	53,7	135,8	155,0	17,5
56,1	173,6	246,6	-44,1	-47,8	73,5	158,3	179,5	17,7
56,1	173,6	246,6	-44,1	-47,8	73,5	158,3	179,5	17,7
52,8	168,6	248,7	-13,9	-31,1	89,6	177,2	200,4	17,9
52,8	168,6	248,7	-13,9	-31,1	89,6	177,2	200,4	17,9
49,1	163,2	249,6	13,9	-17,9	102,0	192,3	217,6	18,1
49,1	163,2	249,6	13,9	-17,9	102,0	192,3	217,6	18,1
45,2	157,4	249,5	39,3	-7,9	110,7	203,6	231,3	18,3
45,2	157,4	249,5	39,3	-7,9	110,7	203,6	231,3	18,3
40,9	151,1	248,3	62,4	-1,2	115,7	211,3	241,3	18,5
40,9	151,1	248,3	62,4	-1,2	115,7	211,3	241,3	18,5

Dir. L SLE Caratteristica Momento (kNx1,185m)

36,3	144,4	246,1	83,4	2,2	117,1	215,3	247,7	18,7
36,3	144,4	246,1	83,4	2,2	117,1	215,3	247,7	18,7
31,5	137,2	242,9	102,2	2,5	114,8	215,6	250,5	18,9
31,5	137,2	242,9	102,2	2,5	114,8	215,6	250,5	18,9
27,9	131,2	240,5	120,8	1,2	110,5	213,7	251,4	19,1
27,9	131,2	240,5	120,8	1,2	110,5	213,7	251,4	19,1
26,0	126,9	239,1	139,4	-1,3	104,4	210,1	250,5	19,3
26,0	126,9	239,1	139,4	-1,3	104,4	210,1	250,5	19,3
25,5	123,9	238,6	157,4	-5,3	96,5	204,5	247,7	19,5
25,5	123,9	238,6	157,4	-5,3	96,5	204,5	247,7	19,5
24,7	120,5	237,2	173,6	-12,2	85,0	195,1	241,3	19,7
24,7	120,5	237,2	173,6	-12,2	85,0	195,1	241,3	19,7
23,6	116,7	235,1	187,9	-22,2	69,9	182,1	231,2	19,9
23,6	116,7	235,1	187,9	-22,2	69,9	182,1	231,2	19,9
22,2	112,6	232,3	200,5	-35,2	51,2	165,3	217,6	20,1
22,2	112,6	232,3	200,5	-35,2	51,2	165,3	217,6	20,1
20,4	108,2	228,7	211,5	-51,1	28,9	144,8	200,3	20,3
20,4	108,2	228,7	211,5	-51,1	28,9	144,8	200,3	20,3
18,4	103,4	224,5	220,8	-69,9	3,1	120,6	179,4	20,5
18,4	103,4	224,5	220,8	-69,9	3,1	120,6	179,4	20,5
16,0	98,3	219,6	228,6	-91,5	-26,2	92,7	154,9	20,7
16,0	98,3	219,6	228,6	-91,5	-26,2	92,7	154,9	20,7
13,4	92,9	214,2	234,9	-115,9	-59,1	61,0	126,7	20,9
13,4	92,9	214,2	234,9	-115,9	-59,1	61,0	126,7	20,9
10,4	87,2	208,1	239,7	-143,2	-95,6	25,6	94,8	21,1
10,4	87,2	208,1	239,7	-143,2	-95,6	25,6	94,8	21,1
7,1	81,2	201,4	243,2	-173,1	-135,5	-13,5	59,3	21,3
7,1	81,2	201,4	243,2	-173,1	-135,5	-13,5	59,3	21,3
3,6	74,8	194,2	245,3	-205,8	-179,0	-56,5	20,1	21,5
3,6	74,8	194,2	245,3	-205,8	-179,0	-56,5	20,1	21,5
-0,4	68,2	186,5	246,1	-241,1	-225,9	-103,1	-22,8	21,7
-0,4	68,2	186,5	246,1	-241,1	-225,9	-103,1	-22,8	21,7
-4,6	61,3	178,3	245,8	-279,0	-276,3	-153,6	-69,4	21,9
-4,6	61,3	178,3	245,8	-279,0	-276,3	-153,6	-69,4	21,9
-9,1	54,1	169,7	244,2	-319,4	-330,3	-207,9	-119,7	22,1
-9,1	54,1	169,7	244,2	-319,4	-330,3	-207,9	-119,7	22,1
-5,8	54,7	168,6	249,8	-274,4	-300,0	-178,3	-86,0	22,3
-5,8	54,7	168,6	249,8	-274,4	-300,0	-178,3	-86,0	22,3
-2,9	55,0	167,0	254,2	-232,0	-273,4	-152,8	-56,3	22,5
-2,9	55,0	167,0	254,2	-232,0	-273,4	-152,8	-56,3	22,5
-0,2	55,0	165,0	257,6	-192,1	-250,4	-131,2	-30,6	22,7
-0,2	55,0	165,0	257,6	-192,1	-250,4	-131,2	-30,6	22,7
2,1	54,7	162,6	259,9	-154,7	-230,9	-113,7	-8,8	22,9
2,1	54,7	162,6	259,9	-154,7	-230,9	-113,7	-8,8	22,9
4,0	54,2	159,8	261,2	-119,8	-215,0	-100,1	9,1	23,1
4,0	54,2	159,8	261,2	-119,8	-215,0	-100,1	9,1	23,1

Dir. L SLE Caratteristica Momento (kNx1,185m)

5,6	53,3	156,6	261,6	-87,1	-202,6	-90,5	23,0	23,3
5,6	53,3	156,6	261,6	-87,1	-202,6	-90,5	23,0	23,3
6,9	52,1	153,0	261,1	-56,8	-193,7	-85,0	32,9	23,5
6,9	52,1	153,0	261,1	-56,8	-193,7	-85,0	32,9	23,5
7,8	50,7	149,0	259,7	-28,8	-188,3	-83,4	38,8	23,7
7,8	50,7	149,0	259,7	-28,8	-188,3	-83,4	38,8	23,7
8,3	49,0	144,7	257,6	-2,9	-186,3	-85,9	40,7	23,9
8,3	49,0	144,7	257,6	-2,9	-186,3	-85,9	40,7	23,9
8,6	47,0	140,0	254,6	20,9	-187,8	-92,3	38,5	24,1
8,6	47,0	140,0	254,6	20,9	-187,8	-92,3	38,5	24,1
8,4	44,7	135,0	250,9	42,6	-192,6	-102,8	32,4	24,3
8,4	44,7	135,0	250,9	42,6	-192,6	-102,8	32,4	24,3
8,0	42,1	129,7	246,5	62,3	-200,7	-117,3	22,1	24,5
8,0	42,1	129,7	246,5	62,3	-200,7	-117,3	22,1	24,5
7,1	39,2	124,1	241,5	80,1	-212,2	-135,8	7,9	24,7
7,1	39,2	124,1	241,5	80,1	-212,2	-135,8	7,9	24,7
5,9	36,0	118,2	235,7	95,9	-227,0	-158,2	-10,5	24,9
5,9	36,0	118,2	235,7	95,9	-227,0	-158,2	-10,5	24,9
4,4	32,6	111,9	229,4	110,0	-245,0	-184,7	-32,9	25,1
4,4	32,6	111,9	229,4	110,0	-245,0	-184,7	-32,9	25,1
2,5	28,8	105,4	222,5	122,3	-266,2	-215,2	-59,4	25,3
2,5	28,8	105,4	222,5	122,3	-266,2	-215,2	-59,4	25,3
0,2	24,8	98,6	215,0	132,8	-290,5	-249,7	-90,0	25,5
0,2	24,8	98,6	215,0	132,8	-290,5	-249,7	-90,0	25,5
-2,4	20,5	91,5	207,0	141,7	-318,0	-288,1	-124,8	25,7
-2,4	20,5	91,5	207,0	141,7	-318,0	-288,1	-124,8	25,7
-5,4	15,8	84,1	198,5	149,0	-348,6	-330,5	-163,6	25,9
-5,4	15,8	84,1	198,5	149,0	-348,6	-330,5	-163,6	25,9
-8,8	10,9	76,5	189,4	154,8	-382,2	-376,9	-206,6	26,1
-8,8	10,9	76,5	189,4	154,8	-382,2	-376,9	-206,6	26,1
-12,5	5,7	68,6	180,0	159,0	-418,8	-427,2	-253,8	26,3
-12,5	5,7	68,6	180,0	159,0	-418,8	-427,2	-253,8	26,3
-8,3	8,4	68,6	178,3	170,2	-369,1	-392,3	-216,0	26,5
-8,3	8,4	68,6	178,3	170,2	-369,1	-392,3	-216,0	26,5
-4,5	10,8	68,5	176,2	179,9	-322,4	-361,4	-182,4	26,7
-4,5	10,8	68,5	176,2	179,9	-322,4	-361,4	-182,4	26,7
-1,1	13,0	68,0	173,7	188,3	-278,5	-334,4	-153,0	26,9
-1,1	13,0	68,0	173,7	188,3	-278,5	-334,4	-153,0	26,9
2,0	14,8	67,3	170,8	195,4	-237,4	-311,3	-127,8	27,1
2,0	14,8	67,3	170,8	195,4	-237,4	-311,3	-127,8	27,1
4,7	16,3	66,3	167,5	201,2	-199,1	-292,1	-106,8	27,3
4,7	16,3	66,3	167,5	201,2	-199,1	-292,1	-106,8	27,3
7,0	17,4	65,1	163,8	205,9	-163,4	-276,6	-89,9	27,5
7,0	17,4	65,1	163,8	205,9	-163,4	-276,6	-89,9	27,5
8,9	18,3	63,6	159,8	209,4	-130,3	-265,0	-77,3	27,7
8,9	18,3	63,6	159,8	209,4	-130,3	-265,0	-77,3	27,7

Dir. L SLE Caratteristica Momento (kNx1,185m)

10,4	18,8	61,8	155,4	211,7	-99,7	-257,2	-68,9	27,9
10,4	18,8	61,8	155,4	211,7	-99,7	-257,2	-68,9	27,9
11,6	19,0	59,7	150,7	213,1	-71,6	-253,2	-64,7	28,1
11,6	19,0	59,7	150,7	213,1	-71,6	-253,2	-64,7	28,1
12,3	18,9	57,4	145,6	213,4	-46,0	-252,8	-64,7	28,3
12,3	18,9	57,4	145,6	213,4	-46,0	-252,8	-64,7	28,3
12,7	18,4	54,8	140,3	212,7	-22,6	-256,1	-68,9	28,5
12,7	18,4	54,8	140,3	212,7	-22,6	-256,1	-68,9	28,5
12,7	17,6	52,0	134,6	211,0	-1,6	-263,1	-77,3	28,7
12,7	17,6	52,0	134,6	211,0	-1,6	-263,1	-77,3	28,7
12,2	16,4	48,8	128,6	208,5	17,2	-273,6	-89,9	28,9
12,2	16,4	48,8	128,6	208,5	17,2	-273,6	-89,9	28,9
11,4	15,0	45,4	122,4	205,0	33,9	-287,7	-106,7	29,1
11,4	15,0	45,4	122,4	205,0	33,9	-287,7	-106,7	29,1
10,2	13,1	41,7	115,8	200,8	48,5	-305,4	-127,7	29,3
10,2	13,1	41,7	115,8	200,8	48,5	-305,4	-127,7	29,3
8,6	10,9	37,7	108,9	195,7	61,1	-326,5	-152,9	29,5
8,6	10,9	37,7	108,9	195,7	61,1	-326,5	-152,9	29,5
6,6	8,4	33,5	101,8	189,9	71,8	-351,0	-182,3	29,7
6,6	8,4	33,5	101,8	189,9	71,8	-351,0	-182,3	29,7
4,2	5,4	28,9	94,4	183,3	80,5	-378,9	-215,9	29,9
4,2	5,4	28,9	94,4	183,3	80,5	-378,9	-215,9	29,9
1,3	2,2	24,0	86,7	176,0	87,4	-410,1	-253,7	30,1
1,3	2,2	24,0	86,7	176,0	87,4	-410,1	-253,7	30,1
-1,9	-1,5	18,9	78,7	168,0	92,6	-444,6	-295,6	30,3
-1,9	-1,5	18,9	78,7	168,0	92,6	-444,6	-295,6	30,3
-5,6	-5,5	13,4	70,5	159,4	96,1	-482,3	-341,7	30,6
-5,6	-5,5	13,4	70,5	159,4	96,1	-482,3	-341,7	30,6
-1,3	-1,6	15,9	70,2	158,4	106,2	-433,9	-302,7	30,8
-1,3	-1,6	15,9	70,2	158,4	106,2	-433,9	-302,7	30,8
2,5	1,9	18,1	69,7	156,8	114,8	-388,5	-267,8	31,0
2,5	1,9	18,1	69,7	156,8	114,8	-388,5	-267,8	31,0
5,8	5,0	20,0	68,9	154,6	121,8	-346,3	-237,0	31,2
5,8	5,0	20,0	68,9	154,6	121,8	-346,3	-237,0	31,2
8,8	7,7	21,5	67,8	151,9	127,4	-306,9	-210,4	31,4
8,8	7,7	21,5	67,8	151,9	127,4	-306,9	-210,4	31,4
11,3	10,1	22,7	66,5	148,6	131,6	-270,5	-187,8	31,6
11,3	10,1	22,7	66,5	148,6	131,6	-270,5	-187,8	31,6
13,4	12,0	23,6	64,8	144,9	134,5	-236,8	-169,3	31,8
13,4	12,0	23,6	64,8	144,9	134,5	-236,8	-169,3	31,8
15,1	13,6	24,1	62,9	140,6	136,1	-205,9	-154,9	32,0
15,1	13,6	24,1	62,9	140,6	136,1	-205,9	-154,9	32,0
16,4	14,7	24,3	60,7	135,8	136,5	-177,7	-144,4	32,2
16,4	14,7	24,3	60,7	135,8	136,5	-177,7	-144,4	32,2
17,2	15,4	24,1	58,2	130,6	135,8	-152,1	-138,0	32,4
17,2	15,4	24,1	58,2	130,6	135,8	-152,1	-138,0	32,4

Dir. L SLE Caratteristica Momento (kNx1,185m)

17,5	15,7	23,6	55,4	124,9	133,9	-128,9	-135,5	32,6
17,5	15,7	23,6	55,4	124,9	133,9	-128,9	-135,5	32,6
17,4	15,6	22,7	52,3	118,8	131,0	-108,2	-137,0	32,8
17,4	15,6	22,7	52,3	118,8	131,0	-108,2	-137,0	32,8
16,9	15,0	21,4	48,9	112,3	127,1	-89,9	-142,4	33,0
16,9	15,0	21,4	48,9	112,3	127,1	-89,9	-142,4	33,0
15,9	14,0	19,7	45,2	105,4	122,2	-73,8	-151,7	33,2
15,9	14,0	19,7	45,2	105,4	122,2	-73,8	-151,7	33,2
14,5	12,6	17,7	41,2	98,0	116,5	-59,9	-164,9	33,4
14,5	12,6	17,7	41,2	98,0	116,5	-59,9	-164,9	33,4
12,6	10,8	15,2	36,8	90,4	109,9	-48,1	-181,9	33,6
12,6	10,8	15,2	36,8	90,4	109,9	-48,1	-181,9	33,6
10,2	8,5	12,4	32,1	82,3	102,5	-38,3	-202,7	33,8
10,2	8,5	12,4	32,1	82,3	102,5	-38,3	-202,7	33,8
7,4	5,7	9,2	27,1	73,9	94,4	-30,4	-227,3	34,0
7,4	5,7	9,2	27,1	73,9	94,4	-30,4	-227,3	34,0
4,1	2,5	5,5	21,8	65,2	85,6	-24,5	-255,6	34,2
4,1	2,5	5,5	21,8	65,2	85,6	-24,5	-255,6	34,2
0,4	-1,2	1,4	16,1	56,1	76,2	-20,2	-287,6	34,4
0,4	-1,2	1,4	16,1	56,1	76,2	-20,2	-287,6	34,4
-3,9	-5,3	-3,1	10,1	46,8	66,1	-17,7	-323,3	34,6
-3,9	-5,3	-3,1	10,1	46,8	66,1	-17,7	-323,3	34,6
-8,6	-10,0	-8,1	3,7	37,1	55,5	-16,8	-362,7	34,8
-8,6	-10,0	-8,1	3,7	37,1	55,5	-16,8	-362,7	34,8
-5,6	-6,9	-5,3	5,2	35,5	52,9	-9,5	-318,7	35,0
-5,6	-6,9	-5,3	5,2	35,5	52,9	-9,5	-318,7	35,0
-3,1	-4,3	-2,9	6,3	33,7	49,8	-3,5	-278,0	35,2
-3,1	-4,3	-2,9	6,3	33,7	49,8	-3,5	-278,0	35,2
-1,0	-2,1	-1,0	7,1	31,6	46,4	1,4	-240,3	35,4
-1,0	-2,1	-1,0	7,1	31,6	46,4	1,4	-240,3	35,4
0,6	-0,4	0,5	7,6	29,2	42,6	5,0	-205,8	35,6
0,6	-0,4	0,5	7,6	29,2	42,6	5,0	-205,8	35,6
1,8	0,9	1,6	7,7	26,7	38,6	7,6	-174,4	35,8
1,8	0,9	1,6	7,7	26,7	38,6	7,6	-174,4	35,8
2,5	1,7	2,3	7,5	23,9	34,3	9,1	-146,0	36,0
2,5	1,7	2,3	7,5	23,9	34,3	9,1	-146,0	36,0
2,8	2,1	2,6	6,9	20,8	29,8	9,8	-120,5	36,1
2,8	2,1	2,6	6,9	20,8	29,8	9,8	-120,5	36,1
2,6	2,0	2,4	5,9	17,6	25,1	9,5	-98,0	36,3
2,6	2,0	2,4	5,9	17,6	25,1	9,5	-98,0	36,3
1,9	1,5	1,7	4,6	14,2	20,2	8,5	-78,5	36,5
1,9	1,5	1,7	4,6	14,2	20,2	8,5	-78,5	36,5
0,8	0,4	0,6	2,9	10,5	15,3	6,7	-61,7	36,7
0,8	0,4	0,6	2,9	10,5	15,3	6,7	-61,7	36,7
-0,7	-1,0	-0,9	0,8	6,7	10,3	4,3	-47,8	36,9
-0,7	-1,0	-0,9	0,8	6,7	10,3	4,3	-47,8	36,9

[illegible][illegible]

Dir. L SLE Caratteristica Taglio (kNx1,185m)

PVVVVVVV	PPVVVVVV	PPPVVVVV	PPPPVVVV	PPPPPVVV	PPPPPPVV	PPPPPPV	PPPPPPPP	x
-9,0	-9,9	-8,9	-8,0	-7,8	-7,8	-7,8	-7,8	0,0
-9,0	-9,9	-8,9	-8,0	-7,8	-7,8	-7,8	-7,8	0,2
-26,9	-29,9	-27,0	-24,4	-23,7	-23,6	-23,8	-23,9	0,2
-26,9	-29,9	-27,0	-24,4	-23,7	-23,6	-23,8	-23,9	0,5
-44,5	-49,9	-45,4	-41,1	-39,9	-39,9	-40,1	-40,3	0,5
-44,5	-49,9	-45,4	-41,1	-39,9	-39,9	-40,1	-40,3	0,7
-51,7	-59,5	-53,8	-48,1	-46,5	-46,3	-46,6	-46,9	0,7
-51,7	-59,5	-53,8	-48,1	-46,5	-46,3	-46,6	-46,9	0,9
-56,3	-66,6	-59,9	-53,0	-50,9	-50,7	-51,1	-51,4	0,9
-56,3	-66,6	-59,9	-53,0	-50,9	-50,7	-51,1	-51,4	1,1
-62,7	-75,7	-68,1	-60,0	-57,5	-57,3	-57,7	-58,0	1,1
-62,7	-75,7	-68,1	-60,0	-57,5	-57,3	-57,7	-58,0	1,3
-77,8	-93,8	-85,5	-76,2	-73,3	-73,0	-73,4	-73,9	1,3
-77,8	-93,8	-85,5	-76,2	-73,3	-73,0	-73,4	-73,9	1,5
-92,7	-111,9	-103,1	-92,7	-89,4	-89,0	-89,5	-90,0	1,5
-92,7	-111,9	-103,1	-92,7	-89,4	-89,0	-89,5	-90,0	1,7
-107,4	-130,0	-120,9	-109,6	-105,8	-105,3	-105,8	-106,3	1,7
-107,4	-130,0	-120,9	-109,6	-105,8	-105,3	-105,8	-106,3	1,9
-121,9	-148,1	-138,9	-126,7	-122,5	-121,9	-122,4	-123,0	1,9
-121,9	-148,1	-138,9	-126,7	-122,5	-121,9	-122,4	-123,0	2,1
-136,2	-166,3	-157,1	-144,1	-139,5	-138,7	-139,3	-139,9	2,1
-136,2	-166,3	-157,1	-144,1	-139,5	-138,7	-139,3	-139,9	2,4
-150,4	-184,5	-175,5	-161,7	-156,7	-155,9	-156,4	-157,1	2,4
-150,4	-184,5	-175,5	-161,7	-156,7	-155,9	-156,4	-157,1	2,6
-164,3	-202,7	-194,1	-179,7	-174,2	-173,2	-173,8	-174,5	2,6
-164,3	-202,7	-194,1	-179,7	-174,2	-173,2	-173,8	-174,5	2,8
-178,0	-220,9	-212,9	-197,9	-192,0	-190,9	-191,4	-192,2	2,8
-178,0	-220,9	-212,9	-197,9	-192,0	-190,9	-191,4	-192,2	3,0
-191,6	-239,1	-231,9	-216,4	-210,1	-208,8	-209,3	-210,1	3,0
-191,6	-239,1	-231,9	-216,4	-210,1	-208,8	-209,3	-210,1	3,2
-204,8	-257,3	-251,0	-235,1	-228,4	-226,9	-227,5	-228,3	3,2
-204,8	-257,3	-251,0	-235,1	-228,4	-226,9	-227,5	-228,3	3,4
223,3	165,9	171,0	187,2	194,3	196,0	195,5	194,6	3,4
223,3	165,9	171,0	187,2	194,3	196,0	195,5	194,6	3,6
210,9	148,3	152,1	168,7	176,1	178,0	177,5	176,7	3,6
210,9	148,3	152,1	168,7	176,1	178,0	177,5	176,7	3,8
198,8	130,9	133,2	149,9	157,8	159,8	159,4	158,5	3,8
198,8	130,9	133,2	149,9	157,8	159,8	159,4	158,5	4,0
186,9	113,5	114,2	130,9	139,2	141,4	141,1	140,1	4,0
186,9	113,5	114,2	130,9	139,2	141,4	141,1	140,1	4,2
175,2	96,2	95,0	111,8	120,4	122,9	122,6	121,6	4,2
175,2	96,2	95,0	111,8	120,4	122,9	122,6	121,6	4,4
163,9	79,0	75,8	92,5	101,5	104,2	103,9	102,9	4,4
163,9	79,0	75,8	92,5	101,5	104,2	103,9	102,9	4,6
152,8	61,9	56,5	73,0	82,4	85,3	85,1	84,1	4,6

Dir. L SLE Caratteristica Taglio (kNx1,185m)

152,8	61,9	56,5	73,0	82,4	85,3	85,1	84,1	4,8
141,9	44,9	37,1	53,3	63,1	66,2	66,1	65,1	4,8
141,9	44,9	37,1	53,3	63,1	66,2	66,1	65,1	5,0
131,4	28,0	17,7	33,5	43,7	47,0	47,0	46,0	5,0
131,4	28,0	17,7	33,5	43,7	47,0	47,0	46,0	5,2
121,1	11,2	-1,8	13,6	24,1	27,7	27,8	26,7	5,2
121,1	11,2	-1,8	13,6	24,1	27,7	27,8	26,7	5,4
111,1	-5,4	-21,4	-6,5	4,3	8,2	8,4	7,3	5,4
111,1	-5,4	-21,4	-6,5	4,3	8,2	8,4	7,3	5,6
101,4	-21,9	-40,9	-26,7	-15,6	-11,4	-11,1	-12,2	5,6
101,4	-21,9	-40,9	-26,7	-15,6	-11,4	-11,1	-12,2	5,8
92,0	-38,2	-60,6	-47,1	-35,6	-31,2	-30,8	-31,9	5,8
92,0	-38,2	-60,6	-47,1	-35,6	-31,2	-30,8	-31,9	6,0
82,8	-54,3	-80,2	-67,6	-55,8	-51,1	-50,5	-51,6	6,0
82,8	-54,3	-80,2	-67,6	-55,8	-51,1	-50,5	-51,6	6,2
74,0	-70,3	-99,9	-88,2	-76,1	-71,1	-70,4	-71,5	6,2
74,0	-70,3	-99,9	-88,2	-76,1	-71,1	-70,4	-71,5	6,4
65,4	-86,1	-119,5	-108,9	-96,5	-91,2	-90,4	-91,5	6,4
65,4	-86,1	-119,5	-108,9	-96,5	-91,2	-90,4	-91,5	6,6
57,0	-101,7	-139,2	-129,7	-117,1	-111,5	-110,5	-111,6	6,6
57,0	-101,7	-139,2	-129,7	-117,1	-111,5	-110,5	-111,6	6,8
49,0	-117,2	-158,9	-150,7	-137,7	-131,8	-130,7	-131,8	6,8
49,0	-117,2	-158,9	-150,7	-137,7	-131,8	-130,7	-131,8	7,0
41,2	-132,4	-178,5	-171,7	-158,5	-152,3	-151,0	-152,1	7,0
41,2	-132,4	-178,5	-171,7	-158,5	-152,3	-151,0	-152,1	7,2
33,7	-147,4	-198,1	-192,8	-179,4	-172,9	-171,4	-172,5	7,2
33,7	-147,4	-198,1	-192,8	-179,4	-172,9	-171,4	-172,5	7,4
26,4	-162,1	-217,6	-214,0	-200,4	-193,5	-191,9	-192,9	7,4
26,4	-162,1	-217,6	-214,0	-200,4	-193,5	-191,9	-192,9	7,7
60,4	264,3	203,9	205,8	219,6	226,7	228,5	227,6	7,7
60,4	264,3	203,9	205,8	219,6	226,7	228,5	227,6	7,9
53,6	250,1	184,5	184,5	198,4	205,9	207,9	207,0	7,9
53,6	250,1	184,5	184,5	198,4	205,9	207,9	207,0	8,1
47,0	236,1	165,2	163,2	177,2	185,1	187,3	186,4	8,1
47,0	236,1	165,2	163,2	177,2	185,1	187,3	186,4	8,3
40,7	222,4	146,0	141,9	156,0	164,2	166,6	165,7	8,3
40,7	222,4	146,0	141,9	156,0	164,2	166,6	165,7	8,5
34,7	209,0	127,0	120,6	134,7	143,2	145,9	145,0	8,5
34,7	209,0	127,0	120,6	134,7	143,2	145,9	145,0	8,7
28,8	195,9	108,0	99,2	113,4	122,2	125,1	124,3	8,7
28,8	195,9	108,0	99,2	113,4	122,2	125,1	124,3	8,9
23,2	183,1	89,2	77,9	92,0	101,2	104,3	103,6	8,9
23,2	183,1	89,2	77,9	92,0	101,2	104,3	103,6	9,1
17,8	170,6	70,6	56,5	70,6	80,2	83,5	82,9	9,1
17,8	170,6	70,6	56,5	70,6	80,2	83,5	82,9	9,3
12,6	158,4	52,1	35,2	49,2	59,1	62,7	62,1	9,3

Dir. L SLE Caratteristica Taglio (kNx1,185m)

12,6	158,4	52,1	35,2	49,2	59,1	62,7	62,1	9,5
7,6	146,6	33,8	13,9	27,8	38,0	41,8	41,3	9,5
7,6	146,6	33,8	13,9	27,8	38,0	41,8	41,3	9,7
2,8	135,1	15,7	-7,3	6,4	16,9	21,0	20,6	9,7
2,8	135,1	15,7	-7,3	6,4	16,9	21,0	20,6	9,9
-1,8	123,8	-2,2	-28,5	-15,1	-4,3	0,1	-0,2	9,9
-1,8	123,8	-2,2	-28,5	-15,1	-4,3	0,1	-0,2	10,1
-6,3	113,0	-19,9	-49,7	-36,5	-25,4	-20,8	-21,0	10,1
-6,3	113,0	-19,9	-49,7	-36,5	-25,4	-20,8	-21,0	10,3
-10,6	102,4	-37,4	-70,8	-58,0	-46,6	-41,6	-41,7	10,3
-10,6	102,4	-37,4	-70,8	-58,0	-46,6	-41,6	-41,7	10,5
-14,7	92,2	-54,7	-91,9	-79,5	-67,8	-62,5	-62,5	10,5
-14,7	92,2	-54,7	-91,9	-79,5	-67,8	-62,5	-62,5	10,7
-18,6	82,2	-71,8	-112,9	-100,9	-88,9	-83,4	-83,3	10,7
-18,6	82,2	-71,8	-112,9	-100,9	-88,9	-83,4	-83,3	10,9
-22,4	72,6	-88,6	-133,8	-122,4	-110,1	-104,3	-104,0	10,9
-22,4	72,6	-88,6	-133,8	-122,4	-110,1	-104,3	-104,0	11,1
-26,1	63,3	-105,2	-154,7	-143,8	-131,3	-125,2	-124,8	11,1
-26,1	63,3	-105,2	-154,7	-143,8	-131,3	-125,2	-124,8	11,3
-29,6	54,4	-121,6	-175,5	-165,2	-152,5	-146,0	-145,5	11,3
-29,6	54,4	-121,6	-175,5	-165,2	-152,5	-146,0	-145,5	11,5
-33,0	45,7	-137,7	-196,1	-186,6	-173,7	-166,9	-166,2	11,5
-33,0	45,7	-137,7	-196,1	-186,6	-173,7	-166,9	-166,2	11,7
-36,2	37,3	-153,5	-216,7	-208,0	-194,9	-187,8	-186,9	11,7
-36,2	37,3	-153,5	-216,7	-208,0	-194,9	-187,8	-186,9	11,9
1,7	70,2	272,0	203,9	211,7	225,0	232,4	233,5	11,9
1,7	70,2	272,0	203,9	211,7	225,0	232,4	233,5	12,1
-1,3	62,4	256,9	183,7	190,5	203,9	211,7	212,9	12,1
-1,3	62,4	256,9	183,7	190,5	203,9	211,7	212,9	12,3
-4,2	54,9	242,0	163,6	169,3	182,9	191,0	192,4	12,3
-4,2	54,9	242,0	163,6	169,3	182,9	191,0	192,4	12,5
-7,0	47,7	227,5	143,7	148,2	161,9	170,3	171,9	12,5
-7,0	47,7	227,5	143,7	148,2	161,9	170,3	171,9	12,7
-9,7	40,8	213,3	123,9	127,2	141,0	149,7	151,5	12,7
-9,7	40,8	213,3	123,9	127,2	141,0	149,7	151,5	12,9
-12,3	34,1	199,4	104,3	106,3	120,1	129,2	131,2	12,9
-12,3	34,1	199,4	104,3	106,3	120,1	129,2	131,2	13,1
-14,8	27,6	185,9	84,9	85,4	99,2	108,6	110,9	13,1
-14,8	27,6	185,9	84,9	85,4	99,2	108,6	110,9	13,3
-17,3	21,4	172,7	65,8	64,7	78,4	88,2	90,7	13,3
-17,3	21,4	172,7	65,8	64,7	78,4	88,2	90,7	13,5
-19,6	15,5	159,9	46,8	44,0	57,7	67,8	70,5	13,5
-19,6	15,5	159,9	46,8	44,0	57,7	67,8	70,5	13,7
-21,9	9,8	147,4	28,0	23,5	37,0	47,4	50,4	13,7
-21,9	9,8	147,4	28,0	23,5	37,0	47,4	50,4	13,9
-24,1	4,3	135,3	9,5	3,0	16,4	27,1	30,4	13,9

Dir. L SLE Caratteristica Taglio (kNx1,185m)

-24,1	4,3	135,3	9,5	3,0	16,4	27,1	30,4	14,1
-26,2	-0,9	123,5	-8,8	-17,3	-4,2	6,9	10,4	14,1
-26,2	-0,9	123,5	-8,8	-17,3	-4,2	6,9	10,4	14,3
-28,3	-6,0	112,1	-26,9	-37,5	-24,7	-13,4	-9,5	14,3
-28,3	-6,0	112,1	-26,9	-37,5	-24,7	-13,4	-9,5	14,5
-30,4	-10,8	101,0	-44,7	-57,7	-45,1	-33,5	-29,3	14,5
-30,4	-10,8	101,0	-44,7	-57,7	-45,1	-33,5	-29,3	14,7
-32,3	-15,5	90,3	-62,3	-77,7	-65,5	-53,6	-49,1	14,7
-32,3	-15,5	90,3	-62,3	-77,7	-65,5	-53,6	-49,1	14,9
-34,3	-20,0	79,9	-79,7	-97,6	-85,9	-73,7	-68,8	14,9
-34,3	-20,0	79,9	-79,7	-97,6	-85,9	-73,7	-68,8	15,1
-36,2	-24,2	69,9	-96,7	-117,3	-106,2	-93,7	-88,5	15,1
-36,2	-24,2	69,9	-96,7	-117,3	-106,2	-93,7	-88,5	15,3
-38,0	-28,3	60,2	-113,5	-137,0	-126,4	-113,7	-108,1	15,3
-38,0	-28,3	60,2	-113,5	-137,0	-126,4	-113,7	-108,1	15,5
-39,8	-32,3	50,9	-130,1	-156,5	-146,6	-133,6	-127,7	15,5
-39,8	-32,3	50,9	-130,1	-156,5	-146,6	-133,6	-127,7	15,7
-41,6	-36,1	41,9	-146,3	-175,9	-166,7	-153,5	-147,2	15,7
-41,6	-36,1	41,9	-146,3	-175,9	-166,7	-153,5	-147,2	15,9
-43,4	-39,7	33,2	-162,2	-195,1	-186,7	-173,3	-166,7	15,9
-43,4	-39,7	33,2	-162,2	-195,1	-186,7	-173,3	-166,7	16,1
-4,1	-2,1	65,9	263,3	227,1	234,6	248,1	255,2	16,1
-4,1	-2,1	65,9	263,3	227,1	234,6	248,1	255,2	16,3
-5,8	-5,4	58,0	248,4	208,6	215,2	228,8	236,3	16,3
-5,8	-5,4	58,0	248,4	208,6	215,2	228,8	236,3	16,5
-7,4	-8,5	50,4	233,8	190,3	195,8	209,6	217,5	16,5
-7,4	-8,5	50,4	233,8	190,3	195,8	209,6	217,5	16,7
-9,0	-11,5	43,1	219,5	172,2	176,6	190,5	198,7	16,7
-9,0	-11,5	43,1	219,5	172,2	176,6	190,5	198,7	16,9
-10,6	-14,4	36,0	205,5	154,3	157,4	171,4	180,1	16,9
-10,6	-14,4	36,0	205,5	154,3	157,4	171,4	180,1	17,1
-12,2	-17,2	29,3	191,9	136,5	138,3	152,3	161,4	17,1
-12,2	-17,2	29,3	191,9	136,5	138,3	152,3	161,4	17,3
-13,8	-19,9	22,8	178,6	118,9	119,3	133,3	142,9	17,3
-13,8	-19,9	22,8	178,6	118,9	119,3	133,3	142,9	17,5
-15,4	-22,5	16,5	165,7	101,5	100,4	114,3	124,4	17,5
-15,4	-22,5	16,5	165,7	101,5	100,4	114,3	124,4	17,7
-17,0	-25,0	10,5	153,1	84,4	81,5	95,4	105,9	17,7
-17,0	-25,0	10,5	153,1	84,4	81,5	95,4	105,9	17,9
-18,5	-27,4	4,8	140,8	67,3	62,8	76,6	87,5	17,9
-18,5	-27,4	4,8	140,8	67,3	62,8	76,6	87,5	18,1
-20,1	-29,7	-0,8	128,9	50,5	44,1	57,7	69,2	18,1
-20,1	-29,7	-0,8	128,9	50,5	44,1	57,7	69,2	18,3
-21,6	-31,9	-6,0	117,4	33,9	25,5	38,9	50,8	18,3
-21,6	-31,9	-6,0	117,4	33,9	25,5	38,9	50,8	18,5
-23,2	-34,1	-11,1	106,2	17,5	7,0	20,1	32,5	18,5

Dir. L SLE Caratteristica Taglio (kNx1,185m)

-23,2	-34,1	-11,1	106,2	17,5	7,0	20,1	32,5	18,7
-24,7	-36,2	-16,0	95,4	1,3	-11,5	1,4	14,2	18,7
-24,7	-36,2	-16,0	95,4	1,3	-11,5	1,4	14,2	18,9
-17,9	-29,9	-12,3	93,2	-6,5	-21,7	-9,2	4,2	18,9
-17,9	-29,9	-12,3	93,2	-6,5	-21,7	-9,2	4,2	19,1
-9,4	-21,8	-6,8	92,9	-12,5	-30,2	-18,1	-4,3	19,1
-9,4	-21,8	-6,8	92,9	-12,5	-30,2	-18,1	-4,3	19,3
-2,6	-15,4	-2,7	91,4	-19,9	-40,3	-28,7	-14,3	19,3
-2,6	-15,4	-2,7	91,4	-19,9	-40,3	-28,7	-14,3	19,5
-4,1	-17,2	-6,8	82,0	-35,4	-58,5	-47,4	-32,6	19,5
-4,1	-17,2	-6,8	82,0	-35,4	-58,5	-47,4	-32,6	19,7
-5,7	-19,0	-10,7	72,8	-50,6	-76,7	-66,2	-50,9	19,7
-5,7	-19,0	-10,7	72,8	-50,6	-76,7	-66,2	-50,9	19,9
-7,2	-20,8	-14,4	64,0	-65,7	-94,8	-85,0	-69,2	19,9
-7,2	-20,8	-14,4	64,0	-65,7	-94,8	-85,0	-69,2	20,1
-8,8	-22,5	-18,0	55,5	-80,6	-112,9	-103,9	-87,6	20,1
-8,8	-22,5	-18,0	55,5	-80,6	-112,9	-103,9	-87,6	20,3
-10,3	-24,2	-21,4	47,3	-95,3	-130,9	-122,7	-106,0	20,3
-10,3	-24,2	-21,4	47,3	-95,3	-130,9	-122,7	-106,0	20,5
-11,9	-25,8	-24,7	39,4	-109,7	-148,9	-141,6	-124,5	20,5
-11,9	-25,8	-24,7	39,4	-109,7	-148,9	-141,6	-124,5	20,7
-13,5	-27,4	-27,8	31,8	-124,0	-166,8	-160,6	-143,0	20,7
-13,5	-27,4	-27,8	31,8	-124,0	-166,8	-160,6	-143,0	20,9
-15,0	-29,0	-30,8	24,5	-138,1	-184,8	-179,6	-161,5	20,9
-15,0	-29,0	-30,8	24,5	-138,1	-184,8	-179,6	-161,5	21,1
-16,6	-30,6	-33,7	17,5	-151,9	-202,6	-198,6	-180,1	21,1
-16,6	-30,6	-33,7	17,5	-151,9	-202,6	-198,6	-180,1	21,3
-18,2	-32,1	-36,5	10,8	-165,6	-220,4	-217,7	-198,8	21,3
-18,2	-32,1	-36,5	10,8	-165,6	-220,4	-217,7	-198,8	21,5
-19,8	-33,6	-39,1	4,4	-179,0	-238,2	-236,8	-217,6	21,5
-19,8	-33,6	-39,1	4,4	-179,0	-238,2	-236,8	-217,6	21,7
-21,4	-35,1	-41,6	-1,8	-192,3	-255,9	-256,0	-236,4	21,7
-21,4	-35,1	-41,6	-1,8	-192,3	-255,9	-256,0	-236,4	21,9
-23,0	-36,5	-44,0	-7,8	-205,3	-273,5	-275,2	-255,3	21,9
-23,0	-36,5	-44,0	-7,8	-205,3	-273,5	-275,2	-255,3	22,1
16,3	3,0	-5,4	27,5	222,8	149,7	146,3	166,6	22,1
16,3	3,0	-5,4	27,5	222,8	149,7	146,3	166,6	22,3
14,7	1,5	-7,7	21,9	210,0	131,8	126,6	147,1	22,3
14,7	1,5	-7,7	21,9	210,0	131,8	126,6	147,1	22,5
13,0	0,0	-9,9	16,6	197,5	114,1	106,8	127,6	22,5
13,0	0,0	-9,9	16,6	197,5	114,1	106,8	127,6	22,7
11,3	-1,4	-12,0	11,5	185,2	96,4	87,0	108,0	22,7
11,3	-1,4	-12,0	11,5	185,2	96,4	87,0	108,0	22,9
9,6	-2,8	-14,0	6,6	173,3	78,8	67,2	88,4	22,9
9,6	-2,8	-14,0	6,6	173,3	78,8	67,2	88,4	23,1
7,9	-4,3	-15,9	2,0	161,6	61,3	47,4	68,7	23,1

Dir. L SLE Caratteristica Taglio (kNx1,185m)

7,9	-4,3	-15,9	2,0	161,6	61,3	47,4	68,7	23,3
6,2	-5,7	-17,8	-2,5	150,2	44,0	27,5	49,0	23,3
6,2	-5,7	-17,8	-2,5	150,2	44,0	27,5	49,0	23,5
4,5	-7,1	-19,6	-6,7	139,1	26,8	7,7	29,2	23,5
4,5	-7,1	-19,6	-6,7	139,1	26,8	7,7	29,2	23,7
2,8	-8,5	-21,4	-10,8	128,2	9,8	-12,2	9,4	23,7
2,8	-8,5	-21,4	-10,8	128,2	9,8	-12,2	9,4	23,9
1,1	-10,0	-23,1	-14,6	117,7	-7,1	-32,0	-10,6	23,9
1,1	-10,0	-23,1	-14,6	117,7	-7,1	-32,0	-10,6	24,1
-0,6	-11,4	-24,7	-18,3	107,5	-23,8	-51,8	-30,5	24,1
-0,6	-11,4	-24,7	-18,3	107,5	-23,8	-51,8	-30,5	24,3
-2,4	-12,8	-26,3	-21,8	97,6	-40,4	-71,7	-50,6	24,3
-2,4	-12,8	-26,3	-21,8	97,6	-40,4	-71,7	-50,6	24,5
-4,1	-14,2	-27,9	-25,1	87,9	-56,8	-91,5	-70,7	24,5
-4,1	-14,2	-27,9	-25,1	87,9	-56,8	-91,5	-70,7	24,7
-5,9	-15,7	-29,4	-28,3	78,6	-73,1	-111,3	-90,8	24,7
-5,9	-15,7	-29,4	-28,3	78,6	-73,1	-111,3	-90,8	24,9
-7,7	-17,1	-30,9	-31,4	69,6	-89,1	-131,1	-111,0	24,9
-7,7	-17,1	-30,9	-31,4	69,6	-89,1	-131,1	-111,0	25,1
-9,4	-18,6	-32,3	-34,3	60,8	-105,0	-150,9	-131,3	25,1
-9,4	-18,6	-32,3	-34,3	60,8	-105,0	-150,9	-131,3	25,3
-11,2	-20,0	-33,7	-37,0	52,3	-120,7	-170,7	-151,7	25,3
-11,2	-20,0	-33,7	-37,0	52,3	-120,7	-170,7	-151,7	25,5
-13,0	-21,5	-35,1	-39,7	44,1	-136,1	-190,4	-172,1	25,5
-13,0	-21,5	-35,1	-39,7	44,1	-136,1	-190,4	-172,1	25,7
-14,8	-23,0	-36,5	-42,2	36,2	-151,4	-210,1	-192,5	25,7
-14,8	-23,0	-36,5	-42,2	36,2	-151,4	-210,1	-192,5	25,9
-16,7	-24,4	-37,9	-44,7	28,5	-166,4	-229,7	-213,1	25,9
-16,7	-24,4	-37,9	-44,7	28,5	-166,4	-229,7	-213,1	26,1
-18,5	-25,9	-39,2	-47,0	21,1	-181,2	-249,3	-233,6	26,1
-18,5	-25,9	-39,2	-47,0	21,1	-181,2	-249,3	-233,6	26,3
20,7	13,6	0,4	-8,2	55,0	245,2	172,2	186,7	26,3
20,7	13,6	0,4	-8,2	55,0	245,2	172,2	186,7	26,5
18,8	12,0	-0,9	-10,4	48,1	230,9	152,8	166,1	26,5
18,8	12,0	-0,9	-10,4	48,1	230,9	152,8	166,1	26,7
17,0	10,5	-2,2	-12,4	41,4	216,8	133,4	145,3	26,7
17,0	10,5	-2,2	-12,4	41,4	216,8	133,4	145,3	26,9
15,1	8,9	-3,5	-14,4	35,0	203,1	114,2	124,6	26,9
15,1	8,9	-3,5	-14,4	35,0	203,1	114,2	124,6	27,1
13,2	7,4	-4,8	-16,3	28,9	189,6	95,1	103,9	27,1
13,2	7,4	-4,8	-16,3	28,9	189,6	95,1	103,9	27,3
11,4	5,8	-6,2	-18,1	23,0	176,4	76,1	83,1	27,3
11,4	5,8	-6,2	-18,1	23,0	176,4	76,1	83,1	27,5
9,5	4,2	-7,5	-19,9	17,3	163,5	57,3	62,3	27,5
9,5	4,2	-7,5	-19,9	17,3	163,5	57,3	62,3	27,7
7,6	2,6	-8,8	-21,6	11,8	151,0	38,6	41,6	27,7

Dir. L SLE Caratteristica Taglio (kNx1,185m)

7,6	2,6	-8,8	-21,6	11,8	151,0	38,6	41,6	27,9
5,7	1,0	-10,1	-23,3	6,5	138,8	20,1	20,8	27,9
5,7	1,0	-10,1	-23,3	6,5	138,8	20,1	20,8	28,1
3,7	-0,7	-11,4	-24,9	1,4	126,9	1,8	0,0	28,1
3,7	-0,7	-11,4	-24,9	1,4	126,9	1,8	0,0	28,3
1,8	-2,3	-12,8	-26,5	-3,4	115,3	-16,4	-20,8	28,3
1,8	-2,3	-12,8	-26,5	-3,4	115,3	-16,4	-20,8	28,5
-0,1	-4,0	-14,1	-28,0	-8,1	104,0	-34,4	-41,5	28,5
-0,1	-4,0	-14,1	-28,0	-8,1	104,0	-34,4	-41,5	28,7
-2,1	-5,7	-15,5	-29,5	-12,6	93,1	-52,1	-62,3	28,7
-2,1	-5,7	-15,5	-29,5	-12,6	93,1	-52,1	-62,3	28,9
-4,0	-7,4	-16,9	-31,0	-16,9	82,4	-69,7	-83,0	28,9
-4,0	-7,4	-16,9	-31,0	-16,9	82,4	-69,7	-83,0	29,1
-6,0	-9,1	-18,3	-32,4	-21,1	72,2	-87,1	-103,8	29,1
-6,0	-9,1	-18,3	-32,4	-21,1	72,2	-87,1	-103,8	29,3
-8,0	-10,9	-19,7	-33,9	-25,0	62,2	-104,2	-124,5	29,3
-8,0	-10,9	-19,7	-33,9	-25,0	62,2	-104,2	-124,5	29,5
-10,0	-12,6	-21,1	-35,3	-28,9	52,5	-121,2	-145,2	29,5
-10,0	-12,6	-21,1	-35,3	-28,9	52,5	-121,2	-145,2	29,7
-12,0	-14,4	-22,6	-36,7	-32,5	43,2	-137,8	-165,9	29,7
-12,0	-14,4	-22,6	-36,7	-32,5	43,2	-137,8	-165,9	29,9
-14,0	-16,2	-24,0	-38,0	-36,1	34,2	-154,2	-186,5	29,9
-14,0	-16,2	-24,0	-38,0	-36,1	34,2	-154,2	-186,5	30,1
-16,0	-18,0	-25,5	-39,4	-39,4	25,5	-170,4	-207,2	30,1
-16,0	-18,0	-25,5	-39,4	-39,4	25,5	-170,4	-207,2	30,3
-18,1	-19,9	-27,1	-40,8	-42,7	17,2	-186,3	-227,7	30,3
-18,1	-19,9	-27,1	-40,8	-42,7	17,2	-186,3	-227,7	30,6
20,9	19,2	12,4	-1,2	-4,8	50,1	239,2	192,8	30,6
20,9	19,2	12,4	-1,2	-4,8	50,1	239,2	192,8	30,8
18,8	17,3	10,8	-2,5	-7,8	42,3	223,9	172,3	30,8
18,8	17,3	10,8	-2,5	-7,8	42,3	223,9	172,3	31,0
16,7	15,4	9,2	-3,9	-10,7	34,9	209,0	152,0	31,0
16,7	15,4	9,2	-3,9	-10,7	34,9	209,0	152,0	31,2
14,6	13,5	7,6	-5,3	-13,5	27,7	194,3	131,7	31,2
14,6	13,5	7,6	-5,3	-13,5	27,7	194,3	131,7	31,4
12,5	11,6	6,0	-6,7	-16,2	20,8	180,1	111,5	31,4
12,5	11,6	6,0	-6,7	-16,2	20,8	180,1	111,5	31,6
10,4	9,6	4,3	-8,1	-18,7	14,3	166,2	91,4	31,6
10,4	9,6	4,3	-8,1	-18,7	14,3	166,2	91,4	31,8
8,3	7,6	2,6	-9,5	-21,2	8,0	152,7	71,4	31,8
8,3	7,6	2,6	-9,5	-21,2	8,0	152,7	71,4	32,0
6,1	5,6	0,9	-10,9	-23,6	2,0	139,5	51,6	32,0
6,1	5,6	0,9	-10,9	-23,6	2,0	139,5	51,6	32,2
4,0	3,5	-0,9	-12,4	-25,8	-3,8	126,7	31,8	32,2
4,0	3,5	-0,9	-12,4	-25,8	-3,8	126,7	31,8	32,4
1,8	1,5	-2,7	-13,8	-28,0	-9,2	114,3	12,2	32,4

Dir. L SLE Caratteristica Taglio (kNx1,185m)

1,8	1,5	-2,7	-13,8	-28,0	-9,2	114,3	12,2	32,6
-0,4	-0,6	-4,5	-15,3	-30,2	-14,4	102,3	-7,3	32,6
-0,4	-0,6	-4,5	-15,3	-30,2	-14,4	102,3	-7,3	32,8
-2,6	-2,7	-6,3	-16,8	-32,2	-19,3	90,7	-26,7	32,8
-2,6	-2,7	-6,3	-16,8	-32,2	-19,3	90,7	-26,7	33,0
-4,8	-4,9	-8,2	-18,3	-34,2	-24,0	79,5	-46,0	33,0
-4,8	-4,9	-8,2	-18,3	-34,2	-24,0	79,5	-46,0	33,2
-7,1	-7,0	-10,1	-19,9	-36,1	-28,4	68,7	-65,1	33,2
-7,1	-7,0	-10,1	-19,9	-36,1	-28,4	68,7	-65,1	33,4
-9,3	-9,2	-12,1	-21,5	-38,0	-32,5	58,3	-84,0	33,4
-9,3	-9,2	-12,1	-21,5	-38,0	-32,5	58,3	-84,0	33,6
-11,6	-11,4	-14,0	-23,1	-39,7	-36,4	48,3	-102,8	33,6
-11,6	-11,4	-14,0	-23,1	-39,7	-36,4	48,3	-102,8	33,8
-13,9	-13,6	-16,1	-24,7	-41,5	-40,1	38,7	-121,5	33,8
-13,9	-13,6	-16,1	-24,7	-41,5	-40,1	38,7	-121,5	34,0
-16,2	-15,9	-18,1	-26,4	-43,1	-43,5	29,6	-140,0	34,0
-16,2	-15,9	-18,1	-26,4	-43,1	-43,5	29,6	-140,0	34,2
-18,6	-18,2	-20,2	-28,1	-44,7	-46,7	20,8	-158,3	34,2
-18,6	-18,2	-20,2	-28,1	-44,7	-46,7	20,8	-158,3	34,4
-20,9	-20,5	-22,3	-29,8	-46,3	-49,6	12,5	-176,4	34,4
-20,9	-20,5	-22,3	-29,8	-46,3	-49,6	12,5	-176,4	34,6
-23,3	-22,8	-24,5	-31,6	-47,8	-52,4	4,5	-194,4	34,6
-23,3	-22,8	-24,5	-31,6	-47,8	-52,4	4,5	-194,4	34,8
15,4	15,9	14,4	7,7	-8,3	-13,8	38,2	229,3	34,8
15,4	15,9	14,4	7,7	-8,3	-13,8	38,2	229,3	35,0
13,1	13,6	12,3	6,0	-9,6	-15,9	31,5	212,7	35,0
13,1	13,6	12,3	6,0	-9,6	-15,9	31,5	212,7	35,2
10,8	11,3	10,2	4,2	-10,9	-17,9	25,1	196,3	35,2
10,8	11,3	10,2	4,2	-10,9	-17,9	25,1	196,3	35,4
8,5	9,0	8,0	2,4	-12,2	-19,6	19,1	180,1	35,4
8,5	9,0	8,0	2,4	-12,2	-19,6	19,1	180,1	35,6
6,1	6,7	5,8	0,6	-13,4	-21,1	13,4	164,0	35,6
6,1	6,7	5,8	0,6	-13,4	-21,1	13,4	164,0	35,8
3,8	4,3	3,6	-1,2	-14,6	-22,5	8,1	148,3	35,8
3,8	4,3	3,6	-1,2	-14,6	-22,5	8,1	148,3	36,0
1,4	2,0	1,3	-3,1	-15,8	-23,6	3,3	132,7	36,0
1,4	2,0	1,3	-3,1	-15,8	-23,6	3,3	132,7	36,1
-1,0	-0,4	-1,0	-5,0	-16,9	-24,5	-1,3	117,3	36,1
-1,0	-0,4	-1,0	-5,0	-16,9	-24,5	-1,3	117,3	36,3
-3,4	-2,9	-3,3	-6,9	-18,0	-25,3	-5,4	102,2	36,3
-3,4	-2,9	-3,3	-6,9	-18,0	-25,3	-5,4	102,2	36,5
-5,8	-5,3	-5,7	-8,9	-19,0	-25,8	-9,2	87,3	36,5
-5,8	-5,3	-5,7	-8,9	-19,0	-25,8	-9,2	87,3	36,7
-8,2	-7,8	-8,1	-10,9	-20,0	-26,2	-12,6	72,7	36,7
-8,2	-7,8	-8,1	-10,9	-20,0	-26,2	-12,6	72,7	36,9
-10,7	-10,3	-10,5	-12,9	-21,0	-26,3	-15,7	58,2	36,9

Dir. L SLE Caratteristica Taglio (kNx1,185m)

-10,7	-10,3	-10,5	-12,9	-21,0	-26,3	-15,7	58,2	37,1
-4,9	-4,6	-4,7	-6,8	-13,7	-18,1	-10,2	52,0	37,1
-4,9	-4,6	-4,7	-6,8	-13,7	-18,1	-10,2	52,0	37,3
2,6	2,9	2,7	1,1	-4,6	-8,0	-2,5	47,5	37,3
2,6	2,9	2,7	1,1	-4,6	-8,0	-2,5	47,5	37,5
8,1	8,3	8,3	7,0	2,6	0,0	3,6	42,1	37,5
8,1	8,3	8,3	7,0	2,6	0,0	3,6	42,1	37,7
5,8	6,0	5,9	5,0	1,8	0,0	2,2	29,8	37,7
5,8	6,0	5,9	5,0	1,8	0,0	2,2	29,8	37,9
3,5	3,6	3,6	3,0	1,0	0,0	1,1	17,7	37,9
3,5	3,6	3,6	3,0	1,0	0,0	1,1	17,7	38,0
1,2	1,2	1,2	1,0	0,3	0,0	0,3	5,8	38,0
1,2	1,2	1,2	1,0	0,3	0,0	0,3	5,8	38,2

Dir. L SLE Frequente Momento (kNx1,185m)

PVVVVVVV	PPVVVVVV	PPPVVVVV	PPPPVVVV	PPPPPVVV	PPPPPPVV	PPPPPPPV	PPPPPPPP	x
0,0	0,0	0,0	0,0	0,0	0,0	0,0	0,0	0,0
-1,9	-2,1	-1,9	-1,7	-1,7	-1,7	-1,7	-1,7	0,2
-1,9	-2,1	-1,9	-1,7	-1,7	-1,7	-1,7	-1,7	0,2
-7,7	-8,5	-7,7	-6,9	-6,7	-6,7	-6,8	-6,8	0,5
-7,7	-8,5	-7,7	-6,9	-6,7	-6,7	-6,8	-6,8	0,5
-17,2	-19,2	-17,4	-15,8	-15,3	-15,3	-15,4	-15,4	0,7
-17,2	-19,2	-17,4	-15,8	-15,3	-15,3	-15,4	-15,4	0,7
-26,5	-29,9	-27,1	-24,5	-23,7	-23,7	-23,8	-23,9	0,9
-26,5	-29,9	-27,1	-24,5	-23,7	-23,7	-23,8	-23,9	0,9
-36,6	-41,8	-37,8	-33,9	-32,8	-32,7	-32,9	-33,0	1,1
-36,6	-41,8	-37,8	-33,9	-32,8	-32,7	-32,9	-33,0	1,1
-48,1	-55,8	-50,4	-44,9	-43,3	-43,2	-43,5	-43,7	1,3
-48,1	-55,8	-50,4	-44,9	-43,3	-43,2	-43,5	-43,7	1,3
-62,6	-73,2	-66,2	-59,1	-57,0	-56,8	-57,1	-57,4	1,5
-62,6	-73,2	-66,2	-59,1	-57,0	-56,8	-57,1	-57,4	1,5
-79,9	-94,1	-85,5	-76,4	-73,6	-73,4	-73,8	-74,2	1,7
-79,9	-94,1	-85,5	-76,4	-73,6	-73,4	-73,8	-74,2	1,7
-100,0	-118,5	-108,2	-96,9	-93,5	-93,1	-93,7	-94,2	1,9
-100,0	-118,5	-108,2	-96,9	-93,5	-93,1	-93,7	-94,2	1,9
-122,9	-146,4	-134,3	-120,7	-116,5	-116,0	-116,7	-117,3	2,1
-122,9	-146,4	-134,3	-120,7	-116,5	-116,0	-116,7	-117,3	2,1
-148,6	-177,7	-163,9	-147,9	-142,8	-142,2	-142,9	-143,6	2,4
-148,6	-177,7	-163,9	-147,9	-142,8	-142,2	-142,9	-143,6	2,4
-177,0	-212,5	-197,0	-178,4	-172,4	-171,6	-172,4	-173,3	2,6
-177,0	-212,5	-197,0	-178,4	-172,4	-171,6	-172,4	-173,3	2,6
-208,0	-250,8	-233,7	-212,4	-205,3	-204,3	-205,3	-206,2	2,8
-208,0	-250,8	-233,7	-212,4	-205,3	-204,3	-205,3	-206,2	2,8
-241,7	-292,6	-273,9	-249,8	-241,6	-240,4	-241,5	-242,6	3,0
-241,7	-292,6	-273,9	-249,8	-241,6	-240,4	-241,5	-242,6	3,0
-278,0	-337,8	-317,8	-290,7	-281,4	-280,0	-281,1	-282,4	3,2
-278,0	-337,8	-317,8	-290,7	-281,4	-280,0	-281,1	-282,4	3,2
-316,9	-386,5	-365,3	-335,3	-324,7	-323,0	-324,2	-325,6	3,4
-316,9	-386,5	-365,3	-335,3	-324,7	-323,0	-324,2	-325,6	3,4
-275,7	-355,8	-333,7	-300,7	-288,8	-286,8	-288,1	-289,7	3,6
-275,7	-355,8	-333,7	-300,7	-288,8	-286,8	-288,1	-289,7	3,6
-236,8	-328,3	-305,5	-269,5	-256,3	-253,9	-255,3	-257,1	3,8
-236,8	-328,3	-305,5	-269,5	-256,3	-253,9	-255,3	-257,1	3,8
-200,2	-304,1	-280,9	-241,8	-227,1	-224,4	-225,9	-227,8	4,0
-200,2	-304,1	-280,9	-241,8	-227,1	-224,4	-225,9	-227,8	4,0
-165,8	-283,1	-259,7	-217,6	-201,4	-198,3	-199,9	-201,9	4,2
-165,8	-283,1	-259,7	-217,6	-201,4	-198,3	-199,9	-201,9	4,2
-133,6	-265,3	-242,1	-196,9	-179,2	-175,6	-177,2	-179,5	4,4
-133,6	-265,3	-242,1	-196,9	-179,2	-175,6	-177,2	-179,5	4,4
-103,5	-250,6	-228,1	-179,8	-160,4	-156,4	-158,1	-160,5	4,6
-103,5	-250,6	-228,1	-179,8	-160,4	-156,4	-158,1	-160,5	4,6

Dir. L SLE Frequente Momento (kNx1,185m)

-75,5	-239,1	-217,5	-166,3	-145,2	-140,7	-142,3	-144,9	4,8
-75,5	-239,1	-217,5	-166,3	-145,2	-140,7	-142,3	-144,9	4,8
-49,4	-230,8	-210,6	-156,5	-133,6	-128,4	-130,1	-132,9	5,0
-49,4	-230,8	-210,6	-156,5	-133,6	-128,4	-130,1	-132,9	5,0
-25,4	-225,6	-207,3	-150,2	-125,5	-119,7	-121,4	-124,4	5,2
-25,4	-225,6	-207,3	-150,2	-125,5	-119,7	-121,4	-124,4	5,2
-3,2	-223,5	-207,5	-147,7	-121,0	-114,6	-116,3	-119,5	5,4
-3,2	-223,5	-207,5	-147,7	-121,0	-114,6	-116,3	-119,5	5,4
17,0	-224,4	-211,4	-148,8	-120,2	-113,1	-114,7	-118,1	5,6
17,0	-224,4	-211,4	-148,8	-120,2	-113,1	-114,7	-118,1	5,6
35,5	-228,4	-218,9	-153,7	-123,1	-115,2	-116,8	-120,4	5,8
35,5	-228,4	-218,9	-153,7	-123,1	-115,2	-116,8	-120,4	5,8
52,2	-235,4	-230,0	-162,4	-129,6	-120,9	-122,5	-126,2	6,0
52,2	-235,4	-230,0	-162,4	-129,6	-120,9	-122,5	-126,2	6,0
67,2	-245,4	-244,7	-174,8	-139,9	-130,3	-131,8	-135,7	6,2
67,2	-245,4	-244,7	-174,8	-139,9	-130,3	-131,8	-135,7	6,2
80,5	-258,4	-263,0	-191,0	-153,9	-143,4	-144,7	-148,9	6,4
80,5	-258,4	-263,0	-191,0	-153,9	-143,4	-144,7	-148,9	6,4
92,2	-274,2	-285,0	-211,0	-171,6	-160,2	-161,4	-165,7	6,6
92,2	-274,2	-285,0	-211,0	-171,6	-160,2	-161,4	-165,7	6,6
102,4	-293,0	-310,6	-234,9	-193,2	-180,8	-181,8	-186,3	6,8
102,4	-293,0	-310,6	-234,9	-193,2	-180,8	-181,8	-186,3	6,8
111,0	-314,6	-339,8	-262,6	-218,6	-205,1	-205,8	-210,6	7,0
111,0	-314,6	-339,8	-262,6	-218,6	-205,1	-205,8	-210,6	7,0
118,2	-339,1	-372,6	-294,2	-247,8	-233,1	-233,7	-238,6	7,2
118,2	-339,1	-372,6	-294,2	-247,8	-233,1	-233,7	-238,6	7,2
124,0	-366,3	-409,0	-329,7	-280,8	-265,0	-265,3	-270,4	7,4
124,0	-366,3	-409,0	-329,7	-280,8	-265,0	-265,3	-270,4	7,4
128,4	-396,2	-449,1	-369,0	-317,7	-300,7	-300,6	-305,9	7,7
128,4	-396,2	-449,1	-369,0	-317,7	-300,7	-300,6	-305,9	7,7
139,7	-347,7	-411,6	-331,2	-277,3	-259,0	-258,6	-264,1	7,9
139,7	-347,7	-411,6	-331,2	-277,3	-259,0	-258,6	-264,1	7,9
149,8	-301,8	-377,6	-297,2	-240,8	-221,1	-220,4	-226,1	8,1
149,8	-301,8	-377,6	-297,2	-240,8	-221,1	-220,4	-226,1	8,1
158,7	-258,5	-347,2	-267,2	-208,3	-187,1	-186,0	-191,8	8,3
158,7	-258,5	-347,2	-267,2	-208,3	-187,1	-186,0	-191,8	8,3
166,4	-217,7	-320,4	-241,1	-179,6	-157,0	-155,4	-161,4	8,5
166,4	-217,7	-320,4	-241,1	-179,6	-157,0	-155,4	-161,4	8,5
172,9	-179,4	-297,0	-218,9	-154,8	-130,7	-128,6	-134,7	8,7
172,9	-179,4	-297,0	-218,9	-154,8	-130,7	-128,6	-134,7	8,7
178,3	-143,6	-277,2	-200,7	-134,0	-108,2	-105,7	-111,9	8,9
178,3	-143,6	-277,2	-200,7	-134,0	-108,2	-105,7	-111,9	8,9
182,7	-110,1	-260,8	-186,4	-117,1	-89,7	-86,5	-92,9	9,1
182,7	-110,1	-260,8	-186,4	-117,1	-89,7	-86,5	-92,9	9,1
186,0	-78,9	-247,8	-176,0	-104,2	-75,0	-71,2	-77,7	9,3
186,0	-78,9	-247,8	-176,0	-104,2	-75,0	-71,2	-77,7	9,3

Dir. L SLE Frequente Momento (kNx1,185m)

188,4	-50,0	-238,3	-169,5	-95,1	-64,2	-59,8	-66,4	9,5
188,4	-50,0	-238,3	-169,5	-95,1	-64,2	-59,8	-66,4	9,5
189,8	-23,3	-232,1	-167,0	-90,1	-57,2	-52,1	-58,8	9,7
189,8	-23,3	-232,1	-167,0	-90,1	-57,2	-52,1	-58,8	9,7
190,2	1,2	-229,3	-168,3	-88,9	-54,2	-48,3	-55,1	9,9
190,2	1,2	-229,3	-168,3	-88,9	-54,2	-48,3	-55,1	9,9
189,8	23,7	-229,8	-173,6	-91,8	-55,0	-48,4	-55,2	10,1
189,8	23,7	-229,8	-173,6	-91,8	-55,0	-48,4	-55,2	10,1
188,6	44,2	-233,5	-182,8	-98,5	-59,8	-52,3	-59,2	10,3
188,6	44,2	-233,5	-182,8	-98,5	-59,8	-52,3	-59,2	10,3
186,5	62,7	-240,5	-195,8	-109,2	-68,4	-60,0	-66,9	10,5
186,5	62,7	-240,5	-195,8	-109,2	-68,4	-60,0	-66,9	10,5
183,6	79,3	-250,6	-212,8	-123,9	-81,0	-71,6	-78,5	10,7
183,6	79,3	-250,6	-212,8	-123,9	-81,0	-71,6	-78,5	10,7
180,0	94,0	-263,9	-233,6	-142,5	-97,4	-87,0	-93,9	10,9
180,0	94,0	-263,9	-233,6	-142,5	-97,4	-87,0	-93,9	10,9
175,6	107,0	-280,4	-258,2	-165,1	-117,7	-106,3	-113,1	11,1
175,6	107,0	-280,4	-258,2	-165,1	-117,7	-106,3	-113,1	11,1
170,6	118,2	-299,9	-286,7	-191,6	-142,0	-129,4	-136,2	11,3
170,6	118,2	-299,9	-286,7	-191,6	-142,0	-129,4	-136,2	11,3
164,8	127,7	-322,4	-319,0	-222,1	-170,1	-156,4	-163,0	11,5
164,8	127,7	-322,4	-319,0	-222,1	-170,1	-156,4	-163,0	11,5
158,4	135,7	-347,8	-355,1	-256,5	-202,2	-187,2	-193,7	11,7
158,4	135,7	-347,8	-355,1	-256,5	-202,2	-187,2	-193,7	11,7
151,4	142,0	-376,2	-395,0	-294,8	-238,1	-221,8	-228,2	11,9
151,4	142,0	-376,2	-395,0	-294,8	-238,1	-221,8	-228,2	11,9
152,0	155,1	-326,4	-357,6	-256,0	-196,9	-179,2	-185,4	12,1
152,0	155,1	-326,4	-357,6	-256,0	-196,9	-179,2	-185,4	12,1
152,1	166,8	-279,5	-324,0	-221,1	-159,5	-140,5	-146,4	12,3
152,1	166,8	-279,5	-324,0	-221,1	-159,5	-140,5	-146,4	12,3
151,6	177,0	-235,2	-294,0	-190,0	-126,0	-105,5	-111,2	12,5
151,6	177,0	-235,2	-294,0	-190,0	-126,0	-105,5	-111,2	12,5
150,6	185,9	-193,7	-267,6	-162,9	-96,4	-74,3	-79,7	12,7
150,6	185,9	-193,7	-267,6	-162,9	-96,4	-74,3	-79,7	12,7
149,0	193,5	-154,7	-244,9	-139,6	-70,6	-46,9	-52,0	12,9
149,0	193,5	-154,7	-244,9	-139,6	-70,6	-46,9	-52,0	12,9
146,9	199,8	-118,3	-225,8	-120,1	-48,6	-23,3	-28,0	13,1
146,9	199,8	-118,3	-225,8	-120,1	-48,6	-23,3	-28,0	13,1
144,3	205,0	-84,5	-210,3	-104,5	-30,5	-3,4	-7,8	13,3
144,3	205,0	-84,5	-210,3	-104,5	-30,5	-3,4	-7,8	13,3
141,2	208,9	-53,0	-198,3	-92,6	-16,1	12,6	8,8	13,5
141,2	208,9	-53,0	-198,3	-92,6	-16,1	12,6	8,8	13,5
137,7	211,8	-23,9	-189,7	-84,6	-5,6	25,0	21,6	13,7
137,7	211,8	-23,9	-189,7	-84,6	-5,6	25,0	21,6	13,7
133,7	213,5	2,8	-184,7	-80,4	1,1	33,6	30,7	13,9
133,7	213,5	2,8	-184,7	-80,4	1,1	33,6	30,7	13,9

Dir. L SLE Frequente Momento (kNx1,185m)

129,3	214,3	27,3	-183,0	-79,9	4,0	38,5	36,2	14,1
129,3	214,3	27,3	-183,0	-79,9	4,0	38,5	36,2	14,1
124,4	214,0	49,7	-184,7	-83,1	3,1	39,6	38,0	14,3
124,4	214,0	49,7	-184,7	-83,1	3,1	39,6	38,0	14,3
119,1	212,8	69,9	-189,7	-90,1	-1,5	37,0	36,2	14,5
119,1	212,8	69,9	-189,7	-90,1	-1,5	37,0	36,2	14,5
113,4	210,6	88,1	-198,0	-100,7	-9,9	30,8	30,6	14,7
113,4	210,6	88,1	-198,0	-100,7	-9,9	30,8	30,6	14,7
107,3	207,6	104,3	-209,6	-115,1	-22,0	20,8	21,5	14,9
107,3	207,6	104,3	-209,6	-115,1	-22,0	20,8	21,5	14,9
100,8	203,7	118,6	-224,3	-133,0	-37,9	7,2	8,7	15,1
100,8	203,7	118,6	-224,3	-133,0	-37,9	7,2	8,7	15,1
94,0	199,0	131,0	-242,2	-154,7	-57,5	-10,2	-7,7	15,3
94,0	199,0	131,0	-242,2	-154,7	-57,5	-10,2	-7,7	15,3
86,7	193,5	141,6	-263,2	-179,9	-80,8	-31,2	-27,6	15,5
86,7	193,5	141,6	-263,2	-179,9	-80,8	-31,2	-27,6	15,5
79,1	187,2	150,4	-287,2	-208,7	-107,8	-55,8	-51,2	15,7
79,1	187,2	150,4	-287,2	-208,7	-107,8	-55,8	-51,2	15,7
71,1	180,3	157,6	-314,2	-241,1	-138,5	-84,2	-78,4	15,9
71,1	180,3	157,6	-314,2	-241,1	-138,5	-84,2	-78,4	15,9
62,8	172,6	163,2	-344,1	-277,0	-172,9	-116,1	-109,2	16,1
62,8	172,6	163,2	-344,1	-277,0	-172,9	-116,1	-109,2	16,1
62,3	172,5	175,2	-297,1	-236,4	-131,0	-71,8	-63,6	16,3
62,3	172,5	175,2	-297,1	-236,4	-131,0	-71,8	-63,6	16,3
61,6	171,8	185,7	-252,8	-199,1	-92,5	-30,9	-21,4	16,5
61,6	171,8	185,7	-252,8	-199,1	-92,5	-30,9	-21,4	16,5
60,5	170,6	194,9	-211,0	-165,1	-57,5	6,5	17,4	16,7
60,5	170,6	194,9	-211,0	-165,1	-57,5	6,5	17,4	16,7
59,1	168,7	202,7	-171,9	-134,4	-26,0	40,5	52,9	16,9
59,1	168,7	202,7	-171,9	-134,4	-26,0	40,5	52,9	16,9
57,4	166,3	209,3	-135,3	-106,8	2,1	71,1	85,0	17,1
57,4	166,3	209,3	-135,3	-106,8	2,1	71,1	85,0	17,1
55,3	163,4	214,6	-101,1	-82,5	26,7	98,2	113,8	17,3
55,3	163,4	214,6	-101,1	-82,5	26,7	98,2	113,8	17,3
52,9	159,9	218,7	-69,4	-61,3	48,0	121,9	139,2	17,5
52,9	159,9	218,7	-69,4	-61,3	48,0	121,9	139,2	17,5
50,2	155,9	221,7	-39,9	-43,3	65,8	142,2	161,3	17,7
50,2	155,9	221,7	-39,9	-43,3	65,8	142,2	161,3	17,7
47,2	151,5	223,5	-12,8	-28,3	80,3	159,2	180,1	17,9
47,2	151,5	223,5	-12,8	-28,3	80,3	159,2	180,1	17,9
43,9	146,6	224,3	12,2	-16,4	91,4	172,7	195,6	18,1
43,9	146,6	224,3	12,2	-16,4	91,4	172,7	195,6	18,1
40,2	141,2	224,1	35,0	-7,5	99,1	182,9	207,8	18,3
40,2	141,2	224,1	35,0	-7,5	99,1	182,9	207,8	18,3
36,3	135,4	222,9	55,7	-1,6	103,5	189,7	216,7	18,5
36,3	135,4	222,9	55,7	-1,6	103,5	189,7	216,7	18,5

Dir. L SLE Frequente Momento (kNx1,185m)

32,0	129,2	220,8	74,3	1,3	104,6	193,1	222,3	18,7
32,0	129,2	220,8	74,3	1,3	104,6	193,1	222,3	18,7
27,4	122,6	217,7	91,1	1,3	102,4	193,1	224,6	18,9
27,4	122,6	217,7	91,1	1,3	102,4	193,1	224,6	18,9
24,1	117,1	215,4	107,8	0,1	98,4	191,4	225,3	19,1
24,1	117,1	215,4	107,8	0,1	98,4	191,4	225,3	19,1
22,5	113,3	214,3	124,6	-2,1	93,1	188,2	224,6	19,3
22,5	113,3	214,3	124,6	-2,1	93,1	188,2	224,6	19,3
22,3	110,8	214,0	141,0	-5,4	86,1	183,3	222,2	19,5
22,3	110,8	214,0	141,0	-5,4	86,1	183,3	222,2	19,5
21,7	107,9	213,0	155,7	-11,6	75,9	175,1	216,6	19,7
21,7	107,9	213,0	155,7	-11,6	75,9	175,1	216,6	19,7
20,8	104,6	211,2	168,7	-20,4	62,5	163,4	207,7	19,9
20,8	104,6	211,2	168,7	-20,4	62,5	163,4	207,7	19,9
19,6	101,0	208,7	180,2	-32,0	45,7	148,4	195,5	20,1
19,6	101,0	208,7	180,2	-32,0	45,7	148,4	195,5	20,1
18,1	97,1	205,6	190,1	-46,2	25,8	130,0	180,0	20,3
18,1	97,1	205,6	190,1	-46,2	25,8	130,0	180,0	20,3
16,3	92,8	201,8	198,5	-63,1	2,6	108,3	161,2	20,5
16,3	92,8	201,8	198,5	-63,1	2,6	108,3	161,2	20,5
14,1	88,2	197,4	205,4	-82,7	-23,9	83,1	139,1	20,7
14,1	88,2	197,4	205,4	-82,7	-23,9	83,1	139,1	20,7
11,7	83,2	192,4	211,0	-104,7	-53,5	54,5	113,6	20,9
11,7	83,2	192,4	211,0	-104,7	-53,5	54,5	113,6	20,9
8,9	78,0	186,8	215,2	-129,3	-86,4	22,6	84,8	21,1
8,9	78,0	186,8	215,2	-129,3	-86,4	22,6	84,8	21,1
5,8	72,4	180,6	218,2	-156,5	-122,5	-12,8	52,7	21,3
5,8	72,4	180,6	218,2	-156,5	-122,5	-12,8	52,7	21,3
2,3	66,5	174,0	219,9	-186,0	-161,8	-51,7	17,3	21,5
2,3	66,5	174,0	219,9	-186,0	-161,8	-51,7	17,3	21,5
-1,4	60,3	166,8	220,4	-218,0	-204,3	-93,9	-21,6	21,7
-1,4	60,3	166,8	220,4	-218,0	-204,3	-93,9	-21,6	21,7
-5,5	53,8	159,1	219,8	-252,4	-249,9	-139,6	-63,8	21,9
-5,5	53,8	159,1	219,8	-252,4	-249,9	-139,6	-63,8	21,9
-9,9	47,0	151,0	218,1	-289,2	-298,7	-188,8	-109,4	22,1
-9,9	47,0	151,0	218,1	-289,2	-298,7	-188,8	-109,4	22,1
-6,5	48,0	150,5	223,6	-248,2	-271,0	-161,7	-78,7	22,3
-6,5	48,0	150,5	223,6	-248,2	-271,0	-161,7	-78,7	22,3
-3,4	48,7	149,5	228,0	-209,6	-246,6	-138,3	-51,5	22,5
-3,4	48,7	149,5	228,0	-209,6	-246,6	-138,3	-51,5	22,5
-0,6	49,1	148,1	231,4	-173,3	-225,5	-118,5	-27,9	22,7
-0,6	49,1	148,1	231,4	-173,3	-225,5	-118,5	-27,9	22,7
1,8	49,2	146,3	233,8	-139,3	-207,6	-102,4	-8,0	22,9
1,8	49,2	146,3	233,8	-139,3	-207,6	-102,4	-8,0	22,9
3,8	49,0	144,0	235,3	-107,6	-193,0	-89,9	8,4	23,1
3,8	49,0	144,0	235,3	-107,6	-193,0	-89,9	8,4	23,1

Dir. L SLE Frequente Momento (kNx1,185m)

5,5	48,4	141,4	235,9	-77,9	-181,5	-81,0	21,2	23,3
5,5	48,4	141,4	235,9	-77,9	-181,5	-81,0	21,2	23,3
6,9	47,6	138,4	235,7	-50,4	-173,3	-75,8	30,3	23,5
6,9	47,6	138,4	235,7	-50,4	-173,3	-75,8	30,3	23,5
7,9	46,5	135,0	234,6	-25,0	-168,2	-74,2	35,8	23,7
7,9	46,5	135,0	234,6	-25,0	-168,2	-74,2	35,8	23,7
8,5	45,1	131,2	232,8	-1,6	-166,2	-76,3	37,6	23,9
8,5	45,1	131,2	232,8	-1,6	-166,2	-76,3	37,6	23,9
8,8	43,4	127,1	230,3	19,9	-167,4	-82,0	35,8	24,1
8,8	43,4	127,1	230,3	19,9	-167,4	-82,0	35,8	24,1
8,7	41,4	122,7	227,0	39,5	-171,6	-91,4	30,3	24,3
8,7	41,4	122,7	227,0	39,5	-171,6	-91,4	30,3	24,3
8,3	39,0	117,9	223,1	57,3	-178,9	-104,4	21,1	24,5
8,3	39,0	117,9	223,1	57,3	-178,9	-104,4	21,1	24,5
7,5	36,4	112,8	218,5	73,2	-189,2	-121,0	8,2	24,7
7,5	36,4	112,8	218,5	73,2	-189,2	-121,0	8,2	24,7
6,4	33,5	107,4	213,2	87,4	-202,5	-141,3	-8,3	24,9
6,4	33,5	107,4	213,2	87,4	-202,5	-141,3	-8,3	24,9
4,9	30,3	101,7	207,4	99,9	-218,8	-165,3	-28,6	25,1
4,9	30,3	101,7	207,4	99,9	-218,8	-165,3	-28,6	25,1
3,0	26,8	95,7	201,1	110,8	-238,0	-192,9	-52,6	25,3
3,0	26,8	95,7	201,1	110,8	-238,0	-192,9	-52,6	25,3
0,8	22,9	89,4	194,1	120,2	-260,1	-224,1	-80,4	25,5
0,8	22,9	89,4	194,1	120,2	-260,1	-224,1	-80,4	25,5
-1,8	18,8	82,7	186,7	127,9	-285,0	-258,9	-111,9	25,7
-1,8	18,8	82,7	186,7	127,9	-285,0	-258,9	-111,9	25,7
-4,8	14,4	75,8	178,7	134,2	-312,7	-297,3	-147,1	25,9
-4,8	14,4	75,8	178,7	134,2	-312,7	-297,3	-147,1	25,9
-8,1	9,6	68,6	170,3	139,1	-343,2	-339,4	-186,2	26,1
-8,1	9,6	68,6	170,3	139,1	-343,2	-339,4	-186,2	26,1
-11,8	4,5	61,2	161,4	142,6	-376,5	-385,0	-229,0	26,3
-11,8	4,5	61,2	161,4	142,6	-376,5	-385,0	-229,0	26,3
-7,6	7,4	61,7	160,4	153,0	-331,3	-353,2	-194,5	26,5
-7,6	7,4	61,7	160,4	153,0	-331,3	-353,2	-194,5	26,5
-3,8	10,0	61,9	158,9	162,2	-288,8	-325,0	-163,9	26,7
-3,8	10,0	61,9	158,9	162,2	-288,8	-325,0	-163,9	26,7
-0,3	12,3	61,9	157,0	170,1	-248,9	-300,3	-137,1	26,9
-0,3	12,3	61,9	157,0	170,1	-248,9	-300,3	-137,1	26,9
2,7	14,2	61,5	154,6	176,8	-211,5	-279,2	-114,0	27,1
2,7	14,2	61,5	154,6	176,8	-211,5	-279,2	-114,0	27,1
5,4	15,9	60,9	151,9	182,3	-176,7	-261,6	-94,9	27,3
5,4	15,9	60,9	151,9	182,3	-176,7	-261,6	-94,9	27,3
7,7	17,1	60,0	148,9	186,7	-144,3	-247,5	-79,5	27,5
7,7	17,1	60,0	148,9	186,7	-144,3	-247,5	-79,5	27,5
9,6	18,1	58,9	145,4	190,1	-114,2	-236,9	-67,9	27,7
9,6	18,1	58,9	145,4	190,1	-114,2	-236,9	-67,9	27,7

Dir. L SLE Frequente Momento (kNx1,185m)

11,2	18,7	57,4	141,6	192,4	-86,5	-229,7	-60,2	27,9
11,2	18,7	57,4	141,6	192,4	-86,5	-229,7	-60,2	27,9
12,3	19,0	55,7	137,5	193,7	-61,1	-225,9	-56,3	28,1
12,3	19,0	55,7	137,5	193,7	-61,1	-225,9	-56,3	28,1
13,1	19,0	53,7	133,0	194,0	-37,8	-225,5	-56,3	28,3
13,1	19,0	53,7	133,0	194,0	-37,8	-225,5	-56,3	28,3
13,4	18,6	51,4	128,3	193,4	-16,7	-228,5	-60,0	28,5
13,4	18,6	51,4	128,3	193,4	-16,7	-228,5	-60,0	28,5
13,4	17,8	48,8	123,1	191,9	2,2	-234,8	-67,6	28,7
13,4	17,8	48,8	123,1	191,9	2,2	-234,8	-67,6	28,7
13,0	16,8	45,9	117,7	189,6	19,2	-244,3	-79,0	28,9
13,0	16,8	45,9	117,7	189,6	19,2	-244,3	-79,0	28,9
12,1	15,3	42,7	112,0	186,4	34,2	-257,1	-94,2	29,1
12,1	15,3	42,7	112,0	186,4	34,2	-257,1	-94,2	29,1
10,9	13,5	39,3	105,9	182,4	47,3	-273,1	-113,2	29,3
10,9	13,5	39,3	105,9	182,4	47,3	-273,1	-113,2	29,3
9,3	11,4	35,5	99,6	177,7	58,5	-292,3	-136,1	29,5
9,3	11,4	35,5	99,6	177,7	58,5	-292,3	-136,1	29,5
7,2	8,8	31,4	92,9	172,2	67,9	-314,5	-162,8	29,7
7,2	8,8	31,4	92,9	172,2	67,9	-314,5	-162,8	29,7
4,8	6,0	27,1	86,0	166,0	75,5	-339,9	-193,3	29,9
4,8	6,0	27,1	86,0	166,0	75,5	-339,9	-193,3	29,9
2,0	2,7	22,4	78,8	159,2	81,5	-368,3	-227,5	30,1
2,0	2,7	22,4	78,8	159,2	81,5	-368,3	-227,5	30,1
-1,3	-0,9	17,4	71,3	151,6	85,9	-399,7	-265,6	30,3
-1,3	-0,9	17,4	71,3	151,6	85,9	-399,7	-265,6	30,3
-5,0	-4,9	12,1	63,4	143,5	88,7	-434,0	-307,5	30,6
-5,0	-4,9	12,1	63,4	143,5	88,7	-434,0	-307,5	30,6
-0,8	-1,0	14,7	63,6	143,0	98,3	-390,0	-272,0	30,8
-0,8	-1,0	14,7	63,6	143,0	98,3	-390,0	-272,0	30,8
3,0	2,5	17,1	63,5	141,9	106,4	-348,9	-240,2	31,0
3,0	2,5	17,1	63,5	141,9	106,4	-348,9	-240,2	31,0
6,4	5,6	19,1	63,1	140,3	113,1	-310,5	-212,2	31,2
6,4	5,6	19,1	63,1	140,3	113,1	-310,5	-212,2	31,2
9,3	8,4	20,7	62,4	138,1	118,5	-274,8	-188,0	31,4
9,3	8,4	20,7	62,4	138,1	118,5	-274,8	-188,0	31,4
11,8	10,7	22,1	61,4	135,4	122,5	-241,8	-167,4	31,6
11,8	10,7	22,1	61,4	135,4	122,5	-241,8	-167,4	31,6
13,9	12,6	23,0	60,2	132,2	125,4	-211,4	-150,6	31,8
13,9	12,6	23,0	60,2	132,2	125,4	-211,4	-150,6	31,8
15,6	14,2	23,7	58,6	128,5	127,0	-183,4	-137,4	32,0
15,6	14,2	23,7	58,6	128,5	127,0	-183,4	-137,4	32,0
16,8	15,3	23,9	56,7	124,3	127,5	-157,9	-127,9	32,2
16,8	15,3	23,9	56,7	124,3	127,5	-157,9	-127,9	32,2
17,6	16,0	23,8	54,5	119,6	126,9	-134,8	-122,1	32,4
17,6	16,0	23,8	54,5	119,6	126,9	-134,8	-122,1	32,4

Dir. L SLE Frequente Momento (kNx1,185m)

17,9	16,3	23,3	52,0	114,5	125,2	-113,9	-119,9	32,6
17,9	16,3	23,3	52,0	114,5	125,2	-113,9	-119,9	32,6
17,8	16,1	22,5	49,2	109,0	122,6	-95,3	-121,2	32,8
17,8	16,1	22,5	49,2	109,0	122,6	-95,3	-121,2	32,8
17,2	15,5	21,3	46,0	103,1	119,0	-78,9	-126,2	33,0
17,2	15,5	21,3	46,0	103,1	119,0	-78,9	-126,2	33,0
16,2	14,5	19,7	42,6	96,7	114,5	-64,5	-134,7	33,2
16,2	14,5	19,7	42,6	96,7	114,5	-64,5	-134,7	33,2
14,8	13,1	17,7	38,8	90,0	109,2	-52,1	-146,7	33,4
14,8	13,1	17,7	38,8	90,0	109,2	-52,1	-146,7	33,4
12,9	11,2	15,3	34,7	82,9	103,1	-41,7	-162,2	33,6
12,9	11,2	15,3	34,7	82,9	103,1	-41,7	-162,2	33,6
10,5	8,9	12,4	30,2	75,4	96,2	-33,2	-181,2	33,8
10,5	8,9	12,4	30,2	75,4	96,2	-33,2	-181,2	33,8
7,7	6,1	9,2	25,4	67,5	88,5	-26,4	-203,6	34,0
7,7	6,1	9,2	25,4	67,5	88,5	-26,4	-203,6	34,0
4,3	2,9	5,6	20,3	59,3	80,2	-21,4	-229,4	34,2
4,3	2,9	5,6	20,3	59,3	80,2	-21,4	-229,4	34,2
0,6	-0,8	1,5	14,7	50,8	71,3	-18,0	-258,7	34,4
0,6	-0,8	1,5	14,7	50,8	71,3	-18,0	-258,7	34,4
-3,7	-5,0	-3,0	8,9	41,9	61,7	-16,2	-291,2	34,6
-3,7	-5,0	-3,0	8,9	41,9	61,7	-16,2	-291,2	34,6
-8,4	-9,7	-8,0	2,6	32,7	51,6	-15,8	-327,1	34,8
-8,4	-9,7	-8,0	2,6	32,7	51,6	-15,8	-327,1	34,8
-5,5	-6,6	-5,2	4,2	31,5	49,5	-9,0	-287,3	35,0
-5,5	-6,6	-5,2	4,2	31,5	49,5	-9,0	-287,3	35,0
-3,0	-4,1	-2,8	5,5	30,1	46,9	-3,3	-250,3	35,2
-3,0	-4,1	-2,8	5,5	30,1	46,9	-3,3	-250,3	35,2
-0,9	-1,9	-0,9	6,4	28,4	43,9	1,2	-216,3	35,4
-0,9	-1,9	-0,9	6,4	28,4	43,9	1,2	-216,3	35,4
0,7	-0,2	0,6	7,0	26,5	40,6	4,7	-185,1	35,6
0,7	-0,2	0,6	7,0	26,5	40,6	4,7	-185,1	35,6
1,8	1,1	1,7	7,2	24,3	36,9	7,1	-156,7	35,8
1,8	1,1	1,7	7,2	24,3	36,9	7,1	-156,7	35,8
2,6	1,9	2,4	7,1	21,8	33,0	8,5	-131,0	36,0
2,6	1,9	2,4	7,1	21,8	33,0	8,5	-131,0	36,0
2,8	2,2	2,6	6,5	19,1	28,8	9,1	-108,1	36,1
2,8	2,2	2,6	6,5	19,1	28,8	9,1	-108,1	36,1
2,6	2,1	2,4	5,7	16,2	24,4	8,9	-87,9	36,3
2,6	2,1	2,4	5,7	16,2	24,4	8,9	-87,9	36,3
2,0	1,6	1,8	4,4	13,0	19,8	7,9	-70,4	36,5
2,0	1,6	1,8	4,4	13,0	19,8	7,9	-70,4	36,5
0,9	0,5	0,7	2,7	9,6	15,0	6,2	-55,4	36,7
0,9	0,5	0,7	2,7	9,6	15,0	6,2	-55,4	36,7
-0,7	-1,0	-0,9	0,7	6,0	10,1	3,8	-43,1	36,9
-0,7	-1,0	-0,9	0,7	6,0	10,1	3,8	-43,1	36,9

[illegible][illegible]

Dir. L SLE Frequente Taglio (kNx1,185)

PVVVVVVV	PPVVVVVV	PPPVVVVV	PPPPVVVV	PPPPPVVV	PPPPPPVV	PPPPPPV	PPPPPPPP	x
-8,3	-9,1	-8,2	-7,4	-7,1	-7,1	-7,2	-7,2	0,0
-8,3	-9,1	-8,2	-7,4	-7,1	-7,1	-7,2	-7,2	0,2
-24,6	-27,4	-24,8	-22,4	-21,8	-21,7	-21,9	-22,0	0,2
-24,6	-27,4	-24,8	-22,4	-21,8	-21,7	-21,9	-22,0	0,5
-40,8	-45,6	-41,6	-37,8	-36,7	-36,7	-36,9	-37,0	0,5
-40,8	-45,6	-41,6	-37,8	-36,7	-36,7	-36,9	-37,0	0,7
-46,7	-53,7	-48,6	-43,4	-42,0	-41,9	-42,1	-42,3	0,7
-46,7	-53,7	-48,6	-43,4	-42,0	-41,9	-42,1	-42,3	0,9
-50,1	-59,4	-53,3	-47,1	-45,3	-45,1	-45,4	-45,7	0,9
-50,1	-59,4	-53,3	-47,1	-45,3	-45,1	-45,4	-45,7	1,1
-55,3	-67,0	-60,1	-52,8	-50,6	-50,4	-50,7	-51,1	1,1
-55,3	-67,0	-60,1	-52,8	-50,6	-50,4	-50,7	-51,1	1,3
-69,1	-83,5	-76,0	-67,7	-65,1	-64,8	-65,2	-65,6	1,3
-69,1	-83,5	-76,0	-67,7	-65,1	-64,8	-65,2	-65,6	1,5
-82,8	-100,0	-92,1	-82,8	-79,8	-79,5	-79,9	-80,3	1,5
-82,8	-100,0	-92,1	-82,8	-79,8	-79,5	-79,9	-80,3	1,7
-96,3	-116,6	-108,4	-98,2	-94,9	-94,4	-94,9	-95,3	1,7
-96,3	-116,6	-108,4	-98,2	-94,9	-94,4	-94,9	-95,3	1,9
-109,6	-133,2	-124,9	-113,9	-110,1	-109,6	-110,1	-110,6	1,9
-109,6	-133,2	-124,9	-113,9	-110,1	-109,6	-110,1	-110,6	2,1
-122,8	-149,8	-141,5	-129,8	-125,7	-125,0	-125,5	-126,0	2,1
-122,8	-149,8	-141,5	-129,8	-125,7	-125,0	-125,5	-126,0	2,4
-135,7	-166,5	-158,4	-146,0	-141,4	-140,7	-141,2	-141,8	2,4
-135,7	-166,5	-158,4	-146,0	-141,4	-140,7	-141,2	-141,8	2,6
-148,5	-183,1	-175,4	-162,4	-157,5	-156,6	-157,1	-157,7	2,6
-148,5	-183,1	-175,4	-162,4	-157,5	-156,6	-157,1	-157,7	2,8
-161,1	-199,7	-192,5	-179,0	-173,8	-172,7	-173,2	-173,9	2,8
-161,1	-199,7	-192,5	-179,0	-173,8	-172,7	-173,2	-173,9	3,0
-173,6	-216,4	-209,9	-195,9	-190,3	-189,1	-189,6	-190,3	3,0
-173,6	-216,4	-209,9	-195,9	-190,3	-189,1	-189,6	-190,3	3,2
-185,8	-233,0	-227,4	-213,0	-207,0	-205,7	-206,1	-206,9	3,2
-185,8	-233,0	-227,4	-213,0	-207,0	-205,7	-206,1	-206,9	3,4
203,4	151,7	156,3	171,0	177,3	178,8	178,4	177,6	3,4
203,4	151,7	156,3	171,0	177,3	178,8	178,4	177,6	3,6
192,0	135,7	139,1	154,0	160,7	162,4	162,0	161,2	3,6
192,0	135,7	139,1	154,0	160,7	162,4	162,0	161,2	3,8
180,9	119,8	121,9	136,9	144,0	145,8	145,4	144,6	3,8
180,9	119,8	121,9	136,9	144,0	145,8	145,4	144,6	4,0
169,9	103,9	104,5	119,6	127,0	129,0	128,7	127,8	4,0
169,9	103,9	104,5	119,6	127,0	129,0	128,7	127,8	4,2
159,2	88,1	87,0	102,1	109,9	112,1	111,8	110,9	4,2
159,2	88,1	87,0	102,1	109,9	112,1	111,8	110,9	4,4
148,8	72,4	69,5	84,5	92,6	95,0	94,8	93,9	4,4
148,8	72,4	69,5	84,5	92,6	95,0	94,8	93,9	4,6
138,5	56,7	51,9	66,7	75,2	77,8	77,6	76,7	4,6

Dir. L SLE Frequente Taglio (kNx1,185)

138,5	56,7	51,9	66,7	75,2	77,8	77,6	76,7	4,8
128,6	41,2	34,2	48,8	57,6	60,4	60,3	59,4	4,8
128,6	41,2	34,2	48,8	57,6	60,4	60,3	59,4	5,0
118,9	25,8	16,5	30,8	39,9	42,9	42,9	42,0	5,0
118,9	25,8	16,5	30,8	39,9	42,9	42,9	42,0	5,2
109,4	10,5	-1,3	12,6	22,0	25,3	25,4	24,4	5,2
109,4	10,5	-1,3	12,6	22,0	25,3	25,4	24,4	5,4
100,2	-4,7	-19,1	-5,7	4,0	7,5	7,7	6,7	5,4
100,2	-4,7	-19,1	-5,7	4,0	7,5	7,7	6,7	5,6
91,2	-19,7	-36,9	-24,1	-14,1	-10,4	-10,1	-11,1	5,6
91,2	-19,7	-36,9	-24,1	-14,1	-10,4	-10,1	-11,1	5,8
82,5	-34,6	-54,8	-42,7	-32,3	-28,4	-28,0	-29,0	5,8
82,5	-34,6	-54,8	-42,7	-32,3	-28,4	-28,0	-29,0	6,0
74,1	-49,4	-72,7	-61,3	-50,7	-46,5	-46,0	-47,0	6,0
74,1	-49,4	-72,7	-61,3	-50,7	-46,5	-46,0	-47,0	6,2
65,8	-64,0	-90,6	-80,1	-69,2	-64,7	-64,1	-65,1	6,2
65,8	-64,0	-90,6	-80,1	-69,2	-64,7	-64,1	-65,1	6,4
57,9	-78,5	-108,5	-99,0	-87,8	-83,1	-82,3	-83,3	6,4
57,9	-78,5	-108,5	-99,0	-87,8	-83,1	-82,3	-83,3	6,6
50,2	-92,7	-126,4	-117,9	-106,5	-101,5	-100,6	-101,6	6,6
50,2	-92,7	-126,4	-117,9	-106,5	-101,5	-100,6	-101,6	6,8
42,7	-106,8	-144,3	-137,0	-125,3	-120,0	-119,0	-120,0	6,8
42,7	-106,8	-144,3	-137,0	-125,3	-120,0	-119,0	-120,0	7,0
35,5	-120,7	-162,2	-156,1	-144,3	-138,7	-137,5	-138,5	7,0
35,5	-120,7	-162,2	-156,1	-144,3	-138,7	-137,5	-138,5	7,2
28,5	-134,4	-180,1	-175,3	-163,3	-157,4	-156,1	-157,0	7,2
28,5	-134,4	-180,1	-175,3	-163,3	-157,4	-156,1	-157,0	7,4
21,7	-147,9	-197,9	-194,6	-182,4	-176,2	-174,7	-175,6	7,4
21,7	-147,9	-197,9	-194,6	-182,4	-176,2	-174,7	-175,6	7,7
56,2	239,8	185,4	187,1	199,5	205,9	207,6	206,7	7,7
56,2	239,8	185,4	187,1	199,5	205,9	207,6	206,7	7,9
49,9	226,8	167,7	167,8	180,3	187,0	188,8	188,0	7,9
49,9	226,8	167,7	167,8	180,3	187,0	188,8	188,0	8,1
43,8	214,0	150,2	148,4	161,0	168,0	170,0	169,2	8,1
43,8	214,0	150,2	148,4	161,0	168,0	170,0	169,2	8,3
37,9	201,4	132,7	129,0	141,7	149,0	151,2	150,4	8,3
37,9	201,4	132,7	129,0	141,7	149,0	151,2	150,4	8,5
32,3	189,2	115,3	109,6	122,3	129,9	132,3	131,6	8,5
32,3	189,2	115,3	109,6	122,3	129,9	132,3	131,6	8,7
26,8	177,2	98,1	90,1	102,9	110,9	113,4	112,8	8,7
26,8	177,2	98,1	90,1	102,9	110,9	113,4	112,8	8,9
21,5	165,4	81,0	70,7	83,5	91,7	94,5	93,9	8,9
21,5	165,4	81,0	70,7	83,5	91,7	94,5	93,9	9,1
16,5	154,0	64,0	51,3	64,0	72,6	75,6	75,0	9,1
16,5	154,0	64,0	51,3	64,0	72,6	75,6	75,0	9,3
11,6	142,8	47,2	32,0	44,6	53,4	56,7	56,1	9,3

Dir. L SLE Frequente Taglio (kNx1,185)

11,6	142,8	47,2	32,0	44,6	53,4	56,7	56,1	9,5
6,9	132,0	30,5	12,6	25,1	34,2	37,7	37,3	9,5
6,9	132,0	30,5	12,6	25,1	34,2	37,7	37,3	9,7
2,3	121,4	14,0	-6,7	5,6	15,0	18,7	18,4	9,7
2,3	121,4	14,0	-6,7	5,6	15,0	18,7	18,4	9,9
-2,0	111,1	-2,3	-26,0	-13,9	-4,2	-0,3	-0,5	9,9
-2,0	111,1	-2,3	-26,0	-13,9	-4,2	-0,3	-0,5	10,1
-6,2	101,1	-18,5	-45,3	-33,4	-23,4	-19,2	-19,4	10,1
-6,2	101,1	-18,5	-45,3	-33,4	-23,4	-19,2	-19,4	10,3
-10,3	91,4	-34,5	-64,5	-53,0	-42,7	-38,2	-38,3	10,3
-10,3	91,4	-34,5	-64,5	-53,0	-42,7	-38,2	-38,3	10,5
-14,2	82,0	-50,2	-83,7	-72,5	-62,0	-57,2	-57,2	10,5
-14,2	82,0	-50,2	-83,7	-72,5	-62,0	-57,2	-57,2	10,7
-17,9	72,9	-65,8	-102,8	-92,0	-81,2	-76,2	-76,1	10,7
-17,9	72,9	-65,8	-102,8	-92,0	-81,2	-76,2	-76,1	10,9
-21,5	64,0	-81,2	-121,8	-111,5	-100,5	-95,2	-95,0	10,9
-21,5	64,0	-81,2	-121,8	-111,5	-100,5	-95,2	-95,0	11,1
-25,0	55,4	-96,3	-140,8	-131,0	-119,8	-114,2	-113,9	11,1
-25,0	55,4	-96,3	-140,8	-131,0	-119,8	-114,2	-113,9	11,3
-28,4	47,2	-111,2	-159,7	-150,5	-139,0	-133,2	-132,7	11,3
-28,4	47,2	-111,2	-159,7	-150,5	-139,0	-133,2	-132,7	11,5
-31,6	39,1	-125,9	-178,5	-170,0	-158,3	-152,2	-151,6	11,5
-31,6	39,1	-125,9	-178,5	-170,0	-158,3	-152,2	-151,6	11,7
-34,8	31,4	-140,3	-197,2	-189,4	-177,6	-171,2	-170,4	11,7
-34,8	31,4	-140,3	-197,2	-189,4	-177,6	-171,2	-170,4	11,9
3,2	64,9	246,6	185,3	192,2	204,2	210,9	211,8	11,9
3,2	64,9	246,6	185,3	192,2	204,2	210,9	211,8	12,1
0,3	57,7	232,7	166,8	173,0	185,1	192,1	193,1	12,1
0,3	57,7	232,7	166,8	173,0	185,1	192,1	193,1	12,3
-2,5	50,8	219,1	148,6	153,7	165,9	173,2	174,5	12,3
-2,5	50,8	219,1	148,6	153,7	165,9	173,2	174,5	12,5
-5,2	44,1	205,8	130,4	134,5	146,8	154,4	155,9	12,5
-5,2	44,1	205,8	130,4	134,5	146,8	154,4	155,9	12,7
-7,8	37,6	192,9	112,4	115,4	127,8	135,7	137,3	12,7
-7,8	37,6	192,9	112,4	115,4	127,8	135,7	137,3	12,9
-10,4	31,4	180,2	94,6	96,4	108,8	117,0	118,8	12,9
-10,4	31,4	180,2	94,6	96,4	108,8	117,0	118,8	13,1
-12,8	25,4	167,8	77,0	77,4	89,8	98,3	100,3	13,1
-12,8	25,4	167,8	77,0	77,4	89,8	98,3	100,3	13,3
-15,2	19,6	155,7	59,5	58,6	70,9	79,7	81,9	13,3
-15,2	19,6	155,7	59,5	58,6	70,9	79,7	81,9	13,5
-17,5	14,1	144,0	42,2	39,8	52,0	61,1	63,6	13,5
-17,5	14,1	144,0	42,2	39,8	52,0	61,1	63,6	13,7
-19,8	8,7	132,6	25,1	21,1	33,2	42,6	45,3	13,7
-19,8	8,7	132,6	25,1	21,1	33,2	42,6	45,3	13,9
-22,0	3,6	121,5	8,3	2,5	14,5	24,1	27,1	13,9

Dir. L SLE Frequente Taglio (kNx1,185)

-22,0	3,6	121,5	8,3	2,5	14,5	24,1	27,1	14,1
-24,1	-1,3	110,7	-8,4	-16,1	-4,2	5,7	8,9	14,1
-24,1	-1,3	110,7	-8,4	-16,1	-4,2	5,7	8,9	14,3
-26,2	-6,1	100,2	-24,9	-34,5	-22,9	-12,7	-9,2	14,3
-26,2	-6,1	100,2	-24,9	-34,5	-22,9	-12,7	-9,2	14,5
-28,2	-10,6	90,0	-41,2	-52,8	-41,5	-31,0	-27,3	14,5
-28,2	-10,6	90,0	-41,2	-52,8	-41,5	-31,0	-27,3	14,7
-30,2	-15,0	80,2	-57,2	-71,0	-60,1	-49,3	-45,3	14,7
-30,2	-15,0	80,2	-57,2	-71,0	-60,1	-49,3	-45,3	14,9
-32,1	-19,3	70,7	-73,0	-89,1	-78,6	-67,6	-63,3	14,9
-32,1	-19,3	70,7	-73,0	-89,1	-78,6	-67,6	-63,3	15,1
-34,0	-23,3	61,4	-88,6	-107,1	-97,1	-85,8	-81,2	15,1
-34,0	-23,3	61,4	-88,6	-107,1	-97,1	-85,8	-81,2	15,3
-35,9	-27,2	52,5	-103,9	-125,0	-115,5	-104,0	-99,0	15,3
-35,9	-27,2	52,5	-103,9	-125,0	-115,5	-104,0	-99,0	15,5
-37,8	-31,0	43,9	-119,0	-142,7	-133,8	-122,2	-116,8	15,5
-37,8	-31,0	43,9	-119,0	-142,7	-133,8	-122,2	-116,8	15,7
-39,6	-34,6	35,6	-133,8	-160,4	-152,1	-140,3	-134,6	15,7
-39,6	-34,6	35,6	-133,8	-160,4	-152,1	-140,3	-134,6	15,9
-41,4	-38,0	27,5	-148,3	-177,9	-170,3	-158,3	-152,3	15,9
-41,4	-38,0	27,5	-148,3	-177,9	-170,3	-158,3	-152,3	16,1
-2,1	-0,3	60,9	238,6	206,0	212,7	224,9	231,2	16,1
-2,1	-0,3	60,9	238,6	206,0	212,7	224,9	231,2	16,3
-3,8	-3,5	53,6	225,0	189,2	195,0	207,3	214,0	16,3
-3,8	-3,5	53,6	225,0	189,2	195,0	207,3	214,0	16,5
-5,5	-6,5	46,5	211,6	172,5	177,4	189,8	196,9	16,5
-5,5	-6,5	46,5	211,6	172,5	177,4	189,8	196,9	16,7
-7,1	-9,4	39,7	198,5	156,0	159,9	172,4	179,9	16,7
-7,1	-9,4	39,7	198,5	156,0	159,9	172,4	179,9	16,9
-8,8	-12,2	33,2	185,7	139,6	142,4	155,0	162,8	16,9
-8,8	-12,2	33,2	185,7	139,6	142,4	155,0	162,8	17,1
-10,4	-14,9	26,9	173,3	123,4	125,1	137,7	145,9	17,1
-10,4	-14,9	26,9	173,3	123,4	125,1	137,7	145,9	17,3
-12,1	-17,5	20,9	161,1	107,4	107,8	120,4	129,0	17,3
-12,1	-17,5	20,9	161,1	107,4	107,8	120,4	129,0	17,5
-13,7	-20,1	15,0	149,3	91,6	90,5	103,1	112,1	17,5
-13,7	-20,1	15,0	149,3	91,6	90,5	103,1	112,1	17,7
-15,3	-22,5	9,4	137,7	75,9	73,4	85,9	95,3	17,7
-15,3	-22,5	9,4	137,7	75,9	73,4	85,9	95,3	17,9
-16,9	-24,9	4,1	126,5	60,4	56,3	68,7	78,6	17,9
-16,9	-24,9	4,1	126,5	60,4	56,3	68,7	78,6	18,1
-18,5	-27,2	-1,1	115,6	45,1	39,3	51,5	61,8	18,1
-18,5	-27,2	-1,1	115,6	45,1	39,3	51,5	61,8	18,3
-20,1	-29,4	-6,1	105,0	29,9	22,4	34,4	45,1	18,3
-20,1	-29,4	-6,1	105,0	29,9	22,4	34,4	45,1	18,5
-21,7	-31,5	-10,8	94,8	14,9	5,5	17,3	28,4	18,5

Dir. L SLE Frequente Taglio (kNx1,185)

-21,7	-31,5	-10,8	94,8	14,9	5,5	17,3	28,4	18,7
-23,3	-33,6	-15,4	84,8	0,1	-11,3	0,2	11,8	18,7
-23,3	-33,6	-15,4	84,8	0,1	-11,3	0,2	11,8	18,9
-16,5	-27,3	-11,5	83,4	-6,3	-19,9	-8,7	3,4	18,9
-16,5	-27,3	-11,5	83,4	-6,3	-19,9	-8,7	3,4	19,1
-8,0	-19,2	-5,7	84,1	-10,9	-26,7	-15,9	-3,4	19,1
-8,0	-19,2	-5,7	84,1	-10,9	-26,7	-15,9	-3,4	19,3
-1,3	-12,8	-1,4	83,3	-16,9	-35,2	-24,8	-11,9	19,3
-1,3	-12,8	-1,4	83,3	-16,9	-35,2	-24,8	-11,9	19,5
-2,9	-14,7	-5,3	74,6	-31,0	-51,8	-41,9	-28,5	19,5
-2,9	-14,7	-5,3	74,6	-31,0	-51,8	-41,9	-28,5	19,7
-4,5	-16,5	-9,0	66,2	-45,0	-68,3	-59,0	-45,2	19,7
-4,5	-16,5	-9,0	66,2	-45,0	-68,3	-59,0	-45,2	19,9
-6,1	-18,3	-12,6	58,0	-58,7	-84,8	-76,1	-61,9	19,9
-6,1	-18,3	-12,6	58,0	-58,7	-84,8	-76,1	-61,9	20,1
-7,7	-20,0	-16,0	50,2	-72,3	-101,3	-93,3	-78,6	20,1
-7,7	-20,0	-16,0	50,2	-72,3	-101,3	-93,3	-78,6	20,3
-9,3	-21,7	-19,3	42,6	-85,7	-117,7	-110,4	-95,4	20,3
-9,3	-21,7	-19,3	42,6	-85,7	-117,7	-110,4	-95,4	20,5
-10,9	-23,4	-22,4	35,3	-98,9	-134,1	-127,7	-112,2	20,5
-10,9	-23,4	-22,4	35,3	-98,9	-134,1	-127,7	-112,2	20,7
-12,5	-25,1	-25,4	28,3	-112,0	-150,5	-144,9	-129,1	20,7
-12,5	-25,1	-25,4	28,3	-112,0	-150,5	-144,9	-129,1	20,9
-14,1	-26,7	-28,3	21,5	-124,9	-166,8	-162,2	-146,0	20,9
-14,1	-26,7	-28,3	21,5	-124,9	-166,8	-162,2	-146,0	21,1
-15,8	-28,3	-31,1	15,0	-137,5	-183,0	-179,6	-162,9	21,1
-15,8	-28,3	-31,1	15,0	-137,5	-183,0	-179,6	-162,9	21,3
-17,4	-29,9	-33,8	8,7	-150,0	-199,3	-196,9	-179,9	21,3
-17,4	-29,9	-33,8	8,7	-150,0	-199,3	-196,9	-179,9	21,5
-19,0	-31,4	-36,4	2,7	-162,3	-215,4	-214,3	-197,0	21,5
-19,0	-31,4	-36,4	2,7	-162,3	-215,4	-214,3	-197,0	21,7
-20,7	-33,0	-38,9	-3,1	-174,4	-231,6	-231,8	-214,1	21,7
-20,7	-33,0	-38,9	-3,1	-174,4	-231,6	-231,8	-214,1	21,9
-22,3	-34,5	-41,2	-8,6	-186,3	-247,6	-249,3	-231,3	21,9
-22,3	-34,5	-41,2	-8,6	-186,3	-247,6	-249,3	-231,3	22,1
17,0	5,0	-2,6	27,0	202,9	137,2	134,0	152,2	22,1
17,0	5,0	-2,6	27,0	202,9	137,2	134,0	152,2	22,3
15,3	3,5	-4,8	21,8	191,1	120,9	116,0	134,5	22,3
15,3	3,5	-4,8	21,8	191,1	120,9	116,0	134,5	22,5
13,6	1,9	-7,0	16,8	179,6	104,7	98,0	116,7	22,5
13,6	1,9	-7,0	16,8	179,6	104,7	98,0	116,7	22,7
11,9	0,4	-9,1	12,0	168,4	88,6	80,0	98,9	22,7
11,9	0,4	-9,1	12,0	168,4	88,6	80,0	98,9	22,9
10,1	-1,1	-11,1	7,4	157,4	72,5	61,9	81,1	22,9
10,1	-1,1	-11,1	7,4	157,4	72,5	61,9	81,1	23,1
8,4	-2,6	-13,1	3,0	146,7	56,6	43,9	63,1	23,1

Dir. L SLE Frequente Taglio (kNx1,185)

8,4	-2,6	-13,1	3,0	146,7	56,6	43,9	63,1	23,3
6,7	-4,1	-15,0	-1,2	136,2	40,9	25,8	45,2	23,3
6,7	-4,1	-15,0	-1,2	136,2	40,9	25,8	45,2	23,5
4,9	-5,5	-16,8	-5,2	126,0	25,2	7,8	27,2	23,5
4,9	-5,5	-16,8	-5,2	126,0	25,2	7,8	27,2	23,7
3,2	-7,0	-18,6	-9,0	116,1	9,7	-10,3	9,1	23,7
3,2	-7,0	-18,6	-9,0	116,1	9,7	-10,3	9,1	23,9
1,4	-8,5	-20,3	-12,7	106,4	-5,7	-28,3	-9,0	23,9
1,4	-8,5	-20,3	-12,7	106,4	-5,7	-28,3	-9,0	24,1
-0,3	-10,0	-22,0	-16,2	97,0	-21,0	-46,4	-27,2	24,1
-0,3	-10,0	-22,0	-16,2	97,0	-21,0	-46,4	-27,2	24,3
-2,1	-11,5	-23,6	-19,5	87,9	-36,1	-64,5	-45,4	24,3
-2,1	-11,5	-23,6	-19,5	87,9	-36,1	-64,5	-45,4	24,5
-3,9	-13,0	-25,2	-22,8	79,0	-51,1	-82,5	-63,7	24,5
-3,9	-13,0	-25,2	-22,8	79,0	-51,1	-82,5	-63,7	24,7
-5,6	-14,4	-26,8	-25,8	70,4	-65,9	-100,5	-82,1	24,7
-5,6	-14,4	-26,8	-25,8	70,4	-65,9	-100,5	-82,1	24,9
-7,4	-15,9	-28,3	-28,8	62,1	-80,5	-118,6	-100,5	24,9
-7,4	-15,9	-28,3	-28,8	62,1	-80,5	-118,6	-100,5	25,1
-9,2	-17,4	-29,8	-31,6	54,0	-95,0	-136,6	-118,9	25,1
-9,2	-17,4	-29,8	-31,6	54,0	-95,0	-136,6	-118,9	25,3
-11,1	-19,0	-31,3	-34,3	46,1	-109,3	-154,5	-137,4	25,3
-11,1	-19,0	-31,3	-34,3	46,1	-109,3	-154,5	-137,4	25,5
-12,9	-20,5	-32,8	-36,9	38,5	-123,4	-172,5	-156,0	25,5
-12,9	-20,5	-32,8	-36,9	38,5	-123,4	-172,5	-156,0	25,7
-14,7	-22,0	-34,2	-39,4	31,2	-137,4	-190,4	-174,6	25,7
-14,7	-22,0	-34,2	-39,4	31,2	-137,4	-190,4	-174,6	25,9
-16,5	-23,5	-35,6	-41,7	24,1	-151,1	-208,3	-193,3	25,9
-16,5	-23,5	-35,6	-41,7	24,1	-151,1	-208,3	-193,3	26,1
-18,4	-25,1	-37,1	-44,0	17,3	-164,6	-226,1	-212,0	26,1
-18,4	-25,1	-37,1	-44,0	17,3	-164,6	-226,1	-212,0	26,3
20,8	14,4	2,5	-5,3	51,6	223,1	157,2	170,2	26,3
20,8	14,4	2,5	-5,3	51,6	223,1	157,2	170,2	26,5
18,9	12,8	1,1	-7,4	45,2	210,0	139,5	151,4	26,5
18,9	12,8	1,1	-7,4	45,2	210,0	139,5	151,4	26,7
17,0	11,2	-0,2	-9,4	39,0	197,2	121,9	132,6	26,7
17,0	11,2	-0,2	-9,4	39,0	197,2	121,9	132,6	26,9
15,2	9,6	-1,6	-11,4	33,1	184,6	104,3	113,7	26,9
15,2	9,6	-1,6	-11,4	33,1	184,6	104,3	113,7	27,1
13,3	8,0	-3,0	-13,3	27,3	172,3	86,9	94,8	27,1
13,3	8,0	-3,0	-13,3	27,3	172,3	86,9	94,8	27,3
11,4	6,4	-4,4	-15,2	21,8	160,2	69,7	75,9	27,3
11,4	6,4	-4,4	-15,2	21,8	160,2	69,7	75,9	27,5
9,5	4,7	-5,8	-17,0	16,5	148,4	52,5	57,0	27,5
9,5	4,7	-5,8	-17,0	16,5	148,4	52,5	57,0	27,7
7,6	3,1	-7,2	-18,7	11,3	136,9	35,5	38,1	27,7

Dir. L SLE Frequente Taglio (kNx1,185)

7,6	3,1	-7,2	-18,7	11,3	136,9	35,5	38,1	27,9
5,6	1,4	-8,6	-20,4	6,4	125,7	18,7	19,2	27,9
5,6	1,4	-8,6	-20,4	6,4	125,7	18,7	19,2	28,1
3,7	-0,2	-10,0	-22,1	1,6	114,8	1,9	0,3	28,1
3,7	-0,2	-10,0	-22,1	1,6	114,8	1,9	0,3	28,3
1,8	-1,9	-11,4	-23,7	-2,9	104,2	-14,6	-18,5	28,3
1,8	-1,9	-11,4	-23,7	-2,9	104,2	-14,6	-18,5	28,5
-0,2	-3,6	-12,8	-25,3	-7,4	93,8	-31,0	-37,4	28,5
-0,2	-3,6	-12,8	-25,3	-7,4	93,8	-31,0	-37,4	28,7
-2,1	-5,4	-14,2	-26,8	-11,6	83,8	-47,2	-56,3	28,7
-2,1	-5,4	-14,2	-26,8	-11,6	83,8	-47,2	-56,3	28,9
-4,1	-7,1	-15,7	-28,3	-15,7	74,0	-63,2	-75,2	28,9
-4,1	-7,1	-15,7	-28,3	-15,7	74,0	-63,2	-75,2	29,1
-6,1	-8,9	-17,1	-29,9	-19,6	64,6	-79,1	-94,1	29,1
-6,1	-8,9	-17,1	-29,9	-19,6	64,6	-79,1	-94,1	29,3
-8,0	-10,6	-18,6	-31,3	-23,4	55,4	-94,7	-112,9	29,3
-8,0	-10,6	-18,6	-31,3	-23,4	55,4	-94,7	-112,9	29,5
-10,0	-12,4	-20,1	-32,8	-27,1	46,5	-110,1	-131,8	29,5
-10,0	-12,4	-20,1	-32,8	-27,1	46,5	-110,1	-131,8	29,7
-12,1	-14,3	-21,6	-34,3	-30,6	37,9	-125,3	-150,6	29,7
-12,1	-14,3	-21,6	-34,3	-30,6	37,9	-125,3	-150,6	29,9
-14,1	-16,1	-23,1	-35,7	-33,9	29,6	-140,3	-169,4	29,9
-14,1	-16,1	-23,1	-35,7	-33,9	29,6	-140,3	-169,4	30,1
-16,1	-17,9	-24,7	-37,2	-37,2	21,6	-155,0	-188,1	30,1
-16,1	-17,9	-24,7	-37,2	-37,2	21,6	-155,0	-188,1	30,3
-18,2	-19,8	-26,3	-38,6	-40,3	13,8	-169,5	-206,9	30,3
-18,2	-19,8	-26,3	-38,6	-40,3	13,8	-169,5	-206,9	30,6
20,8	19,3	13,1	0,9	-2,4	47,3	217,2	175,5	30,6
20,8	19,3	13,1	0,9	-2,4	47,3	217,2	175,5	30,8
18,7	17,4	11,5	-0,5	-5,3	40,1	203,3	156,9	30,8
18,7	17,4	11,5	-0,5	-5,3	40,1	203,3	156,9	31,0
16,6	15,5	9,9	-2,0	-8,1	33,2	189,6	138,3	31,0
16,6	15,5	9,9	-2,0	-8,1	33,2	189,6	138,3	31,2
14,5	13,5	8,2	-3,4	-10,8	26,5	176,3	119,9	31,2
14,5	13,5	8,2	-3,4	-10,8	26,5	176,3	119,9	31,4
12,4	11,5	6,5	-4,9	-13,4	20,1	163,2	101,5	31,4
12,4	11,5	6,5	-4,9	-13,4	20,1	163,2	101,5	31,6
10,3	9,6	4,8	-6,4	-15,9	14,0	150,5	83,2	31,6
10,3	9,6	4,8	-6,4	-15,9	14,0	150,5	83,2	31,8
8,2	7,5	3,1	-7,8	-18,3	8,1	138,1	65,0	31,8
8,2	7,5	3,1	-7,8	-18,3	8,1	138,1	65,0	32,0
6,0	5,5	1,3	-9,3	-20,7	2,4	126,0	46,9	32,0
6,0	5,5	1,3	-9,3	-20,7	2,4	126,0	46,9	32,2
3,8	3,5	-0,5	-10,8	-23,0	-3,0	114,3	28,9	32,2
3,8	3,5	-0,5	-10,8	-23,0	-3,0	114,3	28,9	32,4
1,7	1,4	-2,3	-12,4	-25,2	-8,1	103,0	11,0	32,4

Dir. L SLE Frequente Taglio (kNx1,185)

1,7	1,4	-2,3	-12,4	-25,2	-8,1	103,0	11,0	32,6
-0,5	-0,7	-4,2	-13,9	-27,3	-13,0	91,9	-6,8	32,6
-0,5	-0,7	-4,2	-13,9	-27,3	-13,0	91,9	-6,8	32,8
-2,7	-2,8	-6,1	-15,5	-29,4	-17,7	81,3	-24,4	32,8
-2,7	-2,8	-6,1	-15,5	-29,4	-17,7	81,3	-24,4	33,0
-5,0	-5,0	-8,0	-17,1	-31,4	-22,1	71,0	-41,9	33,0
-5,0	-5,0	-8,0	-17,1	-31,4	-22,1	71,0	-41,9	33,2
-7,2	-7,1	-9,9	-18,7	-33,3	-26,4	61,0	-59,4	33,2
-7,2	-7,1	-9,9	-18,7	-33,3	-26,4	61,0	-59,4	33,4
-9,4	-9,3	-11,9	-20,4	-35,2	-30,4	51,4	-76,6	33,4
-9,4	-9,3	-11,9	-20,4	-35,2	-30,4	51,4	-76,6	33,6
-11,7	-11,5	-13,9	-22,0	-37,0	-34,1	42,2	-93,8	33,6
-11,7	-11,5	-13,9	-22,0	-37,0	-34,1	42,2	-93,8	33,8
-14,0	-13,8	-15,9	-23,7	-38,8	-37,7	33,4	-110,8	33,8
-14,0	-13,8	-15,9	-23,7	-38,8	-37,7	33,4	-110,8	34,0
-16,3	-16,0	-18,0	-25,5	-40,5	-41,0	24,9	-127,7	34,0
-16,3	-16,0	-18,0	-25,5	-40,5	-41,0	24,9	-127,7	34,2
-18,7	-18,3	-20,1	-27,2	-42,2	-44,2	16,8	-144,4	34,2
-18,7	-18,3	-20,1	-27,2	-42,2	-44,2	16,8	-144,4	34,4
-21,0	-20,6	-22,3	-29,0	-43,9	-47,1	9,0	-161,0	34,4
-21,0	-20,6	-22,3	-29,0	-43,9	-47,1	9,0	-161,0	34,6
-23,4	-23,0	-24,4	-30,8	-45,5	-49,8	1,7	-177,3	34,6
-23,4	-23,0	-24,4	-30,8	-45,5	-49,8	1,7	-177,3	34,8
15,3	15,7	14,4	8,4	-6,0	-11,3	35,8	207,9	34,8
15,3	15,7	14,4	8,4	-6,0	-11,3	35,8	207,9	35,0
13,0	13,5	12,3	6,6	-7,4	-13,5	29,5	192,7	35,0
13,0	13,5	12,3	6,6	-7,4	-13,5	29,5	192,7	35,2
10,7	11,2	10,1	4,8	-8,8	-15,5	23,6	177,7	35,2
10,7	11,2	10,1	4,8	-8,8	-15,5	23,6	177,7	35,4
8,4	8,9	8,0	3,0	-10,2	-17,4	17,9	162,8	35,4
8,4	8,9	8,0	3,0	-10,2	-17,4	17,9	162,8	35,6
6,1	6,6	5,8	1,1	-11,5	-19,1	12,6	148,2	35,6
6,1	6,6	5,8	1,1	-11,5	-19,1	12,6	148,2	35,8
3,7	4,2	3,5	-0,8	-12,8	-20,6	7,7	133,7	35,8
3,7	4,2	3,5	-0,8	-12,8	-20,6	7,7	133,7	36,0
1,4	1,9	1,2	-2,7	-14,1	-21,9	3,0	119,5	36,0
1,4	1,9	1,2	-2,7	-14,1	-21,9	3,0	119,5	36,1
-1,0	-0,5	-1,1	-4,7	-15,3	-23,0	-1,3	105,4	36,1
-1,0	-0,5	-1,1	-4,7	-15,3	-23,0	-1,3	105,4	36,3
-3,4	-3,0	-3,4	-6,6	-16,6	-24,0	-5,3	91,6	36,3
-3,4	-3,0	-3,4	-6,6	-16,6	-24,0	-5,3	91,6	36,5
-5,8	-5,4	-5,7	-8,6	-17,7	-24,8	-8,9	78,0	36,5
-5,8	-5,4	-5,7	-8,6	-17,7	-24,8	-8,9	78,0	36,7
-8,2	-7,9	-8,1	-10,7	-18,9	-25,4	-12,2	64,5	36,7
-8,2	-7,9	-8,1	-10,7	-18,9	-25,4	-12,2	64,5	36,9
-10,7	-10,3	-10,6	-12,8	-20,0	-25,9	-15,2	51,3	36,9

Dir. L SLE Frequente Taglio (kNx1,185)

-10,7	-10,3	-10,6	-12,8	-20,0	-25,9	-15,2	51,3	37,1
-4,9	-4,6	-4,8	-6,6	-12,9	-17,9	-9,7	46,3	37,1
-4,9	-4,6	-4,8	-6,6	-12,9	-17,9	-9,7	46,3	37,3
2,6	2,8	2,7	1,2	-3,9	-8,0	-2,0	43,0	37,3
2,6	2,8	2,7	1,2	-3,9	-8,0	-2,0	43,0	37,5
8,1	8,3	8,2	7,1	3,1	0,0	4,1	38,7	37,5
8,1	8,3	8,2	7,1	3,1	0,0	4,1	38,7	37,7
5,8	5,9	5,9	5,1	2,2	0,0	2,5	27,4	37,7
5,8	5,9	5,9	5,1	2,2	0,0	2,5	27,4	37,9
3,5	3,6	3,6	3,1	1,3	0,0	1,3	16,3	37,9
3,5	3,6	3,6	3,1	1,3	0,0	1,3	16,3	38,0
1,2	1,2	1,2	1,0	0,4	0,0	0,3	5,4	38,0
1,2	1,2	1,2	1,0	0,4	0,0	0,3	5,4	38,2

Dir. L SLE Quasi permanente Momento (kNx1,185m)

PVVVVVVV	PPVVVVVV	PPPVVVVV	PPPPVVVV	PPPPPVVV	PPPPPPVV	PPPPPPPV	PPPPPPPP	x
0,0	0,0	0,0	0,0	0,0	0,0	0,0	0,0	0,0
-1,8	-1,9	-1,7	-1,6	-1,5	-1,5	-1,5	-1,5	0,2
-1,8	-1,9	-1,7	-1,6	-1,5	-1,5	-1,5	-1,5	0,2
-7,0	-7,7	-7,0	-6,3	-6,2	-6,2	-6,2	-6,2	0,5
-7,0	-7,7	-7,0	-6,3	-6,2	-6,2	-6,2	-6,2	0,5
-15,7	-17,4	-15,8	-14,4	-14,0	-14,0	-14,0	-14,1	0,7
-15,7	-17,4	-15,8	-14,4	-14,0	-14,0	-14,0	-14,1	0,7
-24,0	-27,0	-24,5	-22,1	-21,5	-21,4	-21,6	-21,7	0,9
-24,0	-27,0	-24,5	-22,1	-21,5	-21,4	-21,6	-21,7	0,9
-32,8	-37,4	-33,9	-30,4	-29,4	-29,3	-29,5	-29,6	1,1
-32,8	-37,4	-33,9	-30,4	-29,4	-29,3	-29,5	-29,6	1,1
-42,8	-49,6	-44,8	-39,9	-38,5	-38,4	-38,7	-38,9	1,3
-42,8	-49,6	-44,8	-39,9	-38,5	-38,4	-38,7	-38,9	1,3
-55,4	-64,9	-58,7	-52,3	-50,4	-50,2	-50,6	-50,8	1,5
-55,4	-64,9	-58,7	-52,3	-50,4	-50,2	-50,6	-50,8	1,5
-70,6	-83,3	-75,6	-67,5	-65,1	-64,9	-65,3	-65,6	1,7
-70,6	-83,3	-75,6	-67,5	-65,1	-64,9	-65,3	-65,6	1,7
-88,4	-104,9	-95,7	-85,7	-82,6	-82,3	-82,8	-83,2	1,9
-88,4	-104,9	-95,7	-85,7	-82,6	-82,3	-82,8	-83,2	1,9
-108,8	-129,6	-118,9	-106,9	-103,1	-102,7	-103,2	-103,8	2,1
-108,8	-129,6	-118,9	-106,9	-103,1	-102,7	-103,2	-103,8	2,1
-131,6	-157,5	-145,2	-131,0	-126,5	-125,9	-126,6	-127,2	2,4
-131,6	-157,5	-145,2	-131,0	-126,5	-125,9	-126,6	-127,2	2,4
-157,0	-188,6	-174,7	-158,2	-152,9	-152,2	-152,9	-153,7	2,6
-157,0	-188,6	-174,7	-158,2	-152,9	-152,2	-152,9	-153,7	2,6
-184,7	-222,7	-207,5	-188,6	-182,3	-181,4	-182,3	-183,1	2,8
-184,7	-222,7	-207,5	-188,6	-182,3	-181,4	-182,3	-183,1	2,8
-214,9	-260,1	-243,5	-222,0	-214,8	-213,7	-214,7	-215,7	3,0
-214,9	-260,1	-243,5	-222,0	-214,8	-213,7	-214,7	-215,7	3,0
-247,4	-300,6	-282,8	-258,7	-250,4	-249,2	-250,2	-251,3	3,2
-247,4	-300,6	-282,8	-258,7	-250,4	-249,2	-250,2	-251,3	3,2
-282,3	-344,2	-325,4	-298,6	-289,2	-287,7	-288,8	-290,1	3,4
-282,3	-344,2	-325,4	-298,6	-289,2	-287,7	-288,8	-290,1	3,4
-245,1	-316,3	-296,7	-267,3	-256,8	-255,0	-256,2	-257,6	3,6
-245,1	-316,3	-296,7	-267,3	-256,8	-255,0	-256,2	-257,6	3,6
-210,1	-291,4	-271,2	-239,1	-227,4	-225,3	-226,5	-228,1	3,8
-210,1	-291,4	-271,2	-239,1	-227,4	-225,3	-226,5	-228,1	3,8
-177,1	-269,4	-248,8	-214,1	-201,0	-198,6	-199,9	-201,6	4,0
-177,1	-269,4	-248,8	-214,1	-201,0	-198,6	-199,9	-201,6	4,0
-146,1	-250,4	-229,6	-192,2	-177,8	-175,0	-176,4	-178,2	4,2
-146,1	-250,4	-229,6	-192,2	-177,8	-175,0	-176,4	-178,2	4,2
-117,2	-234,2	-213,6	-173,5	-157,7	-154,5	-155,9	-157,9	4,4
-117,2	-234,2	-213,6	-173,5	-157,7	-154,5	-155,9	-157,9	4,4
-90,1	-220,9	-200,8	-158,0	-140,7	-137,1	-138,6	-140,8	4,6
-90,1	-220,9	-200,8	-158,0	-140,7	-137,1	-138,6	-140,8	4,6

Dir. L SLE Quasi permanente Momento (kNx1,185m)

-64,9	-210,4	-191,3	-145,7	-127,0	-122,9	-124,4	-126,7	4,8
-64,9	-210,4	-191,3	-145,7	-127,0	-122,9	-124,4	-126,7	4,8
-41,6	-202,9	-184,9	-136,8	-116,4	-111,9	-113,4	-115,8	5,0
-41,6	-202,9	-184,9	-136,8	-116,4	-111,9	-113,4	-115,8	5,0
-20,1	-198,1	-181,8	-131,1	-109,1	-104,0	-105,5	-108,2	5,2
-20,1	-198,1	-181,8	-131,1	-109,1	-104,0	-105,5	-108,2	5,2
-0,4	-196,1	-182,0	-128,8	-105,1	-99,4	-100,9	-103,7	5,4
-0,4	-196,1	-182,0	-128,8	-105,1	-99,4	-100,9	-103,7	5,4
17,7	-196,9	-185,4	-129,8	-104,3	-98,0	-99,4	-102,4	5,6
17,7	-196,9	-185,4	-129,8	-104,3	-98,0	-99,4	-102,4	5,6
34,1	-200,5	-192,0	-134,1	-106,8	-99,9	-101,3	-104,4	5,8
34,1	-200,5	-192,0	-134,1	-106,8	-99,9	-101,3	-104,4	5,8
48,9	-206,8	-201,9	-141,9	-112,7	-105,0	-106,4	-109,7	6,0
48,9	-206,8	-201,9	-141,9	-112,7	-105,0	-106,4	-109,7	6,0
62,1	-215,8	-215,1	-153,0	-122,0	-113,5	-114,8	-118,3	6,2
62,1	-215,8	-215,1	-153,0	-122,0	-113,5	-114,8	-118,3	6,2
73,8	-227,5	-231,6	-167,6	-134,6	-125,3	-126,5	-130,2	6,4
73,8	-227,5	-231,6	-167,6	-134,6	-125,3	-126,5	-130,2	6,4
84,0	-241,8	-251,3	-185,6	-150,6	-140,5	-141,5	-145,3	6,6
84,0	-241,8	-251,3	-185,6	-150,6	-140,5	-141,5	-145,3	6,6
92,7	-258,7	-274,3	-207,1	-170,0	-159,0	-159,8	-163,9	6,8
92,7	-258,7	-274,3	-207,1	-170,0	-159,0	-159,8	-163,9	6,8
100,1	-278,3	-300,6	-232,0	-192,9	-180,9	-181,6	-185,8	7,0
100,1	-278,3	-300,6	-232,0	-192,9	-180,9	-181,6	-185,8	7,0
106,1	-300,3	-330,1	-260,4	-219,2	-206,2	-206,7	-211,0	7,2
106,1	-300,3	-330,1	-260,4	-219,2	-206,2	-206,7	-211,0	7,2
110,9	-324,9	-362,9	-292,4	-248,9	-234,9	-235,1	-239,7	7,4
110,9	-324,9	-362,9	-292,4	-248,9	-234,9	-235,1	-239,7	7,4
114,3	-352,0	-399,0	-327,8	-282,2	-267,1	-267,0	-271,7	7,7
114,3	-352,0	-399,0	-327,8	-282,2	-267,1	-267,0	-271,7	7,7
124,8	-308,4	-365,2	-293,8	-245,9	-229,6	-229,3	-234,1	7,9
124,8	-308,4	-365,2	-293,8	-245,9	-229,6	-229,3	-234,1	7,9
134,2	-267,3	-334,6	-263,2	-213,1	-195,6	-194,9	-199,9	8,1
134,2	-267,3	-334,6	-263,2	-213,1	-195,6	-194,9	-199,9	8,1
142,4	-228,4	-307,3	-236,2	-183,8	-165,0	-164,0	-169,2	8,3
142,4	-228,4	-307,3	-236,2	-183,8	-165,0	-164,0	-169,2	8,3
149,5	-191,9	-283,1	-212,7	-158,0	-137,9	-136,5	-141,8	8,5
149,5	-191,9	-283,1	-212,7	-158,0	-137,9	-136,5	-141,8	8,5
155,6	-157,6	-262,2	-192,7	-135,8	-114,3	-112,5	-117,9	8,7
155,6	-157,6	-262,2	-192,7	-135,8	-114,3	-112,5	-117,9	8,7
160,6	-125,6	-244,3	-176,3	-117,1	-94,2	-91,9	-97,4	8,9
160,6	-125,6	-244,3	-176,3	-117,1	-94,2	-91,9	-97,4	8,9
164,6	-95,7	-229,6	-163,5	-101,9	-77,5	-74,7	-80,4	9,1
164,6	-95,7	-229,6	-163,5	-101,9	-77,5	-74,7	-80,4	9,1
167,7	-67,9	-218,0	-154,1	-90,3	-64,4	-61,0	-66,8	9,3
167,7	-67,9	-218,0	-154,1	-90,3	-64,4	-61,0	-66,8	9,3

Dir. L SLE Quasi permanente Momento (kNx1,185m)

169,8	-42,1	-209,5	-148,3	-82,2	-54,7	-50,8	-56,6	9,5
169,8	-42,1	-209,5	-148,3	-82,2	-54,7	-50,8	-56,6	9,5
171,1	-18,4	-204,0	-146,0	-77,7	-48,5	-44,0	-49,9	9,7
171,1	-18,4	-204,0	-146,0	-77,7	-48,5	-44,0	-49,9	9,7
171,4	3,4	-201,5	-147,3	-76,7	-45,9	-40,6	-46,7	9,9
171,4	3,4	-201,5	-147,3	-76,7	-45,9	-40,6	-46,7	9,9
171,0	23,3	-202,0	-152,1	-79,3	-46,7	-40,8	-46,8	10,1
171,0	23,3	-202,0	-152,1	-79,3	-46,7	-40,8	-46,8	10,1
169,7	41,4	-205,4	-160,3	-85,5	-51,1	-44,4	-50,5	10,3
169,7	41,4	-205,4	-160,3	-85,5	-51,1	-44,4	-50,5	10,3
167,7	57,7	-211,8	-172,1	-95,2	-58,9	-51,4	-57,5	10,5
167,7	57,7	-211,8	-172,1	-95,2	-58,9	-51,4	-57,5	10,5
165,0	72,2	-221,1	-187,4	-108,4	-70,3	-61,9	-68,0	10,7
165,0	72,2	-221,1	-187,4	-108,4	-70,3	-61,9	-68,0	10,7
161,5	85,0	-233,1	-206,1	-125,2	-85,2	-75,9	-82,0	10,9
161,5	85,0	-233,1	-206,1	-125,2	-85,2	-75,9	-82,0	10,9
157,3	96,2	-248,1	-228,4	-145,6	-103,5	-93,3	-99,4	11,1
157,3	96,2	-248,1	-228,4	-145,6	-103,5	-93,3	-99,4	11,1
152,4	105,9	-265,7	-254,0	-169,5	-125,4	-114,2	-120,2	11,3
152,4	105,9	-265,7	-254,0	-169,5	-125,4	-114,2	-120,2	11,3
146,9	114,0	-286,1	-283,2	-197,0	-150,9	-138,6	-144,5	11,5
146,9	114,0	-286,1	-283,2	-197,0	-150,9	-138,6	-144,5	11,5
140,8	120,6	-309,2	-315,7	-228,0	-179,8	-166,4	-172,2	11,7
140,8	120,6	-309,2	-315,7	-228,0	-179,8	-166,4	-172,2	11,7
134,1	125,7	-334,9	-351,7	-262,6	-212,2	-197,7	-203,4	11,9
134,1	125,7	-334,9	-351,7	-262,6	-212,2	-197,7	-203,4	11,9
135,0	137,7	-290,3	-318,0	-227,7	-175,2	-159,4	-165,0	12,1
135,0	137,7	-290,3	-318,0	-227,7	-175,2	-159,4	-165,0	12,1
135,4	148,5	-248,2	-287,7	-196,3	-141,6	-124,6	-130,0	12,3
135,4	148,5	-248,2	-287,7	-196,3	-141,6	-124,6	-130,0	12,3
135,3	157,9	-208,6	-260,8	-168,4	-111,5	-93,3	-98,3	12,5
135,3	157,9	-208,6	-260,8	-168,4	-111,5	-93,3	-98,3	12,5
134,6	166,0	-171,4	-237,1	-144,0	-84,9	-65,3	-70,1	12,7
134,6	166,0	-171,4	-237,1	-144,0	-84,9	-65,3	-70,1	12,7
133,4	173,0	-136,6	-216,7	-123,1	-61,8	-40,7	-45,3	12,9
133,4	173,0	-136,6	-216,7	-123,1	-61,8	-40,7	-45,3	12,9
131,7	178,8	-104,1	-199,6	-105,6	-42,1	-19,6	-23,8	13,1
131,7	178,8	-104,1	-199,6	-105,6	-42,1	-19,6	-23,8	13,1
129,5	183,4	-73,8	-185,7	-91,6	-25,9	-1,8	-5,7	13,3
129,5	183,4	-73,8	-185,7	-91,6	-25,9	-1,8	-5,7	13,3
126,9	187,0	-45,8	-174,9	-81,0	-13,1	12,6	9,1	13,5
126,9	187,0	-45,8	-174,9	-81,0	-13,1	12,6	9,1	13,5
123,8	189,6	-19,9	-167,3	-73,9	-3,7	23,6	20,6	13,7
123,8	189,6	-19,9	-167,3	-73,9	-3,7	23,6	20,6	13,7
120,2	191,2	3,8	-162,8	-70,1	2,2	31,2	28,7	13,9
120,2	191,2	3,8	-162,8	-70,1	2,2	31,2	28,7	13,9

Dir. L SLE Quasi permanente Momento (kNx1,185m)

116,2	191,7	25,6	-161,4	-69,7	4,8	35,5	33,5	14,1
116,2	191,7	25,6	-161,4	-69,7	4,8	35,5	33,5	14,1
111,8	191,4	45,3	-163,0	-72,7	3,9	36,4	35,0	14,3
111,8	191,4	45,3	-163,0	-72,7	3,9	36,4	35,0	14,3
106,9	190,1	63,2	-167,6	-79,0	-0,4	33,9	33,2	14,5
106,9	190,1	63,2	-167,6	-79,0	-0,4	33,9	33,2	14,5
101,6	188,0	79,1	-175,2	-88,7	-8,0	28,2	28,1	14,7
101,6	188,0	79,1	-175,2	-88,7	-8,0	28,2	28,1	14,7
96,0	185,1	93,3	-185,7	-101,7	-19,1	19,1	19,7	14,9
96,0	185,1	93,3	-185,7	-101,7	-19,1	19,1	19,7	14,9
89,9	181,4	105,7	-199,1	-118,0	-33,5	6,6	8,0	15,1
89,9	181,4	105,7	-199,1	-118,0	-33,5	6,6	8,0	15,1
83,5	176,8	116,4	-215,3	-137,5	-51,2	-9,1	-6,9	15,3
83,5	176,8	116,4	-215,3	-137,5	-51,2	-9,1	-6,9	15,3
76,7	171,6	125,4	-234,4	-160,3	-72,3	-28,1	-25,0	15,5
76,7	171,6	125,4	-234,4	-160,3	-72,3	-28,1	-25,0	15,5
69,5	165,6	132,9	-256,1	-186,4	-96,7	-50,5	-46,4	15,7
69,5	165,6	132,9	-256,1	-186,4	-96,7	-50,5	-46,4	15,7
61,9	158,9	138,8	-280,6	-215,6	-124,5	-76,1	-71,0	15,9
61,9	158,9	138,8	-280,6	-215,6	-124,5	-76,1	-71,0	15,9
53,9	151,6	143,2	-307,8	-248,1	-155,6	-105,1	-98,9	16,1
53,9	151,6	143,2	-307,8	-248,1	-155,6	-105,1	-98,9	16,1
53,9	151,9	154,2	-265,6	-211,6	-118,0	-65,3	-58,0	16,3
53,9	151,9	154,2	-265,6	-211,6	-118,0	-65,3	-58,0	16,3
53,6	151,6	163,9	-225,9	-178,2	-83,5	-28,7	-20,2	16,5
53,6	151,6	163,9	-225,9	-178,2	-83,5	-28,7	-20,2	16,5
52,9	150,7	172,3	-188,5	-147,7	-52,2	4,9	14,6	16,7
52,9	150,7	172,3	-188,5	-147,7	-52,2	4,9	14,6	16,7
51,8	149,2	179,5	-153,5	-120,1	-23,9	35,3	46,3	16,9
51,8	149,2	179,5	-153,5	-120,1	-23,9	35,3	46,3	16,9
50,5	147,3	185,5	-120,8	-95,5	1,2	62,6	75,0	17,1
50,5	147,3	185,5	-120,8	-95,5	1,2	62,6	75,0	17,1
48,8	144,8	190,3	-90,3	-73,8	23,3	86,9	100,7	17,3
48,8	144,8	190,3	-90,3	-73,8	23,3	86,9	100,7	17,3
46,7	141,8	194,1	-62,0	-54,8	42,2	108,0	123,4	17,5
46,7	141,8	194,1	-62,0	-54,8	42,2	108,0	123,4	17,5
44,4	138,3	196,7	-35,8	-38,8	58,1	126,1	143,1	17,7
44,4	138,3	196,7	-35,8	-38,8	58,1	126,1	143,1	17,7
41,7	134,4	198,4	-11,7	-25,5	71,0	141,2	159,8	17,9
41,7	134,4	198,4	-11,7	-25,5	71,0	141,2	159,8	17,9
38,7	130,0	199,0	10,5	-14,9	80,8	153,2	173,5	18,1
38,7	130,0	199,0	10,5	-14,9	80,8	153,2	173,5	18,1
35,3	125,1	198,8	30,6	-7,1	87,6	162,1	184,2	18,3
35,3	125,1	198,8	30,6	-7,1	87,6	162,1	184,2	18,3
31,7	119,8	197,6	48,9	-2,0	91,4	168,0	192,0	18,5
31,7	119,8	197,6	48,9	-2,0	91,4	168,0	192,0	18,5

Dir. L SLE Quasi permanente Momento (kNx1,185m)

27,7	114,1	195,5	65,3	0,4	92,2	170,9	196,8	18,7
27,7	114,1	195,5	65,3	0,4	92,2	170,9	196,8	18,7
23,4	108,0	192,5	80,0	0,2	90,0	170,7	198,6	18,9
23,4	108,0	192,5	80,0	0,2	90,0	170,7	198,6	18,9
20,4	103,0	190,4	94,7	-1,0	86,4	169,0	199,1	19,1
20,4	103,0	190,4	94,7	-1,0	86,4	169,0	199,1	19,1
19,0	99,7	189,5	109,7	-2,9	81,7	166,3	198,6	19,3
19,0	99,7	189,5	109,7	-2,9	81,7	166,3	198,6	19,3
19,0	97,7	189,5	124,6	-5,6	75,8	162,2	196,8	19,5
19,0	97,7	189,5	124,6	-5,6	75,8	162,2	196,8	19,5
18,7	95,3	188,7	137,8	-10,9	66,9	155,0	192,0	19,7
18,7	95,3	188,7	137,8	-10,9	66,9	155,0	192,0	19,7
18,0	92,6	187,3	149,5	-18,6	55,1	144,8	184,2	19,9
18,0	92,6	187,3	149,5	-18,6	55,1	144,8	184,2	19,9
17,1	89,4	185,2	159,8	-28,8	40,3	131,6	173,4	20,1
17,1	89,4	185,2	159,8	-28,8	40,3	131,6	173,4	20,1
15,8	86,0	182,4	168,6	-41,4	22,6	115,3	159,7	20,3
15,8	86,0	182,4	168,6	-41,4	22,6	115,3	159,7	20,3
14,2	82,2	179,1	176,1	-56,4	2,0	95,9	143,0	20,5
14,2	82,2	179,1	176,1	-56,4	2,0	95,9	143,0	20,5
12,2	78,0	175,1	182,2	-73,8	-21,6	73,5	123,3	20,7
12,2	78,0	175,1	182,2	-73,8	-21,6	73,5	123,3	20,7
9,9	73,5	170,5	187,1	-93,5	-48,0	48,0	100,6	20,9
9,9	73,5	170,5	187,1	-93,5	-48,0	48,0	100,6	20,9
7,3	68,7	165,5	190,7	-115,5	-77,3	19,5	74,9	21,1
7,3	68,7	165,5	190,7	-115,5	-77,3	19,5	74,9	21,1
4,4	63,6	159,8	193,2	-139,8	-109,6	-12,1	46,1	21,3
4,4	63,6	159,8	193,2	-139,8	-109,6	-12,1	46,1	21,3
1,1	58,2	153,7	194,5	-166,3	-144,7	-46,9	14,4	21,5
1,1	58,2	153,7	194,5	-166,3	-144,7	-46,9	14,4	21,5
-2,5	52,4	147,0	194,7	-195,0	-182,7	-84,7	-20,4	21,7
-2,5	52,4	147,0	194,7	-195,0	-182,7	-84,7	-20,4	21,7
-6,4	46,3	139,9	193,9	-225,9	-223,6	-125,6	-58,2	21,9
-6,4	46,3	139,9	193,9	-225,9	-223,6	-125,6	-58,2	21,9
-10,7	39,9	132,4	192,0	-258,9	-267,3	-169,7	-99,1	22,1
-10,7	39,9	132,4	192,0	-258,9	-267,3	-169,7	-99,1	22,1
-7,1	41,3	132,4	197,4	-222,0	-242,2	-145,1	-71,3	22,3
-7,1	41,3	132,4	197,4	-222,0	-242,2	-145,1	-71,3	22,3
-3,9	42,4	132,0	201,8	-187,2	-220,0	-123,8	-46,7	22,5
-3,9	42,4	132,0	201,8	-187,2	-220,0	-123,8	-46,7	22,5
-1,0	43,2	131,2	205,2	-154,5	-200,8	-105,8	-25,3	22,7
-1,0	43,2	131,2	205,2	-154,5	-200,8	-105,8	-25,3	22,7
1,5	43,6	129,9	207,7	-123,9	-184,5	-91,1	-7,2	22,9
1,5	43,6	129,9	207,7	-123,9	-184,5	-91,1	-7,2	22,9
3,7	43,8	128,3	209,4	-95,4	-171,1	-79,6	7,7	23,1
3,7	43,8	128,3	209,4	-95,4	-171,1	-79,6	7,7	23,1

Dir. L SLE Quasi permanente Momento (kNx1,185m)

5,5	43,6	126,2	210,2	-68,8	-160,6	-71,5	19,3	23,3
5,5	43,6	126,2	210,2	-68,8	-160,6	-71,5	19,3	23,3
6,9	43,1	123,8	210,3	-44,1	-153,0	-66,6	27,7	23,5
6,9	43,1	123,8	210,3	-44,1	-153,0	-66,6	27,7	23,5
8,0	42,3	121,0	209,5	-21,2	-148,3	-65,0	32,8	23,7
8,0	42,3	121,0	209,5	-21,2	-148,3	-65,0	32,8	23,7
8,7	41,2	117,8	208,1	-0,3	-146,4	-66,7	34,5	23,9
8,7	41,2	117,8	208,1	-0,3	-146,4	-66,7	34,5	23,9
9,1	39,8	114,2	205,9	18,9	-147,3	-71,7	33,0	24,1
9,1	39,8	114,2	205,9	18,9	-147,3	-71,7	33,0	24,1
9,1	38,0	110,3	203,1	36,4	-151,0	-79,9	28,2	24,3
9,1	38,0	110,3	203,1	36,4	-151,0	-79,9	28,2	24,3
8,7	36,0	106,1	199,6	52,2	-157,4	-91,5	20,1	24,5
8,7	36,0	106,1	199,6	52,2	-157,4	-91,5	20,1	24,5
8,0	33,6	101,6	195,5	66,3	-166,6	-106,3	8,6	24,7
8,0	33,6	101,6	195,5	66,3	-166,6	-106,3	8,6	24,7
6,9	31,0	96,7	190,7	78,9	-178,5	-124,4	-6,2	24,9
6,9	31,0	96,7	190,7	78,9	-178,5	-124,4	-6,2	24,9
5,4	28,0	91,5	185,5	89,9	-193,0	-145,8	-24,4	25,1
5,4	28,0	91,5	185,5	89,9	-193,0	-145,8	-24,4	25,1
3,6	24,7	86,0	179,6	99,4	-210,2	-170,5	-45,9	25,3
3,6	24,7	86,0	179,6	99,4	-210,2	-170,5	-45,9	25,3
1,4	21,1	80,1	173,3	107,5	-230,0	-198,5	-70,8	25,5
1,4	21,1	80,1	173,3	107,5	-230,0	-198,5	-70,8	25,5
-1,2	17,2	74,0	166,4	114,2	-252,4	-229,7	-99,0	25,7
-1,2	17,2	74,0	166,4	114,2	-252,4	-229,7	-99,0	25,7
-4,1	12,9	67,5	159,0	119,5	-277,3	-264,2	-130,7	25,9
-4,1	12,9	67,5	159,0	119,5	-277,3	-264,2	-130,7	25,9
-7,4	8,3	60,8	151,2	123,4	-304,7	-301,9	-165,7	26,1
-7,4	8,3	60,8	151,2	123,4	-304,7	-301,9	-165,7	26,1
-11,1	3,4	53,8	142,9	126,2	-334,6	-342,8	-204,1	26,3
-11,1	3,4	53,8	142,9	126,2	-334,6	-342,8	-204,1	26,3
-6,9	6,5	54,7	142,4	135,9	-294,0	-314,1	-173,0	26,5
-6,9	6,5	54,7	142,4	135,9	-294,0	-314,1	-173,0	26,5
-3,0	9,2	55,4	141,5	144,5	-255,7	-288,6	-145,4	26,7
-3,0	9,2	55,4	141,5	144,5	-255,7	-288,6	-145,4	26,7
0,4	11,6	55,7	140,2	151,9	-219,8	-266,2	-121,1	26,9
0,4	11,6	55,7	140,2	151,9	-219,8	-266,2	-121,1	26,9
3,5	13,7	55,8	138,5	158,2	-186,3	-247,1	-100,3	27,1
3,5	13,7	55,8	138,5	158,2	-186,3	-247,1	-100,3	27,1
6,2	15,5	55,5	136,4	163,4	-154,9	-231,2	-82,9	27,3
6,2	15,5	55,5	136,4	163,4	-154,9	-231,2	-82,9	27,3
8,5	16,9	55,0	134,0	167,6	-125,8	-218,4	-69,0	27,5
8,5	16,9	55,0	134,0	167,6	-125,8	-218,4	-69,0	27,5
10,4	17,9	54,2	131,1	170,8	-98,9	-208,7	-58,6	27,7
10,4	17,9	54,2	131,1	170,8	-98,9	-208,7	-58,6	27,7

Dir. L SLE Quasi permanente Momento (kNx1,185m)

11,9	18,7	53,0	127,9	173,0	-74,0	-202,2	-51,5	27,9
11,9	18,7	53,0	127,9	173,0	-74,0	-202,2	-51,5	27,9
13,1	19,0	51,6	124,4	174,3	-51,3	-198,7	-47,9	28,1
13,1	19,0	51,6	124,4	174,3	-51,3	-198,7	-47,9	28,1
13,8	19,1	49,9	120,5	174,7	-30,5	-198,3	-47,8	28,3
13,8	19,1	49,9	120,5	174,7	-30,5	-198,3	-47,8	28,3
14,2	18,7	47,9	116,2	174,2	-11,7	-200,9	-51,1	28,5
14,2	18,7	47,9	116,2	174,2	-11,7	-200,9	-51,1	28,5
14,1	18,1	45,6	111,7	172,8	5,2	-206,5	-57,9	28,7
14,1	18,1	45,6	111,7	172,8	5,2	-206,5	-57,9	28,7
13,7	17,1	43,0	106,8	170,7	20,3	-215,0	-68,0	28,9
13,7	17,1	43,0	106,8	170,7	20,3	-215,0	-68,0	28,9
12,8	15,7	40,0	101,6	167,7	33,5	-226,5	-81,7	29,1
12,8	15,7	40,0	101,6	167,7	33,5	-226,5	-81,7	29,1
11,6	13,9	36,8	96,1	164,1	45,0	-240,8	-98,8	29,3
11,6	13,9	36,8	96,1	164,1	45,0	-240,8	-98,8	29,3
10,0	11,8	33,3	90,2	159,7	54,8	-258,1	-119,3	29,5
10,0	11,8	33,3	90,2	159,7	54,8	-258,1	-119,3	29,5
7,9	9,3	29,4	84,1	154,5	63,0	-278,1	-143,2	29,7
7,9	9,3	29,4	84,1	154,5	63,0	-278,1	-143,2	29,7
5,5	6,5	25,2	77,6	148,8	69,6	-301,0	-170,6	29,9
5,5	6,5	25,2	77,6	148,8	69,6	-301,0	-170,6	29,9
2,6	3,3	20,8	70,9	142,3	74,6	-326,5	-201,4	30,1
2,6	3,3	20,8	70,9	142,3	74,6	-326,5	-201,4	30,1
-0,7	-0,4	15,9	63,8	135,2	78,1	-354,8	-235,6	30,3
-0,7	-0,4	15,9	63,8	135,2	78,1	-354,8	-235,6	30,3
-4,4	-4,3	10,8	56,4	127,6	80,2	-385,7	-273,3	30,6
-4,4	-4,3	10,8	56,4	127,6	80,2	-385,7	-273,3	30,6
-0,2	-0,4	13,6	57,0	127,6	89,2	-346,2	-241,3	30,8
-0,2	-0,4	13,6	57,0	127,6	89,2	-346,2	-241,3	30,8
3,6	3,1	16,1	57,3	127,0	96,9	-309,2	-212,6	31,0
3,6	3,1	16,1	57,3	127,0	96,9	-309,2	-212,6	31,0
6,9	6,2	18,2	57,3	125,9	103,2	-274,8	-187,4	31,2
6,9	6,2	18,2	57,3	125,9	103,2	-274,8	-187,4	31,2
9,8	9,0	20,0	57,0	124,3	108,3	-242,8	-165,5	31,4
9,8	9,0	20,0	57,0	124,3	108,3	-242,8	-165,5	31,4
12,3	11,3	21,4	56,4	122,2	112,2	-213,1	-147,0	31,6
12,3	11,3	21,4	56,4	122,2	112,2	-213,1	-147,0	31,6
14,4	13,2	22,5	55,5	119,5	115,0	-185,9	-131,8	31,8
14,4	13,2	22,5	55,5	119,5	115,0	-185,9	-131,8	31,8
16,0	14,7	23,2	54,2	116,4	116,6	-160,9	-120,0	32,0
16,0	14,7	23,2	54,2	116,4	116,6	-160,9	-120,0	32,0
17,2	15,9	23,5	52,7	112,8	117,2	-138,1	-111,4	32,2
17,2	15,9	23,5	52,7	112,8	117,2	-138,1	-111,4	32,2
17,9	16,5	23,5	50,8	108,7	116,7	-117,4	-106,2	32,4
17,9	16,5	23,5	50,8	108,7	116,7	-117,4	-106,2	32,4

Dir. L SLE Quasi permanente Momento (kNx1,185m)

18,3	16,8	23,1	48,6	104,2	115,3	-98,9	-104,2	32,6
18,3	16,8	23,1	48,6	104,2	115,3	-98,9	-104,2	32,6
18,1	16,6	22,3	46,0	99,2	112,9	-82,4	-105,4	32,8
18,1	16,6	22,3	46,0	99,2	112,9	-82,4	-105,4	32,8
17,6	16,1	21,2	43,2	93,9	109,7	-67,9	-109,9	33,0
17,6	16,1	21,2	43,2	93,9	109,7	-67,9	-109,9	33,0
16,5	15,0	19,6	40,0	88,1	105,6	-55,2	-117,6	33,2
16,5	15,0	19,6	40,0	88,1	105,6	-55,2	-117,6	33,2
15,1	13,6	17,6	36,4	81,9	100,7	-44,4	-128,4	33,4
15,1	13,6	17,6	36,4	81,9	100,7	-44,4	-128,4	33,4
13,1	11,7	15,3	32,5	75,3	95,0	-35,4	-142,5	33,6
13,1	11,7	15,3	32,5	75,3	95,0	-35,4	-142,5	33,6
10,7	9,3	12,5	28,3	68,4	88,5	-28,1	-159,6	33,8
10,7	9,3	12,5	28,3	68,4	88,5	-28,1	-159,6	33,8
7,9	6,5	9,3	23,7	61,1	81,4	-22,4	-179,9	34,0
7,9	6,5	9,3	23,7	61,1	81,4	-22,4	-179,9	34,0
4,6	3,2	5,6	18,7	53,4	73,6	-18,3	-203,2	34,2
4,6	3,2	5,6	18,7	53,4	73,6	-18,3	-203,2	34,2
0,8	-0,5	1,6	13,4	45,4	65,2	-15,7	-229,7	34,4
0,8	-0,5	1,6	13,4	45,4	65,2	-15,7	-229,7	34,4
-3,5	-4,7	-2,9	7,7	37,0	56,2	-14,6	-259,1	34,6
-3,5	-4,7	-2,9	7,7	37,0	56,2	-14,6	-259,1	34,6
-8,3	-9,4	-7,9	1,6	28,3	46,7	-14,8	-291,6	34,8
-8,3	-9,4	-7,9	1,6	28,3	46,7	-14,8	-291,6	34,8
-5,3	-6,4	-5,1	3,3	27,6	45,0	-8,4	-255,8	35,0
-5,3	-6,4	-5,1	3,3	27,6	45,0	-8,4	-255,8	35,0
-2,9	-3,8	-2,7	4,7	26,6	42,9	-3,1	-222,7	35,2
-2,9	-3,8	-2,7	4,7	26,6	42,9	-3,1	-222,7	35,2
-0,8	-1,7	-0,8	5,7	25,3	40,5	1,1	-192,3	35,4
-0,8	-1,7	-0,8	5,7	25,3	40,5	1,1	-192,3	35,4
0,8	0,0	0,7	6,4	23,7	37,6	4,3	-164,3	35,6
0,8	0,0	0,7	6,4	23,7	37,6	4,3	-164,3	35,6
1,9	1,2	1,8	6,7	21,9	34,4	6,6	-139,0	35,8
1,9	1,2	1,8	6,7	21,9	34,4	6,6	-139,0	35,8
2,6	2,0	2,5	6,6	19,7	30,9	8,0	-116,1	36,0
2,6	2,0	2,5	6,6	19,7	30,9	8,0	-116,1	36,0
2,9	2,3	2,7	6,2	17,4	27,1	8,5	-95,8	36,1
2,9	2,3	2,7	6,2	17,4	27,1	8,5	-95,8	36,1
2,7	2,2	2,5	5,4	14,7	23,1	8,2	-77,8	36,3
2,7	2,2	2,5	5,4	14,7	23,1	8,2	-77,8	36,3
2,0	1,6	1,9	4,2	11,8	18,8	7,2	-62,3	36,5
2,0	1,6	1,9	4,2	11,8	18,8	7,2	-62,3	36,5
0,9	0,6	0,7	2,5	8,6	14,3	5,6	-49,1	36,7
0,9	0,6	0,7	2,5	8,6	14,3	5,6	-49,1	36,7
-0,7	-0,9	-0,8	0,5	5,2	9,7	3,3	-38,3	36,9
-0,7	-0,9	-0,8	0,5	5,2	9,7	3,3	-38,3	36,9

[illegible][illegible]

Dir. L SLE Quasi permanente Taglio (kNx1,185)

PVVVVVVV	PPVVVVVV	PPPVVVVV	PPPPVVVV	PPPPPVVV	PPPPPPVV	PPPPPPV	PPPPPPPP	x
-7,5	-8,3	-7,4	-6,7	-6,5	-6,5	-6,6	-6,6	0,0
-7,5	-8,3	-7,4	-6,7	-6,5	-6,5	-6,6	-6,6	0,2
-22,4	-24,8	-22,6	-20,4	-19,9	-19,8	-20,0	-20,0	0,2
-22,4	-24,8	-22,6	-20,4	-19,9	-19,8	-20,0	-20,0	0,5
-37,1	-41,4	-37,9	-34,5	-33,5	-33,5	-33,6	-33,8	0,5
-37,1	-41,4	-37,9	-34,5	-33,5	-33,5	-33,6	-33,8	0,7
-41,7	-47,9	-43,3	-38,8	-37,5	-37,4	-37,6	-37,8	0,7
-41,7	-47,9	-43,3	-38,8	-37,5	-37,4	-37,6	-37,8	0,9
-43,9	-52,1	-46,7	-41,2	-39,6	-39,4	-39,7	-39,9	0,9
-43,9	-52,1	-46,7	-41,2	-39,6	-39,4	-39,7	-39,9	1,1
-47,8	-58,2	-52,1	-45,7	-43,7	-43,5	-43,8	-44,1	1,1
-47,8	-58,2	-52,1	-45,7	-43,7	-43,5	-43,8	-44,1	1,3
-60,4	-73,2	-66,6	-59,2	-56,9	-56,6	-56,9	-57,3	1,3
-60,4	-73,2	-66,6	-59,2	-56,9	-56,6	-56,9	-57,3	1,5
-72,9	-88,2	-81,2	-72,9	-70,3	-69,9	-70,3	-70,7	1,5
-72,9	-88,2	-81,2	-72,9	-70,3	-69,9	-70,3	-70,7	1,7
-85,2	-103,2	-95,9	-86,9	-83,9	-83,5	-83,9	-84,3	1,7
-85,2	-103,2	-95,9	-86,9	-83,9	-83,5	-83,9	-84,3	1,9
-97,3	-118,3	-110,9	-101,1	-97,8	-97,3	-97,7	-98,1	1,9
-97,3	-118,3	-110,9	-101,1	-97,8	-97,3	-97,7	-98,1	2,1
-109,3	-133,3	-126,0	-115,5	-111,9	-111,3	-111,7	-112,2	2,1
-109,3	-133,3	-126,0	-115,5	-111,9	-111,3	-111,7	-112,2	2,4
-121,1	-148,4	-141,2	-130,2	-126,2	-125,5	-125,9	-126,5	2,4
-121,1	-148,4	-141,2	-130,2	-126,2	-125,5	-125,9	-126,5	2,6
-132,8	-163,5	-156,6	-145,1	-140,7	-139,9	-140,4	-140,9	2,6
-132,8	-163,5	-156,6	-145,1	-140,7	-139,9	-140,4	-140,9	2,8
-144,3	-178,6	-172,2	-160,1	-155,5	-154,5	-155,0	-155,6	2,8
-144,3	-178,6	-172,2	-160,1	-155,5	-154,5	-155,0	-155,6	3,0
-155,6	-193,6	-187,8	-175,4	-170,4	-169,4	-169,8	-170,4	3,0
-155,6	-193,6	-187,8	-175,4	-170,4	-169,4	-169,8	-170,4	3,2
-166,7	-208,7	-203,7	-190,9	-185,6	-184,4	-184,8	-185,4	3,2
-166,7	-208,7	-203,7	-190,9	-185,6	-184,4	-184,8	-185,4	3,4
183,5	137,6	141,7	154,7	160,3	161,7	161,3	160,6	3,4
183,5	137,6	141,7	154,7	160,3	161,7	161,3	160,6	3,6
173,2	123,1	126,1	139,3	145,3	146,8	146,4	145,7	3,6
173,2	123,1	126,1	139,3	145,3	146,8	146,4	145,7	3,8
163,0	108,6	110,5	123,9	130,2	131,8	131,4	130,7	3,8
163,0	108,6	110,5	123,9	130,2	131,8	131,4	130,7	4,0
153,0	94,3	94,8	108,2	114,8	116,6	116,3	115,6	4,0
153,0	94,3	94,8	108,2	114,8	116,6	116,3	115,6	4,2
143,2	80,0	79,0	92,4	99,4	101,3	101,1	100,3	4,2
143,2	80,0	79,0	92,4	99,4	101,3	101,1	100,3	4,4
133,6	65,7	63,2	76,5	83,7	85,9	85,7	84,9	4,4
133,6	65,7	63,2	76,5	83,7	85,9	85,7	84,9	4,6
124,3	51,6	47,3	60,5	68,0	70,3	70,2	69,4	4,6

Dir. L SLE Quasi permanente Taglio (kNx1,185)

124,3	51,6	47,3	60,5	68,0	70,3	70,2	69,4	4,8
115,2	37,5	31,3	44,3	52,1	54,6	54,5	53,7	4,8
115,2	37,5	31,3	44,3	52,1	54,6	54,5	53,7	5,0
106,3	23,6	15,3	28,0	36,1	38,8	38,8	38,0	5,0
106,3	23,6	15,3	28,0	36,1	38,8	38,8	38,0	5,2
97,6	9,7	-0,7	11,6	20,0	22,9	23,0	22,1	5,2
97,6	9,7	-0,7	11,6	20,0	22,9	23,0	22,1	5,4
89,2	-4,0	-16,8	-4,9	3,8	6,9	7,0	6,2	5,4
89,2	-4,0	-16,8	-4,9	3,8	6,9	7,0	6,2	5,6
81,0	-17,6	-32,9	-21,5	-12,6	-9,3	-9,0	-9,9	5,6
81,0	-17,6	-32,9	-21,5	-12,6	-9,3	-9,0	-9,9	5,8
73,0	-31,1	-49,0	-38,3	-29,1	-25,5	-25,2	-26,1	5,8
73,0	-31,1	-49,0	-38,3	-29,1	-25,5	-25,2	-26,1	6,0
65,3	-44,5	-65,2	-55,1	-45,6	-41,9	-41,4	-42,3	6,0
65,3	-44,5	-65,2	-55,1	-45,6	-41,9	-41,4	-42,3	6,2
57,7	-57,7	-81,3	-72,0	-62,3	-58,3	-57,8	-58,7	6,2
57,7	-57,7	-81,3	-72,0	-62,3	-58,3	-57,8	-58,7	6,4
50,4	-70,8	-97,5	-89,0	-79,1	-74,9	-74,2	-75,1	6,4
50,4	-70,8	-97,5	-89,0	-79,1	-74,9	-74,2	-75,1	6,6
43,3	-83,7	-113,7	-106,1	-96,0	-91,5	-90,7	-91,6	6,6
43,3	-83,7	-113,7	-106,1	-96,0	-91,5	-90,7	-91,6	6,8
36,5	-96,5	-129,8	-123,3	-112,9	-108,2	-107,3	-108,2	6,8
36,5	-96,5	-129,8	-123,3	-112,9	-108,2	-107,3	-108,2	7,0
29,8	-109,1	-145,9	-140,5	-130,0	-125,0	-124,0	-124,8	7,0
29,8	-109,1	-145,9	-140,5	-130,0	-125,0	-124,0	-124,8	7,2
23,3	-121,5	-162,0	-157,8	-147,1	-141,9	-140,7	-141,6	7,2
23,3	-121,5	-162,0	-157,8	-147,1	-141,9	-140,7	-141,6	7,4
17,1	-133,7	-178,1	-175,2	-164,3	-158,8	-157,5	-158,3	7,4
17,1	-133,7	-178,1	-175,2	-164,3	-158,8	-157,5	-158,3	7,7
52,1	215,2	166,9	168,4	179,4	185,2	186,6	185,8	7,7
52,1	215,2	166,9	168,4	179,4	185,2	186,6	185,8	7,9
46,2	203,4	151,0	151,0	162,1	168,1	169,7	169,0	7,9
46,2	203,4	151,0	151,0	162,1	168,1	169,7	169,0	8,1
40,6	191,8	135,1	133,5	144,7	151,0	152,8	152,0	8,1
40,6	191,8	135,1	133,5	144,7	151,0	152,8	152,0	8,3
35,1	180,5	119,4	116,1	127,3	133,9	135,8	135,1	8,3
35,1	180,5	119,4	116,1	127,3	133,9	135,8	135,1	8,5
29,9	169,3	103,7	98,6	109,9	116,7	118,8	118,2	8,5
29,9	169,3	103,7	98,6	109,9	116,7	118,8	118,2	8,7
24,8	158,4	88,1	81,1	92,4	99,5	101,8	101,2	8,7
24,8	158,4	88,1	81,1	92,4	99,5	101,8	101,2	8,9
19,9	147,8	72,7	63,6	74,9	82,3	84,7	84,2	8,9
19,9	147,8	72,7	63,6	74,9	82,3	84,7	84,2	9,1
15,1	137,4	57,4	46,1	57,4	65,0	67,7	67,2	9,1
15,1	137,4	57,4	46,1	57,4	65,0	67,7	67,2	9,3
10,6	127,2	42,2	28,7	39,9	47,7	50,6	50,2	9,3

Dir. L SLE Quasi permanente Taglio (kNx1,185)

10,6	127,2	42,2	28,7	39,9	47,7	50,6	50,2	9,5
6,2	117,3	27,2	11,2	22,3	30,5	33,6	33,2	9,5
6,2	117,3	27,2	11,2	22,3	30,5	33,6	33,2	9,7
1,9	107,7	12,3	-6,2	4,8	13,2	16,5	16,1	9,7
1,9	107,7	12,3	-6,2	4,8	13,2	16,5	16,1	9,9
-2,2	98,4	-2,5	-23,6	-12,8	-4,2	-0,6	-0,9	9,9
-2,2	98,4	-2,5	-23,6	-12,8	-4,2	-0,6	-0,9	10,1
-6,2	89,2	-17,1	-40,9	-30,3	-21,5	-17,7	-17,9	10,1
-6,2	89,2	-17,1	-40,9	-30,3	-21,5	-17,7	-17,9	10,3
-10,0	80,4	-31,5	-58,2	-47,9	-38,8	-34,8	-34,9	10,3
-10,0	80,4	-31,5	-58,2	-47,9	-38,8	-34,8	-34,9	10,5
-13,7	71,8	-45,7	-75,5	-65,5	-56,2	-51,9	-51,9	10,5
-13,7	71,8	-45,7	-75,5	-65,5	-56,2	-51,9	-51,9	10,7
-17,2	63,5	-59,8	-92,7	-83,1	-73,5	-69,1	-69,0	10,7
-17,2	63,5	-59,8	-92,7	-83,1	-73,5	-69,1	-69,0	10,9
-20,7	55,4	-73,7	-109,8	-100,6	-90,9	-86,2	-86,0	10,9
-20,7	55,4	-73,7	-109,8	-100,6	-90,9	-86,2	-86,0	11,1
-24,0	47,5	-87,3	-126,9	-118,2	-108,2	-103,3	-103,0	11,1
-24,0	47,5	-87,3	-126,9	-118,2	-108,2	-103,3	-103,0	11,3
-27,2	39,9	-100,8	-143,9	-135,7	-125,6	-120,4	-120,0	11,3
-27,2	39,9	-100,8	-143,9	-135,7	-125,6	-120,4	-120,0	11,5
-30,3	32,6	-114,1	-160,8	-153,3	-142,9	-137,5	-136,9	11,5
-30,3	32,6	-114,1	-160,8	-153,3	-142,9	-137,5	-136,9	11,7
-33,3	25,5	-127,1	-177,7	-170,8	-160,3	-154,5	-153,9	11,7
-33,3	25,5	-127,1	-177,7	-170,8	-160,3	-154,5	-153,9	11,9
4,8	59,6	221,1	166,6	172,8	183,4	189,4	190,2	11,9
4,8	59,6	221,1	166,6	172,8	183,4	189,4	190,2	12,1
2,0	53,0	208,5	150,0	155,4	166,2	172,4	173,4	12,1
2,0	53,0	208,5	150,0	155,4	166,2	172,4	173,4	12,3
-0,7	46,6	196,3	133,5	138,1	149,0	155,5	156,6	12,3
-0,7	46,6	196,3	133,5	138,1	149,0	155,5	156,6	12,5
-3,4	40,4	184,2	117,2	120,8	131,8	138,5	139,8	12,5
-3,4	40,4	184,2	117,2	120,8	131,8	138,5	139,8	12,7
-5,9	34,5	172,5	101,0	103,6	114,6	121,6	123,1	12,7
-5,9	34,5	172,5	101,0	103,6	114,6	121,6	123,1	12,9
-8,4	28,7	161,0	84,9	86,5	97,5	104,8	106,4	12,9
-8,4	28,7	161,0	84,9	86,5	97,5	104,8	106,4	13,1
-10,8	23,2	149,7	69,0	69,4	80,4	88,0	89,8	13,1
-10,8	23,2	149,7	69,0	69,4	80,4	88,0	89,8	13,3
-13,2	17,8	138,8	53,3	52,4	63,4	71,2	73,2	13,3
-13,2	17,8	138,8	53,3	52,4	63,4	71,2	73,2	13,5
-15,4	12,7	128,1	37,7	35,5	46,4	54,5	56,7	13,5
-15,4	12,7	128,1	37,7	35,5	46,4	54,5	56,7	13,7
-17,7	7,7	117,7	22,3	18,6	29,4	37,8	40,2	13,7
-17,7	7,7	117,7	22,3	18,6	29,4	37,8	40,2	13,9
-19,8	2,9	107,7	7,0	1,9	12,5	21,1	23,8	13,9

Dir. L SLE Quasi permanente Taglio (kNx1,185)

-19,8	2,9	107,7	7,0	1,9	12,5	21,1	23,8	14,1
-21,9	-1,7	97,8	-8,0	-14,8	-4,3	4,5	7,4	14,1
-21,9	-1,7	97,8	-8,0	-14,8	-4,3	4,5	7,4	14,3
-24,0	-6,2	88,3	-22,9	-31,4	-21,1	-12,0	-8,9	14,3
-24,0	-6,2	88,3	-22,9	-31,4	-21,1	-12,0	-8,9	14,5
-26,0	-10,4	79,1	-37,6	-47,9	-37,9	-28,6	-25,2	14,5
-26,0	-10,4	79,1	-37,6	-47,9	-37,9	-28,6	-25,2	14,7
-28,0	-14,6	70,1	-52,0	-64,3	-54,6	-45,1	-41,5	14,7
-28,0	-14,6	70,1	-52,0	-64,3	-54,6	-45,1	-41,5	14,9
-30,0	-18,5	61,4	-66,3	-80,6	-71,3	-61,5	-57,7	14,9
-30,0	-18,5	61,4	-66,3	-80,6	-71,3	-61,5	-57,7	15,1
-31,9	-22,4	53,0	-80,4	-96,9	-87,9	-77,9	-73,8	15,1
-31,9	-22,4	53,0	-80,4	-96,9	-87,9	-77,9	-73,8	15,3
-33,8	-26,1	44,8	-94,2	-113,0	-104,5	-94,3	-89,9	15,3
-33,8	-26,1	44,8	-94,2	-113,0	-104,5	-94,3	-89,9	15,5
-35,7	-29,6	36,9	-107,8	-129,0	-121,1	-110,7	-106,0	15,5
-35,7	-29,6	36,9	-107,8	-129,0	-121,1	-110,7	-106,0	15,7
-37,5	-33,1	29,3	-121,2	-144,9	-137,5	-127,0	-122,0	15,7
-37,5	-33,1	29,3	-121,2	-144,9	-137,5	-127,0	-122,0	15,9
-39,3	-36,4	21,9	-134,4	-160,7	-154,0	-143,3	-138,0	15,9
-39,3	-36,4	21,9	-134,4	-160,7	-154,0	-143,3	-138,0	16,1
-0,1	1,5	55,9	213,9	184,8	190,8	201,7	207,3	16,1
-0,1	1,5	55,9	213,9	184,8	190,8	201,7	207,3	16,3
-1,8	-1,5	49,2	201,5	169,7	174,9	185,8	191,8	16,3
-1,8	-1,5	49,2	201,5	169,7	174,9	185,8	191,8	16,5
-3,6	-4,5	42,7	189,4	154,6	159,0	170,1	176,4	16,5
-3,6	-4,5	42,7	189,4	154,6	159,0	170,1	176,4	16,7
-5,3	-7,3	36,4	177,6	139,7	143,2	154,3	161,0	16,7
-5,3	-7,3	36,4	177,6	139,7	143,2	154,3	161,0	16,9
-7,0	-10,0	30,4	166,0	125,0	127,5	138,6	145,6	16,9
-7,0	-10,0	30,4	166,0	125,0	127,5	138,6	145,6	17,1
-8,6	-12,6	24,6	154,7	110,4	111,8	123,0	130,3	17,1
-8,6	-12,6	24,6	154,7	110,4	111,8	123,0	130,3	17,3
-10,3	-15,2	19,0	143,6	95,9	96,2	107,4	115,1	17,3
-10,3	-15,2	19,0	143,6	95,9	96,2	107,4	115,1	17,5
-12,0	-17,6	13,6	132,9	81,6	80,7	91,8	99,9	17,5
-12,0	-17,6	13,6	132,9	81,6	80,7	91,8	99,9	17,7
-13,6	-20,0	8,4	122,4	67,4	65,2	76,3	84,7	17,7
-13,6	-20,0	8,4	122,4	67,4	65,2	76,3	84,7	17,9
-15,3	-22,4	3,4	112,2	53,4	49,8	60,8	69,6	17,9
-15,3	-22,4	3,4	112,2	53,4	49,8	60,8	69,6	18,1
-16,9	-24,6	-1,5	102,3	39,6	34,5	45,3	54,5	18,1
-16,9	-24,6	-1,5	102,3	39,6	34,5	45,3	54,5	18,3
-18,6	-26,8	-6,1	92,7	25,9	19,2	29,9	39,4	18,3
-18,6	-26,8	-6,1	92,7	25,9	19,2	29,9	39,4	18,5
-20,2	-29,0	-10,6	83,3	12,3	4,0	14,5	24,4	18,5

Dir. L SLE Quasi permanente Taglio (kNx1,185)

-20,2	-29,0	-10,6	83,3	12,3	4,0	14,5	24,4	18,7
-21,8	-31,0	-14,9	74,2	-1,1	-11,2	-1,0	9,3	18,7
-21,8	-31,0	-14,9	74,2	-1,1	-11,2	-1,0	9,3	18,9
-15,1	-24,7	-10,7	73,7	-6,0	-18,1	-8,1	2,5	18,9
-15,1	-24,7	-10,7	73,7	-6,0	-18,1	-8,1	2,5	19,1
-6,7	-16,6	-4,6	75,2	-9,2	-23,3	-13,7	-2,6	19,1
-6,7	-16,6	-4,6	75,2	-9,2	-23,3	-13,7	-2,6	19,3
0,0	-10,2	-0,1	75,2	-13,9	-30,1	-20,9	-9,4	19,3
0,0	-10,2	-0,1	75,2	-13,9	-30,1	-20,9	-9,4	19,5
-1,6	-12,1	-3,8	67,2	-26,7	-45,1	-36,3	-24,4	19,5
-1,6	-12,1	-3,8	67,2	-26,7	-45,1	-36,3	-24,4	19,7
-3,3	-14,0	-7,3	59,5	-39,3	-60,0	-51,7	-39,5	19,7
-3,3	-14,0	-7,3	59,5	-39,3	-60,0	-51,7	-39,5	19,9
-4,9	-15,8	-10,7	52,0	-51,7	-74,9	-67,2	-54,6	19,9
-4,9	-15,8	-10,7	52,0	-51,7	-74,9	-67,2	-54,6	20,1
-6,6	-17,6	-14,0	44,8	-64,0	-89,8	-82,7	-69,6	20,1
-6,6	-17,6	-14,0	44,8	-64,0	-89,8	-82,7	-69,6	20,3
-8,2	-19,3	-17,1	37,9	-76,2	-104,6	-98,2	-84,8	20,3
-8,2	-19,3	-17,1	37,9	-76,2	-104,6	-98,2	-84,8	20,5
-9,9	-21,0	-20,1	31,2	-88,2	-119,4	-113,7	-99,9	20,5
-9,9	-21,0	-20,1	31,2	-88,2	-119,4	-113,7	-99,9	20,7
-11,5	-22,7	-23,0	24,7	-100,0	-134,1	-129,2	-115,1	20,7
-11,5	-22,7	-23,0	24,7	-100,0	-134,1	-129,2	-115,1	20,9
-13,2	-24,4	-25,8	18,5	-111,6	-148,9	-144,8	-130,4	20,9
-13,2	-24,4	-25,8	18,5	-111,6	-148,9	-144,8	-130,4	21,1
-14,9	-26,0	-28,5	12,4	-123,1	-163,5	-160,5	-145,7	21,1
-14,9	-26,0	-28,5	12,4	-123,1	-163,5	-160,5	-145,7	21,3
-16,6	-27,7	-31,1	6,7	-134,5	-178,2	-176,2	-161,0	21,3
-16,6	-27,7	-31,1	6,7	-134,5	-178,2	-176,2	-161,0	21,5
-18,2	-29,3	-33,7	1,1	-145,6	-192,8	-191,9	-176,4	21,5
-18,2	-29,3	-33,7	1,1	-145,6	-192,8	-191,9	-176,4	21,7
-19,9	-30,9	-36,1	-4,3	-156,6	-207,3	-207,6	-191,9	21,7
-19,9	-30,9	-36,1	-4,3	-156,6	-207,3	-207,6	-191,9	21,9
-21,6	-32,4	-38,4	-9,4	-167,4	-221,8	-223,4	-207,4	21,9
-21,6	-32,4	-38,4	-9,4	-167,4	-221,8	-223,4	-207,4	22,1
17,7	7,0	0,3	26,6	182,9	124,6	121,6	137,9	22,1
17,7	7,0	0,3	26,6	182,9	124,6	121,6	137,9	22,3
15,9	5,4	-2,0	21,7	172,2	109,9	105,4	121,9	22,3
15,9	5,4	-2,0	21,7	172,2	109,9	105,4	121,9	22,5
14,2	3,8	-4,1	17,0	161,8	95,2	89,2	105,9	22,5
14,2	3,8	-4,1	17,0	161,8	95,2	89,2	105,9	22,7
12,4	2,2	-6,2	12,5	151,6	80,7	73,0	89,8	22,7
12,4	2,2	-6,2	12,5	151,6	80,7	73,0	89,8	22,9
10,7	0,7	-8,2	8,2	141,6	66,2	56,7	73,7	22,9
10,7	0,7	-8,2	8,2	141,6	66,2	56,7	73,7	23,1
8,9	-0,9	-10,2	4,1	131,8	51,9	40,4	57,5	23,1

Dir. L SLE Quasi permanente Taglio (kNx1,185)

8,9	-0,9	-10,2	4,1	131,8	51,9	40,4	57,5	23,3
7,1	-2,4	-12,1	0,2	122,3	37,6	24,2	41,3	23,3
7,1	-2,4	-12,1	0,2	122,3	37,6	24,2	41,3	23,5
5,4	-4,0	-14,0	-3,6	113,0	23,5	7,9	25,1	23,5
5,4	-4,0	-14,0	-3,6	113,0	23,5	7,9	25,1	23,7
3,6	-5,5	-15,8	-7,3	103,9	9,4	-8,4	8,8	23,7
3,6	-5,5	-15,8	-7,3	103,9	9,4	-8,4	8,8	23,9
1,8	-7,0	-17,5	-10,8	95,1	-4,5	-24,7	-7,5	23,9
1,8	-7,0	-17,5	-10,8	95,1	-4,5	-24,7	-7,5	24,1
0,0	-8,6	-19,2	-14,1	86,5	-18,3	-41,0	-23,9	24,1
0,0	-8,6	-19,2	-14,1	86,5	-18,3	-41,0	-23,9	24,3
-1,8	-10,1	-20,9	-17,3	78,2	-31,9	-57,2	-40,3	24,3
-1,8	-10,1	-20,9	-17,3	78,2	-31,9	-57,2	-40,3	24,5
-3,6	-11,7	-22,6	-20,4	70,1	-45,4	-73,5	-56,8	24,5
-3,6	-11,7	-22,6	-20,4	70,1	-45,4	-73,5	-56,8	24,7
-5,4	-13,2	-24,2	-23,3	62,2	-58,8	-89,7	-73,3	24,7
-5,4	-13,2	-24,2	-23,3	62,2	-58,8	-89,7	-73,3	24,9
-7,2	-14,8	-25,8	-26,2	54,6	-72,1	-106,0	-89,9	24,9
-7,2	-14,8	-25,8	-26,2	54,6	-72,1	-106,0	-89,9	25,1
-9,0	-16,3	-27,3	-28,9	47,1	-85,1	-122,2	-106,5	25,1
-9,0	-16,3	-27,3	-28,9	47,1	-85,1	-122,2	-106,5	25,3
-10,9	-17,9	-28,9	-31,5	40,0	-98,1	-138,4	-123,2	25,3
-10,9	-17,9	-28,9	-31,5	40,0	-98,1	-138,4	-123,2	25,5
-12,7	-19,5	-30,4	-34,0	33,0	-110,8	-154,6	-139,9	25,5
-12,7	-19,5	-30,4	-34,0	33,0	-110,8	-154,6	-139,9	25,7
-14,6	-21,0	-31,9	-36,5	26,2	-123,4	-170,7	-156,7	25,7
-14,6	-21,0	-31,9	-36,5	26,2	-123,4	-170,7	-156,7	25,9
-16,4	-22,6	-33,4	-38,8	19,7	-135,9	-186,8	-173,5	25,9
-16,4	-22,6	-33,4	-38,8	19,7	-135,9	-186,8	-173,5	26,1
-18,3	-24,2	-34,9	-41,1	13,4	-148,1	-202,9	-190,4	26,1
-18,3	-24,2	-34,9	-41,1	13,4	-148,1	-202,9	-190,4	26,3
20,9	15,2	4,7	-2,3	48,3	200,9	142,1	153,7	26,3
20,9	15,2	4,7	-2,3	48,3	200,9	142,1	153,7	26,5
19,0	13,5	3,2	-4,4	42,4	189,0	126,1	136,8	26,5
19,0	13,5	3,2	-4,4	42,4	189,0	126,1	136,8	26,7
17,1	11,9	1,7	-6,4	36,7	177,4	110,3	119,8	26,7
17,1	11,9	1,7	-6,4	36,7	177,4	110,3	119,8	26,9
15,2	10,3	0,3	-8,4	31,1	166,0	94,5	102,8	26,9
15,2	10,3	0,3	-8,4	31,1	166,0	94,5	102,8	27,1
13,3	8,6	-1,2	-10,3	25,8	154,8	78,8	85,8	27,1
13,3	8,6	-1,2	-10,3	25,8	154,8	78,8	85,8	27,3
11,4	6,9	-2,6	-12,2	20,7	143,9	63,2	68,8	27,3
11,4	6,9	-2,6	-12,2	20,7	143,9	63,2	68,8	27,5
9,5	5,3	-4,1	-14,0	15,7	133,2	47,7	51,8	27,5
9,5	5,3	-4,1	-14,0	15,7	133,2	47,7	51,8	27,7
7,6	3,6	-5,5	-15,8	10,9	122,7	32,4	34,7	27,7

Dir. L SLE Quasi permanente Taglio (kNx1,185)

7,6	3,6	-5,5	-15,8	10,9	122,7	32,4	34,7	27,9
5,6	1,9	-7,0	-17,5	6,3	112,5	17,2	17,7	27,9
5,6	1,9	-7,0	-17,5	6,3	112,5	17,2	17,7	28,1
3,7	0,2	-8,5	-19,2	1,8	102,6	2,1	0,7	28,1
3,7	0,2	-8,5	-19,2	1,8	102,6	2,1	0,7	28,3
1,7	-1,6	-9,9	-20,9	-2,5	92,9	-12,8	-16,3	28,3
1,7	-1,6	-9,9	-20,9	-2,5	92,9	-12,8	-16,3	28,5
-0,2	-3,3	-11,4	-22,5	-6,6	83,5	-27,6	-33,3	28,5
-0,2	-3,3	-11,4	-22,5	-6,6	83,5	-27,6	-33,3	28,7
-2,2	-5,1	-12,9	-24,1	-10,6	74,4	-42,2	-50,4	28,7
-2,2	-5,1	-12,9	-24,1	-10,6	74,4	-42,2	-50,4	28,9
-4,1	-6,8	-14,4	-25,7	-14,5	65,5	-56,7	-67,4	28,9
-4,1	-6,8	-14,4	-25,7	-14,5	65,5	-56,7	-67,4	29,1
-6,1	-8,6	-16,0	-27,3	-18,2	56,8	-71,0	-84,4	29,1
-6,1	-8,6	-16,0	-27,3	-18,2	56,8	-71,0	-84,4	29,3
-8,1	-10,4	-17,5	-28,8	-21,8	48,5	-85,1	-101,4	29,3
-8,1	-10,4	-17,5	-28,8	-21,8	48,5	-85,1	-101,4	29,5
-10,1	-12,3	-19,0	-30,4	-25,2	40,3	-99,1	-118,3	29,5
-10,1	-12,3	-19,0	-30,4	-25,2	40,3	-99,1	-118,3	29,7
-12,1	-14,1	-20,6	-31,9	-28,6	32,5	-112,8	-135,3	29,7
-12,1	-14,1	-20,6	-31,9	-28,6	32,5	-112,8	-135,3	29,9
-14,2	-16,0	-22,2	-33,4	-31,8	24,8	-126,4	-152,2	29,9
-14,2	-16,0	-22,2	-33,4	-31,8	24,8	-126,4	-152,2	30,1
-16,2	-17,8	-23,8	-34,9	-34,9	17,5	-139,7	-169,1	30,1
-16,2	-17,8	-23,8	-34,9	-34,9	17,5	-139,7	-169,1	30,3
-18,3	-19,7	-25,5	-36,4	-38,0	10,3	-152,8	-186,0	30,3
-18,3	-19,7	-25,5	-36,4	-38,0	10,3	-152,8	-186,0	30,6
20,7	19,4	13,9	3,0	0,1	44,4	195,3	158,2	30,6
20,7	19,4	13,9	3,0	0,1	44,4	195,3	158,2	30,8
18,6	17,4	12,2	1,5	-2,7	37,8	182,7	141,4	30,8
18,6	17,4	12,2	1,5	-2,7	37,8	182,7	141,4	31,0
16,5	15,5	10,5	0,0	-5,4	31,4	170,3	124,7	31,0
16,5	15,5	10,5	0,0	-5,4	31,4	170,3	124,7	31,2
14,4	13,5	8,8	-1,5	-8,1	25,2	158,2	108,1	31,2
14,4	13,5	8,8	-1,5	-8,1	25,2	158,2	108,1	31,4
12,3	11,5	7,1	-3,1	-10,6	19,3	146,4	91,5	31,4
12,3	11,5	7,1	-3,1	-10,6	19,3	146,4	91,5	31,6
10,2	9,5	5,3	-4,6	-13,1	13,6	134,8	75,0	31,6
10,2	9,5	5,3	-4,6	-13,1	13,6	134,8	75,0	31,8
8,0	7,5	3,5	-6,2	-15,5	8,1	123,6	58,6	31,8
8,0	7,5	3,5	-6,2	-15,5	8,1	123,6	58,6	32,0
5,9	5,5	1,7	-7,7	-17,8	2,8	112,6	42,2	32,0
5,9	5,5	1,7	-7,7	-17,8	2,8	112,6	42,2	32,2
3,7	3,4	-0,1	-9,3	-20,1	-2,2	101,9	26,0	32,2
3,7	3,4	-0,1	-9,3	-20,1	-2,2	101,9	26,0	32,4
1,6	1,3	-2,0	-10,9	-22,3	-7,0	91,6	9,9	32,4

Dir. L SLE Quasi permanente Taglio (kNx1,185)

1,6	1,3	-2,0	-10,9	-22,3	-7,0	91,6	9,9	32,6
-0,6	-0,8	-3,9	-12,5	-24,4	-11,7	81,6	-6,2	32,6
-0,6	-0,8	-3,9	-12,5	-24,4	-11,7	81,6	-6,2	32,8
-2,8	-2,9	-5,8	-14,2	-26,5	-16,1	71,8	-22,1	32,8
-2,8	-2,9	-5,8	-14,2	-26,5	-16,1	71,8	-22,1	33,0
-5,1	-5,1	-7,7	-15,9	-28,5	-20,3	62,4	-37,9	33,0
-5,1	-5,1	-7,7	-15,9	-28,5	-20,3	62,4	-37,9	33,2
-7,3	-7,2	-9,7	-17,5	-30,5	-24,3	53,3	-53,7	33,2
-7,3	-7,2	-9,7	-17,5	-30,5	-24,3	53,3	-53,7	33,4
-9,6	-9,4	-11,7	-19,2	-32,4	-28,1	44,6	-69,3	33,4
-9,6	-9,4	-11,7	-19,2	-32,4	-28,1	44,6	-69,3	33,6
-11,8	-11,6	-13,8	-21,0	-34,3	-31,8	36,1	-84,8	33,6
-11,8	-11,6	-13,8	-21,0	-34,3	-31,8	36,1	-84,8	33,8
-14,1	-13,9	-15,8	-22,7	-36,1	-35,2	28,0	-100,2	33,8
-14,1	-13,9	-15,8	-22,7	-36,1	-35,2	28,0	-100,2	34,0
-16,4	-16,1	-17,9	-24,5	-37,9	-38,5	20,2	-115,4	34,0
-16,4	-16,1	-17,9	-24,5	-37,9	-38,5	20,2	-115,4	34,2
-18,8	-18,4	-20,1	-26,4	-39,7	-41,5	12,8	-130,5	34,2
-18,8	-18,4	-20,1	-26,4	-39,7	-41,5	12,8	-130,5	34,4
-21,1	-20,7	-22,2	-28,2	-41,4	-44,4	5,6	-145,5	34,4
-21,1	-20,7	-22,2	-28,2	-41,4	-44,4	5,6	-145,5	34,6
-23,5	-23,1	-24,4	-30,1	-43,1	-47,1	-1,2	-160,3	34,6
-23,5	-23,1	-24,4	-30,1	-43,1	-47,1	-1,2	-160,3	34,8
15,2	15,6	14,4	9,1	-3,7	-8,6	33,5	186,4	34,8
15,2	15,6	14,4	9,1	-3,7	-8,6	33,5	186,4	35,0
12,9	13,4	12,3	7,2	-5,2	-10,9	27,6	172,6	35,0
12,9	13,4	12,3	7,2	-5,2	-10,9	27,6	172,6	35,2
10,6	11,1	10,1	5,4	-6,7	-12,9	22,1	159,0	35,2
10,6	11,1	10,1	5,4	-6,7	-12,9	22,1	159,0	35,4
8,3	8,8	7,9	3,5	-8,2	-14,9	16,8	145,6	35,4
8,3	8,8	7,9	3,5	-8,2	-14,9	16,8	145,6	35,6
6,0	6,5	5,7	1,6	-9,6	-16,7	11,8	132,3	35,6
6,0	6,5	5,7	1,6	-9,6	-16,7	11,8	132,3	35,8
3,7	4,1	3,5	-0,3	-11,1	-18,3	7,2	119,2	35,8
3,7	4,1	3,5	-0,3	-11,1	-18,3	7,2	119,2	36,0
1,3	1,7	1,2	-2,3	-12,4	-19,8	2,8	106,3	36,0
1,3	1,7	1,2	-2,3	-12,4	-19,8	2,8	106,3	36,1
-1,1	-0,6	-1,1	-4,3	-13,8	-21,1	-1,3	93,6	36,1
-1,1	-0,6	-1,1	-4,3	-13,8	-21,1	-1,3	93,6	36,3
-3,5	-3,1	-3,4	-6,3	-15,1	-22,3	-5,1	81,0	36,3
-3,5	-3,1	-3,4	-6,3	-15,1	-22,3	-5,1	81,0	36,5
-5,9	-5,5	-5,8	-8,4	-16,5	-23,3	-8,6	68,6	36,5
-5,9	-5,5	-5,8	-8,4	-16,5	-23,3	-8,6	68,6	36,7
-8,3	-7,9	-8,2	-10,5	-17,7	-24,2	-11,8	56,4	36,7
-8,3	-7,9	-8,2	-10,5	-17,7	-24,2	-11,8	56,4	36,9
-10,7	-10,4	-10,6	-12,6	-19,0	-24,9	-14,8	44,4	36,9

Dir. L SLE Quasi permanente Taglio (kNx1,185)

-10,7	-10,4	-10,6	-12,6	-19,0	-24,9	-14,8	44,4	37,1
-5,0	-4,7	-4,8	-6,5	-12,0	-17,2	-9,2	40,6	37,1
-5,0	-4,7	-4,8	-6,5	-12,0	-17,2	-9,2	40,6	37,3
2,5	2,8	2,7	1,3	-3,2	-7,6	-1,5	38,5	37,3
2,5	2,8	2,7	1,3	-3,2	-7,6	-1,5	38,5	37,5
8,1	8,3	8,2	7,2	3,6	0,1	4,5	35,3	37,5
8,1	8,3	8,2	7,2	3,6	0,1	4,5	35,3	37,7
5,8	5,9	5,9	5,2	2,6	0,0	2,9	25,0	37,7
5,8	5,9	5,9	5,2	2,6	0,0	2,9	25,0	37,9
3,5	3,6	3,5	3,1	1,5	0,0	1,5	14,9	37,9
3,5	3,6	3,5	3,1	1,5	0,0	1,5	14,9	38,0
1,2	1,2	1,2	1,0	0,5	0,0	0,4	4,9	38,0
1,2	1,2	1,2	1,0	0,5	0,0	0,4	4,9	38,2

Direzione B - Momento (kNx1,185m)

SLU	SLV	SLE Caratter.	SLE Frequente	SLE Quasi perman.	x
0,0	0,0	0,0	0,0	0,0	0,0
-1,2	-0,9	-0,8	-0,8	-0,7	0,2
-1,2	-0,9	-0,8	-0,8	-0,7	0,2
-5,1	-3,5	-3,5	-3,2	-3,0	0,5
-5,1	-3,5	-3,5	-3,2	-3,0	0,5
-11,6	-8,0	-7,9	-7,4	-6,8	0,7
-11,6	-8,0	-7,9	-7,4	-6,8	0,7
-17,1	-11,3	-11,5	-10,5	-9,6	0,9
-17,1	-11,3	-11,5	-10,5	-9,6	0,9
-22,1	-13,6	-14,5	-13,1	-11,6	1,1
-22,1	-13,6	-14,5	-13,1	-11,6	1,1
-27,3	-15,6	-17,5	-15,4	-13,3	1,3
-27,3	-15,6	-17,5	-15,4	-13,3	1,3
-34,9	-19,2	-22,0	-19,2	-16,3	1,5
-34,9	-19,2	-22,0	-19,2	-16,3	1,5
-44,9	-24,4	-28,2	-24,5	-20,8	1,7
-44,9	-24,4	-28,2	-24,5	-20,8	1,7
-57,5	-31,4	-36,2	-31,5	-26,7	1,9
-57,5	-31,4	-36,2	-31,5	-26,7	1,9
-72,8	-40,2	-46,0	-40,1	-34,2	2,1
-72,8	-40,2	-46,0	-40,1	-34,2	2,1
-90,7	-50,7	-57,6	-50,4	-43,2	2,3
-90,7	-50,7	-57,6	-50,4	-43,2	2,3
-111,5	-63,2	-71,1	-62,4	-53,8	2,5
-111,5	-63,2	-71,1	-62,4	-53,8	2,5
-135,1	-77,5	-86,5	-76,3	-66,0	2,7
-135,1	-77,5	-86,5	-76,3	-66,0	2,7
-161,6	-93,9	-103,9	-91,9	-79,9	2,9
-161,6	-93,9	-103,9	-91,9	-79,9	2,9
-191,1	-112,2	-123,4	-109,5	-95,6	3,1
-191,1	-112,2	-123,4	-109,5	-95,6	3,1
-223,8	-132,6	-144,9	-128,9	-112,9	3,3
-223,8	-132,6	-144,9	-128,9	-112,9	3,3
-259,6	-155,2	-168,6	-150,4	-132,1	3,6
-259,6	-155,2	-168,6	-150,4	-132,1	3,6
-298,6	-179,8	-194,5	-173,8	-153,1	3,8
-298,6	-179,8	-194,5	-173,8	-153,1	3,8
-340,9	-206,7	-222,6	-199,3	-176,0	4,0
-340,9	-206,7	-222,6	-199,3	-176,0	4,0
-319,8	-193,0	-208,5	-186,4	-164,3	4,2
-319,8	-193,0	-208,5	-186,4	-164,3	4,2
-301,8	-181,4	-196,5	-175,5	-154,4	4,4
-301,8	-181,4	-196,5	-175,5	-154,4	4,4
-287,1	-171,9	-186,6	-166,5	-146,4	4,6
-287,1	-171,9	-186,6	-166,5	-146,4	4,6

Direzione B - Momento (kNx1,185m)

-275,7	-164,7	-179,0	-159,6	-140,2	4,7
-275,7	-164,7	-179,0	-159,6	-140,2	4,7
-267,6	-159,6	-173,7	-154,8	-135,9	4,9
-267,6	-159,6	-173,7	-154,8	-135,9	4,9
-262,9	-156,8	-170,6	-152,1	-133,5	5,1
-262,9	-156,8	-170,6	-152,1	-133,5	5,1
-261,6	-156,3	-169,9	-151,5	-133,0	5,3
-261,6	-156,3	-169,9	-151,5	-133,0	5,3
-263,8	-158,0	-171,5	-153,1	-134,6	5,5
-263,8	-158,0	-171,5	-153,1	-134,6	5,5
-269,6	-162,2	-175,5	-156,8	-138,1	5,7
-269,6	-162,2	-175,5	-156,8	-138,1	5,7
-278,9	-168,7	-182,0	-162,8	-143,6	5,9
-278,9	-168,7	-182,0	-162,8	-143,6	5,9
-291,9	-177,6	-190,8	-171,0	-151,2	6,1
-291,9	-177,6	-190,8	-171,0	-151,2	6,1
-308,5	-188,9	-202,2	-181,5	-160,8	6,3
-308,5	-188,9	-202,2	-181,5	-160,8	6,3
-263,6	-160,8	-172,5	-154,7	-136,9	6,5
-263,6	-160,8	-172,5	-154,7	-136,9	6,5
-222,4	-135,3	-145,4	-130,3	-115,2	6,7
-222,4	-135,3	-145,4	-130,3	-115,2	6,7
-185,1	-112,3	-120,9	-108,2	-95,6	6,9
-185,1	-112,3	-120,9	-108,2	-95,6	6,9
-151,6	-91,8	-98,9	-88,6	-78,2	7,1
-151,6	-91,8	-98,9	-88,6	-78,2	7,1
-122,0	-73,9	-79,6	-71,3	-62,9	7,3
-122,0	-73,9	-79,6	-71,3	-62,9	7,3
-96,3	-58,6	-62,9	-56,4	-49,9	7,5
-96,3	-58,6	-62,9	-56,4	-49,9	7,5
-74,5	-45,9	-48,9	-44,0	-39,1	7,7
-74,5	-45,9	-48,9	-44,0	-39,1	7,7
-56,7	-35,8	-37,6	-34,0	-30,5	7,9
-56,7	-35,8	-37,6	-34,0	-30,5	7,9
-40,6	-26,3	-27,2	-24,8	-22,4	8,1
-40,6	-26,3	-27,2	-24,8	-22,4	8,1
-26,1	-17,3	-17,6	-16,1	-14,7	8,3
-26,1	-17,3	-17,6	-16,1	-14,7	8,3
-11,6	-7,7	-7,8	-7,2	-6,6	8,5
-11,6	-7,7	-7,8	-7,2	-6,6	8,5
-2,9	-1,9	-2,0	-1,8	-1,6	8,8
-2,9	-1,9	-2,0	-1,8	-1,6	8,8
0,0	0,0	0,0	0,0	0,0	9,0

Direzione B - Taglio (kNx1,185)

SLU	SLV	SLE Caratter.	SLE Frequente	SLE Quasi perman.	x
-5,3	-3,7	-3,6	-3,4	-3,1	0,0
-5,3	-3,7	-3,6	-3,4	-3,1	0,2
-16,4	-11,3	-11,2	-10,4	-9,6	0,2
-16,4	-11,3	-11,2	-10,4	-9,6	0,5
-28,0	-19,2	-19,2	-17,8	-16,4	0,5
-28,0	-19,2	-19,2	-17,8	-16,4	0,7
-27,5	-16,4	-17,9	-15,9	-14,0	0,7
-27,5	-16,4	-17,9	-15,9	-14,0	0,9
-25,2	-11,9	-15,1	-12,6	-10,1	0,9
-25,2	-11,9	-15,1	-12,6	-10,1	1,1
-25,4	-9,6	-14,3	-11,2	-8,1	1,1
-25,4	-9,6	-14,3	-11,2	-8,1	1,3
-37,1	-17,5	-22,3	-18,6	-14,9	1,3
-37,1	-17,5	-22,3	-18,6	-14,9	1,5
-49,2	-25,7	-30,5	-26,2	-21,9	1,5
-49,2	-25,7	-30,5	-26,2	-21,9	1,7
-61,7	-34,2	-39,0	-34,1	-29,1	1,7
-61,7	-34,2	-39,0	-34,1	-29,1	1,9
-74,6	-42,9	-47,8	-42,1	-36,5	1,9
-74,6	-42,9	-47,8	-42,1	-36,5	2,1
-87,9	-51,8	-56,8	-50,4	-44,1	2,1
-87,9	-51,8	-56,8	-50,4	-44,1	2,3
-101,5	-60,9	-66,0	-59,0	-51,9	2,3
-101,5	-60,9	-66,0	-59,0	-51,9	2,5
-115,5	-70,3	-75,5	-67,7	-59,9	2,5
-115,5	-70,3	-75,5	-67,7	-59,9	2,7
-129,9	-80,0	-85,3	-76,7	-68,1	2,7
-129,9	-80,0	-85,3	-76,7	-68,1	2,9
-144,6	-89,8	-95,3	-85,9	-76,5	2,9
-144,6	-89,8	-95,3	-85,9	-76,5	3,1
-159,7	-99,9	-105,5	-95,3	-85,1	3,1
-159,7	-99,9	-105,5	-95,3	-85,1	3,3
-175,2	-110,2	-116,0	-104,9	-93,9	3,3
-175,2	-110,2	-116,0	-104,9	-93,9	3,6
-191,0	-120,8	-126,7	-114,7	-102,8	3,6
-191,0	-120,8	-126,7	-114,7	-102,8	3,8
-207,2	-131,5	-137,6	-124,8	-112,0	3,8
-207,2	-131,5	-137,6	-124,8	-112,0	4,0
107,5	69,7	72,0	65,7	59,4	4,0
107,5	69,7	72,0	65,7	59,4	4,2
91,3	59,0	61,0	55,6	50,2	4,2
91,3	59,0	61,0	55,6	50,2	4,4
74,9	48,1	49,9	45,4	40,9	4,4
74,9	48,1	49,9	45,4	40,9	4,6
58,2	37,0	38,6	35,1	31,5	4,6

Direzione B - Taglio (kNx1,185)

58,2	37,0	38,6	35,1	31,5	4,7
41,2	25,7	27,2	24,5	21,9	4,7
41,2	25,7	27,2	24,5	21,9	4,9
23,9	14,3	15,5	13,8	12,2	4,9
23,9	14,3	15,5	13,8	12,2	5,1
6,4	2,7	3,7	3,0	2,3	5,1
6,4	2,7	3,7	3,0	2,3	5,3
-11,3	-9,1	-8,2	-8,0	-7,7	5,3
-11,3	-9,1	-8,2	-8,0	-7,7	5,5
-29,3	-21,0	-20,4	-19,1	-17,9	5,5
-29,3	-21,0	-20,4	-19,1	-17,9	5,7
-47,5	-33,0	-32,7	-30,4	-28,1	5,7
-47,5	-33,0	-32,7	-30,4	-28,1	5,9
-65,9	-45,2	-45,1	-41,8	-38,5	5,9
-65,9	-45,2	-45,1	-41,8	-38,5	6,1
-84,5	-57,5	-57,7	-53,3	-49,0	6,1
-84,5	-57,5	-57,7	-53,3	-49,0	6,3
227,4	142,0	150,1	135,5	120,9	6,3
227,4	142,0	150,1	135,5	120,9	6,5
208,3	129,3	137,2	123,7	110,1	6,5
208,3	129,3	137,2	123,7	110,1	6,7
189,1	116,6	124,2	111,7	99,2	6,7
189,1	116,6	124,2	111,7	99,2	6,9
169,6	103,7	111,1	99,7	88,3	6,9
169,6	103,7	111,1	99,7	88,3	7,1
149,9	90,7	97,8	87,5	77,2	7,1
149,9	90,7	97,8	87,5	77,2	7,3
130,1	77,6	84,5	75,2	66,0	7,3
130,1	77,6	84,5	75,2	66,0	7,5
110,2	64,3	71,0	62,9	54,8	7,5
110,2	64,3	71,0	62,9	54,8	7,7
90,0	51,0	57,4	50,4	43,4	7,7
90,0	51,0	57,4	50,4	43,4	7,9
80,5	47,3	52,0	46,1	40,3	7,9
80,5	47,3	52,0	46,1	40,3	8,1
72,8	45,4	48,1	43,4	38,7	8,1
72,8	45,4	48,1	43,4	38,7	8,3
61,9	41,0	41,8	38,3	34,9	8,3
61,9	41,0	41,8	38,3	34,9	8,5
37,3	24,7	25,2	23,1	21,0	8,5
37,3	24,7	25,2	23,1	21,0	8,8
12,5	8,3	8,4	7,7	7,1	8,8
12,5	8,3	8,4	7,7	7,1	9,0